

ZAKŁAD GEOFIZYKI
POLSKIEJ AKADEMII NAUK

MATERIAŁY I PRACE

8

WYNIKI REJESTRACJI SEJSMOLOGICZNYCH
W POLSKICH OBSERWATORIACH

1961

1965

ŁÓDŹ – WARSZAWA
PAŃSTOWE WYDAWNICTWO NAUKOWE

ZAKŁAD GEOFIZYKI
POLSKIEJ AKADEMII NAUK

MATERIAŁY I PRACE
8

WYNIKI REJESTRACJI SEJSMOLOGICZNYCH
W POLSKICH OBSERWATORIACH
1961

1965
ŁÓDŹ – WARSZAWA
PAŃSTWOWE WYDAWNICTWO NAUKOWE

Redaktor Naczelny
ROMAN TEISSEYRE

Adres redakcji
Zakład Geofizyki Polskiej Akademii Nauk
Warszawa, ul. Pasteura 3

Sekretarz Redakcji
WACŁAW KOWALSKI

Printed in Poland

Państwowe Wydawnictwo Naukowe
Oddział w Łodzi 1965

Wydanie I. Nakład 350+150 egz. Ark. wyd. 14,50, ark. druk. 11 10/16 + 2 wkl.
Papier offset. kl. III, 70 g. 70 x 100. Oddano do druku 8. XI. 1965 r. Druk
ukończono w grudniu 1965 r. Zam. 182. N-4. Cena zł 45.—

Zakład Graficzny PWN
Łódź, ul. Gdańska 162

WSTĘP

Niniejsza publikacja zawiera zestawienie danych dotyczących trzęsień z 1961 roku, zarejestrowanych przez aparaty wszystkich stacji sejsmologicznych Zakładu Geofizyki PAN (Krakowa, Raciborza, Warszawy i po raz pierwszy Niedzicy*). Część pierwsza publikacji obejmuje zapisy trzęsień przeważnie zidentyfikowanych, oogniskach znajdujących się w dużej lub średniej odległości epicentralnej, w drugiej części – zamieszczono zestawienie zapisów wstrząsów z Górnego Śląska.

Trzęsienia o dalekiej i średniej odległości opracowano na podstawie danych (współrzędne geograficzne, czas początku wstrząsu i głębokość ogniska) zaczerniętych z publikacji wydawanych przez Bureau Central International Séismologique (BCIS), U.S. Coast and Geodetic Survey-Washington (USCGS), oraz ČS Statni Ustav Geofysikalni (Praha). Odległości epicentralne wyznaczono częściowo za pomocą nomogramów, a częściowo obliczono bezpośrednio z dokładnością do $\pm 0,2^\circ$. Przy identyfikacji faz posługiwano się tablicami Jeffreysa-Bullen oraz Gutenberga i Richtera. Przy pierwszej wyraźnej fazie danego trzęsienia zaznaczono kompresję literą C i dylatację literą D. Wielkość magnitudy trzęsień zapisanych w obserwatorium warszawskim wyliczono ze wzoru $M = \lg \frac{A}{T} + 1,75 \lg \Delta + 3,00^{**}$, w którym A stanowi maksymalną amplitudę fal powierzchniowych w μ , T – okres w sek i Δ – odległość epicentralną w stopniach. Wielkość magnitudy trzęsień zapisanych w stacji geofizycznej w Raciborzu uzyskano ze wzoru $M = \lg A_{20} + 1,641 \lg \Delta + 1,815^{***}$.

Część pierwsza publikacji została opracowana przez mgr H. Lewandowską przy współudziale dr J. Pagaczeckiego, mgr H. Zwinczaka i M. Mazu-

*Stacja w Niedzicy, położona w centrum Pienin, wyposażona jest w sejsmografy elektrodynamiczne typu SK-58. Z zapisów stacji w publikacji niniejszej uwzględniono głównie wstrząsy lokalne i tylko w kilku przypadkach zapisy wstrząsów europejskich.

**I. B ó b r - M o d r a k o w a, Z. D r o s t e, J. H o r d e j u k, *Détermination d'une formule de la magnitude d'après les ondes superficielles pour l'Observatoire de Varsovie*, Biul. Obserw. Sejsmol. w Warszawie Nr 17, rok 1957, PWN Łódź-Warszawa 1961.

***Z. D r o s t e, S. G i b o w i c z, *Determination of the magnitude of distant earthquake at the Silesian Geophysical Station in Racibórz (Wyznaczanie magnitudy trzęsień dalekich z fal powierzchniowych dla Śląskiej Stacji Geofizycznej w Raciborzu)*, Acta Geophys. Polon. vol. VI, nr 3, 1958.

ra z Krakowa oraz mgr J. Wojciechowskiego i E. Post z Raciborza.

Drugą część publikacji, zawierającą wstrząsy z Górnego Śląska, zanotowane na stacjach w Raciborzu, Krakowie, Niedzicy oraz w Chorzowie (ta ostatnia jest stacją sejsmologiczną Planetarium i Obserwatorium Astronomicznego) opracował dr S. Gibowicz. Dr Gibowicz przy opracowaniu tej części publikacji posługiwał się również zapisami wstrząsów z archiwum Głównego Instytutu Górnictwa (GIG). Wykorzystał on zapisy stacji GIG w Bytomiu, Dąbrowie Górniczej i w Zabrzu. Pierwsze fazy wstrząsów zarejestrowane przez te stacje podano przed każdym opracowaniem wstrząsów ze stacji sejsmologicznych Zakładu Geofizyki PAN i ze stacji w Chorzowie.

Część pierwszych faz zarejestrowanych przez stacje GIG wyliczył dr Gibowicz na podstawie zapisów archiwalnych GIG a część ich była obliczona już wcześniej i opublikowana w wydawnictwach GIG. Przy cytowaniu w niniejszym opracowaniu pierwszych faz wstrząsów ze stacji Głównego Instytutu Górnictwa według wcześniejszych publikacji GIG obok nazwy stacji w nawiązaniu podawano ("GIG"). Jeżeli pierwszą fazę jakiegoś wstrząsu z tych stacji obliczył dr S. Gibowicz, w opracowaniu podano tylko nazwę miejscowości, w której znajduje się stacja.

Magnitudy wstrząsów śląskich obliczono na podstawie zapisów sejsmografów Mainki na stacjach w Bytomiu, Zabrzu i Raciborzu*. Współrzędne geograficzne epicentrów, początki silniejszych trzęsień ziemi i odległości epicentralne obliczono przy pomocy interwałów czasu S-P na stacjach śląskich**.

R. Teisseyre

ВВЕДЕНИЕ

Настоящий Сейсмологический Бюллетень содержит комплект данных о землетрясениях в 1961 г. зарегистрированных при помощи аппаратов всех сейсмологических станций Института Геофизики Польской Академии Наук в сейсмологических Обсерваториях в Варшаве, Кракове, Рацебуже и впервые Недзицы. (Станция в Недзицы расположена в центре Пенин и снабжена в электромагнитные сейсмографы типа SK-58. Из записей этой станции до ежегодника поданы главные локальные землетрясения, а только в некоторых случаях - записи европейских землетрясений).

Бюллетин состоит из двух частей: в первой - поданы записи землетрясений преимущественно идентифицированных с очагами, находящимися на больших или средних эпицентральных рас-

*S. Gibowicz, *Wyznaczanie magnitud wstrząsów górnosłaskich na stacjach sejsmologicznych w Bytomiu, Dąbrowie Górniczej, Zabrzu i Raciborzu*, Biul. Śląskiej Stacji Geofiz. w Raciborzu, nr 8, rok 1955.

**S. Gibowicz, *Hodograf "fali" Sg - Pg dla wstrząsów górnosłaskich, Hodograf "fali" Lm - Pg dla wstrząsów górnosłaskich i niektóre zjawiska z nimi związane*, Biul. Inf. Komitetu MWG nr 2, 1961.

стояниях; в второй - помещаются исключительно землетрясения из Верхней Силезии.

Землетрясения дальних и средних расстояний обработаны на основании данных (географические координаты, начальные моменты сотрясений и глубина очага) находящихся в следующих зарубежных бюллетинах: Bureau Central International Séismologique (BCIS), U. S. Coast and Geodetic Survey, Washington (USCGS), ČS Statni Ustav Geofysikalni (Praha). Эпицентральные расстояния определены при помощи номограмм, а частично вычислялись непосредственно с точностью до $\pm 0,20$. При идентификации фаз использованы таблицы Жеффрейса-Буллена а также Гутенберга и Рихтера. При первой отчетливой фазе данного землетрясения компрессия обозначалась - буквой C, а дилатация - буквой D. Величина магнитуды для записей Обсерватории в Варшаве была вычислена по формуле

$$M = \log \frac{A}{T} + 1,75 \log \Delta + 3,00^*, \text{ где } A - \text{это максимальная амплитуда поверхностных волн в } \mu, T - \text{период волны в сек и } \Delta - \text{эпицентральное расстояние в градусах; для записей в Рацебуже величина магнитуды вычислялась по формуле: } M = \log A_{20} + 1,641 \log \Delta + 1,815^{**}.$$

Первая часть бюллетеня была разработана мгр Г. Левандowską при сотрудничестве д-ра Я. Пагачевского, мгр Г. Звинчак, М. Мазура из Кракова а также мгр Я. Войцеховского и Э. Пост из Рацебужа.

Вторая часть бюллетеня, заключающая землетрясения из Верхней Силезии, отмеченные на станциях в Рацебуже, Кракове, Недзицы и Хожове - сейсмологической станции Планетария и Астрономической Обсерватории - разработана д-ром С. Гибовичем. При подготовке бюллетеня д-р С. Гибович пользовался также записями зарегистрированными на станциях Главного Горного Института (GIG) в Бытоме, Домброве-Гурниче и в Забже. Первые фазы зарегистрированные этими станциями приводились перед каждым обработанным сотрясением на Верхней Силезии с обозначением регистрирующей станции. Фазы взятые из бюллетеня Главного Горного Института обозначались при станциях сокращением (GIG). Магнитуды силезских сотрясений

*I. Böhr - Modrakowa, Z. Droste, J. Hognedajuk, *Détermination d'une formule de la magnitude d'après les ondes superficielles pour l'Observatoire de Varsovie*, Biul. Obserwat. Sejsmolog. w Warszawie Nr 17, rok 1957, PWN Łódź-Warszawa 1961.

**Z. Droste, S. Gibowicz, *Determination of the magnitude of distant earthquakes at the Silesian Geophysical Station in Racibórz* (*Wyznaczanie magnitudy trzęsień dalekich z fal powierzchniowych dla Śląskiej Stacji Geofizycznej w Raciborzu*) Acta Geophys. Polon. vol. 6, nr 3 1958.

для Рацибужа были вычислены на основании регистрации сейсмографов Майнки на станциях в Бытоме, Забже и Рацибуже*. Географические координаты и начальные моменты некоторых сотрясений были определены на основании прочтенных интервалов времени S-P на силезских станциях**.

P. Тейссенре

AVANT - PROPOS

La présente publication contient des données concernant les tremblements de terre en 1961 registrés par les séismographes de toutes les stations séismologiques de l'Institut de Géophysique de l'Académie Polonaise des Sciences (Cracovie, Racibórz, Varsovie, Niedzica)***.

Le bulletin est composé de deux parties. La première comprend les résultats d'élaboration des tremblements de terre éloignés, la deuxième - des secousses registrées en Haute Silésie.

Pour l'étude des tremblements de terre éloignés on s'est servi de certaines données (telles que coordonnées géographiques de l'épicentre profondeur de foyer, le moment de l'origine du seisme (publiées dans les Bulletins du Bureau Central International Séismologique (BCIS), U.S. Coast and Geodetic Survey - Washington (USCGS), ainsi que du CS Statni Ustav Geofysikalni (Praha). Les distances épcentrales ont été déterminées avec l'exactitude $\pm 0,2^\circ$. L'identification des phases a été réalisée à l'aide des tables de Jeffreys-Bullen ainsi que de celles de Gutenberg et Richter.

Dans les cas d'enregistrement net des premières phases des tremblements de terre, le caractère de la phase est marqué par une lettre: la lettre C correspond à compression, la lettre D - à dilatation.

La magnitude des tremblements de terre a été déterminée sur la base d'enregistrement des ondes superficielles. On a appliqué pour l'Observatoire séismologique de Varsovie la formule suivante: $M = \lg \frac{A}{T} + 1 + 1,75 \lg \Delta + 3,00$ ****, et pour la

* S. Gibowicz, Wyznaczanie magnitud wstrząsów górnosłowiskich na stacjach sejsmologicznych w Bytomiu, Dąbrowie Górnictwa, Zabrzu i Raciborzu, Biul. Śląskiej Stacji Geofiz. w Raciborzu, nr 8, rok 1955.

** S. Gibowicz, Hodograf "fali" Sg - Pg dla wstrząsów górnosłowiskich, Hodograf "fali" Im - Pg dla wstrząsów górnosłowiskich i niektóre zjawiska z nimi związane, Biul. Inf. Komitetu MWG nr 2, 1961.

*** La station de Niedzica se trouve dans les Piénines. Elle est pourvue de séismographes électrodynamiques, type SK-58. Le Bulletin a publié en majeure partie les rapports sur les secousses à proximité.

**** I. Bóbrow - Modrakowa, Z. Droste, J. Hordejuk, Détermination d'une formule de la magnitude d'après les ondes superficielles pour l'Observatoire de Varsovie. Biul. Obserwat. Sejsmolog. w Warszawie Nr 17, rok 1957, PWN Łódź-Warszawa 1961.

Station Géophysique Silesienne de Racibórz la formule $M = \lg A_{20} + 1,641 \lg \Delta + 1,855$, dans ces formules A - signifie amplitude maximale en μ , T - la période en secondes, Δ - la distance épcentrale en degrés.

La première partie de cette publication est préparée par Mme H. Lewandowska, avec la collaboration du Dr J. Pagaczewski, Mme H. Zwinczak et M.M. Mazur de Cracovie, ainsi que de M.J. Wojciechowski et E. Post de Racibórz.

La deuxième partie du Bulletin est élaborée par Dr S.Gibowicz. Cette partie comprend les résultats de l'enregistrement des secousses de la région de Haute Silésie, registrées aux stations de Racibórz, de Cracovie, de Niedzica et de Chorzów (cette dernière station fait partie de l'Observatoire et du Planétarium Astronomique). Le Dr S. Gibowicz a également profité de données des stations de Bytom, Zabrze, Dąbrowa Górnica, subordonnées à l'Institut Central des Mines (GIG). Les données de ces stations ne comprennent que les temps des premières impulsions et sont publiées avec les données de caractéristique générale de l'épicentre de la secousse. Le symbole (GIG), accompagnant le nom de la station indique que le temps de la première impulsion provient des études de l'Institut Central des Mines. Dans tous les autres cas, le temps des premières impulsions a été déterminé par le Dr S. Gibowicz.

Les valeurs des coordonnées géographiques des secousses silésiennes, leurs moments de l'origine ainsi que les distances épcentrales ont été déterminées sur la base des intervalles des temps des phases S et P dans chaque station particulière. Les valeurs des magnitudes ont été calculées après l'enregistrement de séismographes Mainka des stations de Bytom, Zabrze et Racibórz.

Z. Droste, S. Gibowicz, Determination of the magnitude of distant earthquakes at the Silesian Geophysical Station in Racibórz, Wyznaczanie magnitud trzęsień dalekich z fal powierzchniowych dla Śląskiej Stacji Geofizycznej w Raciborzu. Acta Geophys. Polonica, vol. VI, nr 3, 1958.

S. Gibowicz, Hodograf "fali" Sg - Pg dla wstrząsów górnosłowiskich, Hodograf "fali" Im - Pg dla wstrząsów górnosłowiskich i niektóre zjawiska z nimi związane, Biul. Inf. Komitetu MWG Nr 2, 1961.

S. Gibowicz, Wyznaczenia magnitud wstrząsów górnosłowiskich na stacjach sejsmologicznych w Bytomiu, Dąbrowie Górnictwa, Zabrzu i Raciborzu, Biul. Śląskiej Stacji Geofiz. w Raciborzu, Nr 8, rok 1955.

OBSERWATORIUM SEJSMOLOGICZNE W WARSZAWIE

P o d l o ż e: piaski, utwory lodowcowe.
 Położenie: $\varphi = 52^{\circ}14'30''$ N, $\lambda = 21^{\circ}01'25''$ E, h=110 m.
 Warunki termiczne piwnicy obserwacyjnej: temperatura wahala sie w 1961 roku od +18,9°C (luty) do +22,2°C (wrzesień); średnia temperatura roczna wynosiła +20,7°C.
 Wilgotność wzgledna piwnicy obserwacyjnej zmieniała się od 48% (luty) do 80% (sierpień).
 Przyrzad: Sejsmografy Golicyna-Wilipa (NS, EW i Z) z galwanometryczną rejestracją. Zegar kontaktowy Siemens i Halske sprawdzany za pomocą sygnałów radiowych.

Stałe instrumentalne

Golicyn-Wilip (GW) od 1.I. do 28.II.1961 roku

	N	E	Z
T ₁	11,64 sek	11,10 sek	7,42 sek
T ₂	11,50 sek	11,57 sek	11,36 sek
μ^2	-0,303	+0,077	+0,044
K	43,5	49,5	98,3
l _o	11,527 cm	11,357 cm	14,900 cm
A	100 cm	100 cm	102 cm
V _o	1381,91	1601,10	2434,32
R	30 mm/min	30 mm/min	30 mm/min

Golicyn-Wilip (GW) od 1.III. do 31.XII.1961 roku

	N	E	Z
T ₁	10,32 sek	11,27 sek	7,12 sek
T ₂	11,51 sek	11,33 sek	11,28 sek
μ^2	-0,43	-0,17	+0,44
K	62,8	54	98,6
l _o	11,527 cm	11,357 cm	14,900 cm
A	97 cm	102 cm	102 cm
V _o	1937,13	1750,32	2425,50
R	30 mm/min	30 mm/min	30 mm/min

ŚLĄSKA STACJA GEOFIZYCZNA W RACIBORZU

P o d l o ż e: ily mioceńskie
 Położenie: $\varphi = 50^{\circ}05'00,3''$ N, $\lambda = 18^{\circ}11'39''$ E, h=209 m

Piwnica obserwacyjna I

Warunki termiczne: temperatura wahala sie w ciągu roku od +9°C do +18°C. Wilgotność wzgledna wynosiła około 95%. Przyrzad: sejsmografy Mainki (NS, EW, Z) o rejestracji mechanicznej.

Piwnica obserwacyjna II

Warunki termiczne: znaczne wahania temperatury od +3°C do +22°C. Wilgotność wzgledna około 94%. Przyrzad: sejsmografy elektrodynamiczne SK-58 (NS, EW, Z) o rejestracji galwanometrycznej.

Piwnica obserwacyjna III

Warunki termiczne: znaczne wahania temperatury od +3,5°C do +18°C. Wilgotność wzgledna około 94%. Przyrzad: sejsmografy elektrodynamiczne SD-57 (NS, EW, Z) o rejestracji galwanometrycznej. Regularność chodu zegarów kontaktowych sprawdzana była z sygnałami radiowymi.

Stałe instrumentalne

Sejsmografy Mainki (M)

	N	E	Z
M	1050 kg	1050 kg	750 kg
T ₁	6,22 sek	6,32 sek	2,11 sek
D ₁	0,20	0,21	0,08
V _o	155	151	173
R	30 mm/min	30 mm/min	30 mm/min

Sejsmografy elektrodynamiczne SK-58 (SK)

	N	E	Z
T ₁	2,10 sek	2,10 sek	2,10 sek
T ₂	0,45 sek	0,45 sek	0,53 sek
D ₁	0,7	0,7	0,7
D ₂	3,0	3,0	3,0
G ²	0,0091	0,0086	0,0552
V _o	1500	1500	1500
R	60 mm/min	60 mm/min	60 mm/min

Sejsmografy elektrodynamiczne SD-57 (SD)

	N	E	Z
T ₁	10 sek	10 sek	10 sek
T ₂	0,96 sek	0,87 sek	0,75 sek
D ₁	0,45	0,45	0,45
D ₂	5,0	5,0	5,0
G ²	0,0048	0,0014	0,284
V _o	600	600	600
R	30 mm/min	30 mm/min	30 mm/min

OBSERWATORIUM SEJSMOLOGICZNE W KRAKOWIE

P o d l o ż e: wapień jurajski.
 P o łoż e n i e: $\varphi = 50^{\circ}03', 1^{\circ}$, N, $\lambda = 19^{\circ}57', 2^{\circ}$ E, h = 223 m.
 W a r u n k i t e r m i c z n e p iwnicy obserwacyjnej: tem-
 peratura wahala sie w ciagu roku 1961 od $+15,6^{\circ}\text{C}$ do $+17,0^{\circ}\text{C}$.
 W i l g o t n o ść wzgledna wynosiła około 73-75%.
 P r z y r z ą d y: sejsmografy Golicyn-Wilip (NS i EW), sejs-
 mografy Charina (NS, EW i Z) z rejestracjami galwanometrycz-
 nymi. Zegar kontrolny, którego chód był sprawdzany z sygnałami
 radiowymi.

Stałe instrumentalne

Golicyn-Wilip (GW)

	N	E	Z
T ₁	15,54 sek	8,47 sek	4,70 sek
T ₂	3,47 sek	4,23 sek	5,00 sek
D ₁	1,00	0,43	0,51
D ₂	1,08	0,76	0,98
G ²	0,019	0,036	0,031
V _o	1600	1350	1140
R	30 mm/min	30 mm/min	30 mm/min

Sejsmografy Charina (Ch)

	N	E	Z
T ₁	1,50 sek	1,50 sek	1,00 sek
T ₂	0,36 sek	0,33 sek	0,29 sek
D ₁	0,75	0,75	0,75
D ₂	2,00	2,00	2,00
G ²	0,50	0,50	0,45
V _o	19680	16420	19650
R	60 mm/min	60 mm/min	60 mm/min

STACJA SEJSMOLOGICZNA W NIEDZICY

P o d l o ż e: wapień jurajski.
 P o łoż e n i e: $\varphi = 49^{\circ}25', 5^{\circ}$ N, $\lambda = 20^{\circ}19', 3^{\circ}$ E, h = 555 m.
 W a r u n k i t e r m i c z n e p iwnicy obserwacyjnej: znacz-
 ne wahania temperatury od 0°C (m-ce zimowe) do $+18^{\circ}\text{C}$ (m-ce
 letnie).
 W i l g o t n o ść wzgledna wynosiła około 99%.
 P r z y r z ą d y: sejsmografy elektrodynamiczne SK-58 (NS,
 EW i Z) z rejestracją galwanometryczną. Zegar kontrolny spraw-
 dzany za pomocą sygnałów radiowych.

Stałe instrumentalne

Sejsmografy elektrodynamiczne SK-58 (SK)

	N	E	Z
T ₁	2,01 sek	2,01 sek	2,01 sek
T ₂	0,373 sek	0,367 sek	0,573 sek
D ₁	0,666	0,725	0,688
D ₂	2,37	2,96	3,02
G ²	0,41	0,505	0,81
V _o	5400	6270	11000
R	60 mm/min	60 mm/min	60 mm/min

STACJA SEJSMOLOGICZNA PRZY PLANETARIUM
I OBSERWATORIUM ASTRONOMICZNYM W CHORZOWIE

P o d l o ż e: piaskowce karbońskie.
 P o łoż e n i e: $\varphi = 50^{\circ}17', 33''$ N, $\lambda = 18^{\circ}59', 30''$ E, h = 316 m.
 W a r u n k i t e r m i c z n e p iwnicy sejsmicznej: mini-
 malne wahania dobowe, temperatura stała - około 22°C .
 P r z yr z ą d y: sejsmografy Wiecherta (NS, EW, Z) o reje-
 stracji mechanicznej i sejsmografy elektrodynamiczne SK-58
 (NS, EW, Z).
 Zegar kontaktowy Auricoste sprawdzany sygnałami radiowymi.

Stałe instrumentalne

Wiechert (W)

	N	E	Z
M	1000 kg	1000 kg	1450 kg
T ₁	4,9 sek	4,9 sek	1,1 sek
D ₁	0,240	0,280	0,187
V _o	110	110	215
R	15 mm/min	15 mm/min	30 mm/min

- 12 -

Sejsmografy elektrodynamiczne SK-58 (SK)

	N	E	Z
T ₁	1,80 sek	1,80 sek	1,80 sek
T ₂	0,46 sek	0,42 sek	0,35 sek
D ₁	0,60	0,60	0,60
D ₂	3,00	3,00	3,00
G ²	0,00965	0,00415	0,01032
V _o	1000	1000	1000
R	60 mm/min	60 mm/min	60 mm/min

Stałe:

- M - masa sejsmografu,
- T₁ - okres sejsmografu,
- T₂ - okres galwanometru,
- D₁ - stała tłumienia sejsmografu,
- D₂ - stała tłumienia galwanometru,
- μ^2 - stała tłumienia przy układzie Golicyn-Wilip,
- G² - współczynnik zależności sejsmografu i galwanometru,
- l_o - długość zredukowana wahadła,
- A - odległość od zwierciadła galwanometru do bębna rejestrującego,
- K - współczynnik przejścia,
- V_o - powiększenie statyczne,
- R - prędkość rejestracji.

WYNIKI OBSERWACJI SEJSMICZNYCH

РЕЗУЛЬТАТЫ СЕЙСМИЧЕСКИХ НАБЛЮДЕНИЙ

LES RESULTATS DES OBSERVATIONS SEISMIQUES

- 1961 -

Dates	Station	Phases	G.M.T. h m s	Dates	Station	Phases	G.M.T. h m s
1961						J A N V I E R	
1961							
1.I	Région des îles Fidji, USCGS: 18,3°S, 178,2°W, H = 16 ^h 38 ^m 27,8 ^s , h = 663 km ca	War.	Im	14 59 06			
Kra.	Δ = 145°. Traces	(GW)	NE: 17 ^s , 46μ, 18μ				
(Ch)	ePKP	16 56 59	Kra. Δ = 77°				
Rac.	Δ = 145,7°	(SD)	(GW) eP	14 18 23			
(SK)	ePKP	16 56 59	eS	28 16			
2.I	Région des îles Santa Cruz, USCGS: 12,4°S, 166,4°E, H = 10 ^h 11 ^m 56,9 ^s , h = 161 km ca; M = 6 ¾ (Pas.)	Rac.	eI	47			
War.	Δ = 131,5°	(SD)	Im	51 20			
	e1PKP	10 30 54	N: 21 ^s , 13μ				
	ePP	33 17	B: 23 ^s , 26μ				
	i	34 15	Rac. Δ = 77,3°				
	eL	11 16	(SD) eP	14 18 24			
Kra.	Δ = 133,5°	ePP	eS	28 20			
(GW)	ePKP	10 31 00	Im	52(00)			
		33 46	NZ: 22 ^s , 13μ, 16μ				
Rac.	Δ = 134°	(SD)	Iles Kouriles, USCGS:				
(SD)	ePKP	10 31 02	45,7°N, 149,3°E,				
	ePP	33 53	H = 15 ^h 09 ^m 37 ^s , h = 19 km ca				
5.I	Iles Andreanov, Aléoutiennes, USCCS: 51,6°N, 176,3°W, H = 14 ^h 06 ^m 25,9 ^s , h = 37 km ca; M = 6 ¾ (Pas., War.)	Kra.	Δ = 74,4°				
War.	Δ = 75°	(Ch)	iP	15 21 24			
	eP	14 18 11	ePeP	31			
	ePP	21 00	Rac.	Δ = 75°			
	ePPP	22 53	(SD)	eP	15 21 27		
	eS	27 53	ePeP	37			
	ePS	28 28	War.	Δ = 112,3°. Ag.mi.			
	eL	31,5	ePP	16 13 09			
	Im	59 00	ePS	22 39			
	Z: 17 ^s , 23μ	eL	27,5				
		Rac.	Δ = 115°				
		(SD)	e	16 13 11			
		ePP	ePP	37			
		Kra.	Δ = 113,8°				
		(GW)	ePS	16 23 03			

Dates	Station	Phases	G.M.T. h m s	Dates	Station	Phases	G.M.T. h m s
5.I suite)	Iles Loyauté, USCGS:			7.I	Côte W de Grèce, BCIS:		
	21,2°S, 169,3°E, H=17 ^h 57 ^m 56,6 ^s , h=123 km ca; M=6 3/4 (Pas.), IH=18 ^h 14 ^m 32 ^s				37,6°N, 20,8°E, H=15 ^h 52 ^m 51 ^s ; M=5-5 1/4 (Athènes)		
War.	Δ=140,5°			Rac.	Δ=12,6°		
	ePKP	18 17 20		(SK)	eP	15 55 56	
	ePP	20 19			ePP	56 05	
	eIPKS	58					
	ePS	30 44		7.I	Rac.		
	eIPKPI	34 01		(SK)	e	22 45 49	
	ePPI	36 59					
	eSSP	39 20		10.I	Iles Kouriles, USCGS:		
	ePPPI	40 21			49,9°N, 156,2°E, H=14 ^h 22 ^m 18,2 ^s , h=29 km ca;		
	eL	47,5			M=6 3/4 (Pas.), 7 (Moskva)		
	Im	19 33 28		War.	Δ=71°		
		Z: 22 ^s , 18μ			eIP	14 33 36	
		Im	33 36		ePPP	38 01	
		E: 20 ^s , 16μ			eS	42 54	
		Im	33 58		eL	47,5	
		N: 22 ^s , 28μ			Im	15 07 41	
Rac.	Δ=143,4°				B: 20 ^s , 99μ		
(SD)	ePKP	18 17 21			Im	07 50	
	ePP	20 39			N: 19 ^s , 66μ		
	eIPKPI	34 06		Kra.	Δ=73°		
	ePPI	37 19		(GW)	eP	14 33 51	
	Im	19 36(30)			ei	34 23	
		Z: 24 ^s , 9μ			eS	43 13	
Kra.	Δ=142,3°				eL	15 02	
(GW)	ePKP	18 17 22			Im	09 37	
	ePP	20 31			B: 19 ^s , 31μ		
	eL	55			Im	09 39	
	Im	19 33 57			N: 19,5 ^s , 65μ		
		E: 18 ^s , 8,3μ		Rac.	Δ=73,5°. Forte ag.mi.		
		Im	34 52	(SD)	eP	14 33 54	
		N: 22 ^s , 14μ			ePcP	34 15	
7.I	Crète, USCGS: 35,9°N, 27,0°E, H=10 ^h 30 ^m 58,0 ^s , h=127 km ca				eS	43 31	
Rac.	Δ=15,6°				ePPS	44 22	
(SK)	eP	10 34 31			Im	15 09(36)	
	ePP	57			NEZ: 20 ^s , 20μ, 13μ, 38μ		
			11.I	Iles aux Renards, Aléoutiennes,			

Dates	Station	Phases	G.M.T. h m s	Dates	Station	Phases	G.M.T. h m s
11.I (suite)	USCGS: 51,8°N, 171°W, H=11 ^h 59 ^m 55,0 ^s , h=47 km ca			14.I		explosion, 49,8°N, 15,2°E, H=23 ^h 25 ^m 40 ^s	
War.	Δ=75,4°			Rac.	Δ=2,0°. Traces		
	iP	12 11 42		(SK)	e	23 27 06	
	ePcP	53					
	eS	21 23		15.I	Sud de l'Australie, USCGS: 53,6°S, 139,6°E, H=01 ^h 02 ^m 50,2 ^s , h=25 km ca		
	eSKS	39					
	eL	34					
	Rac.	Δ=77,4°		Rac.	Δ=144,5°. Traces		
	(SK)	eP	12 11 53	(SK)	ePKP	01 22 28	
	ePcP	12 03					
	Kra.	Δ=77,5°		15.I	Iles Loyauté, USCGS: 20,4°S, 169,5°E, H=16 ^h 44 ^m 44,8 ^s , h=182 km ca		
	(GW)	eP	12 11 58				
	Lm	52 08					
		B: 17 ^s , 5,3μ		Rac.	Δ=142,8°. Traces		
		Im	57 34	(SK)	ePKP	17 03 58	
		N: 17 ^s , 5,7μ					
	11.I	Rac.		16.I	Près de la côte Est de Hondo, USCGS: 36,0°N, 141,1°E, H=07 ^h 20 ^m 18,6 ^s , h=131 km ca; M=6 3/4 - 7 (Pas.), 7 (Moskva)		
	(SK)	e	12 52 49				
		Péninsule de l'Alaska, USCGS: 57,4°N, 155,9°W, H=14 ^h 13 ^m 27,7 ^s , h=40 km ca		Kra.	Δ=79,3°		
	12.I	Rac.		(GW)	eIP	07 32 20	
	(SK)	eP	14 24 54		i	22	
		Rac.	Δ=72°. Traces		eIPP	41	
		(SK)	eP		ePP	35 18	
			14 24 54		Lm	08 11 34	
						B: 14,5 ^s , 10,5μ	
	13.I	Rac.			Im	11 50	
	(SK)	e	15 02 21		N: 15 ^s , 14μ		
		Région de l'Île Unimak, USCGS: 53,9°N, 163,7°W, H=16 ^h 38 ^m 55,6 ^s , h=41 km ca		Rac.	Δ=80°		
	14.I	Rac.		(M)	eP	07 32 23	
	(SK)	e			iPcP	27	
		Rac.	Δ=73,8°. Ag.mi.		ePP	35 29	
		(SD)	eP		i	36 34	
			16 50 28		eiScS	42 33	
					Lm	08 11(12)	
						NE: 17 ^s , 125μ, 125μ	
		War.	Δ=73,8°. Ag.mi.				
			eP	16 50 28			
			eL	17 14			
			Rac.	Δ=76°			
			(SK)	iP	16 50 46		16.I
				ePcP	57		
							Près de la côte Est de Hondo, USCGS: 35,7°N, 140,6°E, H=11 ^h 19 ^m 46,5 ^s , h=157 km ca
			14.I	Tchécoslovaquie, BCIS:			

- 18 -

Dates	Station	Phases	G.M.T. h m s	Dates	Station	Phases	G.M.T. h m s
16.I (suite)	War.	$\Delta=77,5^{\circ}$		16.I	Kra.	eIPP	12 27 38
	eP		11 31 34	(GW)	Lm		13 33 50
	ePcP		44			NE: 15 ^S , 56 μ , 73 μ	
	eS		41 09	Rac.	$\Delta=80^{\circ}$		
	eSKS		26	(SD)	eP		12 24 39
	eScS		32		ePcP		52
	eL		12 07		ePP		25 00
Kra. (GW)	$\Delta=79,4^{\circ}$				eS		27 45
	eP		11 31 36		ePS		34 21
	eIPcP		56		Lm		35 37
	ePP		34 43			NEZ: 16 ^S , 6 μ , 5 μ , 17 μ	
	eL		12 04	16.I	Près de la côte E de Hondo, USCGS: 36,3 ^N , 141,2 ^E , H=14 ^h 04 ^m 05,3 ^s , h=127 km ca; M=6,0 (Moskva)		
	Lm		11 06	Kra. (GW)	$\Delta=79^{\circ}$		
		E: 15 ^S , 15 μ			eP		14 16 05
		Lm	11 08		ePP		18 54
		N: 14 ^S , 13 μ			eL		48
Rac. (SK)	$\Delta=80^{\circ}$				Lm		55 22
	eP		11 31 50			N: 14 ^S , 9,2 μ	
	ePP		32 15			Lm	56 01
	esP		24			E: 14 ^S , 11,5 μ	
16.I	Près de la côte Est de Hondo, USCGS: 35,2 ^N , 141 ^E , H=11 ^h 41 ^m 06,2 ^s , h=149 km ca			Rac. (SK)	$\Delta=79,8^{\circ}$		
War.	$\Delta=77,5^{\circ}$				eP		14 16 09
	eS		12 02 24		ePcP		20
	eSKS		44	War.	eL		14 44
	eScS		56	16.I	Près de la côte E de Hondo, USCGS: 36,4 ^N , 140,6 ^E , H=15 ^h 41 ^m 23,3 ^s , h=147 km ca; M=6 $\frac{1}{2}$ -6 $\frac{3}{4}$ (Pas.), 7 (Moskva)		
16.I	Hondo, USCGS: 36,2 ^N , 141,7 ^E , H=12 ^h 12 ^m 35 ^s , h=105 km ca;			War.	eL		
War.	$\Delta=77,5^{\circ}$					NEZ: 1,2 ^S , 1,1 μ , 1,0 μ	
	iP		12 24 26	War.	$\Delta=77^{\circ}$		1,6 μ
	eIPcP		35		iP		
	iPP		27 33		ePcP		15 53 09
	ePPP		29 06		ePP		22
	eSKS		34 20		eS		56 14
Kra. (GW)	$\Delta=79,4^{\circ}$				eScS		16 02 58
	eIP		12 24 37		eSP		03 16
	ePcP		50		eL		28

- 19 -

Dates	Station	Phases	G.M.T. h m s	Dates	Station	Phases	G.M.T. h m s	
16.I (suite)	War.	Lm		16 31 41	19.I	Région des Nouvelles Hébrides, USCGS: 14,4 ^S , 166,7 ^E , H=04 ^h 21 ^m 16,0 ^s , h=26 km ca		
		E: 14 ^S ; 59 μ				Lm	31 50	
		N: 15 ^S , 47 μ		Rac.	$\Delta=136^{\circ}$. Traces			
Kra. (GW)	$\Delta=79^{\circ}$			(SK)	ePKS		04 44 26	
	eIP		15 53 20	19.I	Iles Kouriles, USCGS et BCIS: 49,7 ^N , 155,8 ^E , H=17 ^h 22 ^m 16,9 ^s , h=31 km ca			
	eIPP		56 20	Kra. (GW)	$\Delta=73^{\circ}$			
	eScS		16 03 30		eP		17 33 53	
	eL		23		Lm		18 09 19	
	Lm		32 29			N: 20 ^S , 4,8 μ		
		E: 15 ^S , 42 μ		War.	eL		17 59	
		N: 15,5 ^S , 40 μ						
Rac. (SD)	$\Delta=79,5^{\circ}$			20.I	Région de l'Île Kodiak, USCGS: 56,4 ^N , 152,3 ^W , H=17 ^h 09 ^m 15,7 ^s , h=46 km ca; M=6 $\frac{1}{4}$ -6 $\frac{1}{2}$ (Pas.)			
	eP		15 53 23	War.	$\Delta=71^{\circ}$			
	esPcP		54 12		eP		17 20 37	
	ePP		56 28		eS		29 55	
	eS		16 03 16		ePS		30 18	
	Lm		32(30)		eL		42	
		NEZ: 18 ^S , 6 μ , 5 μ , 12 μ		Rac. (SK)	$\Delta=73^{\circ}$			
					eP		17 20 48	
					ePcP		56	
Ndz.	$\Delta=9,7^{\circ}$			Kra. (GW)	$\Delta=73^{\circ}$			
(SK)	eP		01 54 20		eP		17 20 50	
					eS		30 21	
					ePPS		31 01	
Rac. (SK)	$\Delta=8,2^{\circ}$				eL		51	
	e		01 54 35					
	eS		55 47					
	eSS		56					
	eSg		56 32					
	Lm		57 08					
		NEZ: 1,2 ^S , 1,1 μ , 1,0 μ						
		1,6 μ						
Kra. (GW)	$\Delta=9,0^{\circ}$			20.I	08 ^E de Hondo, USCGS: 38,1 ^N , 141,2 ^E , H=22 ^h 34 ^m 51,1 ^s , h=52 km ca			
	e		01 56 26					
	eISg		57 08					
				18.I	Collm: explosion en Allemagne orientale			
Rac.	*							
	e		11 01 46					
Kra. (Ch)	$\Delta=77,6^{\circ}$							
	eP		22 46 50					
	ePcP		47 07					

- 20 -

Dates	Station	Phases	G.M.T. h m s	Dates	Station	Phases	G.M.T. h m s
20.I (suite)	Rac. (SK)	$\Delta = 79^\circ$ eP ePcP	22 46 53 47 06	22.I	Iles Kermadec, USCGS:		
					28,5°S, 174,8°W, H=16 ^h 09 ^m 37,3 ^s , h=68 km ca		
21.I		Au large de la Norvège, Uppsala: 68°N, 12°E, H=05 ^h 29 ^m 37 ^s		Rac. (SK)	$\Delta = 156^\circ$ ePKP ₂ i	16 29 48 57	
	Ndz. (SK)	$\Delta = 19,0^\circ$ ePP	05 34 13	22.I	Rac. (SK)	e	20 30 43
	Rac. (SK)	$\Delta = 18,2^\circ$. Traces e	05 39 16	23.I	Hokkaido, USCGS: 42,9°N, 145,4°E, H=04 ^h 48 ^m 21,4 ^s , h=46 km ca		
22.I		Région des Iles Santa Cruz, USCGS et BCIS: 11,9°S, 166,2°E, H=03 ^h 24 ^m 04,5 ^s , h=25 km ca; M=7 (Pas., War.)		Kra. (Ch)	$\Delta = 75,4^\circ$ iP ePcP	05 00 08 15	
	War.	$\Delta = 131^\circ$ ePKP ePP ePKS ePPP ePS eL	03 43 18 45 41 46 45 48 30 55 40 04 22	24.I	Région des Nouvelles Hébrid USCGS: 15,6°S, 167,6°E, H=07 ^h 25 ^m 04,5 ^s , h=198 km ca		
		Lm	40 50	25.I	Rac. (SK)	$\Delta = 136,7^\circ$ ePKP	07 44 09
		Z: 17 ^s , 14 μ			Près de la côte W de Sumatr		
		Lm	43 16		USCGS: 4,9°S, 102,7°E, H=00 ^h 54 ^m 09,2 ^s , h=135 km ca		
		E: 18 ^s , 30 μ		Rac. (SK)	$\Delta = 90,3^\circ$, Traces eP	01 07 01	
		Lm	44 18	26.I	Iles Loyauté		
		N: 19 ^s , 29 μ		War.	eL	17 20	
	Rac. (SK)	$\Delta = 133,7^\circ$ ePKP	03 43 22				
	Kra. (GW)	$\Delta = 132,8^\circ$ ePP	03 43 37 45 49	28.I	Pacifique Sud, USCGS: 45,0°S, 105,8°W, H=14 ^h 06 ^m 21,0 ^s , h=144 km ca		
		Lm	49 29		Kra. (Ch)	$\Delta = 144^\circ$ ePKP	14 25 45
		B: 17 ^s , 12 μ					
		Lm	49 34				
		N: 18 ^s , 13 μ					
22.I		Proche		30.I	Explosion dans l'Est de la Tchécoslovaquie (BCIS)		
	Kra. (Ch)	i	14 55 20,5				

- 21 -

Dates	Station	Phases	G.M.T. h m s	Dates	Station	Phases	G.M.T. h m s
30.I (suite)	Rac. (SK)	e	12 30 55	31.I	Kra.	$\Delta=73,5^{\circ}$	
31.I	Région de l'Ile Kodiak, USCGS: $55,80^{\circ}\text{N}$, $153,9^{\circ}\text{W}$, $H=00^{\text{h}}48^{\text{m}}36,5^{\circ}$, $h=26$ km ca			(Ch)	eP	01 00 13	
	Rac. (SK)	$\Delta=73,5^{\circ}$			ePcP	24	
	eP	01 00 13		War.	$\Delta=71,5^{\circ}$. Ag.mi.		
	ePcP	29			eS	01 09 26	
					eL	22	
1961				F E V R I E R			1961
1.II	Proche			4.II	Rac. (SK)	$\Delta=63,3^{\circ}$	
Kra.					iP	09 02 06	
(Ch)	e	08 55 57		4.II	Kamtchatka, USCGS et BCIS: $50,3^{\circ}\text{N}$, $156,4^{\circ}\text{E}$, $H=12^{\text{h}}49^{\text{m}}37,7^{\circ}$ $h=161$ km ca		
1.II	Proche				Kra.	$\Delta=72,5^{\circ}$	
Ndz.					(CH)	eP	13 00(52)
(SK)	e	09 00 56			Rac.	$\Delta=73,3^{\circ}$. Traces	
Kra.					(SK)	eP	13 00 58
(Ch)	e	09 01 05,7		4.II	Formose, USCGS: $24,0^{\circ}\text{N}$, $122,7^{\circ}\text{E}$, $H=19^{\text{h}}09^{\text{m}}12,9^{\circ}$, $h=14$ km ca		
3.II	Hondo, USCGS: $36,4^{\circ}\text{N}$, $141,0^{\circ}\text{E}$, $H=13^{\text{h}}31^{\text{m}}44,7^{\circ}$, $h=103$ km ca				Kra.	$\Delta=79,5^{\circ}$	
Kra.	$\Delta=79^{\circ}$				(CH)	eP	19 21 22
(SK)	eP	13 43 45			(GW)	eL	56
Rac.	$\Delta=81^{\circ}$. Traces				Rac.	$\Delta=80,3^{\circ}$	
(SK)	eP	+ 13 43 49			(SK)	eP	19 21 28
4.II	Rhénanie, entre Alsdorf et Jülich, Bensberg; $50,9^{\circ}\text{N}, 6,2^{\circ}\text{E}$, $H=23^{\text{h}}57^{\text{m}}51^{\circ}$				ePoP	36	
Rac.	$\Delta=7,8^{\circ}$				War.	Ag.mi.	
(SK)	eS*	00 01 45			eL	19 50	
	eSg	02 08		4.II	Proche		
Kra.	$\Delta=8,7^{\circ}$				Ndz.		
(Ch)	eSg	00 02 33			(SK)	e	
4.II	Au Nord de la Birmanie, USCGS et BCIS: $24,7^{\circ}\text{N}, 95,3^{\circ}\text{E}$, $H=08^{\text{h}}51^{\text{m}}48,9^{\circ}$, $h=162$ km ca				23 44 22,5		
				5.II	Proche		
					Kra.		
					(CH)	e	
					10 56 43		
				5.II	Au Sud de Panama, USCGS:		

- 22 -

Dates	Station	Phases	G.M.T. h m s	Dates	Station	Phases	G.M.T. h m s
5.II (suite)		8,0°N, 82,8°W, H=15 ^h 38 ^m 34,0 ^s , h=49 km ca		7.II	Rac. (SK)	Δ=46°. Traces eP	03 06 17
Rac. (SK)	eP	Δ=90,7° 15 51 37		7.II		Iles Kouriles, USCGS: 43,9°N, 149,1°E, H=21 ^h 01 ^m 37,3 ^s , h=36 km ca	
War.	Traces. Ag.mi. eL	16 29		Kra. (Ch)	Δ=75,8° eIP	21 13 19	
Kra. (GW)	eL	16 32		Rac. (SK)	Δ=76,5° eP ePeP	21 13 27 36	
6.II		Kouriles, USCGS: 44,8°N, 149,1°E, H=18 ^h 15 ^m 21,6 ^s , h=25 km ca		8.II		Proche	
Kra. (Ch)	iP ePeP	18 27 10 20		Kra. (Ch)	e	02 35 27	
Rac. (SK)	IP ePeP	18 27 13 D 23		8.II		Région des Nouvelles Hébrides, USCGS: 15,3°S, 167,5°E, H=02 ^h 36 ^m 40,5 ^s , h=163 km ca	
6.II		Iles Salomon, USCGS: 6,8°S, 155,3°E, H=21 ^h 45 ^m 13,5 ^s , h=59 km; M=6 1/4 (Pas.), 6,8 (War.)		Rac. (SK)	Δ=137,5°. Traces ePKP	02 55 49	
Kra. (Ch)	eiPKP eL	22 04 08 06		8.II		Proche	
Rac. (SK)	ePKP	22 04 09		Kra. (Ch)	e	04 26 08,9	
War.	Δ=121,3°. Ag.mi. ePP ePS	22 05 38 15 22		8.II		Frontière Brésil - Pérou, USCGS: 10,6°S, 71,0°W, H=08 ^h 04 ^m 13,8 ^s , h=669 km ca	
	eL	42		Rac. (SK)	Δ=97,5°. Traces eP	08 16 47	
	Lm	58 45		8.II		Proche	
	Z: 21 ^s , 10μ			Kra. (Sh)	e	11 58 49,2	
	Lm	58 51		8.II		Iles Tonga, USCGS: 20,4°S, 178,1°W, H=17 ^h 50 ^m 45,2 ^s , h=543 km ca	
	N: 21 ^s , 13μ			Rac. (SK)	Δ=147,5° ePKP ₂ i	18 09 29 37	
	Lm	58 55					
	E: 20 ^s , 12μ						
7.II		Mer d'Arabie, BCIS: vers 14 1/2°N, 54°E, H=02 ^h 57,9 ^m					

- 23 -

Dates	Station	Phases	G.M.T. h m s	Dates	Station	Phases	G.M.T. h m s
8.II (suite)	Kra. (Ch)	Δ=147° 1PKP	18 09 31	11.II		Iles Kermadec, USCGS et BCIS: 28,2°S, 177,5°W, H=21 ^h 01 ^m 06,4 ^s , h=41 km ca; M=6 1/4 (Pas.)	
9.II		Kermadec, USCGS: 28,2°S, 177,4°W, H=02 ^h 08 ^m 15,9 ^s , h=37 km ca, M=6 1/4 (Pas.)		War.	Δ=152,3°. Ag.mi. eIPKP ₁	21 20 52	
War.	Δ=152,4°, Ag.mi. ePP	02 28 03 31 52		Kra. (Ch)	Δ=154,3° ePKP ₁	21 20 56	
	eL	03 28		Rac. (SK)	Δ=155° 1PKP ₁ 1PKP ₂	21 20 56 D 21 24	
	Kra. (Ch)	Δ=154,2° ePKP ₁ ePKP ₂	02 28 07 36	12.II		Iles Kouriles, USCGS: 43,7°N, 147,6°E, H=21 ^h 53 ^m 43,5 ^s , h=45 km ca; M=6 1/4 -7 (Pas.), 7,1 (Pruhonice), 7,3 (War.)	
	eL	03 33		War.	Δ=73,5°. Ag.mi. iP	22 05 18 C Pm	
	Kra. (Ch)	Proche				Z: 5 ^s , 17μ	
						ePoP	05 38
						ePP	08 08
						1S	14 44
						Sm	50
						E: 5 ^s , 16μ	
						Sm	14 53
						N: 8 ^s , 21μ	
						eSKS	15 24
						eL	20
						Lm	22 39 55
						N: 18 ^s , 220μ	
						Lm	39 59
						E: 14 ^s , 53μ	
						Lm	40 18
						Z: 18 ^s , 108μ	
						Kra. (GW)	Δ=75,5° iP
							22 05 30
						eIS	15 10

- 24 -

Dates	Station	Phases	G.M.T. h m s	Dates	Station	Phases	G.M.T. h m s	
12.II (suite)	Rac. (SD)	$\Delta=76,3^{\circ}$ iP iPcP eS eL Im	22 05 34 46 15 17 19 43(24) EZ: $15^{\circ}, 57\mu, 67\mu$	13.II	Iles Kouriles, USCGS: 44,0°N, 147,7°E, H=23 ^h 26 ^m 34,5 ^s , h=23 km ca; M=6 (Moskva), 6,3 (Pruhonice), 6,5 (War.)	$\Delta=75^{\circ}$, Traces (Ch) eiP ePcP	43,8°N, 147,0°E, H=09 ^h 06 ^m 55,9 ^s , h=25 km ca Kra. (Ch)	13.II
13.II	Iles Kouriles, replique du précédent, USCGS: 44,0°N, 147,7°E, H=23 ^h 26 ^m 34,5 ^s , h=23 km ca; M=6 (Moskva), 6,3 (Pruhonice), 6,5 (War.)	War.	$\Delta=73,2^{\circ}$. Ag.mi. eP ePcP eS Im	13.II	Iles Kouriles, USCGS: 43,7°N, 149,6°E, H=16 ^h 27 ^m 20,9 ^s , h=25 km ca; M=6-6 1/4 (Pas.), 6 (Moskva)	$\Delta=74,2^{\circ}$. Traces eP ePcP eS eL	16 38 58 39(14) 48 30 17 10	
	War.	16 23 E: $13^{\circ}, 21\mu$ Im	16 25 N: $16^{\circ}, 17\mu$	Kra. (GW)	$\Delta=76,3^{\circ}$ (GW)	eP eS eL	16 39 09 48 51 17 12	
	Kra. (GW)	$\Delta=75,3^{\circ}$ eP	23 38 20	Rac. (SK)	$\Delta=77^{\circ}$ (SK)	iP ePcP	16 39 15 D 23	
	Rac. (SD)	$\Delta=76^{\circ}$ eiP	23 38 26	13.II	Iles Kouriles, USCGS: 43,6°N, 148,1°E, H=22 ^h 37 ^m 12,9 ^s , h=40 km ca	Rac. (SK)	$\Delta=76,5^{\circ}$. Traces eP ePcP	22 49 06 16
		ePcP eS Im	39 48 13 00 16(30) EZ: $15^{\circ}, 7\mu, 14\mu$	14.II	Iles Kouriles, USCGS: 43,7°N, 147,5°E, H=00 ^h 15 ^m 40,6 ^s , h=92 km ca	Kra. (Ch)	$\Delta=75,5^{\circ}$ eP ePcP	00 27 24 34
13.II	Iles Kouriles, USCGS: 43,5°N, 148,1°E, H=02 ^h 31 ^m 19,4 ^s , h=60 km ca	Kra. (Ch)	$\Delta=75,8^{\circ}$. Traces eP epP	14.II	Iles Kouriles, USCGS: 43,7°N, 147,5°E, H=00 ^h 15 ^m 40,6 ^s , h=92 km ca	Rac. (SK)	$\Delta=76,4^{\circ}$. Traces eP	00 27 26
13.II	Région des Iles Tonga	War.		14.II	Iles Kouriles, USCGS: 44,2°N, 147,8°E, H=02 ^h 51 ^m 15,3 ^s , h=98 km ca	Kra. (GW)	eL eL	07 56 07 59

- 25 -

Dates	Station	Phases	G.M.T. h m s		Dates	Station	Phases	G.M.T. h m s
14.II (suite)	Kra. (Ch)	$\Delta=75,2^\circ$ eP ePcP	03 02 56 03 11		15.II	Rac.	Im EZ: 13^S , 4μ , 9μ	11 35 (54)
	Rac. (SK)	$\Delta=75,8^\circ$ eP ePcP	03 02 57 03 13		15.II	Ndz.	Proche	
14.II		Iles Kouriles, USCGS: $43,8^\circ N$, $147,4^\circ E$, $H=03^h15^m25,0^S$, $h=25$ km ca			15.II	Ndz.	Epicentre en Bulgarie, données discordantes (BCIS)	
	Kra. (Ch)	$\Delta=75,6^\circ$ eP ePcP	03 27 14 25		15.II	e		18 27 05
14.II		Iles Kouriles, USCGS et BCIS: $43,8^\circ N$, $147,9^\circ E$, $H=03^h22^m00,7^S$, $h=20$ km ca			Ndz.	e		21 46 19
	Kra. (Ch)	$\Delta=75,4^\circ$ iP	03 33 53		Rac. (SK)	e		21 47 34
	Rac. (SK)	$\Delta=76^\circ$ iP ePcP	03 33 55 D 34 07		16.II		Près de la côte d'Albanie, USCGS: $41,1^\circ N$, $19,4^\circ E$, $H=03^h44^m58,8^S$, $h=143$ km ca	
	War.	Ag.mi. eL	04 06		Rac. (SK)	$\Delta=9^\circ$ eP eSSS		03 47 07 49 21
14.II		Proche			Kra. (GW)	$\Delta=9^\circ$ ePPP		03 47 35
	Ndz. (SK)	e	03 58 33,5		16.II	Ndz.	Proche	
15.II		Iles Kouriles, USCGS: $43,7^\circ N$, $147,4^\circ E$, $H=10^h45^m15,9^S$, $h=69$ km ca; $M=6-6 \frac{1}{2}$ (Pas.)					eIP	13 45 52,5
	War.	$\Delta=73,5^\circ$. Ag.mi. eP eS eL	10 56 51 11 05 20 15		16.II		Iles Kouriles, USCGS: $43,2^\circ N$, $148^\circ E$, $H=13^h54^m53,7^S$, $h=71$ km ca	
	Kra. (Ch)	$\Delta=75,4^\circ$ eIP	10 56 57		War.	$\Delta=74^\circ$. Ag.mi. eP eL		14 06 29 35
	Rac. (SD)	$\Delta=76^\circ$ eP iPcP	10 57 05 22		Kra. (GW)	$\Delta=76,2^\circ$ eP eL		14 06 37 41
					Rac. (SK)	$\Delta=76,7^\circ$ iP		14 06 41

- 26 -

Dates	Station	Phases	G.M.T. h m s	Dates	Station	Phases	G.M.T. h m s
16.II (suite)	Rac. (SK)	ePcP	14 06 50	21.II		Près de la côte S de la Grèce, USCGS: 36,3°N, 23,9°E, H=03 ^h 01 ^m 52,6 ^s , h=25 km ca	
17.II		Proche		Kra. (Ch)	Δ=14°		
	Kra. (Ch)	e	19 56 51	(Ch)	eP ePP ePPP	03 05 17 20 31	
17.II		Proche		21.II		Proche	
	Kra. (Ch)	e	22 39 58	Kra. (Ch)	e	03 47 50	
18.II		Iles Kouriles, USCGS: 44,4°N, 147,5°E, H=01 ^h 04 ^m 07,2 ^s , h=50 km ca		23.II		Iles du Dodécanèse, USCGS: 35,2°N, 27,3°E, H=03 ^h 19 ^m 17,1 ^s	
	Kra. (Ch)	Δ=75,3° eP ePcP	01 15 50 59	Kra. (Ch)	Δ=15,8° eP ePP	03 22 53 23 01	
	Rac. (SK)	Δ=75,5°. Traces eP	01 15 52	23.II		Au large de la côte du Hondo, USCGS et BCIS: 38,4°N, 142,8°E, H=04 ^h 16 ^m 24,3 ^s , h=116 km ca; M=6,1 (Moskva)	
18.II		Région des Iles Loyauté, USCGS et BCIS: 22,7°S, 171,3°E, H=12 ^h 05 ^m 36,3 ^s , h=38 km ca		War.	Δ=76° eP eSKS eL Im	04 28 09 38 04 56 05 06 03	
	Rac. (SK)	Δ=145,5° iPKP ₁	12 25 15			Z: 15 ^s , 13μ	
18.II		Ocean Atlantique, USCGS et BCIS: 1,3°S, 15,7°W, H=17 ^h 02 ^m 10,0 ^s , h=25 km ca				Im	06 07
	Rac. (SK)	Δ=59° eP	17 12 11			NE: 13 ^s , 14 ^s , 10μ, 10μ	
	Kra. (Ch)	Δ=59,8°. Traces eIP	17 12 12	Kra. (Ch)	Δ=78° eP ePP	04 28 20 46	
19.II		Proche		Rac. (SK)	Δ=78,8° eIP ePcP ePP	04 28 24 D 33 31 19	
	Ndz.	eP	14 59 52	23.II		Iles du Dodécanèse, USCGS et BCIS: 36,9°N, 27,3°E, H=21 ^h 45 ^m 50,5 ^s , h=25 km ca	
	Kra. (Ch)	e	14 59 59,5	Ndz.	Δ=13,5°		
20.II		Proche					
	Ndz.	e	18 44 10				

- 27 -

Dates	Station	Phases	G.M.T. h m s	Dates	Station	Phases	G.M.T. h m s				
23.II (suite)	Ndz.	eP ePP	21 49 03 15	26.II	War.	Im	18 59 13				
	Kra. (Ch)	Δ=14,2° eP ePP eL	21 49 20 23 53,5		Kra. (GW)	Z: 18 ^s , 320μ Δ=78,2° eP eS	18 22 47 32 49				
	War.	Ag.m.i. eL	21 55		Rac. (M)	Δ=79° eP eipPcP esPoP	18 22 54 23 16 29				
				23.II		Dodécanèse, USCGS: 35,7°N, 25,9°E, H=21 ^h 56 ^m 40,2 ^s , h=25 km ca					
	Kra. (Ch)	Δ=15°. Traces eP	22 00 11	24.II		Iles Riou-Kiou, USCGS: 26,2°N, 125,7°E, H=03 ^h 04 ^m 16,1 ^s , h=50 km ca					
				Kra. (Ch)	Δ=79,4° eiP ePcP epPcP	13 16 21 27 42	26.II	Luzon, Philippines, USCGS et BCIS: 16,1°N, 121,6°E, H=21 ^h 04 ^m 04,8 ^s , h=32 km ca			
				25.II	Ndz.	Proche		Kra. (Ch)	Δ=85° eP ePoP	21 13 41 50	
					e	05 14 09,5					
				26.II		Près de la côte de Kiou-Siou, USCGS: 31,6°N, 131,2 E, H=18 ^h 10 ^m 48,7 ^s , h=54 km ca M=7,5 (Praha), 7-7 1/4 (Pas.)		27.II	Kra. (Ch)	Proche	
					War.	Δ=76,5° iP Pm	18 22 38 C 42	27.II	Iles aux Renards, Aléoutiennes, USCGS et BCIS: 52,7°N, 168,8°W, H=13 ^h 06 ^m 35,8 ^s , h=56 km ca		
						Z: 9 ^s , 29μ		Kra. (Ch)	Δ=76,5°. Traces eP ePcP	13 18 29 47	
						ePP ePPP eS eScS	25 30 27 20 32(24) 48	27.II	Dodécanèse, USCGS: 36,6°N, 26,9°E, H=21 ^h 40 ^m 02,6 ^s , h=40 km ca, M=5 1/4 - 5 1/2 (Athènes)		
						ePS eL Im	33 06 35 54 42				
						N: 17 ^s , ca 430μ					

- 28 -

Dates	Station	Phases	G.M.T. h m s	Dates	Station	Phases	G.M.T. h m s
27.II (suite)	Ndz.	$\Delta=13,7^{\circ}$ eP	21 43 16	27.II		$27,1^{\circ}\text{E}$, H=21 ^h 54 ^m 33,6 ^s , h=40 km ca; M=4 1/4 -5 (Athènes)	
	Rac. (SK)	$\Delta=15^{\circ}$ ePP	21 43 48		Ndz.	$\Delta=13,8^{\circ}$ eP	21 57 46
27.II	Dodécanèse, USCGS:	36,5 [°] N,				ePP	59

1961 M A R S 1961

3.III	Région des Iles Loyauté, USCGS et BCIS: 23 [°] S, 171,4 [°] E, H=06 ^h 25 ^m 37,9 ^s , h=27 km ca	7.III	War.	iPKP ₁ PKPm Z: 7 ^s , 25μ ePKS eiPP eiSKS eL changement des feuilles	10 30 28 D 30 10 34 06 15 37 26 53
	Rac. (SK)	$\Delta=145,8^{\circ}$ ePKP ₁ ePKP ₂	06 45 19 24		
3.III	Proche			War.	Lm E: 18 ^s , 38μ Lm N: 19 ^s , 29μ Lm Z: 20 ^s , 39μ
	Kra. (Ch)	iP	15 01 01		11 58 12 58 24 12 01 38 38 24
4.III	Près de la côte du Hondo, USCGS: 37,8 [°] N, 141,6 [°] E, H=22 ^h 26 ^m 01,2 ^s , h=61 km ca				
	Kra. (Ch)	$\Delta=78^{\circ}$ eIP ePoP	22 38 04 11	Kra. (GW)	$\Delta=155^{\circ}$ eIPKP ₁ ePP 10 30 29 34 30
5.III	Région des Iles Fidji, USCGS: 21,0 [°] S, 176,6 [°] W, H=21 ^h 26 ^m 23,6 ^s , h=300 km ca			Rac. (M)	$\Delta=155,5^{\circ}$ ePKP ₁ ePKP ₂ 10 30 31 31 00 i 22 ePP 34 35
	Kra. (Ch)	$\Delta=148^{\circ}$. Traces ePKP ₁ ePKP ₂	21 45 36 41	7.III	Proche
	Rac. (Sk)	$\Delta=148,7^{\circ}$ ePKP ₁	21 45 36	Ndz.	e 13 43 51
7.III	Région des Iles Kermadec, USCGS et BCIS: 28,3 [°] S, 175,7 [°] W, H=10 ^h 10 ^m 38,9 ^s , h=43 km ca; M=7 1/4 -7 1/2 (Pas.), 7 (War.), 6,9 (Praha) War. $\Delta=153^{\circ}$			8.III	Iles aux Renards, Aléoutiennes, USCGS et BCIS: 52,7 [°] N, 164,7 [°] W, H=00 ^h 17 ^m 58,9 ^s , h=34 km ca
				Kra. (Ch)	$\Delta=77,2^{\circ}$. Traces eP 00 29 55 ePoP 30 05

- 29 -

Dates	Station	Phases	G.M.T. h m s	Dates	Station	Phases	G.M.T. h m s	
8.III		Tchécoslovaquie, explosion		13.III		Région de l'île de Crète, USCGS et BCIS: 34,5 [°] N, 26,6 [°] E, H=19 ^h 17 ^m 16,0 ^s , h=25 km ca; M=5 1/4 (Athènes)		
	Rac. (SK)	(Athènes)			Rac. (SK)	e 14 00 45,0	Kra. (Ch)	$\Delta=16,3^{\circ}$ eP 19 21 06
		Ndz.	$\Delta=13,8^{\circ}$ eP		Kra. (Ch)	e 14 00 58	Rac. (SK)	$\Delta=16,8^{\circ}$ eP 19 21 10
			21 57 46					
			59	9.III	Océan Atlantique, USCGS: 10,9 [°] N, 41,7 [°] W, H=03 ^h 59 ^m 08,7 ^s , h=27 km ca			
					Rac. (SK)	$\Delta=62,5^{\circ}$. Traces eP 04 09 34	War. (Ch)	Ag.mi. eL 19 23
					Kra. (Ch)	$\Delta=63,5^{\circ}$ eP 04 09 43		
					War.	eL 04 32	Kra. (Ch)	$\Delta=6,9^{\circ}$ eP* 01 51 42
				11.III	Iles Kouriles, USCGS: 48,7 [°] N, 154,6 [°] E, H=01 ^h 31 ^m 34,4 ^s , h=26 km ca; M=6 1/2 (Berk.)		Rac. (SK)	$\Delta=6,2^{\circ}$ eSn 01 52 23
					Rac. (SK)	$\Delta=74,2^{\circ}$ eP 01 43 15	16.III	Mer de Flores
					Kra. (GW)	eL 02 01	War.	eL 14 08
						Lm 17 03		Lm 41 02
						N: 24 ^s , 24μ		N: 30 ^s , 61μ
							Kra. (GW)	eL 14 38
								Lm 42 17
								N: 28 ^s , 24μ
							17.III	Région des Iles Tonga, USCGS: 24,3 [°] S, 175,6 [°] W, H=20 ^h 10 ^m 36,4 ^s , h=79 km ca; M=6 (Pas.)
							Kra. (Ch)	$\Delta=151,5^{\circ}$ ePKP ₁ ePKP ₂ 20 30(26)
							Rac. (SK)	$\Delta=152,3^{\circ}$ ePKP ₁ 20 30 29

- 30 -

Dates	Station	Phases	G.M.T. h m s	Dates	Station	Phases	G.M.T. h m s
17.III	Rac. (SK)	ePKP ₂	20 30 35	20.III	Kra. (Ch)	eipP	03 37 56
18.III	Au Sud de la Nouvelle, Zélande, USCGS et BCIS: 49,9°S, 16,3°E, H=14 ^h 54 ^m 59,3 ^s , M=6½-7 (Pas.), 7,0 (War.)			20.III	Au large de la côte W du Nicaragua Kra. (GW)		
Rac. (SD)	Δ=158°				eL	06 59	
	ePKP ₁	15 14 55			Im	07 06 59	
	ePKS	18 35			B: 20 ^s , 4,6μ		
	ePP	19 12			Im	07 10	
	Im	16 34(12)			N: 10 ^s , 2,8μ		
	Z: 20 ^s , 16μ			War.	Traces		
Kra. (GW)	Δ=156,6°				eL	07 02	
	ePKP ₁	15 14 56		20.III	Proche		
	ePKP ₂	15 25		Ndz.			
	ePP	19 05			e	09 22 14	
eL	16 09			20.III	Proche		
Im	27 28			Ndz.			
	E: 20 ^s , 11,5μ				ei	14 49 33	
Im	27 34			20.III	Iles Tonga, USCGS: 18,4°S, 175,8°W, H=15 ^h 53 ^m 09,9 ^s , h=75 km ca		
	N: 22 ^s , 10μ			War.	Δ=143,7°		
War.	Δ=156,6°. Ag.mi.				iPKP	16 12 29 D	
	ePKP ₁	15 15 02			iPP	15 44	
	ePKP ₂	26		Kra. (GW)	Δ=145,7°		
eL	39				eiPKP ₁	16 12 34	
Im	16 27 52				iPKP	37	
	NE: 23 ^s , 33μ, 11μ			Rac. (M)	Δ=146,5°		
19.III	Au large de la côte E du Hondo, USCGS et BCIS: 40,2°N, 143,2°E, H=04 ^h 51 ^m 54,2 ^s , h=48 km ca				iPKP ₁	16 12 39 D	
Kra. (Ch)	Δ=76,8°				iPKP ₂	41	
	eip	05 03 46			i	13 46	
	eiPcP	56		21.III	Région des Iles Tonga, USCGS et BCIS: 24,1°S, 176,0°W, H=23 ^h 42 ^m 36,8 ^s , h=25 km ca; M=6½ (Matsushiro)		
20.III	Hindou-Kouch, USCGS: 36,7°N, 71,2°E, H=03 ^h 30 ^m 28,3 ^s , h=121 km ca			War.	Δ=149°. Traces. Ag.mi.		
Kra. (Ch)	Δ=38,6°				ePKP ₁	00 02 28	
	eip	03 37 46			eL	01 07	

- 31 -

Dates	Station	Phases	G.M.T. h m s	Dates	Station	Phases	G.M.T. h m s
21.III (suite)	Rac. (SK)	Δ=152°		24.III	Rac. (SK)	NE: 15 ^s , 3μ, 3,6μ	
		ePKP ₁	00 02 30			Δ=80,3°	
		ePKP ₂	43			eP	23 09 22 D
		Kra. (Ch)	Δ=151°			epP	39
		eL	00 02 32		War.		
		ePKP ₁	42			eL	23 39
				21.III	Région des Iles Loyauté, USCGS et BCIS: 22,9°S, 171,3°, H=19 ^h 54 ^m 44,4 ^s h=19 km ca		
		Rac. (SK)	Δ=145,7°		28.III	Au Nord de Célèbes, USCGS et BCIS: 0,2°N, 123,6°E, H=09 ^h 35 ^m 55,4 ^s , h=83 km ca; M=6,8 (Praha), 6½-7 (Pas.)	
		ePKP ₁	20 14 28		War.	Δ=97,5°. Forte ag.mi.	
		ePKP ₂	35			eP	09 49 24
				23.III	Italie, Roma: 43°35'N, 12°06'E, H=01 ^h 02 ^m 01 ^s		
		Rac. (SK)	Δ=7,8°			ePPP	55 32
		ePg	01 04 35			eL	10 08
		eSn	05 33			Im	34 34
		eSg	06 22			N: ca 20 ^s , 53μ	
				23.III	Proche		
		Kra. (Ch)	Δ=7,8°			38 27	
		e	09 04 54,2			E: 20 ^s , 21μ	
				24.III	Près de la côte de Hondo, USCGS et BCIS: 35,7°N, 140,9°E, H=22 ^h 57 ^m 14,3 ^s , h=102 km ca		
		Rac. (GW)	Δ=79,5°		30.III	Région des Iles Samoa, USCGS: 15,2°S, 172,8°W, H=08 ^h 49 ^m 45,6 ^s , h=25 km ca	
		eP	23 09 15		Rac. (SK)	Δ=143,8°	
		ePoP	18			ePKP	09 09 25
		ePP	12 19		31.III	Proche	
		eSKS	19 17		Ndz.		
		Im	48 29			e	10 01 11
				1961	A V R I L		1961
1.IV	Province de Sinkiang, Chine,						
	USCGS et BCIS: 39,6°N, 77,7°E, H=15 ^h 18 ^m 22,8 ^s ,			1.IV	War.	Δ=40,2°	
	h=21 km ca;					IP	15 26 03 C
	M=6 ½-6 ½ (Pas.)					Pm	10
						Z: 6 ^s , 13μ	
						ePPP	28 05

- 32 -

Dates	Station	Phases	G.M.T. h m s	Dates	Station	Phases	G.M.T. h m s
1.IV (suite)	War.	ePcS	15 32 01	4.IV	Kra.	$\Delta=15,6^{\circ}$	
		es	15	(Ch)	e(S)		22 48 53
		eiSS	35 11	5.IV		Proche	
		eL	36	Kra.			
		Lm	46 47	(Ch)	e		13 23 39
		NE: 9 ^s , 10 ^s , 59 μ , 94 μ		6.IV		Province de Sinkiang, Chine,	
Rac. (SD)		$\Delta=42,2^{\circ}$				USCGS et BCIS: 39,6 ^N ,	
		iP	15 26 21			77,8 ^E , H=01 ^h 33 ^m 46,9 ^s ,	
		iPP	27 54			h=33 km ca	
		ePPP	28 26	Kra.	$\Delta=41^{\circ}$		
		i	29 48	(Ch)	eP		01 41 33
		is	32 46	War.	$\Delta=40,3^{\circ}$		
		iSS	35 44		ePP		01 43 03
		Lm	44(00)		eL		54
		NEZ: 9 ^s , 27 μ , 21 μ , 9 μ		6.IV		Sud de l'Iran, USCGS et BCIS:	
4.IV	Sinkiang, Chine					27,8 ^N , 56,7 ^E ,	
War.	Traces					H=18 ^h 12 ^m 40,7 ^s , h=109 km ca;	
		eL	01 40			M=6,6 (Quetta)	
4.IV	Province de Sinkiang, Chine, USCGS et BCIS: 40,1 ^N , 77,8 ^E , H=09 ^h 46 ^m 36,6 ^s , h=16 km ca; M=6,6 (Pruhonice)			Kra.	$\Delta=35,6^{\circ}$		
Kra. (GW)		$\Delta=41^{\circ}$		(Ch)	eP		18 19 33
		eP	09 54 29		epP		20 01
		eS	10 00 40		eL		32
		Lm	10 46	War.	$\Delta=36^{\circ}$		
		N: 12 ^s , 26 μ			eP		18 19 37
Rac. (SK)		$\Delta=42^{\circ}$			ePP		20 56
		eP	09 54 38		eS		25 08
		ePP	56 11		eL		28
		ePcP	18	Rac. (SK)	$\Delta=36,5^{\circ}$		
War.		$\Delta=40^{\circ}$			eP		18 19 46
		ePcS	10 00 05		epP		20 08
		eL	07		ePcP		22 03
		Lm	14 19	7.IV		Proche	
		Z: 12 ^s , 45 μ		Kra. (Ch)	iP		09 30 20
4.IV	Mer du Nord a l'Ouest de la Norvège, BCIS: 62 $\frac{1}{4}$ ^N , 2 $\frac{1}{4}$ ^E , H=22 ^h 42 ^m 30 ^s			7.IV		Près de la côte E du	
						Kamtchatka, USCGS et BCIS:	
						57,2 ^N , 163,3 ^E ,	
						H=19 ^h 54 ^m 51,9 ^s , h=20 km ca;	
						M=5 $\frac{1}{4}$ -6 (Moskva)	

- 33 -

Dates	Station	Phases	G.M.T. h m s	Dates	Station	Phases	G.M.T. h m s
7.IV (suite)	War.	$\Delta=66^{\circ}$. Traces		9.IV	War.		
		eP	20 05 46			eL	08 12
		eS	14 38			Près de la côte de Formose, USCGS et BCIS: 24,1 ^N , 122,2 ^E , H=15 ^h 35 ^m 05,4 ^s ,	
		eL	32			h=13 km ca; M=6,8 (War.), 6 (Pas.)	
				7.IV		Frontière Kirgiz - Tadzhik, USCGS et BCIS: 39,3 ^N ,	
						73,0 ^E , H=21 ^h 17 ^m 43,8 ^s ,	
						h=44 km ca; M=5 $\frac{1}{4}$ -5 $\frac{1}{2}$	
						(Matsushiro)	
				Kra.	$\Delta=38,3^{\circ}$		
				(Ch)	iP		21 25 05
				War.	$\Delta=37,5^{\circ}$		
					eP		21 25 05
					eSS		33 28
					eL		37
				Rac.	$\Delta=39,5^{\circ}$		
				(SK)	e		21 25 40
					ePP		26 43
					ePPP		27 17
				8.IV		Chili, USCGS et BCIS:	
						38,2 ^S , 72,7 ^E ,	
						H=17 ^h 59 ^m 46,7 ^s ,	
						h=60 km ca; M=6-6 $\frac{1}{2}$ (Pas.)	
				War.	$\Delta=121,5^{\circ}$		
					ePP		18 20 10
					ePPP		22(50)
					ePS		30 02
					eL		19 00
					Im		09 03
						E: 22 ^S , 10 μ	
					Im		09 09
						N: 20 ^S , 9 μ	
				Kra. (GW)	eL		19 05
					Im		11 48
						B: 16 ^S , 5 μ	
				9.IV		Californie	
				Kra. (GW)	eL		08 08
				12.IV		Au large de la côte d'El Salvador, USCGS et BCIS:	
						13,1 ^N , 88,9 ^E ,	
						H=22 ^h 20 ^m 33,6 ^s , h=122 km ca;	
						M=5 $\frac{1}{4}$ -6 (Pas.)	
				Rac.	$\Delta=90,5^{\circ}$. Traces		

- 34 -

Dates	Station	Phases	G.M.T. h m s	Dates	Station	Phases	G.M.T. h m s	
12.IV (suite)	Rac. (SK)	eP ePP	22 33 27 37 02	16.IV	Kamtchatka, USCGS et BCIS: 53,5°N, 158,7°E, H=11 ^h 40 ^m 40,7 ^s , h=27 km ca			
Kra. (GW)	$\Delta=91,6^{\circ}$ eP eSKS ePS	22 33 31 43 53 45 45		Kra. (Ch)	$\Delta=70,5^{\circ}$. Traces eP	11 51 58		
War.	$\Delta=91,3^{\circ}$ ePP eSKS eL	22 37 06 43(53) 23 04		Rac. (SK)	$\Delta=71^{\circ}$ eP ePcP	11 52(00) 16		
13.IV	Province, Sinkiang, Chine, USCGS: 40,1°N, 77,8°E, H=16 ^h 34 ^m 39,1 ^s , h=19 km ca; M=7 (Praha, Strasbourg), 6,8 (War.)			16.IV	Proche			
War.	$\Delta=40^{\circ}$ eIP eIP ePPP eS ePPS	16 42 17 43 50 44 27 48 21 42		Kra. (Ch)	Proche			
				Rac. (SK)	e	12 19 42		
				Kra. (Ch)	e	12 38 32		
				Rac. (SK)	e	23 27 32		
				19.IV	Raichberg, Allemagne, BCIS: 48°18'N, 9°00'E, H=00 ^h 16 ^m 12 ^s			
				Rac. (SK)	$\Delta=6,4^{\circ}$ e	00 18 38,2		
					eSn	19 06,4		
					eSS	14,8		
					eS*	19,9		
					Im	35		
					NEZ: 1,5 ^s , 0,3μ, 0,4μ, 0,4μ			
				Kra. (Ch)	$\Delta=7,4^{\circ}$ eSS	00 19 44		
					eS*	59		
					eSg	20 10		
				19.IV	Iles Kouriles, USCGS et BCIS: 44,2°N, 148,0°E, H=16 ^h 12 ^m 28,7 ^s , h=51 km ca; M=5½ (Moskva, Pruhonice)			
				Rac. (SD)	$\Delta=42^{\circ}$ iP ePP iS i Lm	16 42 34 D 44 07 48 58 49 12 17 01(30)		
					Kra. (GW)	$\Delta=75,3^{\circ}$ iP	16 24 15	
					Rac.	$\Delta=76^{\circ}$		
16.IV	Rac. (SK)	e	00 52 54					

- 35 -

Dates	Station	Phases	G.M.T. h m s	Dates	Station	Phases	G.M.T. h m s
19.IV (suite)	Rac. (SK)	eP ePcP	16 24 18 26	20.IV	Rac. (SK)	$\Delta=143,8^{\circ}$ ePKP	21 58 31
Kra. (Ch)	$\Delta=143,4^{\circ}$. Traces ePKP			Kra. (GW)	$\Delta=74,5^{\circ}$ eP ePcP	21 58 42	
21.IV	Iles Kouriles, USCGS: 47,7°N, 154,6°E, H=20 ^h 10 ^m 38,3 ^s , h=27 km ca, M=5½ (Moskva)			Kra. (GW)	$\Delta=75^{\circ}$ eP ePcP	20 22 19	
					eS eL	25 08 54	
					Im	31 55	
					N: 15 ^s , 3,2μ, 2,8μ	21 02 34	
				Rac. (SK)	$\Delta=75^{\circ}$ iP ePcP	20 31 37 50	
					eL	21 02	
					Im	08 34	
				Rac. (SK)	$\Delta=76,2^{\circ}$ eP ePcP	20 31 40 53	
				War. (Ch)	Traces eL	20 57	
				19.IV	Iles Kouriles, USCGS et BCIS: 44,9°N, 149,5°E, H=22 ^h 07 ^m 51,2 ^s , h=34 km ca; M=5½ (Moskva)		
				Rac. (Ch)	$\Delta=75^{\circ}$ eP ePcP	22 19 38 58	
				Rac. (SK)	$\Delta=75,7^{\circ}$ eP ePcP	22 19 41 56	
				20.IV	Sud des Iles Samoa, USCGS: 15,2°S, 173,7°W, H=21 ^h 39 ^m 07,0 ^s , h=25 km ca; M=6-6 ½ (Pas.)		
				Kra. (GW)	$\Delta=81,7^{\circ}$ iP ePP	05 26 45 29 54	

- 36 -

Dates	Station	Phases	G.M.T. h m s	Dates	Station	Phases	G.M.T. h m s	
23.IV (suite)	Kra. (GW)	eScS	05 37 01	23.IV	Iles Kouriles, USCGS:			
	eL		06 00		44,8°N, 150,6°E, H=12 ^h 17 ^m 59,7 ^s , h=78 km ca			
	Lm		07 43		Kra.	Δ=75,5°		
		E: 13 ^s , 2μ		(Ch)	eIP	12 29 43		
		Lm	07 56		epP	57		
		N: 12 ^s , 3μ		Rac.	Δ=76,2°. Traces			
	Rac. (SK)	Δ=82,6°		(SK)	eP	12 29 45		
	eP		05 26 51		epP	52		
	epP		27 10					
	War.			23.IV	Iles Kouriles, USCGS:			
	eL		05 58		44,5°N, 150,1°E, H=16 ^h 51 ^m 03,6 ^s , h=76 km ca;			
23.IV	Iles Kouriles, USCGS et BCIS: 44,6°N, 150,2°E, H=09 ^h 01 ^m 41,8 ^s , h=44 km ca; M=6,9 (Praha), 6 1/4 (Pas.)				M=5 1/4 (Moskva)			
	War.	Δ=73,5°		War.	Δ=73,5°. Traces			
	eIP		09 13 17		eP	17 02 36		
	Pm		21		eL	29		
	Z: 6 ^s , 8,1μ				Kra.	Δ=75,8°		
	ePP		15(58)		(GW)	eP	17 02 46	
	eS		22 43		eL	35		
	eiScS		23 25		Im	40 22		
	eL		25		N: 15 ^s , 2μ			
	Im		51 07		Rac.	Δ=76,3°		
	Z: 15 ^s , 42μ				(SK)	eP	17 02 53	
	Im		51 10		epP	03 05		
	N: 14 ^s , 54μ							
	Kra. (GW)	Δ=75,6°		24.IV	Iles Kouriles, USCGS: 44,5°N, 150,2°E, H=12 ^h 27 ^m 39,5 ^s , h=76 km ca; M=5 1/4 (Moskva)			
	iP		09 13 30		Rac.	Δ=76,3°		
	ePcP		46		(SK)	eP	12 39 29	
	ei		26 10		ePoP	41		
	eL		33					
	Im		50 28		Proche			
	N: 15 ^s , 36μ				Kra. (Ch)	e	12 54 23	
	Im		53 26					
	E: 13 ^s , 20μ				Proche			
	Rac. (SK)	Δ=76,4°			Ndz.	e	00 26 54,5	
	eIP		09 13 34 D					
	eIPcP		39		Iles Kouriles, USCGS et BCIS:			
	i		59		44,6°N, 150,0°E, H=00 ^h 28 ^m 15,4 ^s , h=72 km ca			
	ePP		16 26					

- 37 -

Dates	Station	Phases	G.M.T. h m s	Dates	Station	Phases	G.M.T. h m s	
25.IV (suite)	Kra. (Ch)	Δ=75,5°		26.IV	War.	Im	08 25 06	
			00 40 01			N: 15 ^s , 7μ	25 12	
						E: 16 ^s , 17μ		
				25.IV	Iles Kouriles, USCGS:			
					44,5°N, 150,0°E, H=01 ^h 17 ^m 42,7 ^s , h=78 km ca; M=5,7 (Pruhonice)			
				War.	Δ=73,5°			
					eP	01 29 14		
					eS	38 49		
					eL	54		
					Kra.	Δ=75,8°		
					(GW)	eIP	01 29 25	
					epP	41		
					eS	39 07		
					eL	59		
					Rac.	Δ=76,3°		
					(SK)	eP	01 29 30	
					epP	40		
				25.IV	Iles Riou-Kiou, USCGS:			
					27,9°N, 129,3°E, H=23 ^h 40 ^m 34,3 ^s , h=25 km ca			
					Kra.	Δ=78,5°		
					(Ch)	eP	23 52 49	
				26.IV	Hindou-Kouch, BCIS:			
					36,5°N, 70,5°E, H=05 ^h 23,4 ^m , h=220 km ca			
					Kra.	Δ=38,4°. Traces		
					(Ch)	eP	05 30 30	
				26.IV	Iles Kouriles, USCGS et BCIS: 44,6°N, 149,9°E, H=07 ^h 38 ^m 54,1 ^s , h=20 km ca; M=6,3 (War.), 6 1/4 (Moskva)			
				War.	Δ=73,5°			
					iP	07 50 33		
					Pm	38		
					Z: 7 ^s , 2,5μ			
					eS	08 00 05		
					eL	16		
					Rac.	Δ=7,3°		
					(SK)	e	20 51 05	
					ePg	15		
					eSn	52 06		

Bord Sud de la Forêt Noire,
République Fédérale Allemagne,
Stuttgart: 47°42,6'N,
7°53,0'E, H=20^h48^m49,1^s,
h=15 km ca

- 38 -

Dates	Station	Phases	G.M.T. h m s	Dates	Station	Phases	G.M.T. h m s	
28.IV (suite)	Rac. (SK)	eSS eS*	20 52 13	30.IV	Au N de l'Ocean Atlantique, USCGS et BCIS: 52,0°N, 31,9°W, H=07 ^h 33 ^m 53,5 ^s , h=38 km ca; M=5,6 (Pruhonice)			
		iSg	27					
		Im	49					
			53 06					
		EZ: 1 ^s , 1μ, 1μ						
	Kra. (Ch)	Δ=8,3° e e(Pg) i	20 51 27 29 54 01		Kra. (GW)	Δ=32° eP ePP eL	07 40 23 41 34 52	
29.IV	Au large de la côte du N de la Californie, USCGS: et BCIS: 40,6°N, 127,5°W, H=09 ^h 19 ^m 28,3 ^s , h=26 km ca; M=5 1/4 - 5 1/2 (Pas.)				War.	Δ=32° eP eL	07 40 25 51	
	Rac. (SD)	Δ=84° eP ePcP i eiPPP	09 32 05 06 34 30 37 15	30.IV	Iles Kouriles, USCGS, et BCIS: 44,6°N, 149,7°E, H=11 ^h 15 ^m 19,8 ^s , h=70 km ca; M=6 (Moskva)			
	Kra. (GW)	Δ=84,7° eP i Im	09 32 07 34 44 44 04		War.	Δ=73,7° eP eS eL	11 26 52 36 24 48	
		E: 19 ^s , 80μ			Kra. (GW)	Δ=75,5° eP eS eL	11 27 04 36 33 54	
		Im N: 13 ^s , 23μ	45 50		Rac. (SK)	Δ=76° eP ePcP	11 27 09 16	
	War.	Δ=83° eP ePP Im	09 31 55 35 17 43 59	30.IV	Région des Iles Samoa, USCGS: 15,3°S, 174,4°W, H=14 ^h 48 ^m 11,5 ^s , h=25 km ca, M=5 1/4 (Moskva)			
		N: 13 ^s , 33μ			Rac. (SK)	Δ=143°. Traces ePKP	15 07 52	
		Im	44 03					
		E: 13 ^s , 45μ						
1961		M A Y		1961				
1.V	Au large de la côte du Nord de la Californie, USCGS: 40,6°N, 127,5°W, H=12 ^h 19 ^m 05,6 ^s , h=29 km ca			2.V	Près de l'Île Jan Mayen, USCGS et BCIS: 71,2°N, 6,9°W, H=03 ^h 11 ^m 45,7 ^s , h=22 km ca; M=4 1/2 (Moskva)			
	Kra. (Ch)	Δ=84,5°. Traces eP ePcP	12 31 43 51		War.	Δ=22,5°. Traces eP eL	03 16 56 21	

- 39 -

Dates	Station	Phases	G.M.T. h m s	Dates	Station	Phases	G.M.T. h m s
2.V	Ndz.	Proche		5.V	USCGS: 27,8°S, 176,1°W, H=13 ^h 43 ^m 21,7 ^s , h=84 km ca; M=6 1/4 (Pas.)		
		e	18 10 27		Kra.	Δ=154,5°. Traces	
2.V	Ndz.	Proche		(GW)	ePKP	14 03 35	
		e	18 58 06,5	Lm		15 09 33	
2.V		Région des Iles Kermadec, USCGS: 27,8°S, 176,5°W, H=22 ^h 44 ^m 44,3 ^s , h=47 km ca; M=6 1/4 (Pas.)		6.V	Mer Méditerranée, USCGS et BCIS: 37,4°N, 11,2°E, H=16 ^h 04 ^m 33,1, h=30 km ca		
		(GW)		Kra.	Δ=14°		
		ePKP ₁	23 04 35	(GW)	ePP	16 08 03	
		ePP	08 31	Lm		14 35	
			00 15 45		E: 10 ^s , 1μ		
			NE: 18 ^s , 20 ^s , 3μ, 10μ		Lm		14 58
		Rac.	Δ=154,5°		N: 10 ^s , 1,4μ		
		(SK)	ePKP ₁	23 04 37			
		ePKP ₂	05 04				
		War.	Δ=152,5°	7.V	Région des Iles Salomon, USCGS: 6,1°S, 154,4°E, H=00 ^h 25 ^m 40,8 ^s , h=123 km ca; M=6 1/2 - 6 1/4 (Pas.)		
		(GW)	ePKP ₁	23 04 37	War.	Δ=120°. Traces	
		ePKP ₂	49		ePP	00 45 44	
		ePKS	08 08		eL	01 21	
		eSKS	11 42				
		eL	27				
		2/3.V	Région des Iles Kermadec, USCGS: 27,7°S, 176,4°W, H=23 ^h 24 ^m 03,6 ^s , h=84 km ca	7.V	Iles Kouriles, USCGS: 44,3°N, 149,4°E, H=00 ^h 39 ^m 06,3 ^s , h=37 km ca		
		War.	Δ=152,5°		Kra.	Δ=75,5°	
		(GW)	ePKP ₁	23 43 50	eP	01 10 54	
		eL	58		eL	30	
		3.V	Proche		Lm	39 23	
		Ndz.					
		e	00 36 46			N: 20 ^s , 2,8μ	
		4.V.	Au large de la côte du Nord de la Californie, USCGS: 40,6°N, 127,1°W, H=02 ^h 17 ^m 34,0 ^s , h=25 km ca	7.V	Près de la côte de Java, USCGS et BCIS: 8,6°S, 111,4°E, H=04 ^h 32 ^m 14,5 ^s , h=113 km ca; M=5 1/4 (Matsushiro)		
		War.	Δ=88°		War.	Δ=97°	
		(Ch)	eP	02 30 10	eSKS	04 56 11	
		eL					
		5.V	Région des Iles Kermadec,				

- 40 -

Dates	Station	Phases	G.M.T. h m s	Dates	Station	Phases	G.M.T. h m s
7.V (suite)	Rac.	$\Delta=97,5^{\circ}$ eSKS	04 56 12	8.V	Rac. (SK)	$\Delta=7,4^{\circ}$ e eSn eSg	22 48 42 49 09 50
Kra.		$\Delta=97,5^{\circ}$ eSKS	04 56 15	Kra. (GW)	$\Delta=8,0^{\circ}$ eSSS	22 49 46	
7.V		Au large de la côte de Mindanao, USCGS et BCIS: 5,8°N, 126,8°E, H=10 ^h 22 ^m 43,7 ^s , h=89 km ca; M=6-6½ (Matsushiro)		11.V		Près de la côte du Sud du Chili	
Kra. (GW)		$\Delta=96^{\circ}$ eP	10 36 07	Kra. (GW)	eL	09 38	
		Lm	11 15 01				
		N: 16 ^s , 2,7μ					
Rac. (SK)		$\Delta=97^{\circ}$. Traces eP	10 36 12				
7.V		Région de l'Ile Jan Mayen, USCGS et BCIS: 71,2°N, 7,1°W, H=15 ^h 40 ^m 52,5 ^s ; M=5½ (Moskva)		13.V		Région des Iles Fidji, USCGS: 17,5°S, 178,8°W, H=14 ^h 52 ^m 55,3 ^s , h=556 km ca	
Kra. (GW)		$\Delta=24,5^{\circ}$ eP	15 46 13	Kra. (GW)	ePKP ₁	15 11 33	
		Lm	57 52	Rac. (SK)	$\Delta=144,5^{\circ}$ 1PKP	15 11 35 D	
		E: 9 ^s , 1μ			ePKP ₂	42	
		Lm	57 55				
		N: 10 ^s , 1,5μ		13.V		Au large de la côte NE du Hondo, USCGS et BCIS: 43,4°N, 147,8°E, H=15 ^h 49 ^m 29,6 ^s , h=31 km ca; M=5½ (Moskva)	
Rac. (SK)		$\Delta=24^{\circ}$. Traces e	15 46 23	Kra. (Ch)	eP	16 01 20	
		ePP	40		ePcP	27	
War.		$\Delta=22,6^{\circ}$ e(S) _B	15 50 10	Rac. (SK)	$\Delta=76,5^{\circ}$ eP	16 01 23	
		ei	28		ePcP	31	
		ePcS	53 19				
		eL	54				
8.V		Nord du Chili		14.V		Nord de l'Islande, USCGS: 67,7°N, 18,4°W, H=15 ^h 08 ^m 04,2 ^s , h=47 km ca	
War.		eL	20 24	War.	$\Delta=24,2^{\circ}$. Traces eP	15 13 23	
8.V		Apenin étrusque, Italie, BCIS: 44,2°N, 11,9°E, H=22 ^h 45 ^m 51 ^s			eL	22	

- 41 -

Dates	Station	Phases	G.M.T. h m s	Dates	Station	Phases	G.M.T. h m s
14.V		Nord de l'Islande, USCGS et BCIS: 67,7°N, 18,4°W, H=15 ^h 38 ^m 07,5 ^s , h=23 km ca		16.V	Kra. (GW)	$\Delta=80^{\circ}$ eIP ePcP	21 57 35 54
					War.	$\Delta=24,2^{\circ}$ eP eS eL	15 43 29 47 47 52
							N: 16 ^s , 5,5μ Lm
							31 05 E: 16 ^s , 3,3μ
				15.V		Région des Iles Tonga, USCGS: 20,0°S, 177,2°W, H=20 ^h 53 ^m 05,3 ^s , h=89 km ca	
					Rac. (SK)	$\Delta=147^{\circ}$. Traces ePKP epPKP	21 12 28 13 02
					War.	$\Delta=145^{\circ}$ eIPK ₁	21 12 29
					Kra. (Ch)	$\Delta=147^{\circ}$ ePKP ₁ ePKP ₂ epPKP	21 12 32 36 50
				16.V		Proche ?	
					Ndz.	e	15 16 21
					Rac. (SK)	e	15 16 33
				16.V		Iles Riou-Kiou, USCGS: 30,0°N, 132,0°E, H=21 ^h 45 ^m 24,0 ^s , h=25 km ca; M=6,3 (War.), 5½ (Kew, Strasbourg)	
					War.	$\Delta=78^{\circ}$ eIP eIPcP	21 57 26 38
						1S	22 07 20
						eL	25
						Lm	30 39
							N: 18 ^s , 13μ
							Lm
							30 47
							E: 18 ^s , 11μ
					17.V		Proche
					Kra. (Ch)	e	21 53 48

- 42 -

Dates	Station	Phases	G.M.T. h m s	Dates	Station	Phases	G.M.T. h m s
18.V		Proche		22.V		Iles Tonga, USCGS:	21,3°S,
	Ndz.					174,4°W, H=13 ^h 44 ^m 35,8 ^s ,	
		e	09 44 43,7			h=97 km ca; M=6 (Pas.)	
19.V		Région des Iles Fidji, USCGS: 22,5°S, 179,2°E, H=02 ^h 21 ^m 31,8 ^s , h=600 km ca			War.	Δ=147°	
	Rac.	Δ=148,7°				ePKP ₁	14 04 (11)
	(SK)	ePKP ₂	02 40 20			epPKP	23
19.V		Iles Riou-Kiou, USCGS et BCIS: 24,1°N, 123,4°E, H=16 ^h 37 ^m 28,9 ^s , M=5 1/4 (Kew)				esPKP	47
	Kra.	Δ=79,8°				ePKS	07 34
	(GW)	eP	16 49 34			epPP	57
		eS	59 37			eL	15 04
		eL	17 19				
	War.	Traces			Kra.	Δ=149°	
		eL	17 18		(GW)	ePKP ₂	14 04 19
19.V		Tadzhik, USCGS et BCIS: 38,3°N, 72,6°E, H=21 ^h 30 ^m 16,8 ^s , h=37 km ca				epPKP	33
	Kra.	Δ=38,5°				eSKP	07 27
	(Ch)	eIP	21 37 43			Lm	15 20 21
		ePP	39 13				B: 20 ^s , 2,3μ
	Rac.	Δ=39,7°					
	(SK)	ePoP	21 40 09			Lm	20 34
20.V		Ocean Arctique, USCGS et BCIS: 72,9°N, 5,6°E, H=17 ^h 47 ^m 19,3 ^s , h=46 km ca		22.V		N: 20 ^s , 2,6μ	
	Rac.	Δ=23,5°. Traces			War.	Rac.	Δ=149,5°
	(SK)	eP	17 52 37		(SK)	ePKP ₂	14 04 21
	Kra.	Δ=24°. Traces				epPKP	34
	(GW)	eP	17 52 38			esPKP	05 02
21.V	Rac.	Δ=23,5°. Traces			22.V	Région des Iles Tonga, USCGS: 22,8°S, 176,1°W, H=17 ^h 32 ^m 21,6 ^s , h=35 km ca;	
	(SK)	e	12 19 07			M=7 (War.), 6 1/4 - 6 1/4 (Pas.)	
22.V	Ndz.	Proche			War.	Δ=148°	
		e	12 44 49			ePKP ₁	17 52 02
						ePKS	55 29
						eL	18 42
						Lm	56 49
							B: 20 ^s , 5,4μ
						Lm	56 55
							N: 20 ^s , 9,2μ
						Rac.	Δ=150,7°
						(SK)	ePKP ₁
							1PKP ₂
							i
							31
							i
							53 20
					Kra.	Δ=150°	
					(GW)	ePKP ₁	17 52 13

- 43 -

Dates	Station	Phases	G.M.T. h m s	Dates	Station	Phases	G.M.T. h m s
22.V (suite)	Kra. (GW)	Lm N: 24 ^s , 5 μ	18 55 27	23.V	War.	Lm N: 7 ^s , 88 μ	02 56 22
23.V		Région des îles Tonga, USCGS: 22,6°S, 177,0°W, H=23 ^h 47 ^m 03,2 ^s , h=526 km ca		23.V		Costa Rica, USCGS: 9,8°N, 84,0°W, H=03 ^h 40 ^m 26,1 ^s , h=136 km ca	
	Rac. (SK)	Δ=150°. Traces ePKP ₂	00 06 05		Rac. (SK)	Δ=90°. Traces eP	03 53 18
23.V		S ^W de la Turquie, BCIS: 36,8°N, 28,7°E, H=02 ^h 45 ^m 18,8 ^s , h=70 km ca; M=6,7 (Praha), 6½ (Pas.)		23.V		Près de la côte du Nicaragua, USCGS: 12,6°N, 87,3°W, H=16 ^h 44 ^m 59,4 ^s , h=138 km ca; M=6½ (Pas.)	
	Kra. (GW)	Δ=14,7° eiP Pm	02 48 45 50		War.	Δ=90,8°. Traces ePP eL	17 01 31 29
		E: 5 ^s , 4 μ			Kra. (GW)	Δ=91° ePP ePS eL	17 01 31 10 05 38
		Pm	53				
		N: 5 ^s , 10 μ		25.V		Proche	
		ePP	55		Kra. (Ch)	i	13 08 22,3
		eIS	51 34	25.V		Iles du Dodécanèse, BCIS: 37,0°N, 26,9°E, H=13 ^h 11 ^m 42 ^s ; M=5 (Athènes)	
		Lm	54 34		Ndz.	Δ=13,3° eP ePP	13 14 52 15 01
		N: 8 ^s , 217 μ		25.V	Rac. (SK)	e	13 30 59
	Rac.	Δ=15,3° eP eiPP iPPP i iS iSS iSSS eL Lm	02 48 54 59 49 23 43 51 39 52 15 21 53,6 54(30)		Kra. (Ch)	e	13 31 01
		NBZ: 6 ^s , 6 ^s , 4 ^s , 358 μ , 530 μ , 215 μ			Ndz.	e	13 31 11,5
	War.	Δ=16,3° iP iPP eIS iSS eL Lm	02 49 07 D 21 52 14 27 53 54 53	26.V		Yougoslavie, BCIS: 42,7°N, 19,9°E, H=21 ^h 09 ^m 00 ^s	
		Z: 7 ^s , 54 μ			Ndz.	Δ=6,7°	

- 44 -

Dates	Station	Phases	G.M.T. h m s	Dates	Station	Phases	G.M.T. h m s
26.V (suite)	Ndz.	ePP	21 10 49	29.V	War.	Près de la côte au S du Chili	
		ePPP	55			eL	08 34
		ePg	11 12		(Ch)	Ethiopie	
		eS*	12 18			eL	11 13
27.V	Près de la côte au N de Hondo, USCGS et BCIS: 41,0°N, 142,1°E, H=07 ^h 18 ^m 12,2 ^s , h=156 km ca; M=5 1/4 - 5 1/2 (Matsushiro)			29.V	Rac.		
Kra.	$\Delta=75,5^{\circ}$			(SK)	e	12 01 37	
(Ch)	eP	07 29 48		31.V	Golf de Californie		
	ePoP	30 04		War.	eL	15 00	
27.V	Près de la côte au N de Sumatra, USCGS et BCIS: 0,8°N, 98,5°E, H=16 ^h 52 ^m 19,3 ^s , M=5 1/4 (Matsushiro)			Kra.	(GW)	15 07	
Rac.	$\Delta=82^{\circ}$. Traces				Lm	12 58	
(SK)	eP	17 04 44			B: 17 ^s , 2,8 μ		
					Lm	15 41	
					N: 13 ^s , 1,7 μ		

1961 J U I N 1961

1/2.VI	Ethiopie, BCIS: 10,3°N, 39,9°E, H=23 ^h 29 ^m 21 ^s ; M=7 (Praha), 6 1/4 (Roma, Strasbourg), 6,3 (War.)			1/2.VI	Rac.	ePoS	23 42 58
Kra.	$\Delta=43^{\circ}$			(SD)	Lm	00 05 07	
(GW)	eP	23 37 18			NEZ: 12 ^s , 2,2 μ , 1,6 μ , 3,6 μ		
	ePoP	39 16		War.	$\Delta=44,7^{\circ}$		
	eS	43 55			eP	23 37 32	
	Lm	00 00 51			ePoP	39 08	
	N: 14 ^s , 8,7 μ				ePP	22	
	Lm	01 08			ePoS	43 09	
	E: 14 ^s , 10,5 μ				eS	44 08	
Rac.	$\Delta=43,5^{\circ}$				eSS	47 24	
(SD)	eP	23 37 22			eL	52	
i		32			Lm	58 52	
i		45			E: 18 ^s , 41 μ		
ePP		39 12			Lm	59 00	
ePoP		16			N: 15 ^s , 11 μ		
ePPP		43			Lm	00 03 17	
					Z: 11 ^s , 7,8 μ		
				2.VI	Ethiopie, réplique, USCGS:		

- 45 -

Dates	Station	Phases	G.M.T. h m s	Dates	Station	Phases	G.M.T. h m s	
2.VI (suite)	War.	Près de la côte au S du Chili		2.VI	War.	Lm	05 24 04	
		eL	08 34		Kra.	10,4°N, 39,8°E, H=00 ^h 01 ^m 46,9 ^s , h=33 km ca	N: 14 ^s , 16 μ	
	(Ch)	Ethiopie			(Ch)	$\Delta=43^{\circ}$. Traces	24 54	
		eL	11 13		(Ch)	eP	Z: 9 ^s , 5 μ	
2.VI	Ethiopie, réplique, USCGS: 10,4°N, 39,8°E, H=00 ^h 08 ^m 57,9 ^s , h=33 km ca			2.VI	Ethiopie, réplique, USCGS: 10,4°N, 39,6°E, H=05 ^h 22 ^m 29,1 ^s , h=26 km ca			
Kra.	$\Delta=42,8^{\circ}$			Kra.	$\Delta=42,8^{\circ}$			
(GW)	eP	00 09 44		(GW)	eP	00 16 55	05 30 31	
	epP				epP	17 04		
	ePP				ePP	18 40		
				2.VI	Ethiopie, réplique, USCGS: 10,3°N, 39,8°E, H=04 ^h 51 ^m 14,8 ^s , h=33 km ca; M=6,5 (War.), 6 1/4 - 6 1/2 (Pas.)			
Rac.	$\Delta=43,5^{\circ}$			Rac.	$\Delta=43,5^{\circ}$			
(SD)	eIP	04 59 17 C		(SD)	eIP	04 59 17 C	05 52 54	
i		05 00 45		i		05 00 45		
	eiPP	01 03			eiPP	38		
	ePPP				eIPS	06 06		
					Lm	23 05		
					NEZ: 10 ^s , 10 ^s , 12 ^s , 2,9 μ , 1,3 μ , 5,3 μ			
Kra.	$\Delta=43^{\circ}$			Kra.	$\Delta=43^{\circ}$			
(GW)	eIP	04 59 13		(GW)	eIP	04 59 13	05 53 04	
	epP				epP	28		
	ePP				eS	05 01 02		
					Lm	24 27		
					NE: 15 ^s , 13 ^s , 8,3 μ , 5,0 μ			
War.	Région des Iles Marianes			War.	Traces			
	eL				eL		19 00	
				3.VI	Kamchatka, USCGS: 56,3°N, 164,8°E, H=01 ^h 13 ^m 25,4 ^s			
				War.	$\Delta=67,5^{\circ}$. Traces			
				eP		01 24 28		
				eS		33 25		
				eL		49		
				Rac.	$\Delta=70^{\circ}$			
				(SK)	eP	01 24 43		
					epP		25 02	
				Kra.	$\Delta=70^{\circ}$			
				(GW)	eP	01 24 44		
					ePS		34 02	
					eL		54	
					Lm		58 10	
					N: 13 ^s , 2,2 μ			

- 46 -

Dates	Station	Phases	G.M.T. h m s	Dates	Station	Phases	G.M.T. h m s
3.VI (suite)	Kra. (GW)	Lm E: 13 ^S , 1,5 μ	01 58 17	4.VI	Rac. (SD)	$\Delta=48,3^{\circ}$ iP iPoP eiPP eSS Lm	07 41 49 43 13 36 52 16 08 04 06
3.VI	Ndz.	Proches				NEZ: 8 ^S , 8 ^S , 10 ^S , 5,4 μ , 4,5 μ , 5,6 μ	
3.VI	Ndz.	Proches		4.VI	Tibet, USCGS:	33,9 ⁰ N, 82,1 ⁰ E, H=13 ^h 51 ^m 29,9 ^s , h=32 km ca; M=4 1/2 (Moskva)	
3.VI	Kra. (GW)	Ethiopie, réplique, USCGS: 10,6 ⁰ N, 39,8 ⁰ S, H=15 ^h 20 ^m 30,9 ^s , h=33 km ca		Kra. (Ch)	$\Delta=47,3^{\circ}$. Traces eP	14 00 04	
4.VI	War.	Kra. $\Delta=43^{\circ}$ eP	15 28 26	War.	eL	14 16	
4.VI	War.	eL	15 41	5.VI	Sud de l'Iran, USCGS: 27,9 ⁰ N, 55,1 ⁰ E, H=03 ^h 30 ^m 56,0 ^s , h=30 km ca; M=5 1/2 (Moskva)		
4.VI	War.	Tibet, USCGS: 34,1 ⁰ N, 82,0 ⁰ E, H=07 ⁰ 33 ^m 06,0 ^s , h=32 km ca; M=6 1/2 (Pas., War.), 6 (Moskva)		Kra. (GW)	$\Delta=34,5^{\circ}$ eP	03 37 43	
4.VI	War.	$\Delta=46,4^{\circ}$		7.VI	Kra.		
		iP	07 41 33	7.VI	eL	12 03	
		ePoP	43 08				
		ePP	23	7.VI	Proches		
		ePPP	44 00				
		eS	48 17				
		ePPS	51 49	Kra. (Ch)	i	13 08 36	
		eSS	59	7.VI	Frontière Corée-Chine		
		eL	08 02 45				
		Lm		War.	eL	13 59	
		E: 13 ^S , 42 μ					
		Lm	02 56	7.VI	Région de l'Île Ascension, USCGS: 5,4 ⁰ S, 11,6 ⁰ W, H=14 ^h 15 ^m 18,9, h=17 km ca; M=5 1/2 - 5 1/4 (Strasbourg), 5,6 (War.)		
		N: 6 ^S , 9,6 μ					
		Lm	23 41				
		Z: 14 ^S , 36 μ					
		Kra. (GW)	$\Delta=47,2^{\circ}$				
		iP	07 41 39				
		eiPP	43 31				
		eS	48 34				
		Im	08 03 35				
		N: 11 ^S , 11 μ		Rac.	$\Delta=61,3^{\circ}$		
				iP	14 25 35		
				i	25 43		

- 47 -

- 48 -

Dates	Station	Phases	G.M.T. h m s	Dates	Station	Phases	G.M.T. h m s
11.VI (suite)	War.	Lm	05 34 21	11.VI		27,8°N, 54,6°E, H=13 ^h 57 ^m 58,3 ^s , h=34 km ca; M=5,6 (Teheran)	
		Z: 15 ^s , 46 μ		Kra.	$\Delta=34,5^{\circ}$		
		Lm	34 25	(Ch)	eIP	14 04 46	
		E: 15 ^s , 78 μ			eL	17	
		Lm	34 34	War.	$\Delta=35^{\circ}$. Traces		
		N: 14 ^s , 94 μ			eP	14 04 47	
	Rac.	$\Delta=35,2^{\circ}$			ePP	06 12	
	(M)	eP	05 17 20		eSoS	15 04	
		i	38		eL	16	
		eIPP	18 24	Rac.	$\Delta=35^{\circ}$		
		eIPPP	43	(SK)	eIP	14 04 55	
		eIPoP	19 52		ePoP	07 31	
		eS	22 39	11.VI	Birmanie-Chine,		
		eSS	24 53	War.	eL	17 48	
		Lm	34(12)				
		NE: 10 ^s , 19 μ , 22 μ		12.VI	N du Viet Nam, USCGS: 21,6°N, 106,0°E, H=09 ^h 58 ^m 17,1 ^s , h=33 km ca; M=5 (Moskva)		
11.VI		Alpes d'Oetztal, Tyrol, BCIS: vers 47°N, 10,5°E, H=10 ^h 49 ^m 15 ^s		Kra.	$\Delta=71,2^{\circ}$		
	Rac.	$\Delta=6^{\circ}$		(GW)	eP	10 09 35	
	(SK)	eSn	10 52 02		eL	38	
		eSS	12	12.VI	Tchécoslovaquie, explosion de 14 tonnes, Pruhonice: 50°35,2'N, 14°03,2'E, H=10 ^h 34 ^m		
11.VI		Sud de l'Iran, USCGS: 27,8°N, 54,4°E, H=12 ^h 30 ^m 23,5 ^s , h=35 km ca; M=5 $\frac{1}{2}$ (Moskva), IH=12 ^h 31 ^m 23 ^s , réplique		Rac.			
	Kra.	$\Delta=34,3^{\circ}$		(SK)	e	10 35 39	
		ePI	12 38 13	12.VI	Rac.		
		ePPI	39 22	(SK)	e	17 30 40	
		ePoP	57	13.VI	Rac.		
		eS	43 35	(M)	e	08 10 59	
		eL	46	Kra.			
		Lm	48 51	(Ch)	e	08 11 09	
		NE: 4 ^s , 6 ^s , 0,6 μ , 0,8 μ		13.VI	Région des Illes Tonga, USCGS:		
	Rac.	$\Delta=35^{\circ}$					
		ePI	12 38 22				
		ePP	40				
		ePPP	39 02				
11.VI		Sud de l'Iran, USCGS:					

- 49 -

Dates	Station	Phases	G.M.T. h m s	Dates	Station	Phases	G.M.T. h m s
13.VI (suite)		21,5°S, 176,4°W, H=21 ^h 37 ^m 55,0 ^s , h=146 km ca		15/16.VI	Kra. (GW)	ePcP eL Im	23 36 38 00 05 13 13
War.	$\Delta=146,5^{\circ}$			Rac.	$\Delta=75,5^{\circ}$	N: 19 ^s , 1,9 μ	
	ePKP ₁	21 57 20		(SK)	iP	23 36 30	
	isPKP	58 01			eipP	36	
	ePKS	22 00 44			eiPcP	43	
Kra. (GW)	$\Delta=148,5^{\circ}$			16.VI		NE de la Colombie, USCGS: 8,9°N, 73,4°W, H=10 ^h 31 ^m 56,2 ^s , h=120 km ca; M=6 (Pas.)	
	ePKP ₁	21 57 25		Rac.	$\Delta=84^{\circ}$		
	epPKP	50		(SD)	eiP	10 44 19	
	esPKP	58 11			eipP	43	
Rac. (M)	$\Delta=149,3^{\circ}$				ePP	47 26	
	ePKP ₁	21 57 29			eIS	54 38	
	i	39			ePS	55 31	
	epPKP	52			ePPS	57	
	esPKP	58 12		Kra.	$\Delta=85,3^{\circ}$		
14.VI	Ethiopie, USCGS: 10,5°N, 39,9°E, H=20 ^h 32 ^m 21,6 ^s , h=33 km ca; M=5 (Moskva)				iP	10 44 26	
Kra.	$\Delta=42,5^{\circ}$				eS	54 49	
	eiP	20 40 17			ePS	55 40	
	esS	46 51			eSS	11 00 22	
	eL	58		War.	$\Delta=85,6^{\circ}$		
War.	$\Delta=44,5^{\circ}$				iP	10 44 28	
	eP	20 40 23			epP	56	
	ePP	42 15			eS	54 48	
	eS	45 59			ess	55 20	
	eL	50			ePS	42	
15.VI	Proche			16.VI	Iles du Dodécanèse, USCGS: 35,1°N, 27,5°E, H=14 ^h 59 ^m 48,3 ^s , h=38 km ca		
Kra. (Ch)	e	04 28 25		Kra. (Ch)	$\Delta=16^{\circ}$. Traces		
15/16.VI	Iles Kouriles, USCGS: 45,9°N, 151,2°E, H=23 ^h 24 ^m 43,8 ^s , h=36 km ca; M=5 1/4 (Moskva)				eP	15 03 34	
War.	$\Delta=72,8^{\circ}$			16.VI	Au 40 km au N du Lac de Garde, BCIS: 46,3°N, 11,0°E, H=17 ^h 06 ^m 44 ^s		
	eP	23 36 12					
	eL	00 01					
Kra. (GW)	$\Delta=75^{\circ}$						
	eP	23 36 26					

- 50 -

Dates	Station	Phases	G.M.T. h m s	Dates	Station	Phases	G.M.T. h m s
16.VI (suite)	Rac.	$\Delta=6,2^\circ$		19.VI		Près de la côte de Lugon, USCGS: $12,7^\circ\text{N}$, $121,1^\circ\text{E}$, $H=01^{\text{h}}45^{\text{m}}25,5^{\text{s}}$, $h=48$ km ca	
	(SK)	eS*	17 09 57		Kra.	$\Delta=88^\circ$	
		eSg	10 07	(Ch)	eIP	01 58 12	
17.VI		Sud de l'Iran, USCGS: $27,9^\circ\text{N}$, $55,0^\circ\text{E}$, $H=08^{\text{h}}05^{\text{m}}53,0^{\text{s}}$, $h=38$ km ca; $M=4,9$ (Moskva)			epP	31	
	Kra.	$\Delta=34,5^\circ$		War.	Trace, Ag.mi.		
	(Ch)	eP	08 12 41	19.VI	eL	02 32	
		ePP	13 58		Au large de la côte E de Hondo, USCGS: $39,3^\circ\text{N}$, $143,1^\circ\text{E}$, $H=02^{\text{h}}46^{\text{m}}03,6^{\text{s}}$, $h=42$ km ca; $M=5$ (Moskva)		
	War.	eL	08 25	Kra.	$\Delta=77,5^\circ$		
17.VI		Frontière Mexique-Guatemala, USCGS: $14,2^\circ\text{N}$, $92,0^\circ\text{W}$, $H=15^{\text{h}}07^{\text{m}}33,7^{\text{s}}$, $h=85$ km ca; $M=6$ (Pas.)		(Ch)	eIP	02 57 54	
	War.	$\Delta=92,3^\circ$		Rac.	$\Delta=78^\circ$		
		e	15 32 01	(SK)	eP	02 57 58	
		ePPS	33 29	19.VI	Au large de la côte E de Hondo, USCGS: $39,3^\circ\text{N}$, $143,0^\circ\text{E}$, $H=07^{\text{h}}38^{\text{m}}25,0^{\text{s}}$, $h=29$ km ca; $M=5 \frac{1}{2}$ (Moskva)		
		eL	49	Kra.	$\Delta=77,5^\circ$		
	Kra.			(Ch)	eIP	07 50 13	
	(GW)	eL	15 54		ePcP	38	
		Lm	16 00 54	War.	Traces. Ag.mi.		
		N: 20° , $3,4\mu$		eL	08 19		
		Lm	03 32	Kra.			
		E: 19° , $3,9\mu$		(GW)	eL	08 24	
18.VI	Rac.				Lm	27 46	
	(SK)	e	09 46 48		N: 14° , $2,9\mu$		
18.VI		Région des Iles Kermadec, USCGS: $31,5^\circ\text{S}$, $179,8^\circ\text{E}$, $H=13^{\text{h}}55^{\text{m}}16,6^{\text{s}}$, $h=434$ km ca; $M=7,4$ (Nouvelle Zélande)		19.VI	Hindou-Kouch, USCGS: $36,5^\circ\text{N}$, $70,9^\circ\text{E}$, $H=17^{\text{h}}04^{\text{m}}37,0^{\text{s}}$, $h=200$ km ca; $M=6,6$ (Quetta)		
	Kra.	$\Delta=157^\circ$		War.	$\Delta=38^\circ$		
	(Ch)	ePKP ₁	14 14 22		iP	17 11 38	
		ePKP ₂	53		ePcP	13 51	
	Rac.	$\Delta=157^\circ$			eSS	20 09	
	(SK)	ePKP ₁	14 14 25	Kra.	$\Delta=38,6^\circ$		
		ePKP ₂	57	(Ch)	iP	17 11 43	
					epP	12 24	

- 51 -

Dates	Station	Phases	G.M.T. h m s	Dates	Station	Phases	G.M.T. h m s
19.VI (suite)	Kra.	ePcP	17 13 48	21.VI (SD)	Rac.	$\Delta=14,3^\circ$	
	(SK)	$\Delta=39,7^\circ$			eP	16 08 16	
		eP	17 12 02		ePP	28	
		epP	57		ePPP	35	
		ePP	13 37	War.	$\Delta=15,3^\circ$. Traces		
		ePcP	14 03		eP	16 08 21	
		ePPP	08		eL	11	
		eScS	21 38				
20.VI		Golfe d'Aden, USCGS: $12,2^\circ\text{N}$, $44,2^\circ\text{E}$, $H=03^{\text{h}}21^{\text{m}}34,3^{\text{s}}$, $h=33$ km ca; $M=6$ (Moskva)		21.VI		Sud de l'Iran, USCGS: $27,5^\circ\text{N}$, $54,8^\circ\text{E}$, $H=19^{\text{h}}14^{\text{m}}41,9^{\text{s}}$, $h=45$ km ca	
	Kra.	$\Delta=43^\circ$			Kra.	$\Delta=34,8^\circ$. Traces	
	(GW)	eP	03 29 25		(Ch)	eP	19 21 30
		Lm	51 28				
		N: 13° , $1,6\mu$		21.VI		Près de la côte N de Java, USCGS: $7,6^\circ\text{S}$, $110,0^\circ\text{E}$, $H=20^{\text{h}}25^{\text{m}}00,9$, $h=163$ km ca	
		War.	03 39		Kra.	$\Delta=95,8^\circ$	
					(Ch)	eP	20 38 13
						eISKS	48 37
						eS	49 05
20.VI		Proche					
	Kra.				Rac.	$\Delta=97^\circ$	
	(Ch)	e	10 33 00,5		(SD)	eIP	20 38 21
						epP	50
						ePcP	39 15
20.VI		Proche			War.	$\Delta=95,5^\circ$. Traces	
	Kra.					iSKS	20 48 37
	(Ch)	e	19 54 58			eL	21 13
					22.VI	Rac.	00 57 35
						(SD)	e
21.VI		Iran, USCGS: $27,8^\circ\text{N}$, $54,8^\circ\text{E}$, $H=06^{\text{h}}39^{\text{m}}23,0^{\text{s}}$, $h=40$ km ca; $M=5 \frac{1}{2}$ (Moskva)					
	Rac.	$\Delta=35,4^\circ$					
	(SK)	eP	06 46 18				
		War.	06 57				
					22.VI	Région frontière Albanie-Yougoslavie, BCIS: $42,4^\circ\text{N}$, $19,3^\circ\text{E}$, $H=00^{\text{h}}56^{\text{m}}01\text{s}$; $M=5 \frac{1}{2}$ - $5 \frac{1}{2}$ (Athènes)	
	Kra.	$\Delta=13,6^\circ$			Rac.	$\Delta=7,8^\circ$	
	(GW)	eP	16 08 00		(SD)	ePn	00 58 02
		Lm	13 37			eP*	13
						ePg	30
						eISn	59 35
						iSS	41
		E: 6° , $1,5\mu$					
		Lm	14 19				
		N: 10° , $6,4\mu$					

- 52 -

Dates	Station	Phases	G.M.T. h m s	Dates	Station	Phases	G.M.T. h m s
22.VI (suite)	Rac. (SD)	Lm	01 00 23	23.VI	Rac. (SK)	$\Delta=35,8^{\circ}$ eP	16 43 22
		NE: 4 ^S , 6 ^S , 4,6 μ , 4,1 μ			War.	$\Delta=35,5^{\circ}$ eSS eL	16 51 08 55
		Lm	01 15				
		NZ: 5 ^S , 8 ^S , 7,7 μ , 4 μ					
	Kra. (GW)	$\Delta=7,6^{\circ}$ eiPn eP eSn Lm	00 57 57 58 22 59 30 01 00 36	24.VI	Proche (Ch)	e	20 18 02
		E: 7 ^S , 3,1 μ		25.VI		Au N des Iles Mariannes, USCGS: 21,8 [°] N, 143,5 [°] E, H=16 ^h 46 ^m 38,6 ^s , h=33 km ca	
		Lm	01 19		Kra. (GW)	$\Delta=93,2^{\circ}$ eP ePP eSKS eL Lm	16 59 54 17 03 30 10 22 15 37 18
		N: 12 ^S , 7,8 μ				E: 15 ^S , 2,0 μ	
	War.	eL	01 00			Lm	45 40
23.VI		Au large de l'Orégon, USCGS: 44,1 [°] N, 128,9 [°] W, H=08 ^h 55 ^m 55,2 ^s , h=56 km ca; M=5 $\frac{1}{4}$ -6 (Palisades)			War.	$\Delta=80^{\circ}$ eP eS eSKS eSS eL	09 08 09 18 16 20 23 24 28
	War.					N: 14 ^S , 2,5 μ	
				26.VI		War. $\Delta=90,5^{\circ}$, Traces eSKS eL	17 10 14 32
	Kra. (GW)	$\Delta=81,6^{\circ}$ eP ePcP eScS eL Lm	09 08 15 09 19 18 34 32 42			Iles Proches, Aléoutiennes, USCGS: 52,2 [°] N, 174,7 [°] E, H=14 ^h 47 ^m 27,3 ^s , h=40 km; M=6 (Moskva, War.)	
		E: 14 ^S , 2,5 μ			War.	$\Delta=73^{\circ}$ ** eiP eS eL Lm	14 58 59 15 08 28 24 34 34
		Lm	49 11			N: 17 ^S , 5,8 μ	
		N: 14 ^S , 2,5 μ				Lm	34 37
23.VI		Sud de l'Iran, USCGS: 27,6 [°] N, 55,1 [°] E, H=16 ^h 36 ^m 22,8 ^s , h=32 km ca				E: 17 ^S , 8,1 μ	
	Kra. (GW)	$\Delta=34,8^{\circ}$ eP ePPP eS	16 43 13 44 45 48 32			Lm	36 10
		Z: 15 ^S , 6 μ			Kra. (GW)	$\Delta=75,2^{\circ}$ iP ePcP	14 59(10) 19

- 53 -

Dates	Station	Phases	G.M.T. h m s	Dates	Station	Phases	G.M.T. h m s
26.VI (suite)	Kra. (GW)	eS eL Lm	15 08 55 29 36 22	28.VI	Rac. (SK)	$\Delta=90^{\circ}$ eP	13 28 21
		E: 18 ^S , 5,5 μ		29.VI		Nouvelles Hébrides, USCGS: 13,9 [°] S, 166,0 [°] E, H=09 ^h 22 ^m 55,8 ^s , M=5 $\frac{1}{4}$ (Moskva)	
		Lm	37 28		War.	$\Delta=132,7^{\circ}$ ePKS	09 45 35
	Kra. (GW)	Rac. (SK)	$\Delta=75,4^{\circ}$ iP ePcP	14 59 14 D 26	29.VI	Iles Kouriles, USCGS: 45,5 [°] N, 151,3 [°] E, H=11 ^h 34 ^m 55,7 ^s , h=68 km ca	
				27.VI		Province du Yunnan, Chine, USCGS: 28,0 [°] N, 99,4 [°] E, H=07 ^h 03 ^m 42,2 ^s , h=33 km ca; M=6 (Pas., Moskva), 6,4 (War.)	
		Rac. (SK)	$\Delta=63,3^{\circ}$ eP ePcP	07 14 18 46	29.VI	Kra. $\Delta=75,2^{\circ}$. Traces (Ch)	11 46 37 50
				28.VI	Rac. (SK)	$\Delta=76^{\circ}$ eiP ePcP	11 46 41 51
	War.	War.	$\Delta=61,5^{\circ}$ eS ePPS eScS eSS eL Lm	07 22 21 50 16	29.VI	Allemagne orientale coup de toit dans la région de Merkers Jena: 50 [°] 49'N, 10 [°] 06,5'E, H=12 ^h 52 ^m 49 ^s	
			N: 14 ^S , 5,6 μ			Rac. (SK)	12 54 09 15 27 36 55 15 56 07 56 20
			E: 15 ^S , 9,8 μ				Z: 1,3 ^S , 1,6 μ
			Lm	50 11			Lm
			N: 14 ^S , 5,6 μ				E: 1,6 ^S , 1,7 μ
			E: 15 ^S , 9,8 μ				
			Lm	50 16			
			N: 14 ^S , 5,6 μ				
			E: 15 ^S , 9,8 μ				
			Lm	50 16			
			N: 14 ^S , 5,6 μ				
			E: 15 ^S , 9,8 μ				
			Lm	50 16			
			N: 14 ^S , 5,6 μ				
			E: 15 ^S , 9,8 μ				
			Lm	50 16			
			N: 14 ^S , 5,6 μ				
			E: 15 ^S , 9,8 μ				
			Lm	50 16			
			N: 14 ^S , 5,6 μ				
			E: 15 ^S , 9,8 μ				
			Lm	50 16			
			N: 14 ^S , 5,6 μ				
			E: 15 ^S , 9,8 μ				
			Lm	50 16			
			N: 14 ^S , 5,6 μ				
			E: 15 ^S , 9,8 μ				
			Lm	50 16			
			N: 14 ^S , 5,6 μ				
			E: 15 ^S , 9,8 μ				
			Lm	50 16			
			N: 14 ^S , 5,6 μ				
			E: 15 ^S , 9,8 μ				
			Lm	50 16			
			N: 14 ^S , 5,6 μ				
			E: 15 ^S , 9,8 μ				
			Lm	50 16			
			N: 14 ^S , 5,6 μ				
			E: 15 ^S , 9,8 μ				
			Lm	50 16			
			N: 14 ^S , 5,6 μ				
			E: 15 ^S , 9,8 μ				
			Lm	50 16			
			N: 14 ^S , 5,6 μ				
			E: 15 ^S , 9,8 μ				
			Lm	50 16			
			N: 14 ^S , 5,6 μ				
			E: 15 ^S , 9,8 μ				
			Lm	50 16			
			N: 14 ^S , 5,6 μ				
			E: 15 ^S , 9,8 μ				
			Lm	50 16			
			N: 14 ^S , 5,6 μ				
			E: 15 ^S , 9,8 μ				
			Lm	50 16			
			N: 14 ^S , 5,6 μ				
			E: 15 ^S , 9,8 μ				
			Lm	50 16			
			N: 14 ^S , 5,6 μ				
			E: 15 ^S , 9,8 μ				
			Lm	50 16			
			N: 14 ^S , 5,6 μ				
			E: 15 ^S , 9,8 μ				
			Lm	50 16			
			N: 14 ^S , 5,6 μ				
			E: 15 ^S , 9,8 μ				
			Lm	50 16			
			N: 14 ^S , 5,6 μ				
			E: 15 ^S , 9,8 μ				
			Lm	50 16			
			N: 14 ^S , 5,6 μ				
			E: 15 ^S , 9,8 μ				
			Lm	50 16			
			N: 14 ^S , 5,6 μ				
			E: 15 ^S , 9,8 μ				
			Lm	50 16			
			N: 14 ^S , 5,6 μ				
			E: 15 ^S , 9,8 μ				
			Lm	50 16			
			N: 14 ^S , 5,6 μ				
			E: 15 ^S , 9,8 μ				
			Lm	50 16			
			N: 14 ^S , 5,6 μ				
			E: 15 ^S , 9,8 μ				
			Lm	50 16			
			N: 14 ^S , 5,6 μ				
			E: 15 ^S , 9,8 μ				
			Lm	50 16			
			N: 14 ^S , 5,6 μ				
			E: 15 ^S , 9,8 μ				
			Lm	50 16			
			N: 14 ^S , 5,6 μ				
			E: 15 ^S , 9,8 μ				
			Lm	50 16			
			N: 14 ^S , 5,6 μ				
			E: 15 ^S , 9,8 μ				
			Lm	50 16			
			N: 14 ^S , 5,6 μ				
			E: 15 ^S , 9,8 μ				
			Lm	50 16			
			N: 14 ^S , 5,6 μ				
			E: 15 ^S , 9,8 μ				
			Lm	50 16			
			N: 14 ^S , 5,6 μ				
			E: 15 ^S , 9,8 μ				
			Lm	50 16			
			N: 14 ^S , 5,6 μ				
			E: 15 ^S , 9,8 μ				
			Lm	50 16			
			N: 14 ^S , 5,6 μ				
			E: 15 ^S , 9,8 μ				
			Lm	50 16			
			N: 14 ^S , 5,6 μ				
			E: 15 ^S , 9,8 μ				
			Lm	50 16			

- 54 -

Dates	Station	Phases	G.M.T. h m s	Dates	Station	Phases	G.M.T. h m s	
29.VI (suite)	Rac. (SK)	$\Delta=7,3^{\circ}$ ePn ePP ePPP eP* ePg	18 10 40 46 51 57 11 17	29.VI (Ch)	Kra. War.	$\Delta=39^{\circ}$. Traces $\Delta=36,5^{\circ}$ eS eL	22 08 53 22 14 20 20	
29.VI	Région de Severnaya Zemlya, USCGS: $85,0^{\circ}$ N, $97,8^{\circ}$ E, $H=22^{\text{h}}01^{\text{m}}24,1^{\text{s}}$; $M=4\frac{1}{4}$ (Moskva)			30.VI	Tchécoslovaquie, explosion de 10,1 tonnes, Pruhonice: $49^{\circ}35,7'N, 17^{\circ}43,3'E$, Rac. (SK)			08 01 08
1961	J U I L L E T 1961							
1.VII	Iles Fidji, USCGS: $18,0^{\circ}$ S, $178,4^{\circ}$ W, $H=18^{\text{h}}50^{\text{m}}57,5^{\text{s}}$, $h=600$ km ca			6.VII	Kra. (GW)	Lm Z: 21^{s} , 12μ	31 31	
	Rac. (SK)	$\Delta=145,3^{\circ}$. Traces ePKP ₁	19 09 34		Rac. (SK)	$\Delta=142,8^{\circ}$ ePKP ₁ iZ ePP ePKS	22 28 58 29 02 31 12 32 37	
6.VII	Rac. (SK)	e	12 27 47	7.VII	Nouvelle Bretagne, USCGS: $5,7^{\circ}$ S, $149,7^{\circ}$ E, $H=13^{\text{h}}10^{\text{m}}43,8^{\text{s}}$, $h=57$ km ca; $M=6,8$ (War.), 6-6 (Pas.)			
6.VII	Région des Iles Loyauté, USCGS: $20,6^{\circ}$ S, $169,4^{\circ}$ E, $H=22^{\text{h}}09^{\text{m}}29,4^{\text{s}}$, $h=27$ km ca; $M=7$ (War.), 6,6 (Pas.)			War.	$\Delta=117,3^{\circ}$ ePP eSKS ePS eL Im	13 30 49 36 45 40 29 47 14 20 43		
	War.	$\Delta=140^{\circ}$ iPKP ₁ ePP iPKS eL Lm E: 21^{s} , $6,8\mu$ Im N: 23^{s} , 37μ	22 28 57 31 56 32 35 23 14 28 16 28 24 13 30 57 14 20 30		NE: 22^{s} , 26μ , 30μ Lm Z: 21^{s} , 31μ	20 46		
	Kra. (GW)	$\Delta=142^{\circ}$ ePKP ₁ eIPP Lm E: 22^{s} , $12,4\mu$ Im	22 28 54 32 02 23 30 50 31 28	Kra. (GW)	$\Delta=118,8^{\circ}$ ePP Im N: 25^{s} , 17μ Im Z: 22^{s} , 16μ Im	20 33 20 50		
		N: 21^{s} , 14μ			E: 21^{s} , 12μ			

- 55 -

Dates	Station	Phases	G.M.T. h m s	Dates	Station	Phases	G.M.T. h m s	
7.VII (suite)		Région des Iles Loyauté, USCGS: $20,2^{\circ}$ S, $169,0^{\circ}$ E, $H=22^{\text{h}}19^{\text{m}}31,6^{\text{s}}$, $h=41$ km ca; $M=5,2$ (Wellington)		8.VII		$H=21^{\text{h}}48^{\text{m}}42,3^{\text{s}}$, $h=18$ km ca; M=6,1 (Wellington)		
	Rac. (SD)	$\Delta=142,5^{\circ}$ ePKP	22 39 13	War.		$\Delta=139,8^{\circ}$ ePKP ₁ ePKS eL	22 08 11 11 48 30	
8.VII		Iles Loyauté, réplique, USCGS: $20,2^{\circ}$ S, $168,7^{\circ}$ E, $H=02^{\text{h}}35^{\text{m}}20,5^{\text{s}}$, $h=33$ km ca; $M=6,0$ (Wellington)		Kra. (GW)	$\Delta=141,5^{\circ}$. Traces e ePKS	22 10 27 11 53		
	Rac. (SD)	$\Delta=142^{\circ}$. Traces ePKP	02 54 43	9.VII		Iran, USCGS: $29,0^{\circ}$ N, $54,7^{\circ}$ E, $H=08^{\text{h}}05^{\text{m}}45,9^{\text{s}}$, $h=25$ km ca; $M=4\frac{1}{4}$ (Moskva)		
	War.	$\Delta=139,5^{\circ}$ ePKP ePKS eL	02 54 48 58 24 03 51	Kra. (GW)	$\Delta=33,5^{\circ}$ eP eS	08 12 32 17 58		
8.VII	Kra.	e	10 27 56	Rac. (SK)	$\Delta=34,5^{\circ}$ eP	08 12 44		
				11.VII	Yougoslavie, BCIS: $45\frac{1}{2}^{\circ}$ N, $18\frac{1}{2}^{\circ}$ E, $H=08^{\text{h}}47^{\text{m}}07^{\text{s}}$			
	Rac. (SK)	$\Delta=4,6^{\circ}$ eP* ePg eSn eSS eS*	08 48 30 38 49 13 18 29	War.	$\Delta=139,4^{\circ}$ ePKP ePP ePKS eL	15 54 00 56 58 57 42 16 41		
				11.VII	Kra. (GW)	$\Delta=4,7^{\circ}$ ePg eS*	08 48 42 49 29	
					Rac. (SD)	$\Delta=142^{\circ}$ ePKP	15 54 05	
					Kra. (GW)	$\Delta=143^{\circ}$ ePKP ePKS Lm	15 54 06 57 47 16 56 47	
						E: 20^{s} , $3,1\mu$ Lm	56 51	
					8.VII	Région des Iles Nicobár, USCGS: $8,0^{\circ}$ N, $93,1^{\circ}$ E, $H=09^{\text{h}}31^{\text{m}}42,6^{\text{s}}$, $h=17$ km ca, $M=5\frac{1}{4}$ (Moskva)		
						Kra. (GW)	$\Delta=73^{\circ}$ eP ePoP Lm	09 43 15 28 10 20 31
						E: 18^{s} , $2,2\mu$ Lm	20 39	
						N: 18^{s} , $1,8\mu$		

- 56 -

Dates	Station	Phases	G.M.T. h m s	Dates	Station	Phases	G.M.T. h m s
11.VII (suite)	Rac. (SD)	$\Delta=74^{\circ}$ eP ePcP ePP ePS	09 43 21 29 46 01 53 23	13.VII		Formose, USCGS: 22,9°N, 122,7°E, H=21 ^h 44 ^m 33,4 ^s , h=33 km ca; M=4¾ (Moskva)	
	War.	eL	10 20		War.	$\Delta=73,8^{\circ}$ ePS ePPS eL	22 06 19 31 28
11.VII	Rac. (SK)	e	11 20 33,5	14.VII		Luçon, Iles Philippines, USCGS: 15,8°N, 120,9°E, H=00 ^h 06 ^m 52,5 ^s , h=168 km ca	
12.VII		Près de la côte Est de la Grèce: USCGS: 39,1°N, 23,4°E, H=02 ^h 48 ^m 48,0 ^s h=33 km ca; M=4¾-5 (Athènes)		Rac. (SK)	$\Delta=85,7^{\circ}$ eP	00 19 16	
	Kra. (GW)	$\Delta=11,2^{\circ}$ eP	02 51 12	15.VII		Luçon, Iles Philippines, USCGS: 13,3°N, 120,6°E, H=00 ^h 17 ^m 53,5 ^s , h=70 km ca; M=5¾ (Moskva)	
	War.	$\Delta=13,2^{\circ}$. Šlady		Kra. (Ch)	$\Delta=86,5^{\circ}$ iP epP	00 30 32 39	
		e	02 56 25	Rac. (SK)	$\Delta=87,5^{\circ}$ eP eipP	00 30 39 44	
		eL	59	War.	eL	01 08	
		Lm	03 00 11				
		E: 4,5 ^s , 2,4 ^p					
12.VII		Iles Kouriles, USCGS: 45,4°N, 151,0°E, H=13 ^h 29 ^m 56,6 ^s , h=40 km ca		15.VII		Au large de la côte S du Kamczatka, USCGS: 48,8°N, 157,4°E, H=05 ^h 43 ^m 11,0 ^s , h=31 km ca	
	Rac. (SK)	$\Delta=76^{\circ}$ eP ePcP	13 41 46 52	Rac. (SK)	$\Delta=74,8^{\circ}$ eP ePcP	05 55 01 12	
12.VII		Région des Iles Loyauté, USCGS: 22,9°S, 171,2°E, H=14 ^h 36 ^m 58,6 ^s , h=53 km ca		16.VII		Iles Tonga, USCGS: 18,9°S, 175,6°W, H=06 ^h 47 ^m 26,4 ^s , h=206 km ca	
	Rac. (SK)	$\Delta=145,7^{\circ}$ ePKP ₁ epPKP ₁	14 56 35 42	Rac. (SK)	$\Delta=147^{\circ}$ ePKP ₁ ePKP ₂	07 06 46 58	
13.VII	Rac. (SK)	ei	08 46 27	16.VII		Région des Iles Loyauté, USCGS: 23,0°S, 171,4°E,	
		i	59				
13.VII		Au large de la côte E de					

- 57 -

Dates	Station	Phases	G.M.T. h m s	Dates	Station	Phases	G.M.T. h m s
16.VII (suite)		H=14 ^h 01 ^m 35,8 ^s , h=15 km ca; M=6 (Wellington)		17.VII	Kra.	ePP	16 35 26
	Kra.	$\Delta=144,8^\circ$			eS		42 27
	(Ch)	ePKP	14 21 06		eL		17 01
	Rac.	$\Delta=145,6^\circ$			Lm		11 56
	(SK)	eiPKP	14 21 16 C		E: 14 ^s , 4,4 μ		
					Lm		11 58
					N: 14 ^s , 7 μ		
16.VII		Froche		Rac.	$\Delta=80,3^\circ$		
	Kra.			(SK)	eP		16 32 31
	(Ch)	e	22 04 11		ePcP		39
16.VII		Région des Iles Fidji, USCGS: 18,1°S, 179,3°W, H=23 ^h 03 ^m 26,9 ^s , h=591 km ca		18.VII		N des Iles Riou-Kiou, USCGS: 29,4°N, 131,6°E, H=14 ^h 03 ^m 36,5 ^s , h=21 km ca; M=7,3 (War.), 6½ - 6¾ (Pas.)	
	Kra.	$\Delta=144^\circ$		War.	$\Delta=78,5^\circ$		
	(Ch)	iPKP ₁	23 22 02		iP		14 15 39 D
	Rac.	$\Delta=145,2^\circ$			ePcP		47
	(SK)	ePKP ₁	23 22 05		ePP		18 40
17.VII		Iran, USCGS: 27,8°N, 55,1°E, H=05 ^h 13 ^m 21,3 ^s , h=16 km ca			ePPP		20 29
	Kra.	$\Delta=34,7^\circ$			eS		25 29
	(Ch)	eP	05 20 16		eSKS		51
17.VII		Près de la côte E du Hondo, USCGS: 35,8°N, 141,3°E, H=16 ^h 20 ^m 19,1 ^s , h=51 km ca; M=6,3 (War.), 5¾ (Moskva)			eScS		55
	War.	$\Delta=77,7^\circ$			ePPS		26 46
		eP	16 32 17		eL		39
		ePop	26		Lm		49 44
		ePP	35 20		N: 16 ^s , 105 μ		
		eS	42 10		Lm		49 46
		eL	17 04		E: 16 ^s , 59 μ		
		Lm	11 13		Lm		53 58
		NE: 14 ^s , 6,5 μ , 8,9 μ			Z: 14 ^s , 58 μ		
		Lm	11 16	Kra.	$\Delta=80^\circ$		
		Z: 14 ^s , 7,8 μ		(GW)	iP		
	Kra.	$\Delta=79,5^\circ$			iS		14 15 49
	(GW)	eP	16 32 25		Im		25 53
		ePop	34		E: 12 ^s , 31 μ		53 21
					Lm		14 56 18
					N: 8 ^s , 36 μ		
				Rac.	$\Delta=81^\circ$		
				(SD)	iP		
					iPcP		16 04
					i		43
					i		17 21

Dates	Station	Phases	G.M.T. h m s	Dates	Station	Phases	G.M.T. h m s
18.VII	Rac.	i	14 18 34	18/19.	N des Iles Riou-Kiou,		
(suite)	(SD)	iPP	19 06	VII	réplique, USCGS: 29,8°N, 131,5°E, H=23 ^h 42 ^m 36,5 ^s ,		
		iS	26 04		h=39 km ca		
		ePS	54	Kra.	Δ=80°. Traces		
		Lm	56(00)	(Ch)	eP	23 54 47	
		NEZ: 14 ^s , 4,6<μ>, 3,4<μ>,		(GW)	ePcP	52	
		19<μ>			eL	00 27	
18.VII		N des Iles Riou-Kiou, réplique du précédent, USCGS: 29,7°N, 131,5°E, H=14 ^h 34 ^m 03,1 ^s , h=33 km ca		War.	Traces		
	Rac.	Δ=80,7°			eL	00 26	
	(SK)	eP	14 46 19	19.VII	Kra.		
		iPcP	30	(Ch)	e	01 55 35,5	
		ei	47 16				
18.VII		N des Iles Riou-Kiou, réplique, USCGS: 29,7°N, 131,3°E, H=15 ^h 16 ^m 12,5 ^s , h=35 km ca		War.	eL	07 17	
	Kra.	Δ=80°		19.VII	N des Iles Riou-Kiou, USCGS:		
	(Ch)	eP	15 28 23		29,9°N, 131,5°E, H=10 ^h 35 ^m 41,4 ^s , h=20 km ca		
		ePcP	34		Kra.	Δ=79,6°. Traces	
18.VII		N des Iles Riou-Kiou, réplique, USCGS: 29,7°N, 131,5°E, H=16 ^h 48 ^m 38 ^s , h=33 km ca		(GW)	eP	10 47 59	
	Kra.	Δ=80°					
	(Ch)	eP	17 00 47	19.VII	Rac.	Δ=80,7°	
		ePcP	59	(SK)	e	10 48 15	
18.VII		N des Iles Riou-Kiou, réplique, USCGS: 29,3°N, 131,8°E, H=19 ^h 29 ^m 07,5 ^s , h=33 km ca; M=5 1/2 (Matsushiro)		19.VII	N des Iles Riou-Kiou, USCGS:		
	Kra.	Δ=80,3°			29,8°N, 131,5°E, H=11 ^h 58 ^m 43,7 ^s , h=31 km ca; M=5 1/2 (Moskva)		
	(GW)	eP	19 41 17		War.	Δ=78°	
		eL	20 14		eP	12 10 49	
	War.	Traces			ePcP	54	
		eL	20 11		eS	20 41	

Dates	Station	Phases	G.M.T. h m s	Dates	Station	Phases	G.M.T. h m s
19.VII	Kra.	Δ=80°		20.VII	N des Iles Riou-Kiou, réplique du 18.VII, USCGS:		
(suite)	(GW)	eIP	12 10 56		29,6°N, 131,5°E, H=03 ^h 04 ^m 42,8 ^s , h=33 km ca		
		eS	20 59				
		eScS	21 26				
		eL	44	Kra.	Δ=80°		
				(Ch)	eP	03 16 52	
	Rac.	Δ=80,7°		20.VII	Proche		
	(SK)	IP	12 11 01 D		Kra.		
		ePcP	10		(Ch)	e	09 14 51
					Rac.		
					(SK)	e	09 14 57
				-20.VII	Iles Fidji		
					Kra.		
					(GW)	eL	15 29
				20.VII	Rac.		
					(SK)	e	22 23 27
				21.VII	Région des Iles Loyauté, USCGS: 22,4°S, 171,5°E, H=01 ^h 10 ^m 36,7 ^s , h=112 km ca		
					Kra.	Δ=145,5°	
					(SK)	eIPKP	01 30 03
						epPKP	08
				21.VII	Nouvelles Hébrides		
					Kra.		
					(GW)	eL	13 50
				21.VII	N des Iles Riou-Kiou, USCGS:		
					29,6°N, 131,4°E, H=18 ^h 34 ^m 20,0 ^s		
					Kra.	Δ=80,7°. Traces	
					(SK)	eP	18 46 34
				21.VII	N de Riou-Kiou, USCGS:		
					29,8°N, 131,7°E, H=18 ^h 50 ^m 54,7 ^s , h=33 km ca		
					Kra.	Δ=80°	
					(Ch)	eIP	19 03 03
						ePcP	13
					(GW)	eL	35

Dates	Station	Phases	G.M.T. h m s	Dates	Station	Phases	G.M.T. h m s
21.VII	Rac.	$\Delta=80,6^\circ$		23.VII		h=44 km ca; M=5 1/4 (Moskva), 5,3 (Wellington)	
(suite)	(SK)	eP	19 03 09		War.	$\Delta=138^\circ$	
		ePcP	13			ePKP	14 23 03
	War.	Traces				eL	15 18
		eL	19 36		Rac.	$\Delta=140,5^\circ$	
21.VII					(SK)	ePKP	14 23 08
	N des Iles Riou-Kiou, USCGS: 29,8°N, 131,6°E, H=22 ^h 39 ^m 53,2 ^s , h=32 km ca; M=5,1 (Matsushiro)				ePP	26 07	
	Kra.	$\Delta=80^\circ$			Kra.	$\Delta=139,5^\circ$	
	(GW)	eP	22 52 10		(GW)	ePKP	14 23 14
		eL	23 25		ePP	26 07	
	Rac.	$\Delta=80,6^\circ$			eL	15 13	
	(SK)	eP	22 52 11		Lm	24 37	
		ePoP	15			N: 22 ^s , 7μ	
	War.	Traces		23.VII		Nouvelles Hébrides, prémonitoire du 23.VII, USCGS: 18,3°S, 168,2°E, H=15 ^h 30 ^m 17,2 ^s , h=33 km ca	
22.VII	Rac.				Rac.	$\Delta=140,3^\circ$	
	(SK)	e	11 00 12		(SK)	e(PKP)	15 49 33
		e	32		ePP	52 41	
22.VII		A environ 1000 km à l'Ouest des Iles Macquarie, USCGS: 54,1°S, 140,4°E, H=18 ^h 12 ^m 28,1 ^s , h=34 km ca			Kra.		
	Rac.	$\Delta=145,3^\circ$			(GW)	eL	16 50
	(SK)	ePKP	18 32 02			Nouvelles Hébrides, USCGS: 18,5°S, 168,3°E, H=21 ^h 51 ^m 07,5 ^s , h=44 km ca; M=7-7 1/4 (Pas.), 7,7 (War.)	
22.VII	N des Iles Riou-Kiou, BCIS: 29 1/4°N, 131°E, H=22 ^h 29 ^m 25 ^s				War.	$\Delta=137,8^\circ$	
	Kra.	$\Delta=79,5^\circ$. Traces				ePKP	22 10 18
	(Ch)	eP	22 41 41			ei	32
		ePcP	49			iPP	13 17
	Rac.	$\Delta=80,4^\circ$. Traces				i	18 14
	(SK)	ePcP	22 41 46			Lm	23 11 26
23.VII	Nouvelles Hébrides, USCGS: 18,6°S, 168,2°E, H=14 ^h 03 ^m 39,8 ^s ,					Z: 21 ^s , 164μ	
						Im	11 32
					Kra.	NE: 21 ^s , 210μ, 92μ	
					(GW)	$\Delta=139,5^\circ$	
					ePKP	22 10 24	
					PKPm	36	
					NE: 10 ^s , 2,6μ, 1,4μ		

Dates	Station	Phases	G.M.T. h m s	Dates	Station	Phases	G.M.T. h m s	
23.VII	(suite) Kra.	ePP	22 13 34	26.VII	Rac.	ePg	12 02 20	
	(GW)	iPKS	14 14		(SK)	Im	03 18	
		eL	33			Z: 1 ^s , 0,7μ		
		Im	23 12 06			Im	03 24	
			N: 23 ^s , 127μ			N: 1 ^s , 1,0μ		
			Im		Kra.	$\Delta=4,2^\circ$		
			E: 21 ^s , 76μ		(Ch)	eS*	12 02 49	
			Rac.	$\Delta=140,5^\circ$		eSg	57	
			(SD) ePKP	22 10 28 C	26.VII	Proche		
			e	38		Kra.		
			iPKS	14 18		(Ch)	e	23 43 26
			i	36				
			eL	32	28.VII	Iles Riou-Kiou, USCGS, 27,1°N, 126,6°E, H=00 ^h 34 ^m 19,5 ^s , h=149 km ca		
			Lm	23 11(00)				
				17(24)	Rac.	$\Delta=80,2^\circ$		
				NZ: 24 ^s , 9μ, 3,9μ	(SK)	eP	00 46 19	
				NZ: 20 ^s , 5,3μ, 19μ		ePoP	31	
			24.VII	Région des Iles Fidji, USCGS: 21,2°S, 179,2°W, H=01 ^h 30 ^m 56,6 ^s , h=598 km ca	28.VII	Equateur, USCGS: 2,2°S, 77,1°W, H=01 ^h 05 ^m 30,0 ^s , h=136 km ca; M=6 1/4 (Pas.)		
			Kra.	$\Delta=147,5^\circ$. Traces		Rac.	$\Delta=95^\circ$	
			(Ch)	ePKP ₁	01 49 33	(SK)	eP	01 18 41
			Rac.	$\Delta=148,2^\circ$	01 49 37	epP	19 07	
			(SK)	ePKP ₁	43	ePP	22 28	
					Kra.	$\Delta=96^\circ$		
			25.VII	Proche	(GW)	eP	01 18 46	
			Kra.		ePP	22 40		
			(Ch)	e	eiSKS	29 08		
				17 07 09	eS	52		
			25.VII	Au N de Célèbes, USCGS: 0°, 124,8°E, H=18 ^h 39 ^m 24,1 ^s , h=43 km ca; M=5-5 1/4 (Matsushiro)	War.	$\Delta=96,7^\circ$		
					eP	01 18 47		
					epP	19 23		
					ePP	22 41		
					eSKS	29 11		
					eS	53		
					eL	46		
			26.VII	Région de Salzburg, Autriche, BCIS: 47 1/4°N, 13°E, H=12 ^h 00 ^m 39 ^s	28.VII	Nouvelles Hébrides, USCGS: 18,7°S, 167,7°E, H=06 ^h 11 ^m 38,7 ^s , h=41 km ca		
				Rac.				
				(SK)	$\Delta=5,1^\circ$			
				eP*	12 02 11,3			

- 62 -

Dates	Station	Phases	G.M.T. h m s	Dates	Station	Phases	G.M.T. h m s
28.VII (suite)	War.	$\Delta=137,6^{\circ}$. Traces ePKS	06 34 35	29.VII		W de la Tchécoslovaquie, explosion de 8,8 tonnes, Pruhonice: $49^{\circ}34',7''N$, $17^{\circ}41,5'E$	
28.VII	War.	Océan Pacifique		Rac.	(SK)	e	08 00 01
	Kra.	eL	11 00				
		eL	11 07	29.VII		Région des Iles Tonga, USCGS: $24,1^{\circ}S$, $176,1^{\circ}W$, $H=16^h27'm19,0''S$, $h=23$ km ca; $M=5\frac{1}{4}-6$ (Matsushiro)	
28.VII		Iles Tonga, USCGS: $17,2^{\circ}S$, $172,6^{\circ}W$, $H=12^h38'm48,1''S$, $h=33$ km ca		War.		$\Delta=149^{\circ}$ ePKP ₁ ePKP ₂	16 47 07 21
	Rac.	$\Delta=146^{\circ}$. Traces (SK) eIPKP	12 58 30				
28.VII		Près de la côte de Hokkaido, USCGS: $43,6^{\circ}N$, $146,1^{\circ}E$, $H=15^h19'm40,0''S$, $h=34$ km ca; $M=4\frac{1}{4}$ (Moskva)		Kra.	(Ch)	$\Delta=151^{\circ}$ ePKP ₁ ePKP ₂	16 47 12 20
	Kra.	$\Delta=75^{\circ}$ (Ch) eIP	15 31 27				
		ePCP	35	Rac.	(SK)	$\Delta=152^{\circ}$ eIPKP ₁ eIPKP ₂	16 47 15 26
	Rac.	$\Delta=75,6^{\circ}$ (SK) eP	15 31 31	31.VII			
		ePeP	41	Rac.	(SK)	e	13 31 23
28.VII		Iles Tonga, USCGS: $17,3^{\circ}S$, $172,7^{\circ}W$, $H=16^h59'm31,9''S$, $h=33$ km ca		31.VII		Apenin ligure, Italie, BCIS: $44,4^{\circ}N$, $10,0^{\circ}E$, $H=16^h11'm36''S$	
	Rac.	$\Delta=146^{\circ}$. Traces (SK) ePKP	17 19 21				
28.VII		Proche		Rac.		$\Delta=8,1^{\circ}$ eS*	16 15 40
	Kra.	e	20 05 30			eSg	16 06
1961				A O U T			1961
1.VIII		Iles Salomon, USCGS: $9,9^{\circ}S$, $160,5^{\circ}E$, $H=05^h39'm53,2''S$, $h=50$ km ca; $M=6\frac{1}{4}-6\frac{1}{4}$ (Pas.)		1.VIII	War.	$\Delta=126,5^{\circ}$ ePKP ePP ePKS	05 58 55 06 00 55 02 33

- 63 -

Dates	Station	Phases	G.M.T. h m s	Dates	Station	Phases	G.M.T. h m s
1.VIII (suite)	War.	ePPP	06 03 34	4.VIII		Région des Iles Marianes	
		eSKS	05 54		War.	eL	00 27
		eSS	17 56	4.VIII	Rac.		
		eL	32		(SK)	e	08 03 51
		Lm	51 50	4.VIII	Océan Atlantique Nord, USCGS: 35,0°N, 38,7°W, H=18 ^h 35 ^m 20,8 ^s , h=26 km ca; M=5 (Kew)		
		N: 23 ^S , 25 μ			Rac.	Δ=43,2°	
		Lm	53 22		(SK)	eP	18 43 28
		Z: 23 ^S , 31 μ		4.VIII	War.	Traces	
	Rac.	Δ=129,3°				eL	18 56
	(SD)	ePKP	05 59 06	4.VIII	Rac.		
		ePP	06 01 09		(SK)	e	19 02 01
		eL	44	4.VIII	Roumanie, BCIS: vers 46 $\frac{1}{4}$ °N, 27 $\frac{1}{4}$ °E, H=19 ^h 38,7 ^m		
		Lm	53(18)		Données peu concordantes		
		NZ: 25 ^S , 12 μ , 18 μ		Kra.	Δ=6,0°		
	Kra.	Δ=128,3°			(Ch)	ePg	19 40 34
	(GW)	ePKP	05 59 10			eS*	41 43
		ePP	06 01 06	4.VIII	Iles Kouriles, USCGS: 45,2°N, 151,2°E, H=22 ^h 52 ^m 54,0 ^s , h=45 km ca;		
		eL	43		M=5 ½ (Moskva)		
		Lm	52 31	4.VIII	War.	Δ=73,3°	
		E: 22 ^S , 13 μ				eP	23 04 26
		Lm	53 01			eS	13 57
		N: 22 ^S , 12 μ		Kra.	Δ=75,4°		
2.VIII		Région des Iles Kouriles, USCGS: 44,6°N, 148,8°E, H=12 ^h 12 ^m 02,0 ^s , h=38 km ca			(GW)	eP	23 04 40
	Rac.	Δ=75,7°				eL	38
	(SK)	eP	12 23 51			Lm	41 30
		ePcP	24 02			NE: ca 15 ^S , 2,4 μ , 2,3 μ	
3.VIII		Porto Rico, USCGS: 18,4°N, 66,3°W, H=03 ^h 08 ^m 05,1 ^s ,		Rac.	Δ=76°		
		h=132 km ca		(SK)	eP	23 04 43	C
	Rac.	Δ=72,5°				ePcP	50
	(SK)	eP	03 19 21	5.VIII	Péninsule de Kenai, Alaska,		
3.VIII		Toscane, Italie, BCIS: 44°13'N, 10°12'E, H=10 ^h 26 ^m 29 ^s					
	Rac.	Δ=8,1°					
	(SK)	eSg	10 30 56				

- 64 -

Dates	Station	Phases	G.M.T. h m s		Dates	Station	Phases	G.M.T. h m s
5.VIII (suite)		USCGS: 60,8°N, 148,7°W, H=02 ^h 26 ^m 20,3 ^s , h=53 km ca			9.VIII	Rac. (SK)	e	13 07 23
	Rac. (SK)	Δ=68° eP	02 37 22			Kra. (Ch)	e	13 08 14
5.VIII War.	Kamtchatka				9.VIII		Nouvelles Hébrides, USCGS: 19,2°S, 168,8°E, H=16 ^h 02 ^m 35,5 ^s , h=44 km ca; M=5½ (Moskva)	
	eL		06 51			Rac. (SK)	Δ=140,5° ePKP ₁	16 21 57
6.VIII Ndz.	Proche				10.VIII		Proche	
	eiP		03 33 29			Kra.	e	19 20 14
	e		40		11.VIII		Est dû Kiou-Siou	
7.VIII	Région des Iles Kermadec, USCGS: 28,4°S, 176,4°W, H=12 ^h 22 ^m 24,2 ^s , h=33 km ca; M=5½ (Moskva)					Kra. (GW)	eL	06 50
	Rac. (SK)	Δ=155,7° ePKP ₂	12 42 42				Im	59 14
8.VIII	Iles aux Renards, Aléoutiennes, USCGS: 51,2°N, 170,7°W, H=12 ^h 18 ^m 23,1 ^s , h=33 km ca; M=6-6½ (Pas.)						N: 13 ^S , 08μ	
	Kra. (GW)	Δ=77,8° eiP	12 30 25				Im	59 49
			40 19				E: 12 ^S , 0,6μ	
			29		11.VIII		E de Hokkaido, USCGS: 43,0°N, 145,0°E, H=15 ^h 51 ^m 34,6 ^s , h=50 km ca; M=7,5 (War.), 7 (Pas.)	
			13 07 47			War.	Δ=73° iP	16 03 05
		E: 18 ^S , 6,9μ					Pm	09
			09 01				Z: 5 ^S , 4,5μ	
		Im					Pm	03 11
			N: 20 ^S , 5,7μ				NE: 7 ^S , 6 ^S , 15μ, 17μ	
	Rac. (SK)	Δ=78° eP	12 30 26	C			ePcP	03 19
			30				ePP	05 50
		iPoP					ePPP	07 36
			33 20				iS	12 29
		es					Sm	33
			40 24				Z: 7 ^S , 8,2μ	
9.VIII	Vallée supérieure de l'Inn, Autriche, Wien: 46°57,5'N, 10°32,5'E,						Sm	35
							NE: 8,5 ^S , 6 ^S , 84μ, 41μ	

- 65 -

Dates	Station	Phases	G.M.T. h m s	Dates	Station	Phases	G.M.T. h m s
11.VIII (suite)	War.	eScS	16 13 09	11.VIII	Rac. (SK)	$\Delta=75,8^{\circ}$ eiP	23 45 38
		eSS	17 13			epP	43
		eL	23			ePoP	50
		Im	37 19		War.	Traces	
		NE: 22 ^S , 19 ^S , 300 μ ,				eL	00 02
		190 μ					
	Kra. (GW)	$\Delta=75^{\circ}$ iP	16 03 18	13.VIII		Près de la côte de Formose	
		Pm	24		War.	eL	06 43
		EZ: 4 ^S , 5 ^S , 5,0 μ , 9,2 μ		13.VIII		Région N de l'Italie, Roma, ING: 44°48'N, 10°15'E, H=22 ^h 34 ^m 18,5 ^s	
		eIS	12 50		Ndz.	$\Delta=7,8^{\circ}$ ePn	22 36 18
		Sm	13 00		Rac. (SK)	$\Delta=7,6^{\circ}$ eSn	22 37 14
		N: 6 ^S , 23 μ				eS*	38 15
		Sm	13 02			eSg	30
		E: 6 ^S , 11 μ		Kra. (GW)	$\Delta=8,3^{\circ}$ e	22 38 21	
		Im	39 18			eSg	52
		N: 20 ^S , 190 μ		14.VIII		Nord de l'Italie, réplique, BCIS: H=01 ^h 03 ^m 02 ^s	
		Im	39 22		Rac. (SK)	$\Delta=7,6^{\circ}$ e	01 04 44
		Z: 20 ^S , 130 μ				eSn	06 24
		Im	39 40			eSS	42
		E: 16 ^S , 86 μ				eS*	52
	Rac. (SK)	$\Delta=75,8^{\circ}$ iP	16 03 22			eSg	07 13
		ipP	28		Kra. (GW)	$\Delta=8,3^{\circ}$ e	01 07 20
		iPoP	41	14.VIII			
		i	04 06		Rac. (SK)		
		eiPP	06 16				
		eS	13 01				
		eSKS	27				
		e1SeS	33				
11.VIII	Célebes						
	Kra. (GW)	eL	22 59				
11.VIII	E du Hokkaido, USCGS: 43,1°N, 145,2°E, H=23 ^h 33 ^m 52,2 ^s , h=50 km ca; M=5,6 (Matsushiro)			14.VIII		Proche	
	Kra. (Ch)	$\Delta=75^{\circ}$ iP	23 45 35		Kra. (Ch)	e	13 12 38,5
		epP	40	14.VIII		Région des Iles Tonga, USCGS:	
		ePoP	53			24,6°S, 175,7°W, H=18 ^h 50 ^m 55,3 ^s ,	

- 66 -

Dates	Station	Phases	G.M.T. h m s	Dates	Station	Phases	G.M.T. h m s
14.VIII (suite)		h=70 km ca; M=5,6 (Wellington)		15.VIII	War.	ePP eS eL Im E: 16 ^S , 4,5 μ N: 16 ^S , 5,2 μ	19 19 21 26 17 46 57 10 57 13
Kra. (GW)	$\Delta=151,5^{\circ}$	19 10 39		Kra. (GW)	$\Delta=82,3^{\circ}$	eP ePP eS eL Im N: 15 ^S , 2,4 μ	19 16 20 19 31 26 37 50 55 09
ePKP ₁		14 22		Rac. (SK)	$\Delta=152,5^{\circ}$		56 30
ePKS		47		Rac. (SK)	$\Delta=74,4^{\circ}$	iP eIPcP epP ePP	19 10 40 48
eL		56 29		War.		ip e: 15 ^S , 1,9 μ N: 15 ^S , 1,2 μ	20 13
Im				Rac.	$\Delta=83^{\circ}$	e ePP ePP	
E: 15 ^S , 1,9 μ				(SK)		e 39	
N: 15 ^S , 1,2 μ				14.VIII	Kiou-Siou		
Rac. (SK)	$\Delta=152,5^{\circ}$	19 10 40		War.			
ePKP ₁		48		eL	22 46		
epPKF							
War.							
14/15. VIII	Région des Nouvelles Hébrides, USCGS: 20,4 ⁰ S, 169,4 ⁰ E, H=23 ^h 28 ^m 46,5 ^s , h=97 km ca; M=6-6 1/4 (Pas.)			17.VIII	Iles Kouriles, USCGS: 46,4 ⁰ N, 149,3 ⁰ E, H=21 ^h 16 ^m 30,1 ^s , h=160 km ca; M=6,4 (Matsushiro)		
Kra. (GW)	$\Delta=141,7^{\circ}$	23 48 10		War.	$\Delta=71,7^{\circ}$	eP ePcP ePP ePPP eS eScS eSS eL Im N: 9 ^S , 7 μ	23 48 10 51 51
ePKP ₁						21 27(41) 56 30 22 32 06 36 45 37 23 41 27 44 22 01 57	
eIPKS							
Rac. (SK)	$\Delta=142,5^{\circ}$	23 48 12					
ePKP ₁		24					
epPKP		30					
esPKP							
War. epPP	$\Delta=140^{\circ}$	23 51 30					
eL		00 37					
15.VIII	Au large S du Hondo, USCGS: 33,0 ⁰ N, 142,4 ⁰ E, H=19 ^h 03 ^m 55,7 ^s , h=39 km ca; M=6 (War.), 5,9 (Matsushiro)						
War.	$\Delta=80,5^{\circ}$						
eP		19 16 11					

- 67 -

Dates	Station	Phases	G.M.T. h m s	Dates	Station	Phases	G.M.T. h m s
17.VIII (suite)	Kra. (GW)	ePP eS ePS Im E: 8,5 ^S , 2,5 μ N: 8,5 ^S , 3,2 μ	21 30 41 37 11 57 56 48 56 52	19.VIII	Rac. (SK)	eIP eIpCp epP ePP	02 54 48 59 Frontière Pérou-Brésil, USCGS: 10,8 ⁰ S, 71,0 ⁰ W, H=05 ^h 09 ^m 49,5 ^s , h=649 km ca; M=7 (Pas.)
Kra. (GW)	$\Delta=74,4^{\circ}$	iP 21 27 57 C	28 11	Rac. (SK)	$\Delta=97,7^{\circ}$	ep eIPcP epP ePP	05 22 22 29 24 40 26 26
Rac. (SK)		33 30 52		War.	$\Delta=99,8^{\circ}$	eP ePcP epP ePP ePS eSS Lm	05 22 27 23 27 24 53 26 42 29 06 36 02 40 05 06 22 09
17.VIII	Kra. (Ch)	e	23 22 07,5	Kra. (SK)	$\Delta=83^{\circ}$	e 23 22 10	
Rac. (SK)				18.VIII	Rac. (SK)	e 01 17 08	
18.VIII	Kra. (Ch)	e	01 17 22,5	Kra. (GW)	$\Delta=98,8^{\circ}$	eIP epP ePP eIpPP ei eISKS Lm	05 22 27 24 38 26 36 28 37 32 05 34 30 06 17 40
18.VIII	Rac. (SK)	e	11 00 55	Rac. (SK)	$\Delta=150,5^{\circ}$	11 20 23 31	N: 13,5 ^S , 100 μ B: 13,5 ^S , 53 μ Lm Z: 12 ^S , 56 μ
19.VIII	Région E de Hokkaido, USCGS: 43,3 ⁰ N, 145,0 ⁰ E, H=02 ^h 42 ^m 58,2 ^s , h=32 km ca; M=5,7 (Matsushiro)			19.VIII	Près de la côte W de Hondo, USCGS: 36,2 ⁰ N, 136,5 ⁰ E, H=05 ^h 33 ^m 30,6 ^s , h=17 km ca; M=7 1/4 (Pas.)		
Kra. (GW)	$\Delta=73,8^{\circ}$	eIP Pm Z: 4 ^S , 2,3 μ eIP	21 27 53 57 28 34	Rac. (SK)	$\Delta=74,8^{\circ}$	eIP ePoP Rac. (SK)	02 54 44 56 $\Delta=77,8^{\circ}$
Rac. (SK)				Kra. (Ch)			05 45 30 46

Dates	Station	Phases	G.M.T. h m s	Dates	Station	Phases	G.M.T. h m s
19.VIII (suite)		Détroit de la Mona, USCGS: 18,0°N, 68,8°W, H=14 ^h 52 ^m 29,7 ^s , h=100 km ca; M=5 1/2 (Berkeley)		21.VIII	Kra.	Δ=74,3°	
	Rac. (SK)	eP	15 04 00	(Ch)	eP	17 12 18	
		ePcP	12		epP	25	
		esP	25		ePcP	31	
	War.	Traces		Rac.	Δ=75°		
		eL	15 31	(SK)	eiP	17 12 22 D	
19.VIII	War.	Frontière Pérou-Brésil			epP	30	
		Traces			ePcP	40	
20.VIII		eL	17 05	War.	Traces		
		Iles Fidji, USCGS: 17,9°S, 178,8°W, H=05 ^h 04 ^m 14,3 ^s ,		eL		17 41	
		h=592 km ca; M=6,2 (Wellington)		23.VIII	Tadzhik, URSS, USCGS: 38,9°N, 68,7°E, H=04 ^h 12 ^m 35,9 ^s ,		
	Kra.	Δ=144,3°			h=25 km ca; M=5 1/4 (Moskva, Kew)		
	(GW)	eiPKP	05 22 51	Kra.	Δ=35,8°		
	Rac.	Δ=145°		(GW)	eiP	04 19 38	
	(SK)	eIPKP	05 22 51 D		Lm	37 26	
21.VIII		Région des Iles Fidji, USCGS: 22,7°S, 179,3°W, H=02 ^h 06 ^m 45,3 ^s , h=540 km ca; M=6,2 (Wellington)			E: 17 ^s , 3,5μ		
	Rac.	Δ=149,5°. Traces		Rac.	Δ=36,8°		
	(SK)	ePKP ₁	02 25 35	(SK)	eP	04 19 48	
		ePKP ₂	43		ePP	21 11	
21.VIII		Iles Tonga, USCGS: 17,9°S, 174,4°W, H=16 ^h 06 ^m 55,4 ^s ,			ePcP	22 06	
		h=74 km ca; M=6,2 (Wellington)		War.	eS	28 09	
	Kra.	Δ=145,7°			eSoS	30 02	
	(GW)	ePKP	16 26 32	eL		04 27	
		ePP	29 52	24.VIII	Région E du Hokkaido, USCGS:		
	Rac.	Δ=146,3°			43,1°N, 145,3°E, H=04 ^h 52 ^m 20,5 ^s ,		
	(SK)	ePKP	16 26 32		h=44 km ca; M=4 1/2 (Moskva)		
21.VIII		Près de la côte du N du Hondo, USCGS: 40,9°N, 139,1°E, H=17 ^h 00 ^m 38,9 ^s ,		Rac.	Δ=76°		
		h=40 km ca; M=5,4 (Matsushiro)		(SK)	eP	05 04 05	
					ePcP	21	
			24.VIII	Région E de Hokkaido, USCGS:			
				43,0°N, 145,3°E, H=22 ^h 40 ^m 54,6 ^s , h=45 km ca;			
				M=4 1/2 (Matsushiro)			

Dates	Station	Phases	G.M.T. h m s	Dates	Station	Phases	G.M.T. h m s
24.VIII (suite)	Kra.	Δ=75,2°		27.VIII		Proche	
	(Ch)	iP	22 52 38		Kra.		
		epP	49		(Ch)	e	03 35 19
		ePcP	53	27.VIII		Frontière Autriche-Allemagne, réplique du 25.VIII, BCIS:	
	Rac.	Δ=76°			(SK)	eP	22 52 42
	(SK)	epP	52			ePcP	53 00
		ePcP		Rac.	Δ=5,0°		
				(SK)	e	13 36 18	
					eSg	22	
				25.VIII		Frontière Autriche-Allemagne, USCGS: 47,5°N, 10,8°E, H=12 ^h 21 ^m 55,0 ^s ,	
	Rac.	Δ=5,0°			(SK)	ePn	12 23 21
	(SK)	ep*	27	27.VIII		Iles Kouriles, USCGS: 47,0°N, 154,0°E, H=16 ^h 22 ^m 12,8 ^s ,	
		ePg	39			h=45 km ca; M=6 1/2 (Pas.), 6 (War.), 5 1/4 (Moskva)	
		eSn	24 13	War.	Δ=73°		
		eSS	23		iP	16 33 41	
		eiS*	29		ePcP	34 08	
		eiSg	41		ePP	36 29	
					ePPP	38 28	
					eS	43 14	
					eL	52	
					Lm	17 10 01	
					Z: 16 ^s , 10μ		
					Lm	10 14	
					N: 16 ^s , 11μ		
					Lm	10 15	
					B: 16 ^s , 8μ		
				27.VIII	Au large Sud de l'Ile Ascension, USCGS: 15,4°S, 13,1°W, H=01 ^h 51 ^m 51,8 ^s		
	Rac.	Δ=71°			(GW)	eP	16 33 54
	(SK)	Pm					58
					Z: 3 ^s , 1μ		
					ePcP	34 13	
					eS	43 33	
					eL	17 01	
					Lm	11 28	
					N: 15 ^s , 6,6μ		
					Lm	11 43	
					B: 12 ^s , 2,0μ		

- 70 -

Dates	Station	Phases	G.M.T. h m s	Dates	Station	Phases	G.M.T. h m s		
27.VIII (suite)	Rac. (SK)	$\Delta=75,4^\circ$ eP ePcP	16 33 57 34 14	29.VIII	Kra. (Ch)	e	08 59 40		
27.VIII	Iles Kouriles, USCGS: 46,9°N, 154,1°E, H=20 ^h 56 ^m 20,9 ^s , h=51 km ca	Rac. (SK)	e	30.VIII	Rac.				
	Rac. (SK)	$\Delta=75,7^\circ$ eP ePcP	21 08 05 17	31.VIII	Frontière Pérou-Brésil, USCGS: 10,7°S, 70,9°W, H=01 ^h 48 ^m 37,5 ^s , h=626 km ca; M=7-7½ (Pas.)	Rac. (SK)	$\Delta=97,6^\circ$ eP	02 01 06	
27.VIII	Crète, USCGS: 35,6°N, 23,8°E, H=22 ^h 08 ^m 45,2 ^s , h=33 km ca; M=5½ - 5½ (Athènes)	Kra. (GW)	$\Delta=14,7^\circ$ eiP ePP	22 12 11 27	Kra. (GW)	$\Delta=98,7^\circ$ eiP eipP eipPP eisPP iSKS eIS	02 01 16 03 26 07 13 08 15 09 49 11 54		
	Rac. (SK)	$\Delta=15,1^\circ$ eP ePP	22 12 18 33	War.	$\Delta=99,5^\circ$ eiP epP esPPP eISKS i eL	02 01 19 03 29 09 52 10 58 20 32 23			
28.VIII	Iles Fidji, USCGS: 18,9°S, 177,8°W, H=09 ^h 44 ^m 14,2 ^s , h=548 km ca	Kra. (Ch)	$\Delta=145,5^\circ$ ePKP	10 02 52	31.VIII	Frontière Pérou-Brésil, réplique, USCGS: 10,5°S, 70,7°W, H=01 ^h 57 ^m 08,0 ^s , h=629 km ca; M=7½ (Pas.)	Rac. (SK)	$\Delta=97,4^\circ$ eP ePcP epP epPP eSKS	02 09 36 11 15 48 15 38 19 18
29.VIII	Proche	Ndz.	e	06 07 23					
29.VIII	Ndz.	e	08 59 25						
	i		52						

- 71 -

Dates	Station	Phases	G.M.T. h m s	Dates	Station	Phases	G.M.T. h m s		
1961	S E P T E M B R E						1961		
1.IX	Région des Iles Sandwich, USCGS: 59,5°S, 27,3°W, H=00 ^h 09 ^m 34,6 ^s , h=131 km ca; M=7 (Berkeley, Matsushiro)	War.	$\Delta=118,5^\circ$ eP iPP ePPP eSKS eIS ePS eL Lm N: 18 ^S , 13 ^μ E: 18 ^S , 7 ^μ Lm Z: 18 ^S , 9 ^μ	1.IX	Au large du Guatemala, USCGS et BCIS: 13,6°N, 92,5°W, H=18 ^h 50 ^m 35,4 ^s , h=37 km; M=6½ (Pas.), 6 (Berk.)	Kra. (Ch)	$\Delta=93,2^\circ$ eP ePP ePPP eSKS eSS eL	- 19 03 50 07 30	
	Rac. (SK)	$\Delta=116,5^\circ$ ePKP es	00 28 04 36 44	1.IX	Proche	Kra. (Ch)	$\Delta=77,8^\circ$ i ei	00 38 43,4 47,4	
						Rac. (SK)	$\Delta=78^\circ$ eP ePop	00 38 06 12	
				1.IX	Région des Iles Fidji, USCGS: 16,5°S, 176,6°W, H=16 ^h 36 ^m 49,9 ^s , h=437 km ca	2.IX	Proche	Ndz.	
					Rac. (SK)	$\Delta=144,5^\circ$. Traces ePKP ₁	16 55 39	e ei	05 30 47 31 15
				1.IX	Région des Iles Fidji, USCGS: 18,1°S, 178,3°W, H=18 ^h 41 ^m 32,4 ^s , h=619 km ca	2.IX	Près de la côte de la Grèce	War.	
					Kra. (Ch)	$\Delta=144,7^\circ$ ePKP ₁	19 00 05	eL	14 23
					Rac. (SK)	$\Delta=145,5^\circ$ ePKP ₁	19 00 09		

- 72 -

Dates	Station	Phases	G.M.T. h m s	Dates	Station	Phases	G.M.T. h m s
4.IX		Iles Andreanov, Aléoutiennes, USCGS: $51,6^{\circ}\text{N}$, $178,2^{\circ}\text{W}$, $H=09^{\text{h}}49^{\text{m}}13,5^{\text{s}}$, $h=40$ km ca; $M=6\frac{1}{4}$ (Berkeley)		5.IX		Tadzhik, URSS, Moskva: $38,5^{\circ}\text{N}$, 73°E , $H=06^{\text{h}}12^{\text{m}}59^{\text{s}}$, $h=100$ km ca	
	Kra.	$\Delta=77^{\circ}$			War.	$\Delta=38^{\circ}$	
(Ch)	eP		10 01 07		eP		06 20 11
	ePcP		14		ePP		21 42
Rac.	$\Delta=77^{\circ}$				ePPP		22 17
(SK)	eP		10 01 09		eS		26 04
	ePcP		16		eL		28
5.IX	Grèce			Kra.	$\Delta=38,8^{\circ}$		
War.				(GW)	eiP		06 20 18
	eL		00 47		epP		50
5.IX	Région des Iles Samoa, USCGS: $16,2^{\circ}\text{S}$, $172,8^{\circ}\text{W}$, $H=00^{\text{h}}46^{\text{m}}29,6^{\text{s}}$, $h=33$ km ca				eiPP		21 47
	Rac.	$\Delta=145^{\circ}$			eS		26 05
(SK)	ePKP ₁		01 06 08		Lm		36 14
5.IX	Grèce				E: 7^{s} , 1μ		
Kra.				Kra.	Lm		06 36 21
(GW)	eL		01 23		N: 7^{s} , 1μ		
War.				Rac.	$\Delta=40^{\circ}$		
	eL		01 24	(SK)	epP		06 20 54
5.IX	Au NW de Spitzberg, USCGS: $80,2^{\circ}\text{N}$, $2,3^{\circ}\text{W}$, $H=02^{\text{h}}37^{\text{m}}37,8^{\text{s}}$, $h=33$ km ca				esP		21 06
	Rac.	$\Delta=31^{\circ}$			ePP		22 03
(SK)	eP		02 43 54		ePcP		27
	ePP		44 04		epPcP		48
Kra.	$\Delta=31^{\circ}$				esPcP		23 11
(Ch)	eP		02 43 57	5.IX	Péninsule Kenai, Alaska, USCGS: $60,0^{\circ}\text{N}$, $150,6^{\circ}\text{W}$, $H=11^{\text{h}}34^{\text{m}}37,3^{\text{s}}$, $h=43$ km ca; $M=6-6\frac{1}{4}$ (Pas.)		
	ePP		44 03	War.	$\Delta=67,6^{\circ}$		
War.	Traces				eP		11 45 35
	eL		02 48		eiPcP		58
Rac.	$\Delta=69,5^{\circ}$				ePP		47 58
(SK)	eP				ePPP		49 44
					iS		54 32
					ePS		46
					ePPS		56
					eSKS		55 30
					eSS		58 46
					eL		12 01

- 73 -

Dates	Station	Phases	G.M.T. h m s	Dates	Station	Phases	G.M.T. h m s
5.IX (suite)	Rac. (SK)	ipP ePcP ePP eS	11 46 00 11 48 23 54 55	8.IX (SD)	Rac. eP epP ePcP eS Lm	$\Delta=112,8^{\circ}$ epP ePP ipPP eisPP eipPPP esPPP issKS eSP ePS i eIPPS eL Lm	11 41 05 29 45 49 46 07 19 37 48 46 52 40 55 11 19 56 05 57 33 12 20 26(42) Z: 22 ^S , 19 μ 12 29(48) NEZ: 18 ^S , 3,7 μ , 5,6 μ , 21 μ
Kra. (GW)	$\Delta=69,5^{\circ}$ eP epP ePcP eS Lm	11 45 48 46 00 13 54 56 12 22 31	N: 20 ^S , 3,4 μ				
5.IX	Proche						
Kra. (Ch)	e	11 56 37,3					
5.IX	Région N de l'Iran, USCGS: 36,8 ^N , 54,5 ^E , H=14 ^h 09 ^m 51,8 ^S ; M=4 (Moskva)						
Kra. (GW)	$\Delta=28^{\circ}$ eP	14 15 43		Kra. (GW)	$\Delta=113,6^{\circ}$ eP ePKP ePP epPP ePPP eisSKS ips Lm	11 41 07 45 03 43 46 23 48 10 52 39 55 24 12 30 43	
Rac. (SK)	$\Delta=29^{\circ}$. Traces eP	14 15 51					
7.IX	Rac. (SK)						
Kra. (Ch)	e	06 56 02					
7.IX	Près de la côte du Hondo, Japon: 35°39' N, 141°00' E, H=12 ^h 34 ^m 04,5 ^S , h=20 km ca						
Rac. (SK)	$\Delta=80,3^{\circ}$. Traces eP	12 46 18					
8.IX	Iles Sandwich, USCGS: 56,3 ^S , 27,1 ^W , H=11 ^h 26 ^m 32,9 ^S , h=125 km ca; M=7 $\frac{1}{2}$ -7 $\frac{3}{4}$ (Pas.)			War.	$\Delta=115,7^{\circ}$ e ePKP isKS isSKS eS ePS eSS eSSP eL	11 41 27 45 17 51 38 52 53 53 39 55 45 12 01 55 02 16 15	

- 74 -

Dates	Station	Phases	G.M.T. h m s	Dates	Station	Phases	G.M.T. h m s	
8.IX (suite)	War.	Lm	12 31 25	10.IX	Kra.	$\Delta=17,5^{\circ}$ (GW)	16 21 25	
		E: 19 ^s , 60 μ			Rac.	$\Delta=18,4^{\circ}$ (SK)	16 21 32	
		Lm	31 27			eP		
		NZ: 22 ^s , 18 ^s , 52 μ , 39 μ			War.	Traces		
9.IX	Proche					eL	16 25	
	Kra.			10.IX	Rac.			
	(Ch)	e	07 47 33		(SK)	e	19 07 43	
9.IX	Proche			11.IX	Rac.			
	Ndz.				(SK)	e	12 58 42	
9.IX	Proche			11.IX	Près de la côte E de Hokkaido, USCGS: 42,9 ⁰ N, 145,3 ⁰ E, H=23 ^h 47 ^m 23,1 ^s , h=49 km ca			
	Ndz.				Kra.	$\Delta=75,3^{\circ}$		
	e	20 02 20			(Ch)	eIP	23 59 06	
9.IX	Proche					ePcP	22	
	Ndz.				Rac.	$\Delta=76^{\circ}$		
	e	21 13 55			(SK)	eP	23 59 09	
10.IX	Frontière Autrichie- Allemagne, BCIS: 47 $\frac{1}{2}$ N, 10 $\frac{1}{4}$ E, H=04 ^h 14 ^m 35 ^s			12.IX	Explosion nucléaire, Nouvelle Zembla, USCGS: 74,2 ⁰ N, 52,5 ⁰ E, H=10 ^h 08 ^m 15,3 ^s , h=0			
	Rac.	$\Delta=5,7^{\circ}$			Kra.	$\Delta=27,6^{\circ}$		
	(SK)	eS*	04 17 28		(GW)	e	10 22 09	
		eSS	32	12.IX	Iles Kouriles, USCGS: 44 ⁰ N, 147,9 ⁰ E, H=12 ^h 27 ^m 07,6 ^s , h=50 km ca			
		eSg	44		Kra.	$\Delta=75,3^{\circ}$		
10.IX	Explosion nucléaire en Nouvelle Zembla, USCGS: 74,2 ⁰ N, 52,5 ⁰ E, H=09 ^h 00 ^m 09,2 ^s , h=0				(Ch)	eIP	12 38 51	
	Kra.	$\Delta=27,5^{\circ}$				ePP	39 13	
	(GW)	e	09 11 17		Rac.	$\Delta=76^{\circ}$		
		Im	18 03		(SK)	eIP	12 38 55	
		N: 11 ^s , 0,7 μ				ePP	39 13	
		Im	18 17	14.IX	Frontière Iran-Irak, USCGS:			
		E: 9 ^s , 0,6 μ						
10.IX	Golfe d'Alexandrette, Turquie, USCGS: 37,4 ⁰ N, 36,6 ⁰ E, H=16 ^h 17 ^m 20 ^s , h=28 km ca							

- 75 -

Dates	Station	Phases	G.M.T. h m s	Dates	Station	Phases	G.M.T. h m s	
14.IX (suite)		33,0 ⁰ N, 47,4 ⁰ E, H=08 ^h 03 ^m 08,7 ^s , h=33 km ca		17.IX	War.	ePS	09 04 24	
	Kra.	$\Delta=26,2^{\circ}$				eL	23	
	(Ch)	eIP	08 08 14		Kra.	$\Delta=79^{\circ}$		
		Rac.	$\Delta=27,3^{\circ}$		(GW)	eP	08 53 59	
		(SK)	eP			eScS	09 04 26	
		War.	Traces			Im	34 23	
		eL	16 25			N: 17 ^s , 1,5 μ		
14.IX	Proche					Lm	35 22	
	Ndz.					E: 11 ^s , 2,5 μ		
		e	17 04 35,5	15.IX	Chypre, BCIS: 34,9 ⁰ N, 33,8 ⁰ E, H=01 ^h 46 ^m 08 ^s , h=25 km ca; M=5,8 (War.), 5,4 (Pruhonice)			
		Rac.			Kra.	$\Delta=18,2^{\circ}$		
		(SK)	eP		(GW)	eIP	01 50 22	
						ePPP	47	
						Im	59 38	
						Z: 16 ^s , 17 μ		
					Rac.	$\Delta=19^{\circ}$		
					(SK)	eP	01 50 30	
						iPP	50	
					War.	$\Delta=19,5^{\circ}$		
						eIP	01 50 35	
						ePP	57	
						ePPP	51 03	
						eis	54 11	
						eSS	42	
						eL	56	
						Im	59 56	
						N: 18 ^s , 51 μ		
						Lm	02 00 00	
						EZ: 16 ^s , 18 ^s , 28 μ , 48 μ		
17.IX	Frères de la côte E de Formose, USCGS: 23,9 ⁰ N, 122,1 ⁰ E, H=08 ^h 41 ^m 57,3 ^s , h=53 km ca			17.IX	Frères de la côte E de Formose, USCGS: 23,9 ⁰ N, 122,1 ⁰ E, H=08 ^h 41 ^m 57,3 ^s , h=53 km ca			
	Rac.	$\Delta=24^{\circ}$				(SK)	eP	11 06 16
	(SK)	eP				ePP	49	
						ePPP	56	
						eSS	11 15	
					War.	$\Delta=77,6^{\circ}$. Ag.mi.		
						eP	08 53 52	
						ePcP	54 03	
						eSKS	09 04 04	
18.IX	Région des îles Loyauté, USCGS: 20,9 ⁰ S, 173,5 ⁰ E,							

Dates	Station	Phases	G.M.T. h m s	Dates	Station	Phases	G.M.T. h m s
18.IX (suite)		H=15 ^h 37 ^m 34,5 ^s , h=33 km ca; M=5 1/2 (Matsushiro)		19.IX	War.	eL	10 27 38
Rac.	(SK)	Δ=145° ePKP 15 57 12		19.IX		Région des Iles Fidji, USCGS: 21,6°S, 179,3°W, H=18 ^h 25 ^m 28,9 ^s , h=592 km ca	
19.IX	Proche			Rac.	(SK)	Δ=148,5° ePKP ₁ ePKP ₂ 18 44 11 16	
Ndz.	ei	01 38 42,2		20.IX	Proche		
19.IX	Sud de la Bolivie, USCGS: 20,5°S, 62,9°W, H=02 ^h 25 ^m 49,2 ^s , h=580 km ca; M=6 1/2 (Pas.)			Ndz.	e	11 30 53,5	
Rac.	(SK)	Δ=100,2° eP 02 38 37		20.IX	Proche		
	ePP	42 45		Ndz.	e	15 37 11	
Kra.	(Ch)	Δ=101,3° eP 02 38 42		20.IX	Nouvelle Bretagne, USCGS: 3,6°S, 151°E, H=19 ^h 03 ^m 37,7 ^s , h=44 km ca; M=6,5 (War.), 6 1/2 - 6 1/2 (Pas.)		
(GW)	es	48 24		War.	Δ=116,3° ePP 02 42 09	19 23 32	
War.	Δ=102,6° ePP eSKS es ePS eSS	48 18 49 33 52 33 57 09			eSKS 29 12		
					ePS 33 07		
					eSS 39 35		
					eL 20 03		
19.IX	Au large de la côte S de Panama, USCGS: 6,7°N, 82,4°W, H=09 ^h 46 ^m 17,7 ^s , h=33 km ca; M=6 1/2 - 6 1/2 (Pas.)				Lm 11 55		
Rac.	(SK)	Δ=91,6° ePcP 09 59 29			Z: 22 ^s , 1,5μ		
Kra.	(GW)	Δ=92,7° e 10 01 27			Lm 12 01		
	eSKS	10 04			E: 22 ^s , 10μ		
	Lm	41 24			Lm 12 02		
	N: 17 ^s , 1μ				N: 18 ^s , 6μ		
	Lm	41 31					
	E: 17 ^s , 1,3μ						
War.	Δ=92,8° eSKS es	10 10 07 38		22.IX	Rac.	Δ=118° e e	11 50 59 51 07

Dates	Station	Phases	G.M.T. h m s	Dates	Station	Phases	G.M.T. h m s
23.IX		Hindou-Kouch, Quetta:		27.IX		Aléoutiennes, USCGS: 52,3°N, 168,7°W, H=11 ^h 20 ^m 46,8 ^s , h=27 km ca	
Rac.	(SK)	Δ=40,3° eP 11 48 22		Rac.	(SK)	Δ=77,5° eP ePcP 11 32 47 33 04	
23.IX	Rac.	e	17 17 41	27.IX	Iles aux Renards, Aléoutiennes, USCGS: 52,5°N, 168,7°W, H=19 ^h 20 ^m 46,8 ^s , h=27 km ca; M=5 1/2 - 5 1/2 (Matsushiro)		
24.IX		Au large S de Hondo, USCGS: 33,5°N, 141,3°E, H=21 ^h 40 ^m 57,3 ^s , h=50 km ca; M=5,9 (Matsushiro)		Kra.	Δ=77,2° (GW)	eP 19 32 42	
	Kra.	Δ=81,5° (GW)	21 53 10			eS 42 36	
		N: 15 ^s , 1,0μ	22 29 57	Rac.	Δ=77,3° (SK)	eP 19 32 46	
	Rac.	Δ=82,3° (SK)	21 53 18			ePcP 33 04	
		epP 34		27.IX	Iles aux Renards, Aléoutiennes, USCGS: 52,4°N, 168 1/2°W, H=19 ^h 27 ^m 00,7 ^s , h=22 km ca; M=5 1/2 (Moskva)		
		War.	22 23	War.	Δ=75,5° eIP 19 38 47	ePcP 58	
						ePPP 43 34	
						eS 48 32	
						eL 20 08	
				26.IX	Rac.	Δ=77,5° (GW)	
					(SK)	e 23 56 39	
				27.IX	Iles Fidji, USCGS: 17,3°S, 178,7°W, H=06 ^h 34 ^m 05,4 ^s , h=555 km ca; M=5 1/2 - 6 (Pas.)		
				Kra.	Δ=144° (Ch)	06 52 39	
				Rac.	Δ=144,8° (SK)	06 52 41	
				27.IX	Iles aux Renards,	Près de la côte de Sumatra,	

- 78 -

Dates	Station	Phases	G.M.T. h m s	Dates	Station	Phases	G.M.T. h m s
28.IX (suite)		USCGS: 3,9°S, 102,0°E, H=01 ^h 23 ^m 59,6 ^s , h=78 km ca; M=6,5 (Quetta)		28.IX	Kra. (Ch)	Δ=36,4° eiP epP	22 43 27 36
Kra. (GW)	Δ=87,8° eP ePcP ePP	01 36 41 45 40 12		Rac. (SK)	Δ=37,4°. Traces eP epP	22 43 35 45	
Rac. (SK)	Δ=89° eP epP	01 36 51 37 11	29.IX		Tchécoslovaquie, explosion de 15,9 tonnes, Pruhonice: 50°25'N, 13°50'E		
28.IX	Au large Sud de Hondo, USCGS: 30,8°N, 141,6°E, H=03 ^h 24 ^m 37,7 ^s , h=41 km ca			Rac. (SK)	e	10 01 11	
War.	Δ=81,7° eP eScS eL	03 36 58 47 13 04 09	29.IX		Tchécoslovaquie, explosion de 10,4 tonnes, Pruhonice: 40°42'N, 17°47,3'E		
Kra. (GW)	Δ=83,5° eP eScS Lm	03 37 06 47 34 04 18 14	29.IX		Près de la côte E de Hokkaido, USCGS: 42,9°N, 145,3°E, H=16 ^h 50 ^m 35,4 ^s , h=45 km ca		
Rac. (SK)	Δ=84,3° eP epP	03 37 10 46	Kra. (GW)	Δ=75° eP ePcP	17 02 19 36		
28.IX	Proche		29.IX	Rac. (SK)	Δ=76° eP ePcP	17 02 23 40	
Ndz.	ei	03 44 03					
28.IX	Hindou-Kouch, USCGS: 36,4°N, 70,7°E, H=05 ^h 00 ^m 43,4 ^s , h=204 km ca		29.IX	Kra. (Ch)	Δ=97,6° eP epP ePP	19 19 36 20 03 23 42	
Kra. (Ch)	Δ=38,5° eP epP	05 07 48 08 29		War.	Δ=96,5° e	19 22 44	
War.	eL	05 40	29.IX	Rac. (SK)	e	21 20 47	
28.IX	Près de la côte de l'Iran, USCGS: 27,2°N, 57,1°E, H=22 ^h 36 ^m 24,7 ^s , h=41 km ca						

- 79 -

Dates	Station	Phases	G.M.T. h m s	Dates	Station	Phases	G.M.T. h m s			
1961				O C T O B R E						1961
1.X		Iles Tonga, BCIS: H=23 ^h 32 ^m 50 ^s		3.X	Rac. (SK)	e ei	12 33 30 35			
Rac. (SK)	Traces ePKP		23 52 39	4.X		Nouvelle Zembla, explosion nucléaire, USCGS: 73,7°N, 53,8°E, H=07 ^h 30 ^m 54,8 ^s , h=0				
2.X		Côte S du Péloponèse, BCIS: 37,0°N, 22,0°E, H=07 ^h 21 ^m 44 ^s ; M=5 ^{1/4} -6 (Athènes)		Kra. (GW)	Δ=27,6° e	07 42 09				
Kra. (GW)	Δ=13,2° eP ePPP Lm E: 8 ^s , 5,6μ Lm Z: 8 ^s , 2,4μ Lm E: 9 ^s , 5,1μ Lm N: 10 ^s , 9,4μ	07 24 53 25 14 30 22 34 10 34 20 34 29	4.X		Tyrol, BCIS: 47,6°N, 12,7°E, H=12 ^h 20 ^m 33 ^s					
Kra. (Ch)	Δ=4,3° eS*	12 22 48	Kra. (SK)	Δ=5,2° eSg ei	12 22 55 57					
War.	Δ=15,3° eiP ePPP eSS eL Lm NE: 9 ^s , 7 ^s , 21μ, 25μ Lm Z: 8 ^s , 24μ	07 25 26 50 28 33 28,7 33 02 33 05	6.X		Nouvelle Zembla, explosion thermonucléaire, USCGS: 74,3°N, 51,6°E, H=07 ^h 00 ^m 12,2 ^s , h=0					
Kra. (GW)	Δ=27,5° e Lm N: 10 ^s , 0,9μ Lm E: 10 ^s , 0,7μ	07 11 20 18 04 18 18	Rac. (SK)							
2.X	Rac. (SK)	e	13 18 56	8.X						
3.X		Crète, BCIS: 35,4°N, 24,1°E, H=01 ^h 01 ^m 18 ^s , h=100 km ca		Kra. (Ch)	e ei	10 33 52 54				
Rac. (SK)	Δ=15,4° eP ePP	01 04 53 59	8.X		Proche					
Ndz.	e	23 55 06,5								

- 80 -

Dates	Station	Phases	G.M.T. h m s	Dates	Station	Phases	G.M.T. h m s
10.X (suite)	Sud des Iles Fidji, USCGS: 22,9°S, 180°, H=03 ^h 44 ^m 38,3 ^s , h=576 km ca			13.X	Rac. (SK)	Δ=149,5° eiPKP ₁ ePKP ₂ epPKP	17 47 52 C 48 16 29
	Rac. Δ=149,5° (SK) ePKP ₂	04 03 28		14.X	Ndz.	Froche	
10.X	Ndz.				e		10 29 16
	i	04 17 27,0		14.X		Kamchatka, USCGS: 51,2°N, 159,2°E, H=21 ^h 58 ^m 59,7 ^s , h=100 km ca	
10.X	Rac. (SK) e	13 32 29			Kra. (Ch)	Δ=72,5° eP epP	22 10 23 32
10.X	Rac. (SK) e	13 42 20		18.X		Près de la côte au Sud du Chili USCGS: 36,7°S, 73,0°W, H=16 ^h 51 ^m 57,3 ^s , h=33 km ca; M=6 1/2 (Pas.)	
	i	22,3			Rac. (SK)	Δ=118°. Traces ePKP	17 10 37
10.X	Région des Iles Fidji, USCGS: 16,1°S, 176,3°W, H=18 ^h 44 ^m 28,6 ^s , h=361 km ca				Kra. (GW)	Δ=119° ePKP ePKS ePPP	17 10 47 14 32 49
	Rac. Δ=144° (SK) eiPKP	19 03 22			Lm	18 08 37	
11.X	Kra. (Ch) e	17 44 21			Z: 18 ^s , 7,6μ		
12.X	Kra. (Ch) e	16 15 22			Lm	08 41	
12.X	Kra. (Ch) e	16 24 03			N: 17 ^s , 8,2μ		
13.X	Région des Iles Tonga, USCGS: 22,0°S, 176,9°W, H=17 ^h 28 ^m 21,5 ^s , h=55 km ca			19.X	War.	E: 18 ^s , 12μ	
	Kra. Δ=148,8° (Ch) ePKP ₁ ePKP ₂	17 47 47 48 06			Δ=120,5°. Ag.mi. ePP eL Lm	17 12 13 50 18 07 08	
					N: 18 ^s , 20μ		
					Au Sud de l'Australie, USCGS: 55,3°S, 146,4°E, H=19 ^h 26 ^m 32,2 ^s , h=50 km ca		
					War. Δ=148°		

- 81 -

Dates	Station	Phases	G.M.T. h m s	Dates	Station	Phases	G.M.T. h m s		
19.X (suite)	War.	ePKP ₁ ePKP ₂	19 46 10 19	23.X	War.	eL	08 46(58)		
	Kra. (GW)	Δ=148° eiPKP ₁	19 46 14		Kra. (GW)	Δ=27,8° e	08 37 30		
	Rac. (SK)	Δ=149° ePKP ₁ ePKP ₂	19 46 18 32	23.X		Nouvelle Zemble, explosion, atomique sous-marine, USCGS: 70,7°N, 53,5°E, H=10 ^h 30 ^m 48,5 ^s , h=0			
					Kra. (Ch)	Δ=25,6° e(P) ePP	10 36 30 37 06		
				20.X		Nouvelle Zemble, explosion thermonucléaire, USCGS: 73,8°N, 53,2°E, H=08 ^h 07 ^m 02,0 ^s , h=0	23.X	Détroit des Moluques, USCGS: 3,5°N, 126,6°E, H=14 ^h 39 ^m 35,3 ^s , h=20 km ca; M=6 1/2 (Pas.)	
					Kra. (GW)	e	08 19 36	Kra. (GW)	Δ=98° eP ePP eS Im
				23.X		Iles Sandwich, USCGS: 60,2°S, 33,6°W, H=00 ^h 08 ^m 36,6 ^s , h=33 km ca		14 53 13 57 24 15 04 32 34 52	
					War.	Δ=121° ePKP ePP eL	00 27 37 29 03 01 00	E: 20°, 6,5μ Im	
					Kra. (GW)	Δ=118,5° ePP eSKS ePS Lm	00 28 43 34 22 38 37 01 12 56	NE: 20°, 2,8μ, 3,5μ 21	
				23.X		Région S de l'Iran, USCGS: 27,9°N, 54,5°E, H=04 ^h 40 ^m 22,1 ^s , h=33 km ca	23.X	15 03 48 04 25 eL	
					Rac. (SK)	Δ=35° eP	04 47 16	Iles Tonga, USCGS: 16,5°S, 173,9°W, H=17 ^h 11 ^m 57,1 ^s , h=41 km	
				23.X		Nouvelle Zemble, explosion thermonucléaire, USCGS: 73,9°N, 53,8°E, H=08 ^h 31 ^m 22,1 ^s , h=0; M=5,3 (Roma), 4 ³ 4-5 (Palisades)	24.X	17 31 34	
					War.	Δ=25,5° eP	08 36(58)	Rac. Δ=74,8° (SK) eP ePcP epP	
								07 36 58 37 17 29	

- 82 -

Dates	Station	Phases	G.M.T. h m s	Dates	Station	Phases	G.M.T. h m s
25.X		Iles Tonga, USCGS:	20,5°S, 174,3°W, H=14 ^h 20 ^m 32,4 ^s ,	26.X		Au large de la côte W de Sumatra, USCGS: 0,5°S, 98,8°E, H=19 ^h 28 ^m 38,4 ^s ,	
	Rac.	$\Delta=149^{\circ}$	h=114 km ca		Rac.	$\Delta=84,3^{\circ}$	h=62 km ca
(SK)	ePKP ₁	14 40 09		(SK)	eP	19 41 15	
	ePKP ₂	12					
25.X		Golfe d'Aden, USCGS:	14,2°N, 56,6°E, H=16 ^h 24 ^m 20,8 ^s , h=114 km ca	28.X		Région W de l'Iran, USCGS: 33,6°N, 48,5°E, H=10 ^h 46 ^m 42,2 ^s , h=52 km ca	
	Rac.	$\Delta=47,5^{\circ}$. Traces		Kra.	$\Delta=26,5^{\circ}$		
(SK)	eP	16 32 55		(GW)	eP	10 52 20	
26.X		Mer de Bismarck, USCGS:	3,1°S, 148,1°E, H=00 ^h 38 ^m 22,8 ^s , h=33 km ca; M=7 (War.), 6 1/4 (Pas.)	Rac.	$\Delta=27,5^{\circ}$		
	Kra.	$\Delta=115,8^{\circ}$		(SK)	eP	10 52 29	
(GW)	e	00 58 05					
	ePP	21					
	Lm	01 45 20					
		NE: 23 ^s , 8,8μ, 18μ					
War.	$\Delta=114,3^{\circ}$	01 33					
	eL						
	Lm	46 12					
		NE: 20 ^s , 19 ^s , 18μ, 28μ					
	Lm	47 25					
		Z: 20 ^s , 31μ					
26.X		Au large de la côte W de Sumatra USCGS: 0,3°S, 98,7°E, H=15 ^h 27 ^m 05,9 ^s ,	h=34 km ca; M=6 (Pas.)	Kra.	$\Delta=134,5^{\circ}$		
	War.	$\Delta=82,7^{\circ}$		(GW)	ePP	23 06 30	
	eP	15 39 27			Lm	19 16	
	eiS	49 41					
	eScS	50 03					
	eL	16 13					
Kra.	$\Delta=83^{\circ}$						
(GW)	eP	15 39 30					
	eS	49 45					
Rac.	$\Delta=84^{\circ}$. Traces						
(SK)	eP	15 39 36					
	ePcP	45					

- 83 -

Dates	Station	Phases	G.M.T. h m s	Dates	Station	Phases	G.M.T. h m s
29.X (suite)	Rac.	$\Delta=76,5^{\circ}$. Traces		30.X	Rac.	Lm	08 55(30)
(SK)	ePcP		09 24 19	(SD)		NZ: 8 ^s , 4,1μ, 2,8μ	
	War.	$\Delta=75,3^{\circ}$. Ag.mi.		30.X		Au large Sud de Hondo, USCGS:	
	e		09 33 53			28,9°N, 141,8°E,	
	eSKS		(59)			H=21 ^h 15 ^m 35,2 ^s , h=31 km ca	
	eL		48	Rac.	$\Delta=86,4^{\circ}$. Traces		
				(SK)	eP	21 28 21	
30.X		Nouvelle Zemble, explosion thermonucléaire, USCGS:		31.X		Iles aux Rats, Aléoutiennes, USCGS: 51,9°N, 176,1°E,	
		73,8°N, 53,5°E, H=08 ^h 33 ^m 27,8 ^s , h=0				H=01 ^h 43 ^m 53,3 ^s , h=35 km ca	
	War.	$\Delta=25,5^{\circ}$		Kra.	$\Delta=75,5^{\circ}$		
	eP		08 39(00)	(GW)	eP	01 55 43	
	eL		49		ePcP	52	
	Lm		51 28				
		N: 7 ^s , 8,6μ		Rac.	$\Delta=75,7^{\circ}$. Traces		
				(SK)	eP	01 55 45	
		Lm	54 38				
		Z: 7 ^s , 5μ		31.X		Italie centrale, province d'Aquila, Roma: 42°21'N, 13°01'E, H=13 ^h 37 ^m 17,6 ^s ,	
	Kra.	$\Delta=27,6^{\circ}$				M=5,18 (Roma)	
	(GW)	eP	08 39 20	Ndz.	$\Delta=8,7^{\circ}$		
		ePP	40 21		eIP	13 39 30	
		i	44 42		eIPP	37	
		Lm	53 17				
		E: 7,5 ^s , 2,3μ		Rac.	$\Delta=8,6^{\circ}$		
				(SK)	ePPP	13 39 44	
		Lm	53 33		eSS	41 19	
		N: 8 ^s , 3,0μ			eS*	34	
	Rac.	$\Delta=28^{\circ}$		1961		N O V E M B R E	1961
	(SD)	e	08 39 48				
		eL	51				

1.XI		Proche		4.XI		52,2°N, 167,6°W, H=18 ^h 17 ^m 01,7 ^s , h=33 km ca
	Ndz.	e	00 10 41	Kra.	$\Delta=77,5^{\circ}$	
				(Ch)	eP	18 28 59
					ePoP	29 12
2.XI		Péninsule de l'Alaska, USCGS: 54,4°N, 162,0°W, H=23 ^h 35 ^m 52,5 ^s , h=33 km ca		Rac.	$\Delta=77,6^{\circ}$	
				(SK)	ePcP	18 29 01
					ePoP	11
	Rac.	$\Delta=75^{\circ}$				
	(SK)	ePcP	23 47 39	5.XI		Iles Kouriles, USCGS: 44,2°N, 148,4°E, H=03 ^h 41 ^m 40,0 ^s ,
						h=18 km ca
	4.XI	Iles aux Renards, Aléoutiennes, USCGS:				

- 84 -

Dates	Station	Phases	G.M.T. h m s	Dates	Station	Phases	G.M.T. h m s
5.XI (suite)	Rac. (SK)	$\Delta=76^{\circ}$. Traces eP	03 53 34	12.XI	Kra. (GW)	eIP Lm N: 17 ^S , 3,1 μ	02 24 10 50 35
5.XI		Iles Kouriles, USCGS: 45,7 ^N , 147,9 ^E , H=10 ^h 36 ^m 39,5 ^s , h=142 km ca			Rac. (SK)	$\Delta=50^{\circ}$ eP	02 24 12
	Kra. (Ch)	$\Delta=74^{\circ}$ eP ePcP	10 48 07 22		War.	Traces eL	02 40
	Rac. (SK)	$\Delta=74,5^{\circ}$ eP ePcP	10 48 11 22	12.XI	Kra. (Ch)		13 05 44
9.XI		Région des Iles Loyauté, USCGS: 22,0 ^S , 170,0 ^E , H=01 ^h 09 ^m 15,3 ^s , h=33 km ca		13.XI		Iles Kouriles, USCGS: 46,8 ^N , 153,9 ^E , H=19 ^h 38 ^m 15,5 ^s , h=39 km ca	
	Rac. (SK)	$\Delta=144,4^{\circ}$. Traces ePKP ₁	01 28 52		Rac. (SK)	$\Delta=75,5^{\circ}$. Traces eP	19 50 05
9.XI		Proche		14.XI		Panama	
	Ndz.	e	12 55 40		War.	Traces. Ag.mi. eL	05 22
9.XI		Région des Iles Tonga, USCGS: 15,8 ^S , 174,8 ^E , H=23 ^h 06 ^m 55,9 ^s , h=292 km ca		14.XI		Près de la côte Est de Hondo, USCGS: 36,0 ^N , 139,1 ^E , H=10 ^h 02 ^m 32,3 ^s ; M=5,2 (Matsushiro)	
	Rac. (SK)	$\Delta=144^{\circ}$. Traces ePKP ₁ epPKP ₁	23 25 57 26 05		Rac. (SK)	$\Delta=79^{\circ}$. Traces eP	10 14 24
10.XI		Iles Fidji, USCGS: 17,5 ^S , 178,8 ^E , H=18 ^h 00 ^m 49,6 ^s , h=586 km ca		15.XI		Près de la côte Est de Hokkaido, USCGS: 43,1 ^N , 145,1 ^E , H=07 ^h 17 ^m 12,4 ^s , h=43 km ca; M=7,2 (Praha, War.), 6 1/4-6 1/2 (Pas.)	
	Kra. (Ch)	$\Delta=144^{\circ}$ ePKP ₁	18 19 25		War.	$\Delta=73^{\circ}$. Forte ag.mi. eP	07 28 43
	Rac. (SK)	$\Delta=144,5^{\circ}$ ePKP ₁ ePKP ₂	18 19 28 29			ePcP	55
12.XI		Congo, USCGS: 0,8 ^N , 29,5 ^E , H=02 ^h 15 ^m 16,7 ^s , h=39 km ca; M=5 (Palisades)			ePP	31 28	
	Kra.	$\Delta=50^{\circ}$			ePPP	33 18	
					eIS _E	38 06	
					iPPS	39 08	
					eSS	42 53	
					eL	46	

- 85 -

Dates	Station	Phases	G.M.T. h m s	Dates	Station	Phases	G.M.T. h m s
15.XI (suite)	War.	Lm	08 03 41	18.XI	Rac. (SK)	$\Delta=7,4^{\circ}$ ePn ePP ePg eSS	03 20 33 43 21 09 22 12
		E: $18^{\circ}S$, $92^{\circ}\mu$					
		Lm	04 04				
		N: $18^{\circ}S$, $145^{\circ}\mu$					
	Kra.	$\Delta=75^{\circ}$					
	(GW)	eIP	07 28 56	18.XI		Région des Iles Tonga, USCGS:	
		eIS	38 33			$27,0^{\circ}S$, $176,3^{\circ}W$,	
		Lm	08 05 19			$H=11^h16^m56,8^s$, $h=61$ km ca;	
		NE: $18^{\circ}S$, $55^{\circ}\mu$, $65^{\circ}\mu$				M=5,6 (Wellington)	
	Rac.	$\Delta=75,7^{\circ}$			Kra.	$\Delta=153,7^{\circ}$	
	(SK)	iP	07 29 00 D		(Ch)	ePKP ₁ epPKP ₁	11 36 52 37 10
		eipP	11				
		iPcP	18		Rac.	$\Delta=154,5^{\circ}$	
		i	42		(SK)	ePKP ₁ epPKP ₁	11 36 54 37 07
		i	30 06			ePKP ₁ epPKP ₂	21 36
		eS	38 44				
		eSKS	39 09	18.XI		Près de la côte de Formose,	
		eScS	13			USCGS: $23,9^{\circ}N$, $121,7^{\circ}E$,	
		ePPS	36			$H=22^h09^m51,9^s$, $h=38$ km ca;	
						M=5-5 1/4 (Matsushiro)	
15.XI		Proche			Kra.	$\Delta=78,8^{\circ}$	
	Ndz.				(Ch)	eP	22 21 55
		e	20 01 37		Rac.	$\Delta=79,8^{\circ}$	
17.XI		Iles Tonga, USCGS: $19,4^{\circ}S$, $175,6^{\circ}W$, $H=19^h03^m55,9^s$, $h=196$ km ca			(SK)	eP	22 22 01
	Rac.	$\Delta=147,5^{\circ}$				ePcP	19
	(SK)	ePKP ₁	19 23 21	19.XI		Région de Célebes, USCGS:	
		ePKP ₂	25			$0,8^{\circ}N$, $124,3^{\circ}E$,	
		epPKP ₁	24 17			$H=23^h21^m55,5^s$, $h=157$ km ca	
18.XI	Rac.				Kra.	$\Delta=98,5^{\circ}$	
	(SK)	e	00 28 10		(GW)	ePP	23 39 27
18.XI		Roumanie, USCGS: $45,5^{\circ}N$, $26,7^{\circ}E$, $H=03^h18^m44,2^s$, $h=100$ km ca				eSKS	45 35
	Kra.	$\Delta=6,4^{\circ}$			War.	$\Delta=97,5^{\circ}$	
	(Ch)	eIPn	03 20 20			eSKS	23 45 31
		ePP	30	20.XI		Frontière Mongolie-Sibérie,	
		ePg	50			USCGS: $50,8^{\circ}N$, $92,3^{\circ}E$,	
						$H=04^h03^m56,7^s$, $h=33$ km ca;	
						M=5 3/4 (Moskva)	

- 86 -

Dates	Station	Phases	G.M.T. h m s	Dates	Station	Phases	G.M.T. h m s
20.XI (suite)	Kra. (GW)	$\Delta=44^{\circ}$ e Lm	04 25 04 29 20	23.XI	Ndz.	Proche e	08 30 18
		E: $8^{\circ}, 1\mu$		24.XI	Rac.		
	War.	eL	04 26			e	13 40 31
20.XI	Proche Ndz.	e	11 48 50	25.XI		Près de la côte de Hondo, USCGS: $36,2^{\circ}N, 141,4^{\circ}E$, $H=20^h19^m50^s$, $h=45$ km ca; $M=5,4$ (Matsushiro)	
20.XI	Crête médiane de l'Atlantique, USCGS: $31,3^{\circ}N, 40,8^{\circ}W$, $H=17^h58^m17,5^s$, $h=34$ km ca; $M=5 \frac{1}{4}$ (Moskva)			Rac. (SK)	$\Delta=80^{\circ}$. Traces eP ePcP	20 32 00 11	
	Rac. (SK)	$\Delta=47^{\circ}$ eP ePcP ePP	18 06 50 08 18 39	26.XI	Rac.		
	Kra. (GW)	$\Delta=48^{\circ}$ eP ePP	18 06 59 08 59	27.XI		Près de la côte Sud de Kiou- Siou, USCGS: $31,6^{\circ}N, 131,1^{\circ}E$, $H=05^h57^m07,7^s$, $h=25$ km ca; $M=6 \frac{1}{4} - 6 \frac{1}{2}$ (Pas.)	
	War.	$\Delta=48,8^{\circ}$. Traces. Forte ag.mi. eP ePcP	18 07(03) 08 26	Kra. (GW)	$\Delta=78^{\circ}$ eP ePcP ePPS Lm	06 09 10 19 20 00 46 25	
23.XI	Alpes Bergamasques, Italie du Nord, BCIS: $45,8^{\circ}N$, $9,5^{\circ}E$, $H=01^h12^m05^s$				B: ca $15^{\circ}, 9\mu$ Lm	46 37	
	Kra. (Ch)	$\Delta=8,2^{\circ}$ eP eSS	01 14 06 15 58		N: ca $13^{\circ}, 4,8\mu$ Lm	46 43	
	Rac. (SK)	$\Delta=7,3^{\circ}$ e eP* ePg eSn eSS eS* Lm	01 14 11 14 37 15 15 30 45 16(18)	Rac. (SK)	$\Delta=79^{\circ}$ eP ePcP	06 09 18 22	
		NEZ: $1,5^{\circ}, 1,6\mu, 1,3\mu$ $1,4\mu$		War.	$\Delta=76,3^{\circ}$ eS eL	06 18 52 35	
				27.XI	Rac.	e	11 10 06
				27.XI		Région de Halmahera, USCGS: $0,4^{\circ}S, 127,6^{\circ}E$, $H=17^h10^m38,1^s$	

- 87 -

Dates	Station	Phases	G.M.T. h m s	Dates	Station	Phases	G.M.T. h m s
27.XI (suite)		h=33 km ca; M=6½-6½ (Pas.) 6,4 (War.)		28.XI	Rac. (SK)	Δ=12,1° ePPP	
Kra. (GW)	Δ=101,5°			War.			09 01 52
	e	17 28 26			eL		09 05
	eSKS	35 06			Lm		07 33
	Lm	18 14 22			Z: 8°, 6μ		
	E: 20°, 7,7μ				Lm		07 34
	Lm	14 32			NE: 11°, 6°, 12μ, 7μ		
	N: 19°, 3,8μ			29.XI		Yougoslavie, BCIS: 44,7°N, 15,9°E, H=04 ^h 15 ^m 15 ^s	
War.	Δ=100,4°			Rac. (SK)	Δ=5,7° ePn eP* ePg eSn eS*	04 16 49 17 15 31 18 21 35	
	ePP	17 28 28					
	eSKS	35 02					
	eS	36 01					
	ePS	37 24					
	eSS	42 46					
	eL	55					
	Lm	18 11 35					
	N: 22°, 15μ			Kra. (Ch)	Δ=6° e ePg eSg	04 17 07 16 18 27	
	Lm	11 38					
	E: 20°, 5,5μ						
28.XI	Turquie, occidentale, BCIS: 39,5°N, 26,3°E, H=08 ^h 58 ^m 37 ^s			29.XI		Région des Iles Loyauté, USCGS: 23,1°S, 170,9°E, H=21 ^h 55 ^m 44,7 ^s , h=29 km ca; M=5,2 (Wellington) Δ=145,7°. Traces	
Kra. (GW)	Δ=11,4°			Rac. (SK)	ePKP	22 15 26	
	eP	09 01 19					
	ePPP	48					
	eS	03 34					
1961		D E C E M B R E					1961
1.XII	Mer de Chine, USCGS: 26,5°N, 124,9°E, H=21 ^h 13 ^m 04,1 ^s , h=206 km ca; M=6,3 (Matsushiro)			1.XII	War.	Δ=77°. Ag.mi. epP eS ePPS eL Lm	
Kra. (GW)	Δ=78,7°					21 25 30 34 01 35 45 42 22 01 55	
	eP	21 24 47					
	eipP	25 40					
	eS	34 25					
	ePPS	36 03					
Rac. (SK)	Δ=79,7°			2.XII		B: 13°, 5,3μ Lm	
	eP	21 24 53				01 58	
	ePoP	25 05					
	epP	47					
					N: 13°, 2,7μ		
					Frontière Algérie-Tunisie, USCGS: 36,5°N, 8,5°E, H=12 ^h 40 ^m 16,2 ^s , h=33 km ca; M=5,5 (Uppsala), 4½ (Moskva)		

- 88 -

Dates	Station	Phases	G.M.T. h m s	Dates	Station	Phases	G.M.T. h m s	
2.XII (suite)	Rac. (SK)	$\Delta=15,5^{\circ}$ eP ePPP	12 43 58 44 09	3.XII (SK)	Rac. (SK)	eP ePP ePPP	18 36 33 49 37 02	
	Kra. (GW)	$\Delta=15,3^{\circ}$ eIP ePPP eSS Im	12 44 02 16 47 03 51 54		Mer du Japon, USCGS: 43,6°N, 135,1°E, H=19 ^h 55 ^m 05,5 ^s , h=386 km ca			
	Kra. (Ch)	Z: 11 ^s , 3,3μ Im NE: 11 ^s , 3,6μ, 4,0μ	51 58		Rac. (Ch)	$\Delta=70,5^{\circ}$ eIP epP	20 05 44 06 18	
War.	Rac. (SK)	$\Delta=18^{\circ}$. Ag.mi. eIP iPP eSS eL Lm	12 44 28 45 48 01 49 53 05	4.XII War.	Rac. (SK)	$\Delta=71,2^{\circ}$ eIP ePoP epP eS	20 05 50 D 21 53 14 39	
	Province de Tsinghai, Chine, USCGS: 33,2°N, 95,3°E, H=12 ^h 38 ^m 11,9 ^s , h=45 km ca; M=6½ (Matsushiro), 6,3 (War.)				Rac. (Ch)	$\Delta=55^{\circ}$. Ag.mi. eP epP ePoS eS ePPS eL Im	12 47 37 52 52 47 55 23 42 59 13 09 34	
	Rac. (SK)	$\Delta=40$ km i(Pg) eSg Im	04 00 04,9 10,2 01 51,2		Rac. (SK)	$\Delta=70^{\circ}$ eP ePoP	05 59 53 06 00 13	
	Rac. (GW)	BZ: 0,5 ^s , 1,3μ, 3,9μ Im	01 56,7		Rac. (SK)	$\Delta=68,5^{\circ}$ eP eL	05 59 37 06 20	
	Arménie, URSS, Moskwa: 41°N, 44°E, H=18 ^h 31 ^m 55 ^s ; M=5 (Moskva)				Rac. (GW)	$\Delta=69^{\circ}$ eIP ePoP	05 59 44 06 00 17	
3.XII	Kra. (GW)	$\Delta=19^{\circ}$ eP ePPP	18 36 21 51	6.XII War.	Rac. (SK)	$\Delta=70^{\circ}$ eP ePoP	05 59 53 06 00 13	
	War. (Ch)	$\Delta=19,3^{\circ}$. Ag.mi. eP eS eISS eL	18 36 23 39 56 40 09 41		Rac. (SK)	$\Delta=160,5^{\circ}$ ePKP ₁ ePKP ₂	13 55 38 52	
	Rac. (SK)	$\Delta=20^{\circ}$			Rac. (GW)	$\Delta=148,5^{\circ}$. Ag.mi. ePKP ₂ ePKS eL	13 55 38 58 59 14 46	
	Rac. (GW)				Rac. (SK)	$\Delta=151,4^{\circ}$ ePKP ₁ ePKP ₂	13 55 40 48	

- 89 -

Dates	Station	Phases	G.M.T. h m s	Dates	Station	Phases	G.M.T. h m s	
4.XII (suite)	Rac. (SK)	$\Delta=57,3^{\circ}$ eP ePoP	12 48 06 49	6.XII	Iles Kouriles, USCGS: 49,3°N, 155,4°E, H=16 ^h 39 ^m 37,6 ^s , h=60 km ca; M=6-6 1/2 (Pas.)			
5.XII	Nouvelles Hébrides, USCGS: 16,4°S, 168,0°E, H=13 ^h 02 ^m 35,7 ^s , h=205 km ca; M=6 1/4 - 6 1/2 (Pas.)			War.	$\Delta=71^{\circ}$. Ag.mi. eP ePoP ePPP eS eIPS eScS eL			
Rac. (SK)	$\Delta=138,5^{\circ}$. Traces e ePKS	13 20 37 24 54	Iles Andaman, USCGS: 13,6°N, 93,4°E, H=05 ^h 48 ^m 38,3 ^s , h=35 km ca; M=5 1/4 (Palisades)	Im	$Z: 20^s, 51\mu$	24 57		
6.XII	War. $\Delta=68,5^{\circ}$ eP eL	05 59 37 06 20	War. $\Delta=73^{\circ}$ eIP eL	Im	$E: 20^s, 28\mu$	25 01		
Kra. (GW)	$\Delta=69^{\circ}$ eIP ePoP	05 59 44 06 00 17	Rac. (SK)	$\Delta=70^{\circ}$ eP ePoP	05 59 53 06 00 13	Im	$N: 20^s, 42\mu$	
Rac. (SK)	$\Delta=70^{\circ}$ eP ePoP	05 59 53 06 00 13	Kra. (GW)	$\Delta=73^{\circ}$ eIP eL	05 59 37 06 20	Im	$E: 25^s, 1,1\mu$	
Rac. (SK)	$\Delta=73,8^{\circ}$ eIP ePoP	16 51 12 D 27	Rac. (SK)	$\Delta=73,8^{\circ}$ eIP ePoP	16 51 12 D 27	Im	$Z: 22^s, 15\mu$	
Rac. (GW)	$\Delta=150,5^{\circ}$. Traces ePKP ₁ ePKP ₂	13 55 38 52	Rac. (GW)	$\Delta=150,5^{\circ}$. Traces ePKP ₁ ePKP ₂	00 38 19 33	Im	$N: 21^s, 25\mu$	
Rac. (SK)	$\Delta=151,4^{\circ}$ ePKP ₁ ePKP ₂	00 38 20 30	Rac. (SK)	$\Delta=151,4^{\circ}$ ePKP ₁ ePKP ₂	00 38 20 30	Im	$N: 21^s, 25\mu$	

Dates	Station	Phases	G.M.T. h m s	Dates	Station	Phases	G.M.T. h m s
7.XII (suite)	Rac. (SK)	e	14 52 30	9.XII		Région des Iles Fidji, USCGS:	
9.XII	Iles Kodiak, USCGS: 56,3°N, 153,9°W, H=02 ^h 15 ^m 22 ^s , h=31 km ca; M=5½ - 5¾ (Berkeley)				Kra. (Cho)	Δ=147,5° ePKP ₁ eIPKP ₂	21,7°S, 179,9°E, H=19 ^h 49 ^m 41,3 ^s , h=620 km ca
War.	Δ=71°. Ag.mi. eP 02 26 45 ePcP 59 eS 36 03 eL 49				Rac. (SK)	Δ=148,3° ePKP ₁ ePKP ₂	20 08 19 22
Rac. (SK)	Δ=72,8°. Traces eP 02 36 58			10.XII		Ile de Crète, USCGS: 34,6°N, 26,0°E, H=08 ^h 39 ^m 03,6 ^s , h=17 km ca; M=4,1 (Moskva)	
Kra. (Ch)	Δ=72,8° eP 02 26 59				Rac. (SK)	Δ=16,5°. Traces ePP 08 43 11 ePPP 27	
9.XII	Près de la côte au Sud de Chili, USCGS: 43,7°S, 75,2°W, H=11 ^h 18 ^m 08,4 ^s , h=34 km ca; M=6¾ (Pas.), 6,7 (War.)				War.	Ag.mi. eL 08 46	
Kra. (GW)	Δ=124,8°, Forte ag.mi. ePKP 11 37 11 Lm 12 35 18 N: 18 ^s , 11μ Lm 35 30 EZ: 16 ^s , 18 ^s , 6,6μ, 7μ			11.XII		Grèce, BCIS: 36,4°N, 23,6°E, H=16 ^h 33 ^m 06,4 ^s , h=33 km ca; M=5-5¾ (Athènes)	
War.	Δ=126,5°. Ag.mi. ePKP 11 37 15 ePP 39 08 ePKS 40 44 ePPP 41 58 eSKS 44 25 ePS 49 12 eSS 56 13 eL 12 00 Lm 29 29 Z: 20 ^s , 16μ Lm 34 58 E: 20 ^s , 19μ Lm 12 35 12 N: 20 ^s , 12μ				Kra. (Ch)	Δ=13,8°. Traces eP 16 56 26	
					Rac. (SK)	Δ=14,2° eP 16 56 35 ePP 46	
				12.XII		Frontière Albanie-Yougoslavie, BCIS: 42,2°N, 19,3°E, H=04 ^h 36 ^m 43 ^s	
					Rac. (SK)	Δ=8,0° ePg 04 39 27 eSn 40 11	
				12.XII		Près de la côte E de Hokkaido, USCGS: 43,4°N, 146,2°E, H=23 ^h 06 ^m 20,6 ^s , h=65 km ca	
					Kra. (Ch)	Δ=75,3° iP 23 18 03 eipP 09 ePcP 15	



Dates	Station	Phases	G.M.T. h m s	Dates	Station	Phases	G.M.T. h m s
12.XII (suite)	Rac. (SK)	$\Delta=76^{\circ}$ eP epP ePoP	23 18 06 D 12 26	19.XII	Ndz.	Proche	
15.XII	Kra. (Ch)	Proche?			e		10 11 23
16.XII	Rac. (SK)	Sud des Iles Tonga, USCGS: $23,9^{\circ}\text{S}$, $175,9^{\circ}\text{W}$, $H=09^{\text{h}}59^{\text{m}}16,5^{\text{s}}$, $h=50$ km ca $\Delta=151,8^{\circ}$. Traces ePKP ₁	10 19 11	20.XII	Rac. (SK)	$A 1^{\circ}\text{W}$ de Colombie Centrale, USCGS: $4,6^{\circ}\text{N}$, $75,6^{\circ}\text{W}$, $H=13^{\text{h}}35^{\text{m}}34,4^{\text{s}}$, $h=176$ km ca; $M=6\frac{1}{4}$ (Pas.)	$\Delta=88,8^{\circ}$ eP epP
16.XII	Ndz.	Proche			Kra. (GW)	$\Delta=90^{\circ}$	13 38 13 55
16.XII	e	11 58 58			eP	13 38 17	
16.XII	Au large de la côte E du Kamtchatka, USCGS: $51,9^{\circ}\text{N}$, $160,1^{\circ}\text{E}$, $H=13^{\text{h}}40^{\text{m}}26,3^{\text{s}}$, $h=62$ km ca				epP	39 01	
16.XII	Rac. (SK)	$\Delta=72,6^{\circ}$. Traces ePcP	13 52 12		ePP	48 58	
17.XII	Au large Sud de la Tasmanie, USCGS: $54,5^{\circ}\text{S}$, $143,9^{\circ}\text{E}$, $H=22^{\text{h}}12^{\text{m}}32,3^{\text{s}}$, $h=45$ km ca; $M=6-6\frac{1}{4}$ (Matsushiro)				ePPP	48 35	
17.XII	Kra. (Ch)	$\Delta=146,3^{\circ}$ ePKP ₁ e	22 32 09 22		eSKS	54	
17.XII	Rac. (SK)	$\Delta=147,5^{\circ}$, Traces ePKP	22 32 13		eS	50 08	
18.XII	Proche				isS		
18.XII	Ndz.				eSPP		
18.XII	e	01 32 05			eSS		
18.XII	Iles Ioniennes				eL		
18.XII	War.				Im		
	eL	21 41			Z: 15^{s} , 8μ		
					Im		
					E: 18^{s} , 11μ		
				20.XII	Italie du Nord, Alpes du Trentin, BCIS: $46,2^{\circ}\text{N}$, $11,5^{\circ}\text{E}$, $H=18^{\text{h}}10^{\text{m}}32^{\text{s}}$		
				Rac. (SK)	$\Delta=6,0^{\circ}$		
					eSS	18 13 29	
					eS*	37	
					eSg	53	
				21.XII	Rac. (SK)		
					e	14 00 27	

Dates	Station	Phases	G.M.T. h m s	Dates	Station	Phases	G.M.T. h m s
22.XII		Tchécoslovaquie, explosion de 18,6 tonnes, Pruhonice: 49°40,4'N, 17°25,5'E		25.XII	Chili War.	eL	00 51
Rac.	(SK)	e	08 06 15	25.XII	Iles Tonga, USCGS:	20,4°S, 173,7°W, H=13 ^h 55 ^m 38,8 ^s , h=64 km ca	
22.XII		Italie du Nord, Alpes Carniques, BCIS: 46,4°N, 13,0°E, H=13 ^h 04 ^m 44 ^s		Kra.	Δ=148,5°		
Rac.	(SK)	Δ=5,0° eSS eS* eSg	13 07 08 19 32	(Ch)	ePKP ₁ ePKP ₂	14 15 19 34	
23.XII	Rac.		14 02 02	Rac.	Δ=149° ePKP ₁ ePKP ₂	14 15 22 33	
23.XII	Ndz.	i	15 27 32	26.XII	Mer de Java, USCGS:	5,6°S, 110,7°E, H=04 ^h 24 ^m 57,3 ^s , h=550 km ca	
	Kra.	(Ch)	e	Rac.	Δ=96° eP ePP	04 37 27 41 25	
			15 27 43,5	27.XII	Océan Atlantique, USCGS:	1,7°S, 12,9°W, H=16 ^h 46 ^m 31,2 ^s , h=37 km ca	
	Rac.	(SK)	e	Kra.	Δ=59° eP	16 56 29	
24.XII		Près de la côte N de Hokkaido, USCGS: 43,3°N, 144,0°E, H=06 ^h 50 ^m 54,0 ^s , h=125 km ca; M=6 (Matsushiro)		28.XII	Nouvelle Zélande, USCGS:	41,2°S, 175,8°E, H=23 ^h 48 ^m 01,7 ^s , h=40 km ca; M=6 ¼ (Pas.)	
	Kra.	(Ch)	Δ=74° iP ePcP	Kra.	Δ=161° ePKP ₁ ePKP ₂	00 08 02 42	
			07 02 25 31	Rac.	Δ=161° ePKP ₂	00 08 47	
	Rac.	(SK)	Δ=75° eP ePcP	28.XII	Iles Loyauté, Noumea: 20,5°S, 168,7°E, H=13 ^h 19 ^m 57 ^s		
24.XII		Proche		Kra.	Δ=141,4° e ePKP	14 39 11 26	
	Ndz.	e	09 36 48,5	Rac.	Δ=142,5°		

- 93 -

Dates	Station	Phases	G.M.T. h m s	Dates	Station	Phases	G.M.T. h m s
28.XII (suite)	Rac. (SK)	e ePKP	14 39 14 36	30.XII	Rac. (SK)	eiPcP epP	00 51 22 24
30.XII		Iles aux Rats, Aléoutiennes, USCGS: 52,3°N, 177,6°E, H=00 ^h 39 ^m 27 ^s , h=56 km ca; M=7 (War.), 6 1/4 (Pas.)		30.XII		Province de Sinkiang, Chine, USCGS: 39,7°N, 77,7°E, H=07 ^h 08 ^m 39,1 ^s , h=35 km ca; M=5 1/4 (Moskva)	
War.		Δ=73,4°. Ag.mi. eP ePoP ePPP Lm	00 51 03 25 55 40 01 29 50	Kra. (GW)	Δ=41° eP Lm	07 16 16 35 39	
		NE: 17 ^s , 52μ, 52μ		War.	Ag.mi. eL	07 28	
		Lm	30 02	30.XII	Iles Tonga, USCGS: 22,9°S, 175,2°W, H=08 ^h 59 ^m 31,7 ^s , h=41 km ca		
Kra. (GW)		Z: 5 ^s , 36μ Δ=75,3° eP eiPcP eS Lm	00 51 16 21 01 01 02 28 08	Rac. (SK)	Δ=151°. Traces ePKP ₂	09 19 33	
		NZ: 17 ^s , 18 ^s , 30μ, 23μ		30.XII	Rac. (SK)	14 37 23	
		Lm	28 31	30.XII	Kra. (Ch)	1	16 07 08,5
Rac. (SK)		E: 17 ^s , 14μ Δ=75,5° eP	00 51 16				

**BIULETYN SILNIEJSZYCH WSTRZASÓW PODZIEMNYCH
NA GÓRNYM ŚLĄSKU**

**БЮЛЛЕТЕНЬ СИЛЬНЕЙШИХ ПОДЗЕМНЫХ
СОТРЯСЕНИЙ В ВЕРХНЕЙ СИЛЕЗИИ**

**BULLETIN DES PLUS FORTS SECOUSES SOUTERRAINES
EN HAUTE SILESIE**

- 1961 -

Dates	Station	Phases	G.M.T. h m s	Dates	Station	Phases	G.M.T. h m s
1961						J A N V I E R	
3.I		$\varphi = 50^{\circ} 21'$; $\lambda = 18^{\circ} 54'$; H=07 ^h 39 ^m 30 ^s ;		4.I	Cho. (SK)	Cho. eS _Z e _N Im NZ: 1,0 ^s ; 0,6 μ , 0,9 μ P	10 54 13,9 15,7 21 37
		Cho. $\Delta = 9$ km, E inactive (SK) eP _Z 07 39 32,1 eS _N , e1S _Z 33,7 i _N 35,2 e _Z 37,1 Lm 49 Z: 1,0 ^s ; 1,0 μ Lm 52 N: 0,9 ^s ; 1,0 μ P 40 12		Kra. (Ch)	e(Pg) _{NZ} e _{NZ}	10 54 19 26	
		Rac. (SK) ePg _{EZ} 07 39 41 P 43		4.I		H=18 ^h 17 ^m 00 ^s ; Dab. (GIG): 18 17 01,9; Byt. (GIG): 18 17 10,0	
		Kra. (Ch) ePg _{NEZ} 07 39 44,2 eSg _{NRZ} 55 e _{NEZ} 40 17		Cho. (SK)	$\Delta = 20$ km, E inactive eP _Z 18 17 03,7 e _N 04,9 eS _Z 06,8 e _N 07,3 e _N 09,4 Im 15 NZ: 1,0 ^s ; 0,5 μ , 0,8 μ P 28		
		4.I					
		Cho. (SK) eP _{NZ} 04 13 10,0 iS _{NZ} 11,1 Im 13 NZ: 0,7 ^s ; 1,8 μ , 2,5 μ P 45		Kra. (Ch)	$\Delta = 56$ km ePg _{NEZ} 18 17 10,5 eSg _{NEZ} 18 e _{NEZ} 27		
		Kra. (Ch) ePg _{NEZ} 04 13 23 eSg _{NEZ} 33 e _{NEZ} 37 e _{NZ} 59		5.I		H=21 ^h 20 ^m 38,4 ^s ; Zab. (GIG): 21 20 39,0; Byt. (GIG): 21 20 43,2	
		4.I					
		Cho. (SK) eP _Z 10 54 11,8 e _N 13,6		Cho. (SK)	$\Delta = 8$ km, E inactive eP _N , iP _Z 21 20 40,4 D eS _{NZ} 41,9 i _N 43,6 Im 44 NZ: 1,1 ^s ; 1,1 μ , 1,5 μ P 21 00		
				Kra. (Ch)	Traces e _{NZ} e _{NZ}	21 21 02 10	

- 98 -

Dates	Station	Phases	G.M.T. h m s	Dates	Station	Phases	G.M.T. h m s
5.I	Zab.	(GIG): 21 ^h 24 ^m 21, ^s ;		9.I	Kra.	$\Delta=74$ km	
	Dab.	(GIG): 21 24 24,2;		(Ch)	ePg _{NEZ}	00 58 43,0	
	Byt.	(GIG): 21 24 26,9			e _N	45,8	
Cho.	E inactive				e _{NEZ}	51,0	
(SK)	eP _{NZ}	21 24(19)			i _N	55,8	
	i _N	21,4			Lm	59 20	
	Lm	25			N: 1,5 ^s ; 0,12 μ		
	NZ: 0,7 ^s ; 1,7 μ , 1,5 μ			Ndz.	$\Delta=133$ km		
	F	50		(SK)	ePg _Z	00 58 54,0	
Kra.	Traces				e _{NE}	54,4	
(Ch)	e _{NEZ}	21 24 30			e _Z	59 05,0	
	e _{NEZ}	38,5			eSg _N	10,9	
Rac.	Traces				e _E	12,5	
(SK)	e _E	21 24 52			e _Z	19,0	
	e _E	25 07		14.I	H=01 ^h 05 ^m 51 ^s ;		
	F	26		Cho.	$\Delta=16$ km		
7.I	Zab. (GIG): 17 52 36,7			(SK)	eP _Z	01 05 54,8 C	
Cho.					e _{NE}	55,4	
(SK)	eP _Z	17 52 31,7			eS _{NEZ}	57,4	
	e _E	32,1			e _Z	58,6	
	e _N	32,6			i _Z	59,6	
	Lm	37			e _E	59,9	
	NEZ: 1,2 ^s ; 0,5 μ , 0,5 μ				e _{NZ}	06 00,3	
	F	52			e _{iEZ}	01,6	
Rac.					Lm	05	
(SK)	e _Z	17 52 58			NEZ: 1,0 ^s ; 2,0 μ , 1,5 μ ,		
	e _Z	53 30			1,5 μ		
	F	55			F	37	
9.I	H=00 ^h 58 ^m 30 ^s ; Zab. (GIG):			Kra.	$\Delta=63$ km		
	00 58 32,0; M=3,4 (Zabrze)			(Ch)	ePg _{NEZ}	01 06 02,3 C	
Rac.	$\Delta=57$ km				e _Z	07,3	
(SK)	ePg _{NEZ}	00 58 40,0			e _{iN} , e _Z	09,9	
	e _Z	41,9			e _E	10,3	
	e _E	45,0			iSg _{NZ}	10,8	
	e _N	51,3			e _{iZ}	16,3	
	e _Z	57,3			Lm	37	
	e _{NE}	59 01,6			NEZ: 1,0 ^s ; 0,08 μ , 0,04 μ ,		
	e _Z	02,5			0,05 μ		
	e _Z	16,5		Ndz.	$\Delta=127$ km		
	Lm	43		(SK)	ePg _{NEZ}	01 06 15,8	
	Z: 1,4 ^s ; 0,4 μ				e _Z	21,5	
	F	01 03			e _{EZ}	30,2	

- 99 -

Dates	Station	Phases	G.M.T. h m s	Dates	Station	Phases	G.M.T. h m s	
-14.I (suite)	Ndz. (SK)	eSg _N F	01 06 32,4 08,5	23.I	Cho. (SK)	ePg _{EZ} e _{NE} e _{EZ} e _{NZ} e _N e _{EZ} e _Z e _E e _Z Lm	23 17 59,9 18 00,4 02,9 09 HEZ: 1,0 ^S ; 1,0 μ , 4,0 μ , 2,0 μ F $\Delta=61$ km ePg _Z eSg _Z e _N e _Z Lm	23 17 59,9 18 00,4 02,9 09 HEZ: 1,0 ^S ; 1,0 μ , 4,0 μ , 2,0 μ F $\Delta=61$ km ePg _Z eSg _Z e _N e _Z Lm
14.I	Rac. (SK)	ePg _Z e _{NE} e _{EZ} e _{NZ} e _N e _{EZ} e _Z e _E e _Z Lm	13 30 37,9 39,5 40,8 44,6 54,9 56,3 31 03,8 06,4 09,9 12		Rac. (SK)		23 18 07,0 15,0 16,0 23 19 06	
		Z: 1,1 ^S , 0,7 μ F	33		Kra. (Ch)		NZ: 1,7 ^S ; 0,2 μ , 0,4 μ $\Delta=84$ km ePg _{NEZ} e _N eSg _{NE} ei _{NZ} ei _{NE} ei _N Lm	23 18 11,3 15,9 22,2 24,1 26,3 33,0 49
19.I		H=09 ^h 59 ^m 56,5 ^s ; Byt.: 09 59 59,4; Zab. (GIG): 10 00 00,9					NEZ: 1,5 ^S ; 0,14 μ , 0,09 μ , 0,10 μ	
	Cho. (SK)	$\Delta=7$ km iPg _{NEZ} iS _Z Lm	09 59 57,9 D 59,1 10 00 01					
		Z: 0,9 ^S ; 8,5 μ F	40					
	Kra. (Ch)	$\Delta=79$ km, E et Z inactive ePg _N e _N eiSg _N ei _N Lm	10 00 11,0 13,5 21,5 27,7 48	30.I			$\varphi=50^{\circ}17'$; $\lambda=18^{\circ}55'$; H=07 ^h 41 ^m 35,5 ^s ; M=2,7 (Bytom); 3,1 (Zabrze); Zab.: 07 41 38,4 Byt. (GIG): 07 41 39,3	
		N: 1,3 ^S ; 0,12 μ			Cho. (SK)			
	Ndz. (SK)	$\Delta=145$ km ePg _{EZ} eSg _E e _Z	10 00 21,5 39,5 41,0				$\Delta=5$ km iPg _{NEZ} iS _Z Lm	
							07 41 36,6 C 37,4 40	
							NEZ: 1,0 ^S ; 12,0 μ , 10,0 μ , 18,5 μ	
						F	42 56	
23.I		$\varphi=50^{\circ}25'$; $\lambda=18^{\circ}53'$; H=23 ^h 17 ^m 56,1 ^s ; M=2,4 (Raci- bórz); Zab. (GIG): 23 17 57,0			Rac. (SK)		$\Delta=55$ km ePg _Z e _{EZ} e _{NE} e _Z e _E	
							07 41 45,1 C 46,8 50,7 42 04,7 07,0	
	Cho.	$\Delta=16$ km						

- 100 -

Dates	Station	Phases	G.M.T. h m s	Dates	Station	Phases	G.M.T. h m s
30.I (suite)	Rac. (SK)	e _N e _E Lm	07 42 09,0 13,3 25 NEZ: 1,0 ^s ; 0,9 μ , 0,9 μ , 0,8 μ F	30.I	Cho. (SK)	i _N e _{iE} Lm	22 24 30,7 30,9 36 NEZ: 0,8 ^s ; 4,0 μ , 5,0 μ , 6,0 μ F
Kra. (Ch)	$\Delta=77$ km	ePg _{NEZ} e _E e _N i _Z iSg _N e _{iE} i _Z Lm	07 42(48,5) 51,4 52,5 54,1 58,8 59,3 59,8 43 29 EZ: 1,2 ^s ; 0,13 μ , 0,13 μ Lm 38 NEZ: 1,2 ^s ; 0,08 μ , 0,09 μ , 0,08 μ	Kra. (Ch)	$\Delta=73$ km	ePg _{NEZ} e _E e _N eSg _{NZ} e _{NEZ}	22 24 43,1 51,9 52,9 57,5
Ndz. (SK)	$\Delta=140$ km	ePg _{BZ} e _{EZ} e _{EZ}	07 42 00 06,5 26	Ndz. (SK)	$\Delta=140$ km	ePg _{BZ} e _{EZ} e _Z	22 24 55 25 00 26 19
30.I	H=22 ^h 24 ^m 30 ^s			31.I	Cho. (SK)	H=00 ^h 32 ^m 52,3 ^s $\Delta=10$ km	00 32 54,6 D 54,8 56,3 59 NEZ: 0,9 ^s ; 2,0 μ , 2,5 μ , 2,0 μ F
Cho. (SK)	iP _Z		22 24 30,4 C	Rac. (SK)	Traces		00 33-35

FÉVRIER								1961
1.II	H=16 ^h 59 ^m 27 ^s ; Byt., Dab. (GIG): 16 ^h 59 ^m 35,8 ^s			1.II	Rac. (SK)	F	17 02	
Cho. (SK)	$\Delta=12$ km, E inactive	eP _N , iP _Z iS _Z	16 59 29,6 D 31,6 34 NZ: 1,0 ^s ; 2,0 μ , 2,5 μ F	2.II		H=04 ^h 37 ^m 54 ^s ; Byt.: 04 37 55,9		
Kra. (Ch)	Traces	e _{NEZ}	16 59 48	Cho. (SK)	$\Delta=4$ km, E inactive	iP _{NZ} iS _Z Lm	04 37 55,0 D 56,0 58 NZ: 1,0 ^s ; 2,0 μ , 5,0 μ F	
Rac. (SK)	e _{NZ} e _{EZ}		16 59 57,1 17 00 02,1	Rac. (SK)	e _Z e _{NEZ}		04 38 03,0 12,0	

- 101 -

Dates	Station	Phases	G.M.T. h m s	Dates	Station	Phases	G.M.T. h m s
2.II (suite)	Rac. (SK)	e _{NEZ} e _E Lm	04 38 22,3 26,0 30 Z: 1,5 ^s ; 0,5 μ	2.II	Rac. (SK)	Z: 1,5 ^s ; 0,3 μ F	06 17
Kra. (Ch)	$\Delta=82$ km	ePg _{NE} e _Z e _N iSg _N	06 13 54,5 55,0 58,5 59,6 14 05,0				
Ndz. (SK)	$\Delta=137$ km	ePg _{NEZ} e _N e _E e _Z e _{EZ}	06 14 03,6 07,2 24,5 26,6 32,2				
2.II		H=08 ^h 33 ^m 14,5 ^s ; Byt. (GIG): 08 33 16,3					
Rac. (SK)	$\Delta=60$ km	ePg _{EZ} e _Z eSg _{NEZ}	08 33 25,2 30,2 33,3				
Cho. (SK)	$\Delta=11$ km, E inactive	eP _N , iP _Z iS _Z e _{iZ} Lm	40,3 46,0 57,6 34 03,3 15,8 34 Z: 1,5 ^s ; 0,3 μ				
Rac. (SK)	$\Delta=53$ km	ePg _{BZ} e _N e _E e _Z e _E e _Z Lm	36				
Kra. (Ch)	$\Delta=80$ km	ePg _{NB} , iP _Z e _{iN} e _{iZ} e _N eisg _Z e _Z	08 33 29,7 32,6 34,2 38,0 40,4 45,7				

- 102 -

Dates	Station	Phases	G.M.T. h m s	Dates	Station	Phases	G.M.T. h m s
2.II (suite)	Kra. (Ch)	I _m NZ: 1,2 ^s ; 0,16μ, C,12μ	08 34 13	2.II (SK)	Nd _z . ePg _{EZ} eSg _{NZ} e _{NE} e _E	Δ=143 km 15 10 48,1 11 06,2 11,5 24,6	
2.II		φ=50°20'; λ=18°48'; H=15 ^h 10 ^m 23,6 ^s ; M=2,6 (Bytom); 2,7 (Zabrze); Byt. (GIG): 15 10 25,4		2.II		φ=50°23'; λ=18°53'; H=20 ^h 40 ^m 30,5 ^s ; M=3,3 (Zabrze); 3,1 (Racibórz); Byt. (GIG): 20 40 31,4	
	Cho. (SK)	Δ=14 km eP _Z i _{EZ} i _N e _{iB} e _{iZ} i _E I _m NEZ: 1,1 ^s ; 2,1μ, 4,1μ, 2,1μ	15 10 26,0 29,0 30,0 30,9 32,0 33,0 35		Cho. (SK)	Δ=13 km eiP _{EZ} ei _N iS _Z I _m NEZ: 1,2 ^s ; 5,8μ, 6,3μ, 6,6μ	20 40 33,4 D 34,2 35,2 42 42 00
		I _m N: 0,9 ^s ; 2,5μ	41		Rac. (SK)	Δ=58 km ePg _{NZ} e _B e _{NZ} eSg _E e _N e _{NZ} e _E e _{NZ} e _N e _{RZ} e _{NZ} I _m Z: 1,7 ^s ; 0,3μ	20 40 40,0 41,0 45,5 47,5 53,7 56,6 41 03,5 06,8 23,3 28,6 40 NEZ: 1,6 ^s ; 0,6μ, 0,7μ, 1,2μ
	Rac. (SK)	Δ=51 km e _{NEZ} e _Z e _N e _E e _{NZ} e _N e _{RZ} e _{NZ} I _m F	15 10 39,7 47,1 48,7 51,2 54,2 11 03,1 07,7 23,6 33 13			F	45
	Kra. (Ch)	Δ=85 km ePg _{NE} , ePg _Z e _Z e _N eSg _N , eSg _Z e _{iZ} I _m NEZ: 1,3 ^s ; 0,11μ, 0,08μ, 0,06μ	15 10 38,1 41,1 43,6 48,7 53,1 11 22		Kra. (Ch)	Δ=82 km iPg _{NEZ} e _{NEZ}	20 40 45,0 58
					Nd _z . (SK)	Δ=145 km ePg _{NE} , ePg _Z e _Z e _{NE} e _Z e _N	20 40 55,8 41 04,4 16,1 17,3 24,6

- 103 -

Dates	Station	Phases	G.M.T. h m s	Dates	Station	Phases	G.M.T. h m s
2.II (suite)	Ndz. (SK)	e _Z e _B	20 41 31,9 35,1	2.II	Cho. (SK)	iP _{NZ} , eiP _B iS _{EZ} Lm	21 50 59,1 D 51 01,5 06
2.II		$\psi = 50^{\circ} 21'$; $\lambda = 18^{\circ} 52'$; $H = 20^{\text{h}} 55^{\text{m}} 55^{\text{s}}$; M=3,3 (Zabrze); Byt. (GIG): 20 55 57,6; Dąb. (GIG): 20 55 59,9				RZ: 0,8 ^S ; 2,0 μ , 2,0 μ Lm N: 1,0 ^S ; 2,0 μ P	11 37
	Cho. (SK)	$\Delta = 10$ km 1P _{NEZ} i _Z Im EZ: 0,9 ^S ; 12,0 μ , 10,0 μ Lm	20 55 57,6 C 58,0 56 04 05 N: 1,0 ^S ; 10,0 μ P 57 00		Rac. (SK)	e _Z e _Z e _Z P	21 51 08 32 48 54
	Rac. (SK)	$\Delta = 56$ km ePg _{NEZ} eSg _{NEZ} e _N e _{EZ} e _Z e _N e _B e _{EZ} Im	20 56 05,0 12,6 17,8 19,7 26,5 35,8 45,0 55,9 57 02 Z: 1,5 ^S ; 0,5 μ P 59	3.II	Kra. (Ch)	e _{NEZ} e _{NEZ}	21 51 12 32
					Cho. (SK)	$H = 23^{\text{h}} 08^{\text{m}} 41,5^{\text{s}}$ $\Delta = 17$ km eP _{NEZ} eS _{EZ} Lm	23 08 44,5 46,7 54
							NEZ: 1,2 ^S ; 0,5 μ , 0,8 μ , 0,6 μ
						P	09 02
	Kra. (Ch)	$\Delta = 82$ km ePg _{EZ} eiPg _N i _N eiSg _{EZ}	20 56 09,4 09,7 19,2 19,7	4.II	Kra. (Ch)	ePg _{NEZ} eSg _{NEZ} e _{NEZ}	23 08 51 58 09 10
	Ndz. (SK)	$\Delta = 140$ km ePg _{NEZ} eSg _{NE} e _Z e _N e _Z e _Z	20 56 19,7 37,5 39,4 44,6 45,2 57 01,6		Cho. (SK)	ePg _Z e _E e _{NEZ} Im	02 19 21,9 22,6 25,1 30
							RZ: 1,2 ^S ; 1,0 μ , 1,0 μ
						Im	32
						N: 1,0 ^S ; 1,0 μ	
						P	47
2.II	Cho. (SK)	$H = 21^{\text{h}} 50^{\text{m}} 56^{\text{s}}$ $\Delta = 15$ km			Kra. (Ch)	Traces e _{NEZ}	02 19 37

- 104 -

Dates	Station	Phases	G.M.T. h m s	Dates	Station	Phases	G.M.T. h m s
8.II	Cho. (SK)	ePg _Z e _E e _N e _{NZ} Lm NEZ: 1,1 ^s ; 1,0μ, 2,0μ, 1,7μ F	20 46 10,8 11,5 12,5 14,7 22 57	9.II	Ndz. (SK)	Δ=133 km ePg _{EZ} e _{NEZ} e _{NEZ} H=18 ^h 33 ^m 05 ^s Cho. (SK)	10 05 11,4 32,1 38,6 Δ=6 km eIP _E , iP _{NZ} iS _Z Lm NEZ: 0,9 ^s ; 2,0μ, 2,5μ, 3,5μ F
Kra. (Ch)	ePg _{NEZ} e _{NEZ} e _Z	20 46 17,5 24,5 32	Rac. (SK)	Traces e _Z F	20 46 42 48	Kra. (Ch)	Δ=77 km ePg _Z eSg _N , eiSg _Z e _Z e _N
24,5 32	20 46 42 48	18 33 06,3 D 07,3 08	18 33 17,9 28,1 29,8 39,3				
9.II	Cho. (SK)	Δ=4 km eIP _N , iP _{EZ} iS _Z Lm Z: 1,0 ^s ; 6,0μ Im NR: 0,8 ^s ; 6,0μ, 5,0μ F	10 04 48,9 D 49,7 51 52 05 38	10.II	Cho. (SK)	H=10 ^h 04 ^m 48 ^s ; M=3,0 (Zabrze); Byt. (GIG): 10 04 50,7 Δ=4 km eP _{EZ} e _N eS _E , eiS _Z ei _N Lm NEZ: 0,8 ^s ; 1,5μ, 1,5μ, 1,7μ F	10 04 53,8 54,3 54,8 55,3 57 05 00 10
10 04 48,9 D 49,7 51 52 05 38	10 04 53,8 54,3 54,8 55,3 57 05 00 10						
Rac. (SK)	Δ=57 km ePg _{EZ} e _Z e _{NEZ} e _E F	10 04 58 05 17 27 36 08	Kra. (Ch)	Δ=70 km ePg _Z e _{NZ} e _{NZ}	05 00 05 11,5 36,5		
10 04 58 05 17 27 36 08	05 00 05 11,5 36,5						
Kra. (Ch)	Δ=76 km ePg _{NEZ} eiSg _N e _Z e _N Lm NEZ: 1,3 ^s ; 0,07μ, 0,06μ, 0,06μ	10 05 01,7 11,3 12,2 16,7 40	10.II	Cho. (SK)	φ=50°17'; λ=19°14'; H=22 ^h 19 ^m 47 ^s ; M=2,5 (Zabrze) Δ=18 km eP _{NEZ} i _N e _Z iS _Z Lm NEZ: 1,2 ^s ; 1,7μ, 2,6μ, 1,6μ F	22 19 51,0 51,7 52,3 53,5 20 00 30	
10 05 01,7 11,3 12,2 16,7 40	22 19 51,0 51,7 52,3 53,5 20 00 30						

- 105 -

Dates	Station	Phases	G.M.T. h m s	Dates	Station	Phases	G.M.T. h m s
10.II (suite)	Kra. (Ch)	$\Delta=56$ km ePg_{NEZ}	22 19 56,6	11.II	Rac. (SK)	$\Delta=57$ km ePg_{NEZ}	19 53 57
		e_N	20 02,7			e_{NEZ}	54 03
		iSg_{NZ}	04,1			e_Z	31
		e_Z	10,1			l_m	58
		e_N	11,0			E: 1,5 ^S ; 0,3 μ	
		l_m	30			F	57
		NZ: 1,3 ^S ; 0,08 μ , 0,07 μ		Kra.	$\Delta=77$ km		
	Rac. (SK)	$\Delta=78$ km $e(Sg)_{NZ}$	22 20 09,6		(Ch)	ePg_{NEZ}	19 54(00)
		e_Z	20			e_N	05,8
		e_Z	24			iSg_N	10,3
		e_N	33			i_Z	11,7
		F	23			ei_Z	16,7
	Ndz. (SK)	$\Delta=130$ km ePg_{NEZ}	22 20 09,0			e_N	18,6
		$e(Sg)_{NEZ}$	26,6			l_m	45
		N: 1,2 ^S ; 0,06 μ		Zab. (GIG):	20 46 57,0		
11.II		H=03 ^h 57 ^m 43,3 ^S ; Byt. (GIG): 03 57 46,2		Cho. (SK)	ePg_{NEZ}	20 46 58,0	C
	Cho. (SK)	$\Delta=12$ km ePg_N , ePg_{EZ}	03 57 46,0 D		i_{NZ}	59,0	
		iSg_{NZ}	48,0		i_Z	47 00,2	
		i_E	48,8		l_m	03	
		l_m	53		NEZ: 1,0 ^S ; 4,5 μ , 3,5 μ , 2,5 μ		
		NEZ: 1,0 ^S ; 2,0 μ , 2,0 μ , 2,0 μ			F	22	
			58 14	Kra. (Ch)			
	Kra. (Ch)	$\Delta=80$ km ePg_Z	03 57 57,5		e_Z	20 47 11,5	
		e_{NZ}	58 09		e_N	20,5	
		e_{NEZ}	39		e_{NZ}	23	
11.II		H=19 ^h 53 ^m 47 ^S ; Byt. (GIG): 19 53 49,4				e_{NZ}	45,5
	Cho. (SK)	$\Delta=6$ km ePg_N , iPg_{EZ}	19 53 48,3 D	13.II	H=00 ^h 11 ^m 57,5 ^S ; Zab. (GIG): 00 12 00,8		
		iSg_N , iSg_{EZ}	49,2	Cho. (SK)	$\Delta=5$ km iPg_{EZ}	00 11 58,6	D
		i_Z	54,0		eis_{NZ}	59,3	
		l_m	55		i_{NZ}	59,9	
		EZ: 1,0 ^S ; 4,0 μ , 2,5 μ			l_m	12 03	
		l_m	59		NEZ: 0,9 ^S ; 4,6 μ , 3,2 μ , 1,9 μ		
		N: 0,8 ^S ; 3,7 μ			F	26	
		F	54 40	Kra. (Ch)	e_{wz}	00 12 12	

- 106 -

Dates	Station	Phases	G.M.T. h m s	Dates	Station	Phases	G.M.T. h m s
13.II (suite)	Kra.	e _N	00 12 21	17.II	Ndz. (SK)	Δ=130 km ePg _{NEZ} eSg _{NEZ}	10 59 51 11 00 08
		e _{NZ}	23,5				
		e _{NZ}	26,5				
		e _{NZ}	30	19.II		H=14 ^h 46 ^m 21,5 ^s	
14.II		H=23 ^h 54 ^m 05 ^s			Cho. (SK)	Δ=14 km iP _Z ei _{NB}	14 46 24,5 25,1
	Cho. (SK)	Δ=13 km eP _N , eiP _{BZ} iS _{NEZ} Lm	23 54 07,8 D 09,9 13			eS _{NZ} i _{NEZ} Lm	26,8 28,0 31
		NEZ: 1,0 ^s ; 1,7<μ, 2,0<μ, 1,4<μ				RZ: 1,0 ^s ; 1,5<μ, 1,5<μ	
		P	33			Lm	.38
	Kra. (Ch)	Δ=80 km ePg _{NZ} e _{NZ}	23 54 19 28			N: 0,8 ^s ; 1,2<μ	
17.II						P	47 15 .
		ψ=50°14'; λ=19°04' ; H=10 ^h 59 ^m 27,5 ^s ; M=2,4			Kra. (Ch)		14 46 34 41
		(Bytom); 2,6 (Zabrze); 2,2 (Dąbrowa Górska);			Rac. (SK)		14 46 59 47 07
		Zab. (GIG): 10 59 32,4; Byt. (GIG): 10 59 32,7;					17
		Dąb. (GIG): 10 59 32,9					49
	Cho. (SK)	Δ=8 km eP _{NE} , iP _Z i _N iS _{NZ} Lm	10 59 29,2 D 29,6 30,4 35	19.II		H=23 ^h 21 ^m 38 ^s ; Byt. (GIG): 23 21 41,3	
		NEZ: 0,8 ^s ; 5,5<μ, 3,5<μ, 5,5<μ			Cho. (SK)	Δ=17 km eiP _Z	23 21 42,2 43,0
		P	11 00 18			e _{NEZ} iS _{NZ} Lm	44,9 .49
	Kra. (Ch)	Δ=65 km ei(Sg) _{NZ} e _{NZ} e _N	10 59 48,5 57,5 11 00 05			Z: 0,8 ^s ; 1,5<μ	
	Rac. (SK)	Δ=66 km e _{NE} e _{NZ} e _Z e _Z	10 59 55,5 11 00 01 10 22		Kra. (Ch)	Δ=84 km ePg _{NEZ} e _{NZ} e _N eiSg _Z Lm	22 14 23 21 54, 56, 22 04, 05, 39
		P	03			NZ: 1,3 ^s ; 0,08<μ, 0,10<μ	

- 107 -

Dates	Station	Phases	G.M.T. h m s	Dates	Station	Phases	G.M.T. h m s
19.II (suite)	Rac. (SK)	e _{NZ} e _E e _{NZ} e _Z Lm	23 22 03,9 10 11 15 52	20.II	Cho. (SK)	Δ=22 km eP _{NEZ} eIS _{EZ} eIN iE eIZ Lm	18 54 26,6 29,9 30,6 31,6 33,6 36
		NZ: 1,7 ^S ; 0,2μ, 0,3μ F	00 05			EZ: 1,0 ^S ; 1,7μ, 1,5μ Lm	37
	Ndz. (SK)	Δ=144 km ePg _{EZ} e _Z	23 22 04,3 24,5			N: 0,7 ^S ; 1,5μ F	58
20.II		H=12 ^h 20 ^m 45,5 ^s ; M=2,6 (Bytom); Byt.: 12 20 49,1			Ndz. (SK)	Δ=134 km ePg _{NEZ} e _{NEZ}	18 54 45,5 55 04
	Cho. (SK)	Δ=12 km eP _{NEZ} eIS _{NEZ} iZ Lm	12 20 48,1 50,1 54,6 55	22.II		φ=50°15'; λ=18°52'; H=00 ^h 49 ^m 40,5 ^s ; M=2,7 (Racibórz); Zab. (GIG): 00 49 41,2; Byt. 00 49 42,4	
		NZ: 1,2 ^S ; 1,5μ, 2,5μ Lm	56		Cho. (SK)	Δ=10 km iP _{NZ} eS _Z Lm	00 49 42,8 0 44,6 50
		E: 1,0 ^S ; 4,0μ F	21 48			Z: 1,4 ^S ; 3,0μ F	50 47
	Rac. (SK)	e _E e _N e _Z e _N e _Z Lm	12 21 00,0 07 09 13 17 55		Rac. (SK)	Δ=51 km ePg _Z eSg _{NEZ} eN eEZ eZ eZ eN Lm	00 49 50,6 57,2 50 04,0 05,5 09,5 18,0 20,0 50
		EZ: 1,8 ^S ; 0,5μ, 0,6μ F	25			NEZ: 1,5 ^S ; 0,4μ, 0,4μ, 0,2μ F	52,3
	Kra. (Ch)	Δ=82 km ePg _Z e _N e _{NZ}	12 21 00 12 58		Kra. (Ch)	Δ=78 km eiPg _{NZ} iZ iN iSg _{NZ}	00 49 55,5 57,2 58,4 50 05,5
	Ndz. (SK)	Δ=142 km ePg _{EZ} e _{NEZ}	12 21 10,5 30,5				
20.II		H=18 ^h 54 ^m 22 ^s ; Byt. (GIG): 12 21 20,7					

Dates	Station	Phases	G.M.T. h m s	Dates	Station	Phases	G.M.T. h m s
9.III (suite)	Cho. (SK)	iP _{NZ} i _E iS _Z Im	08 59 40,7 D 41,1 42,6 46	10.III	Kra. (Ch)	ePg _{EZ} e _N eSg _{EZ} e _N	12 37 27 35,5 37 52
		Z: 1,0 ^S ; 12,5 μ F	09 00 58	10.III		H=16 ^h 07 ^m 17 ^s ; Zab. (GIG): 16 07 22,4; Byt. (GIG): 16 07 25,5	
	Kra. (Ch)	Δ=65 km eiPg _{NEZ} e _Z eisg _{NE} i _Z Im	08 59 50,5 57,6 58,6 09 00 03,8 20		Cho. (SK)	Δ=10 km 1P _{NEZ} iS _{BZ} Im	16 07 19,3 D 21,0 24
		NEZ: 1,1 ^S ; 0,07 μ , 0,08 μ , 0,07 μ				NEZ: 1,0 ^S ; 3,0 μ , 3,5 μ , 2,5 μ	
	Rac. (SK)	Δ=66 km e _{EZ} e _N e _E e _Z e _N e _{EZ} e _Z e _E Im	08 59 54 09 00 00 02 05 11 14 16 22 40		Rac. (SK)	Traces Z	48 16 07-10
		NRZ: 1,6 ^S ; 0,6 μ , 0,5 μ , 0,6 μ	03	14.III		H=13 ^h 57 ^m 00,5 ^s ; Dab. (GIG): 13 57 01,4	
	Ndz. (SK)	Δ=134 km ePg _{NEZ} eSg _{NEZ}	09 00 02 19,5		Cho. (SK)	Δ=20 km eP _Z e _E e _N eS _Z e _{NE} Im	13 57 04,6 05,3 06,0 07,6 08,6 16
10.III		H=12 ^h 37 ^m 13,5 ^s ; Byt. (GIG): 12 37 14,5				EZ: 1,1 ^S , 1,8 μ , 1,4 μ , Im	
	Cho. (SK)	Δ=6 km iP _{NEZ} iS _Z Im	12 37 15,2 D 16,5 20			N: 1,0 ^S ; 1,0 μ	
		NRZ: 0,8 ^S ; 9,0 μ , 6,0 μ , 8,5 μ		14.III		F	40
		F	58		Kra. (Ch)	Δ=60 km ePg _{NEZ} e _{NEZ}	13 57 11 18 31
	Kra.	Δ=75 km				Byt. (GIG): 15 24 41,3; Zab. (GIG): 15 24 42,2	
					Cho. (SK)	iP _Z i _{NE}	15 24 42,7 D 43,1

Dates	Station	Phases	G.M.T. h m s	Dates	Station	Phases	G.M.T. h m s
14.III (suite)	Cho. (SK)	I _m EZ: 1,0 ^s ; 2,8μ, 1,9μ I _m N: 1,0 ^s ; 3,2μ F	15 24 50 55 25 20	16.III	Rac. (SK)	I _m NE: 1,6 ^s ; 1,8 ^s ; 0,5μ, 0,6μ F	20 40 35 42
	Kra. (Ch)	ePg _{NEZ} e _N e _{NZ}	15 24 55 25 05 14	17.III		H=08 ^h 54 ^m 17 ^s ; Zab.: 08 54 20,1, Byt.: 08 54 20,4	
16.III		φ=50°14'; λ=19°04'; H=20 ^h 39 ^m 17 ^s ; M=3,0 (Raci- bórz); Dab. (GIG): 20 39 19,0, Byt. (GIG): 20 39 19,9, Zab. (GIG): 20 39 21,0			Cho. (SK)	Δ=3 km iP _{NEZ} I _m NEZ: 0,8 ^s ; 4,5μ, 5,0μ, 9,0μ F	08 54 17,9 C 24 NEZ: 0,7 ^s ; 5,0μ, 5,0μ, 6,0μ F 55 23
	Cho. (SK)	Δ=8 km iP _{NEZ} I _m NEZ: 0,8 ^s ; 4,5μ, 5,0μ, 9,0μ F	20 39 18,6 D 23 40 10		Kra. (Ch)	Δ=73 km, E inactive iPg _{NZ} ei _N i _Z iSg _{NZ} i _Z I _m NZ: 1,3 ^s ; 0,20μ, 0,21μ	08 54 30,3 33,8 38,6 40,1 45,0 55 09
	Kra. (Ch)	Δ=66 km ePg _{NEZ} ei _Z eisg _{NEZ} i _Z ei _Z I _m N: 1,3 ^s ; 0,20μ	20 39 28,6 32,7 37,1 40,6 45,5 40 05		Ndz. (SK)	Δ=138 km ePg _N , eiPg _E eSg _{NE} e _E	08 54 41,0 58,5 55 09,7
	Rac. (SK)	Δ=66 km ePg _Z e _{EZ} e _{EZ} eSg _{NEZ} e _Z e _E e _Z e _{EZ} I _m EZ: 1,6 ^s ; 1,4 ^s ; 0,7μ, 0,6μ	20 39 28,7 32 34 36,7 42 40 04 08 12 24 EZ: 1,6 ^s ; 1,4 ^s ; 0,7μ, 0,6μ	20.III	Zab. (GIG): 16 46 32,0 Cho. (SK)		16 45 34,7 D 35,3 37,7 44 NEZ: 1,0 ^s ; 1,5μ, 3,5μ, 1,7μ F 46 34
					Kra. (SK)	ePg _{NE} , eiPg _Z e _{NEZ}	16 45 47 57
				22.III		φ=50°16'; λ=18°54'; H=19 ^h 28 ^m 56 ^s ; M=2,8 (Bytom); 3,1 (Zabrze); 2,9 (Dąbrowa	

- 112 -

Dates	Station	Phases	G.M.T. h m s	Dates	Station	Phases	G.M.T. h m s
22.III (suite)		Górnica; Zab. (GIG): 19 28 57,1; Byt. (GIG): 19 28 57,5; Dąb. (GIG): 19 29 03,7		22.III	Ndz. (SK)	e _{NEZ} e _{NEZ}	19 29 22 35
Cho. (SK)	Δ=6 km 1P _{NZ} 1S _Z Lm	19 28 57,5 C 58,5 29 01 NZ: 0,9 ^S ; 3,0μ, 3,0μ F	30 15	22.III	Zab. (GIG): Cho. (SK)	21 38 36,2 1P _{NZ} Lm NZ: 0,7 ^S ; 1,5μ, 2,5μ F	21 38 35,7 39 39 01
Rac. (SK)	Δ=56 km ePg _{NEZ} e _E e _{BZ} e _N e _Z e _Z e _B e _N e _{BZ} F	19 29 05,4 10,8 14,6 17,3 20,8 25,1 27,7 36,8 42,0 32		Kra. (Ch)	e _{NEZ} e _{NEZ}	21 38 47,5 57,5	
Kra. (Ch)	Δ=77 km e1Pg _{NEZ} e _{NEZ} e _{NEZ}	19 29 08,6 19 43,6	30.III		H=21 ^h 40 ^m 11,5 ^s ; Zab. (GIG): 21 40 12,1; Byt.(GIG): 21 40 14,5		
Ndz. (SK)	Δ=140 km ePg _{NEZ}	19 29(17)		Cho. (SK)	Δ=16 km eP _{EZ} e _N eS _{EZ} Lm	21 40 14,9 15,4 17,4 23	
						NEZ: 1,0 ^S ; 1,3μ, 1,0μ, 0,9μ	
1961		A V R I L				F	30
			1961				

- 113 -

Dates	Station	Phases	G.M.T. h m s	Dates	Station	Phases	G.M.T. h m s
5.IV		φ=50°17'; λ=19°14'; H=18 ^h 30 ^m 19 ^s ; M=3,3 (Bytom); Byt.: 18 30 28,1		6.IV	Rac. (SK)	Δ=55 km ePg _E eSg _E e _{EZ} e _E e _{EZ} Lm EZ: 1,5 ^S ; 0,2μ, 0,2μ F	07 31 26,1 34,2 46,1 53,0 32 10,4 28 34
					Cho. (SK)	Δ=18 km eP _{EZ} e _N eiS _{EZ} iZ Lm NEZ: 1,0 ^S ; 2,0μ, 3,4μ, 2,5μ	
						F	31 08
					Kra. (Ch)	Δ=56 km e1Pg _{NEZ} e _E 1S _G _N , eSg _E e _Z eiZ Lm NEZ: 1,1 ^S ; 0,08μ, 0,08μ, 0,07μ	07 31 30,3 32,4 40,7 41,0 41,5 45,6 32 15 NEZ: 1,3 ^S ; 0,11μ, 0,12μ, 0,14μ
					Rac. (SK)	Δ=78 km e _{EZ} eSg _E e _E e _Z F	18 30 37,0 43,1 51,4 52,6 33
					Ndz. (SK)	Δ=130 km ePg _{NEZ} e _{NEZ}	18 30 41 31 00
					6.IV	φ=50°22'; λ=18°50'; H=07 ^h 31 ^m 15 ^s ; M=2,7 (Bytom); 2,5 (Zabrze); Zab. (GIG): 07 31 15,4, Byt. (GIG): 07 31 16,3	
					Cho. (SK)	Δ=13 km eP _{NEZ} 1S _Z Lm NEZ: 0,9 ^S ; 1,5μ, 1,5μ, 2,0μ	07 31(16) 20,2 28 32 05
					Kra. (Ch)	Δ=63 km ePg _{NEZ} e _{NEZ} e _{NEZ}	14 11 33 40 55
					7.IV	φ=50°21'; λ=18°52'; H=13 ^h 57 ^m 58 ^s ; M=2,5 (Bytom); 2,7 (Zabrze); Byt.: 13 57 59,0, Zab. (GIG): 13 57 59,7	
					Cho. (SK)	Δ=10 km iP _{NEZ} iZ	13 58 01,1 C 02,0

- 114 -

Dates	Station	Phases	G.M.T. h m s	Dates	Station	Phases	G.M.T. h m s
7.IV (suite)	Cho. (SK)	i(S) _Z Lm NEZ: 1,0 ^S ; 4,0μ, 5,0μ, 3,4μ F	13 58 03,4 08 40	10.IV	Cho. (SK)	Lm NE: 1,0 ^S ; 0,9μ, 1,0μ F	10 38 52 39 10
Rac.	Δ=57 km (SK)	Δ=57 km e _Z eSg _Z e _E e _{NZ} e _E F	13 58 10,0 16,7 23,9 30,9 36,0 14 00	Kra. (Ch)	Δ=54 km ePg _{NZ} e _{NZ} e _{NEZ}	ePg _{NZ} e _{NZ} e _{NEZ}	10 38 48 39 04 14
Kra.	Δ=82 km (Ch)	Δ=82 km ePg _{NEZ} e _{NEZ} e _{NEZ}	13 58 13 20 54	12.IV		φ=50°19'; λ=18°52'; H=15 ^h 11 ^m 49,5 ^s ; M=3,2 (Racibórz); Byt. (GIG): 15 11 51,1	
Ndz.	Δ=143 km (SK)	Δ=143 km ePg _{NEZ} e _{NEZ}	13 58 23 59 00	Cho. (SK)	Δ=9 km iP _{NEZ} iS _{EZ} i _Z Lm	iP _{NEZ} iS _{EZ} i _Z Lm	15 11 52,0 D 53,4 54,2 12 03
10.IV	Byt. (GIG): 04 48 17,1 Cho. (SK)	Byt. (GIG): 04 48 17,1 iP _{NZ} , eP _E Lm NEZ: 1,0 ^S ; 4,5μ, 5,5μ, 4,0μ F	04 48 12,2 16 49 03	Rac. (SK)	Δ=54 km ePg _{NZ} e _{NEZ} e _E e _Z e _{NE} e _{NEZ} Lm	ePg _{NZ} e _{NEZ} e _E e _Z e _{NE} e _{NEZ} Lm	15 11 59,0 12 07,4 10,5 13,5 15,2 21,1 26
Kra.	(Ch)	ePg _{NEZ} e _{NEZ} e _{NEZ}	04 48 21 31 49			Z: 1,4 ^S ; 0,8μ Lm NE: 1,2 ^S ; 0,3μ, 0,6μ Lm	30 13 02
10.IV	Cho. (SK)	H=10 ^h 38 ^m 38,5 ^s Δ=17 km eP _{NEZ} eS _{EZ} i _N e _I _Z Lm Z: 1,0 ^S ; 0,7μ	10 38 42,3 45,0 45,9 46,4 51	Kra. (Ch)	Δ=81 km ePg _{NEZ} e _E i _Z ePg _{NE} , iSg _Z	ePg _{NEZ} e _E i _Z ePg _{NE} , iSg _Z	15 12 03,8 09,2 10,6 14,1

- 115 -

Dates	Station	Phases	G.M.T. h m s	Dates	Station	Phases	G.M.T. h m s
12.IV (suite)	Kra. (Ch)	i _Z ei _Z Lm NEZ: 1,3 ^S ; 0,26μ, 0,23μ 0,28μ	15 12 20,0 26,7 50 Z: 1,3 ^S ; 0,26μ, 0,23μ 0,28μ	14.IV (SK)	Rac. ePg _{BZ} eSg _{NEZ} e _{NEZ} e _Z Lm Z: 1,3 ^S ; 0,1μ F	Δ=61 km 23 00 27,4 35,7 50,0 01 03,1 30 Z: 1,3 ^S ; 0,1μ 03	
13.IV	Cho. (CK)	Δ=6 km eP _{BZ} eS _{NEZ} Lm NEZ: 1,2 ^S ; 0,8μ, 1,4μ, 0,9μ F	03 44 14,2 15,4 22 NEZ: 1,2 ^S ; 0,8μ, 1,4μ, 0,9μ 37	Kra. (Ch)	Δ=76 km ePg _{NEZ} e _{NZ} eSg _N , eSg _Z e _E e _{iN} e _Z Lm	23 00 29,8 34,4 40,0 40,4 42,4 47,6 01 09 NEZ: 1,2 ^S ; 0,04μ, 0,06μ, 0,05μ	
	Kra. (Ch)	Δ=70 km. Traces eSg _{NEZ} e _{NEZ}	03 44 34 37	14.IV	H=11 ^h 15 ^m 46 ^s ; Byt. (GIG): 11 15 48,8	15.IV	φ=50°21'; λ=18°56'; H=01 ^h 50 ^m 00,5 ^s ; M=2,4 (Bytom, Zabrze); Byt.: 01 50 01,4; Zab. (GIG): 01 50 01,7
	Cho. (SK)	Δ=4 km eP _N , iP _{BZ} iS _Z Lm NEZ: 1,0 ^S ; 2,0μ, 3,0μ, 2,5μ F	11 15 47,5 48,5 50 NEZ: 1,0 ^S ; 2,0μ, 3,0μ, 2,5μ 16 30	Cho. (SK)	Δ=7 km eP _{NE} , iP _Z eS _Z e _{iNE} Lm NEZ: 1,2 ^S ; 2,4μ, 3,2μ, 2,5μ F	01 50 02,2 C 03,4 05,3 09 57	
	Kra. (Ch)	Δ=74 km ePg _{NEZ} e _{NEZ} e _{NEZ}	11 15 59 16 04 10	Rac. (SK)	Δ=60 km ePg _Z e _{NEZ} e _{NEZ} e _{NZ} Lm	01 50 11,1 19,7 28,9 37,5 51 15 Z: 1,5 ^S ; 0,2μ F	
14.IV	Cho. (SK)	H=23 ^h 00 ^m 16,0 ^s ; Zab. (GIG): 23 00 16,1; Byt. (GIG): 23 00 17,8	23 00 17,0 D 17,8 20 NEZ: 1,0 ^S ; 4,5μ, 9,0μ, 4,5μ F	Kra. (Ch)	Δ=78 km ePg _{NEZ} e _N e _Z	01 50 15,2 17,3 18,4	

- 116 -

Dates	Station	Phases	G.M.T. h m s	Dates	Station	Phases	G.M.T. h m s
15.IV (suite)	Kra. (Ch)	eSg _N e _E e _N , e _{iZ} e _E e _N Im	01 50 25,4 26,0 26,5 30,1 31,9 58	18.IV (SK)	Cho. (SK)	eP _{NE} e _Z iS _N ei _Z e _{NZ} i _{EZ} Im	08 45 42,4 43,1 43,9 44,6 46,4 48,4 50
		NEZ: 1,3 ^S ; 0,10 μ , 0,09 μ , 0,13 μ				NEZ: 1,2 ^S ; 1,0 μ , 2,0 μ , 1,2 μ	
17.IV	Byt. (GIG):	13 40 49,0			F		46 07
	Cho.	eP _{NEZ} e _N , i _{EZ} Im	13 40 49,4 55,4 56		Rac. (SK)	Traces e _{EZ} F	08 46 10 48
		EZ: 1,0 ^S ; 0,7 μ , 0,7 μ		18.IV	Cho. (SK)	H=13 ^h 10 ^m 44 ^s Δ =6 km iP _Z iP _E e _Z i _N i _Z Im	13 10 45,6 45,8 46,4 46,8 47,6 50
	Kra. (Ch)	Traces e _Z e _{NZ} e _{NZ}	13 41 37 40 42 00			NEZ: 0,9 ^S ; 3,5 μ , 6,5 μ , 4,0 μ	
18.IV	H=03 ^h 25 ^m 57 ^s ; Byt. (GIG): 03 25 58,5; Zab. (GIG): 03 25 58,8				F		11 34
	Cho. (SK)	Δ =16 km eP _{EZ} eP _N eS _{NE} e _N e _{EZ} Im	03 25 00,4 00,6 02,9 03,8 05,6 09		Kra. (Ch)	e _{NEZ} e _{NEZ} e _{NEZ}	13 11 00 09,5 30
		NEZ: 1,2 ^S ; 0,5 μ , 1,5 μ , 0,8 μ			Rac. (SK)	Traces Z	13 11-15
		F	33	21.IV	Cho. (SK)	H=01 ^h 57 ^m 51 ^s Δ =3 km, N inactive eP _E , iP _Z eS _Z Im	01 57 51,8 52,5 57
	Rac. (SK)	Traces e _{EZ} F	03 25 24 27			Z: 0,7 ^S ; 2,0 μ Im	
18.IV	H=08 ^h 45 ^m 40 ^s ; Zab. (GIG): 08 45 41,0					E: 0,7 ^S ; 3,5 μ	
	Cho.	Δ =8 km			F		58 16
					Kra.	Traces	

- 117 -

Dates	Station	Phases	G.M.T. h m s	Dates	Station	Phases	G.M.T. h m s
21.IV (suite)	Kra. (Ch)	e _N e _N e _N	01 58 29 39 48	28.IV (SK)	Cho. is _{EZ} Lm	00 23 58,1 24 01 EZ: 0,8 ^s ; 3,5 μ , 4,5 μ	
23.IV		H=19 ^h 58 ^m 31 ^s ; Byt. (GIG): 19 58 34,0			Lm	04 N: 0,8 ^s ; 5,0 μ	
	Cho. (SK)	$\Delta=13$ km. Z inactive eP _{NE} eiS _E i _E i _N e _E Lm	19 58 34,1 36,3 37,1 37,8 39,3 42	Kra. (Ch)	$\Delta=70$ km ePg _{NEZ} ei _{NEZ} e _{NEZ}	00 24 09 19 37	
		B: 1,0 ^s ; 1,5 μ Lm N: 1,2 ^s ; 2,0 μ F	50 59 15	29.IV	H=13 ^h 19 ^m 00,5 ^s ; Zab. (GIG): 13 19 07,5		
	Rac. (SK)	$\Delta=55$ km ePg _{EZ} e _Z e _E e _Z F	19 58 41,0 46,5 48,0 57,7 20 01	Cho. (SK)	$\Delta=18$ km eiP _{EZ} ei _N is _{NEZ} i _{NE} Lm	13 19 04,4 C 05,0 07,2 08,2 15	
26.IV		H=02 ^h 10 ^m 08 ^s			BZ: 1,0 ^s ; 4,5 μ , 4,2 μ Lm N: 1,0 ^s ; 4,0 μ F	17 20 03	
	Cho. (SK)	$\Delta=17$ km, Z inactive eP _{NE} i _N eS _N i _N Lm	02 10 11,5 12,2 14,1 15,3 18	Kra. (Ch)	$\Delta=57$ km eiPg _{NEZ} ei _E i _N ei _N Lm	13 19 10,6 13.7 21,6 24,7 38	
		B: 1,0 ^s ; 1,7 μ F	44		NEZ: 1,2 ^s ; 0,15 μ , 0,10 μ , 0,16 μ		
	Kra. (Ch)	e _{NEZ} e _{NEZ} e _{NEZ}	02 10 28 40 54	Rac. (SK)	e _Z e _{EZ} e _{NE} e _Z F	13 19 13,0 20 49 54 22	
28.IV		H=00 ^h 23 ^m 56,5 ^s ; Zab. (GIG): 00 24 00,3		Ndz. (SK)	$\Delta=122$ km ePg _{NEZ} e _{NEZ}	13 19 22 41	
	Cho. (SK)	$\Delta=3$ km iP _{NZ} , eP _E	00 23 57,4	29.IV	H=14 ^h 38 ^m 15,5 ^s		

- 118 -

Dates	Station	Phases	G.M.T. h m s	Dates	Station	Phases	G.M.T. h m s	
29.IV (suite)	Cho. (SK)	$\Delta=20$ km eP_Z eS_E eI_Z e_E i_N Im EZ: 1,0 ^s ; 1,4 μ , 1,2 μ F		14 38 19,2 22,2 23,0 23,4 24,3 29 41	30.IV (SK)	Cho. eP_{EZ} e_N eI_N eI_Z Im NEZ: 1,0 ^s ; 1,5 μ , 2,0 μ , 2,0 μ F		16 03 28,1 28,7 32,2 32,6 38 55
Kra. (Ch)	$\Delta=55$ km ePg_{NEZ} eSg_N e_Z e_{NE} e_B e_Z		14 38 26,3 33,8 34,4 34,9 42,1 46,1	Kra. (Ch)	$eI Pg_{NEZ}$ eI_{NEZ} e_{NEZ} eI_{NEZ} e_{NEZ} Traces		16 03 34 43 46 56 04 09 16 03-05	
1961							1961	

M A I								
1.V		$H=03^h 35^m 19,2^s$	2.V		Im		16 01 46	
Cho. (SK)	$\Delta=6$ km iP_Z i_{NE} iS_E , eS_Z i_Z Im EZ: 1,0 ^s ; 6,0 μ , 3,0 μ Im N: 0,8 ^s ; 3,0 μ F			$N: 1,0^s; 7,5\mu$ F		02 17		
Kra. (Ch)	e_{NEZ} e_{NEZ} e_{NEZ}		Rac. (SK)	$\Delta=57$ km, N inactive e_Z e_Z e_Z e_Z e_Z F		16 02 02,3 04,3 05,8 10,0 17,3 05		
2.V	$\varphi=50^{\circ}21'$; $\lambda=18^{\circ}52'$ $H=16^h 01^m 33,6^s$; $M=2,9$ (Zabrze); Zab.: 16 01 34,0			Kra. (Ch)	$\Delta=82$ km $eI Pg_{NEZ}$ eI_N eI_N $eI Sg_{EZ}$ i_{NE} Im NE: 1,3 ^s ; 0,07 μ , 0,05 μ		16 01 48,2 50,9 52,9 57,5 58,8 02 03,9 25 NE: 1,3 ^s ; 0,07 μ , 0,05 μ	
Cho. (SK)	$\Delta=10$ km iP_{NEZ} iS_{NEZ} Im EZ: 1,0 ^s ; 6,0 μ , 3,5 μ		4.V		$H=13^h 46^m 50^s$; Byt. (GIG): 13 46 50,0			

- 119 -

Dates	Station	Phases	G.M.T. h m s	Dates	Station	Phases	G.M.T. h m s		
4.V (suite)	Cho. (SK)	iP_{NEZ} i_Z iS_N i_Z i_Z Im	13 46 51,7C 52,4 53,2 54,0 55,9 58	7.V		e_N e_B Lm NEZ: 1,3 ^s ; 0,15 μ , 0,11 μ , 0,11 μ	05 50 04,0 06,7 27		
				12.V		Zab. (GIG): 19 36 18,0, Byt. (GIG): 19 36 24,7			
				Cho. (SK)	iP_{NEZ} i_Z Lm		19 36 19,0 D		
							23,5 25		
				Kra. (Ch)	$eI Pg_{NEZ}$ eSg_{NEZ} e_{NEZ}	13 47 04 14 20	NEZ: 0,9 ^s ; 8,5 μ , 9,5 μ , 4,0 μ		
							37 04		
				Rac. (SK)	ePg_Z e_B e_{NE} e_B F		19 36 24,8 34,3 36,8 42,8 39		
				Cho. (SK)	$\Delta=14$ km eP_{NEZ} i_E iS_N , $eI S_Z$ e_Z Im	05 49 30,0 D 31,5 32,0 35,2 39	Kra. (Ch)	e_{NEZ} e_{NEZ} e_{NEZ}	19 36 36 46 53
				13.V		$H=21^h 32^m 57^s$; Byt. (GIG): 21 32 57,3			
				Cho. (SK)	$\Delta=10$ km eP_{NZ} iS_{NEZ} Im		21 32 59,3 33 01,0 07		
							NEZ: 1,3 ^s ; 0,9 μ , 1,0 μ , 1,0 μ		
							39		
				Rac. (SK)	$\Delta=47$ km ePg_{EZ} eSg_E e_Z e_Z F	05 49 36,3 42,3 48,3 54,3 53	Kra. (Ch)	e_{NEZ} e_{NEZ}	21 33 07 26,5
				Kra. (Ch)	$\Delta=84$ km ePg_{NEZ} e_{NE} $eI Sg_{NZ}$ eI_B	05 49 42,1 47,6 52,8 53,7	Rac. (SK)	eSg_Z e_Z F	21 33 17,0 32,0 35

- 120 -

Dates	Station	Phases	G.M.T. h m s	Dates	Station	Phases	G.M.T. h m s
14.V		$\varphi=50^{\circ}15'$; $\lambda=18^{\circ}50'$; $H=14^{\text{h}}54^{\text{m}}30^{\text{s}}$; $M=2,7$ (Raci- bórz); Zab. (GIG): 14 54 32,8		14.V		$H=16^{\text{h}}40^{\text{m}}16^{\text{s}}$; $M=2,6$ (Racibórz); Zab. (GIG): 16 40 17,3	
	Cho.	$\Delta=12$ km			Cho.	$\Delta=8$ km	
(SK)	iP _{NEZ}	14 54 32,7 D		(SK)	iP _{NEZ}	16 40 17,4 D	
	i _{EZ}	33,4			e _N	17,8	
	i _N	33,9			iS _{NEZ}	18,5	
	iS _Z	34,9			Lm	22	
	Lm	38					
		NEZ: 1,0 ^s ; 7,5 μ , 7,5 μ , 7,4 μ				NEZ: 1,0 ^s ; 2,0 μ , 3,0 μ , 2,0 μ	
	F	55 29			F	41 10	
Rac.	$\Delta=49$ km			Rac.	$\Delta=50$ km		
(SK)	ePg _{NZ}	14 54 38,8		(SK)	ePg _Z	16 40 24,7	
	e _{NZ}	42,6			e _{NEZ}	30,3	
	eSg _E	45,1			e _N	38,5	
	e _Z	49,6			e _Z	39,5	
	e _N	56,6			e _Z	46,1	
	e _Z	55 05,2			e _Z	41 03,0	
	e _E	14,6			Lm	24	
	e _N	26,6					
	Lm	44				Z: 1,8 ^s ; 0,1 μ	
		NEZ: 1,6 ^s ; 0,3 μ , 0,2 μ , 0,2 μ		Kra.	$\Delta=80$ km		
	F	58		(Ch)	ePg _{NEZ}	16 40 30,0	
Kra.	$\Delta=81$ km				e _Z	35,3	
(Ch)	ePg _{NEZ}	14 54 45,3			eisg _{NZ}	40,1	
	e _Z	47,3			e _E	41,1	
	e _{NE}	49,5			i _{NZ}	43,3	
	e _{NE}	53,3			i _Z	45,4	
	iS _{NEZ}	55,7			Lm	41 19	
	e _{NE}	57,5					
	i _E	59,6				NEZ: 1,0 ^s ; 0,05 μ , 0,03 μ 0,04 μ	
	i _Z	55 00,6		Ndz.	$\Delta=142$ km		
	Lm	23		(SK)	ePg _{NEZ}	16 40 41	
		NEZ: 1,2 ^s ; 0,19 μ , 0,09 μ , 0,14 μ			e _{NEZ}	46	
Ndz.	$\Delta=147$ km				e _{NEZ}	41 26,5	
(SK)	ePg _{NEZ}	14 54 56,4					
	e _{NEZ}	55 15		15.V		$H=07^{\text{h}}12^{\text{m}}33,7^{\text{s}}$	
				Cho.	$\Delta=5$ km		
				(SK)	ePg _{NE}	07 12 35,1	

- 121 -

Dates	Station	Phases	G.M.T. h m s	Dates	Station	Phases	G.M.T. h m s	
15.V (suite)	Cho. (SK)	eS _Z i _{EZ} Lm	07 12 36,1 37,1 39	18.V		$\varphi=50^{\circ}21'$; $\lambda=18^{\circ}52'$; $H=16^{\text{h}}46^{\text{m}}00^{\text{s}}$; $M=3,3$ (Raci- bórz); Byt. (GIG): 16 46 01,7; Zab. (GIG): 16 46 02,3		
					Kra. (Ch)	e _{NEZ} e _{NEZ}	07 12 59 13 10	
				17.V		$H=00^{\text{h}}45^{\text{m}}11,5^{\text{s}}$		
					Cho. (SK)	$\Delta=18$ km ePg _{EZ}	00 45 15,2	
						e _N eS _{NEZ} Lm	15,7 18,0 25	
							NEZ: 1,1 ^s ; 1,0 μ , 1,2 μ , 1,0 μ	
						F	45	
					Kra. (Ch)	e _{NEZ} e _{NEZ} e _{NEZ}	00 45 25 32 39	
				18.V	Cho. (SK)	ePg _{NE} , ePg _Z i _E , e _Z Lm	13 58 35,5 D 38,5 43	
							NEZ: 1,0 ^s ; 1,5 μ , 2,0 μ , 1,5 μ	
							Lm	47
							N: 0,8 ^s ; 2,0 μ	
						F	59 12	
					Kra. (Ch)	ePg _{NEZ} e _{NEZ} e _{NEZ}	13 58 46 55 59 06	
					Rac. (SK)	Traces e _{NEZ} F	13 59 12 14 01	
					Ndz. (SK)	$\Delta=143$ km ePg _N , ePg _{EZ} e _{NE} e(Sg) _Z e _N e _Z	16 46 26,6 44,1 45,9 50,8 52,2 47 04,1	

- 122 -

Dates	Station	Phases	G.M.T. h m s	Dates	Station	Phases	G.M.T. h m s
18.V		H=20 ^h 54 ^m 03,5 ^s ; Byt.(GIG): 20 54 07,5		24.V		φ=50°17'; λ=19°14'; H=18 ^h 16 ^m 28 ^s ; M=2,8 (Bytom); Byt. (GIG): 18 16 37,3	
Cho.	Δ=6 km			Cho.	Δ=18 km. La correction de l'horlage est incertaine.		
(SK)	eP _N , iP _{EZ}	20 54 05,0		(SK)	NEZ	00 32-33	
	eS _Z	06,2			S-P = 2,3 ^s		
	Lm	11			I _m -P = 7 ^s		
	NEZ: 0,8 ^s ; 1,5<μ>, 3,0<μ>,				NEZ: 1,0 ^s ; 1,0<μ>, 1,4<μ>,		
	1,5<μ>				1,3<μ>		
	F	34		Kra.	Δ=56 km		
Kra.				(Ch)	eP _{NEZ}	00 32 22	
(Ch)	e _{NEZ}	20 54 19			e _{NEZ}	34	
	e _{NEZ}	30		25.V	φ=50°23'; λ=18°51'; H=13 ^h 30 ^m 46,0 ^s ; M=2,5		
	e _{NEZ}	41			(Bytom); Byt.: 13 30 47,3		
Rac.	Traces			Cho.	Δ=14 km. La correction de l'horlage est incertaine		
(SK)	e _Z	20 54 33		(SK)	NEZ	13 31-32	
	e _Z	41			S-P = 2,0 ^s		
	F	57			I _m -P = 8 ^s et 13 ^s		
22.V		H=16 ^h 18 ^m 06 ^s			NEZ: 0,8 ^s ; 6,0<μ>, 4,5<μ>,		
Cho.	Δ=10 km				3,0<μ>		
(SK)	eP _{NEZ}	16 18 08,3		Rac.	Δ=57 km		
	iS _{NEZ}	10,1		(SK)	e _{NE}	13 30 59	
	Lm	13			e _{NE}	31 05,5	
	NEZ: 1,0 ^s ; 2,0<μ>, 2,0<μ>,				e _E	11	
	2,0<μ>				e _N	14	
	F	19 54			e _{EZ}	19	
Rac.	Traces				F	33	
(SK)	e _Z	16 18 35		Kra.	Δ=84 km		
	e _Z	41		(Ch)	eP _{NEZ}	13 31 00,5	
	F	20			e _N	03,2	
23.V	Cho.				e _Z	05,0	
(SK)	eP _{NEZ}	00 33(18)			eS _{GNZ}	11,3	
	iS _{EZ}	21,5			e _{iB}	12,0	
	e _N	22,8			i _Z	13,4	
	Lm	24			e _N	16,7	
	EZ: 0,9 ^s ; 1,4<μ>, 0,8<μ>				I _m	37	
	I _m	30			N: 1,3 ^s ; 0,09<μ>		
	N: 0,8 ^s ; 1,2<μ>			Nd _z .	Δ=145 km		
	F	50		(SK)	eP _Z	13 31 11,5	
Rac.	Traces				e _Z	32	
(SK)	EZ	00 33-35			e _N	41	
			25.V	Byt. (GIG): 00 32 09,1, Zab. (GIG): 00 32 09,6			

- 123 -

Dates	Station	Phases	G.M.T. h m s	Dates	Station	Phases	G.M.T. h m s
25.V (suite)	Cho. (SK)	Δ=14 km. La correction de l'horlage est incertaine		25.V		H=18 ^h 29 ^m 36 ^s ; Byt. (GIG): 18 29 38,0; Zab. (GIG): 18 29 38,2	
		NEZ	00 32-33				
		S-P = 2,3 ^s		Cho.	Δ=12 km. La correction de l'horlage est incertaine		
		I _m -P = 7 ^s			NEZ	18 29-31	
		NEZ: 1,0 ^s ; 1,0<μ>, 1,4<μ>,			S-P = 2,0 ^s		
		1,3<μ>			I _m -P = 8 ^s		
					EZ: 1,1 ^s ; 2,0<μ>, 1,0<μ>		
				Kra. (Ch)	Δ=83 km		
					eP _{NEZ}	18 29 51,0	
					e _Z	53,5	
					e _{NZ}	30 01,0	
					e _{iSg_E}	02,1	
					e _Z	04,2	
					I _m	37	
					NEZ: 1,3 ^s ; 0,07<μ>, 0,05<μ>,		
					0,04<μ>		
				Rac. (SK)	e _{NE}	18 29 58	
					e _Z	30 04	
					e _{NEZ}	14	
					F	33	
				Nd _z . (SK)	e _N	18 30 05	
					e _N	22	
				27.V	Byt. (GIG): 05 01 41,6		
				Kra. (Ch)	Δ=84 km		
					eP _{NEZ}	13 31 00,5	
					e _N	03,2	
					e _Z	05,0	
					e _{Sg_{NZ}}	11,3	
					e _{iB}	12,0	
					i _Z	13,4	
					e _N	16,7	
					I _m	37	
					N: 1,3 ^s ; 0,09<μ>		
				Nd _z . (SK)	Δ=145 km		
					eP _Z	13 31 11,5	
					e _Z	32	
					e _N	41	
				Cho.	Δ=5 km		

H=12^h21^m12,7^s; Byt. (GIG):
12 21 13,3

Dates	Station	Phases	G.M.T. h m s	Dates	Station	Phases	G.M.T. h m s
30.V (suite)	Cho. (SK)	iP _{NEZ} iS _E i _Z Lm	12 21 14,2 15,3 16,0 19	30.V (SK)	Cho. $\Delta=14$ km eP _Z eS _Z i _N Lm	15 34 35,1 37,4 37,9 45	NEZ: 1,0 ^S ; 4,0 μ , 5,0 μ , 3,0 μ
		F	53		F		35 16
	Kra. (Ch)	$\Delta=70$ km ePg _{NEZ} e _{NEZ}	12 21 25 35		Kra. (Ch)	e _{NEZ} e _{NEZ} e _{NEZ}	15 34 44 50 59
30.V		H=15 ^h 34 ^m 32 ^s					

1961 J U I N 1961

5.VI	H=00 ^h 30 ^m 16,5 ^s	10.VI	Kra. (Ch)	e _{NEZ} e _{NEZ}	22 18 35 54
	Cho. $\Delta=20$ km. N et E inactive eP _Z eS _Z Lm				
	00 30 20,6 23,8 29				
	Z: 1,0 ^S ; 0,9 μ				
	F				45
	Kra. $\Delta=58$ km ePg _{NEZ} eSg _{NEZ}				00 30 28 36
10.VI	H=22 ^h 18 ^m 10 ^s				
	Cho. $\Delta=15$ km eP _Z eP _E e _{NZ} e _B e _{iZ} Lm				
	22 18 13,4 13,6 14,6 18,9 20,4 23				
	EZ: 1,0 ^S ; 2,2 μ , 1,5 μ				
	I _m				26
	N: 1,0 ^S ; 1,4 μ				
	F				45
	Kra. $\Delta=60$ km ePg _{NEZ} eSg _{NEZ}				22 18 21 29

Dates	Station	Phases	G.M.T. h m s	Dates	Station	Phases	G.M.T. h m s
13.VI (suite)	Cho. (SK)	Lm	09 23 03	14.VI	Cho. (SK)	e _{NE} i _S _{NE} i _Z Lm	21 30 19,1 21,1 21,6 27
		NEZ: 1,0 ^S ; 1,5 μ , 2,5 μ , 1,7 μ				NEZ: 1,2 ^S ; 1,5 μ , 2,5 μ , 1,5 μ	
		F	43			F	31 00
	Rac. (M)	e(Pg) _Z e _Z e _Z F	09 23 06,7 17 30 26		Rac. (M)	Traces e _Z F	21 30 40,5 33
	Kra. (Ch)	ePg _{NEZ} e _{NEZ} e _{NEZ} e _{NEZ}	09 23 09 13,5 25 39,5		Ndz. (SK)	$\Delta=148$ km ePg _{EZ} e _{NEZ}	21 30 41 31 05
				15.VI		H=14 ^h 40 ^m 52 ^s ; Byt. (GIG): 14 40 53,9	
					Cho. (SK)	$\Delta=13$ km eP _{NE} , e1P _Z iS _{NEZ}	14 40 55,0 D 57,1
						i _Z e _Z i _E i _Z Lm	59,0 41 02,0 07
						NEZ: 1,0 ^S ; 2,0 μ , 2,5 μ , 2,0 μ	
						F	38
					Kra. (Ch)	e _{NEZ} e _{NEZ} e _{NEZ}	14 41 13 22 29
					Rac. (M)	e _Z e _Z e _Z e _Z F	14 41 28 43
				15.VI		H=21 ^h 36 ^m 01,5 ^s ; Zab. (GIG): 21 36 02,0; Byt. (GIG): 21 36 03,8	
					Ndz. (SK)	ePg _{NEZ} e _{NEZ}	
						54	
				14.VI		H=21 ^h 30 ^m 15 ^s ; Zab. (GIG): 21 30 16,8	
					Cho. (SK)	$\Delta=17$ km eP _Z	
						21 30 18,4	

- 126 -

Dates	Station	Phases	G.M.T. h m s	Dates	Station	Phases	G.M.T. h m s
15.VI (suite)	Rac. (SK)	Traces e _Z e _Z F	21 36 27 30 39	17.VI (Ch)	Kra. e _{NEZ} e _{NEZ} e _{NEZ}	14 19 24 31 42	
	Kra. (Ch)	Δ=85 km e _{Sg_{NEZ}} e _{NEZ}	21 36 27,5 41	21.VI		Φ=50°21'; λ=18°52'; H=04 ^h 05 ^m 31 ^s ; M=2,4 (Bytom); 2,6 (Zabrze); Byt. (GIG): 04 05 32,8; Zab. (GIG): 04 05 33,0	
16.VI		H=05 ^h 43 ^m 31,5 ^s ; Byt. (GIG): 05 43 35,2			Cho. (SK)	Δ=10 km i _{P_{NEZ}} i _Z i _{S_E} Lm	04 05 32,9 33,9 34,5 39
	Cho. (SK)	Δ=12 km e _{P_{NEZ}} e _{S_Z} Lm	05 43 34,2 36,2 43			NEZ: 1,2 ^s ; 1,0μ, 1,0μ, 0,9μ	04 05 32,9 33,9 34,5 39
		F	57			F	06 06
	Rac. (SK)	Traces e _Z	05 43-45		Rac. (SK)	Δ=57 km e _{Pg_Z}	04 05 40,6 42,3
	Kra. (Ch)	Traces e _{NEZ}	05 43 51			e _Z e _N e _{Sg_Z} e _{EZ} e _{NEZ}	45,3 48,3 52,3 06 03 09
16.VI		H=21 ^h 13 ^m 59,5 ^s					
	Cho. (SK)	Δ=12 km e _{P_{EZ}}	21 14 02,2		Kra. (Ch)	Δ=82 km e _{Pg_{NEZ}}	04 05 46,4 51,3
		e _N e _{1S_E} , e _{S_Z} i _Z Lm	03,2 04,2 05,9 11			e _Z e _{1N} e _{iSg_{FZ}} e _N , i _Z Lm	56,2 57,2 06 01,0 29
		NEZ: 1,1 ^s ; 0,8μ, 1,4μ, 0,9μ					NZ: 1,2 ^s ; 0,07μ, 0,06μ
		F	40				
	Kra. (Ch)	Δ=60 km e _{Sg_{NEZ}} e _{NEZ}	21 14 18 40		Ndz. (SK)	Δ=145 km e _{NEZ} e _{NEZ}	04 05 58 06 20
17.VI		Byt. (GIG): 14 19 15,4		21.VI		H=10 ^h 19 ^m 55,5 ^s ; Zab. (GIG): 10 19 58,1, Byt. (GIG): 10 19 58,3	
	Cho. (SK)	e _{P_{NEZ}} i _{S_{NEZ}} Lm	14 19(10) 13,4 17				
		NEZ: 1,0 ^s ; 2,2μ, 2,2μ, 2,2μ			Cho. (SK)	Δ=13 km e _{P_N} , i _{P_Z}	10 19 58,3 C 58,6
		F	40				

- 127 -

Dates	Station	Phases	G.M.T. h m s	Dates	Station	Phases	G.M.T. h m s
21.VI (suite)	(SK)	i _N , e _Z e _{1S_Z} Lm	10 19 59,3 20 00,4 10	21.VI (SD)	Rac.	e _{NEZ} e _{NEZ} e _{NEZ} F	17 52 29,2 35,2 48,5 56
			EZ: 0,9 ^s ; 1,0μ, 0,7μ		23.VI	H=08 ^h 02 ^m 56 ^s	
	Rac. (SD)	e _Z e _Z e _E F	10 20 21,2 28,2 31,2 30		Cho. (SK)	Δ=12 km e _{iP_{NE}} , i _{P_Z} i _{S_{EZ}} Lm	08 02 58,5 C 03 00,5 04 NEZ: 1,0 ^s ; 2,5μ, 2,7μ, 2,2μ
							25
				21.VI		H=12 ^h 29 ^m 06,5 ^s ; Zab. (GIG): 12 29 07,5; Byt. (GIG): 12 29 09,4	
					Cho. (SK)	Δ=9 km i _{P_{NEZ}} i _{S_Z} Lm	12 29 08,4 C 10,0 13
							NEZ: 1,0 ^s ; 2,0μ, 2,5μ, 2,0μ
						F	26
					Kra. (Ch)	e _{NEZ} e _{NEZ} e _{NEZ}	12 29 28 49 59
				21.VI		H=17 ^h 51 ^m 53 ^s ; Byt. (GIG): 17 52 01,6	23.VI
					Cho. (SK)	Δ=14 km e _{P_{NEZ}}	17 51 55,8 C 57,2
						e _N e _{S_Z} i _Z Lm	57,9 59,3 52 05
							NEZ: 1,0 ^s ; 3,0μ, 3,0μ, 4,0μ
						F	19 24
					Kra. (Ch)	Δ=79 km e _{iP_{g_{NEZ}}} e _{NEZ}	15 18 54 19 14
					Rac. (SK)	N inactive e _Z e _Z e _Z e _Z F	15 19 04,2 12,0 23,2 32,2 22

- 128 -

Dates	Station	Phases	G.M.T. h m s	Dates	Station	Phases	G.M.T. h m s
24.VI	Zab. (GIG): 06 04 56,8, Byt. (GIG): 06 04 57,5			25.VI	Cho. (SK)	e _Z iS _{EZ} Lm	14 09 58,1 59,4 10 01
Kra. (Ch)	e _{NEZ} 06 05 17 e _{NEZ} 24 e _{NEZ} 30 e _{NEZ} 49					NRZ: 0,8 ^S ; 2,0 μ , 3,0 μ , 9,5 μ	
						F	23
24.VI	Zab. (GIG): 16 29 01,9, Byt. (GIG): 16 29 02,3			Kra. (Ch)	$\Delta=62$ km ePg _{NZ} ePg _E ei _N eiSg _N i _{EZ} i _N i _Z Lm Z: 1,2 ^S ; 1,7 μ Lm N: 1,0 ^S ; 3,5 μ F	14 10 06,0 06,3 07,8 14,2 15,1 16,0 19,1 19,6 35 NE: 1,2 ^S ; 0,22 μ , 0,10 μ Lm Z: 1,1 ^S ; 0,14 μ	
Cho. (SK)	eP _{NEZ} 16 29(04) iS _{NZ} 05,8 i _{NZ} 08,3 i _Z 09,8 Lm 11 Z: 1,2 ^S ; 1,7 μ Lm 13 N: 1,0 ^S ; 3,5 μ F 50			Rac. (SK)	$\Delta=70$ km. N inactive ePg _{EZ} 14 10 06,8 e _E 13,0 eSg _Z 16,3 e _E 18,0 e _Z 20,0 e _{EZ} 25,3 e _Z 36,0 e _{EZ} 40,0 e _Z 45,0 e _{EZ} 11 08 Lm EZ: 1,8 ^S ; 0,8 μ , 0,7 μ F 14		
Rac. (SK)	N inactive e _E 16 29 13,2 e _{EZ} 21,2 e _E 27,0 e _Z 28,7 e _Z 31,0 F 31			Rac. (SK)	$\Delta=126$ km ePg _Z 14 20 17 eSg _{NEZ} 33,5 H=21 ^h 17 ^m 55,5 ^s		
Kra. (Ch)	e _{NEZ} 16 29 17 e _{NEZ} 27 e _{NEZ} 34 e _{NEZ} 50			Cho. (Ch)	$\Delta=10$ km eP _{NE} , eP _Z 21 17 57,7 iS _Z 59,4 i _{NE} 59,7		
Ndz. (SK)	e _Z 16 29 28 e _Z 53						
25.VI	$\varphi=50^{\circ}14'$; $\lambda=19^{\circ}08'$; $H=14^h09^m54,4^s$; $M=3,2$ (Raci- bórz); Byt. (GIG): 14 10 00,0, Zab. (GIG): 14 10 00,2			25.VI			
Cho. (SK)	$\Delta=11$ km iP _{NEZ} 14 09 57,3 C						

- 129 -

Dates	Station	Phases	G.M.T. h m s	Dates	Station	Phases	G.M.T. h m s
25.VI (suite)	Cho. (Ch)	I _m	21 18 02 NEZ: 1,0 ^S ; 2,0 μ , 2,5 μ 1,7 μ	27.VI	Kra. (Ch)	ePg _{NEZ} iSg _{NEZ} i _N i _{NE} Lm	13 23 05,5 14,3 15,7 22,1 41
		F	23			N: 1,2 ^S ; 0,24 μ Lm	48
	Kra. (Ch)	e _{NEZ} e _{NEZ}	21 18 17 22			NEZ: 1,1 ^S , 0,16 μ , 0,12 μ , 0,15 μ	34,5 51
	Rac. (SK)	e _Z e _Z F	21 18 20,3 32 20	26.VI	Byt. (GIG): 16 20 30,8		
	Cho. (SK)	eIP _{NE} , iP _Z	16 20 25,0 C	29.VI	Byt. (GIG): 11 19 57,5		
		e _Z	25,6				
		i _{EZ}	28,0	Rac. (SK)	eP _N , iP _{EZ} Lm	11 19 59,8 C 20 10	
		Lm	32			NEZ: 1,0 ^S ; 1,5 μ , 1,5 μ , 1,7 μ	32
			NEZ: 1,0 ^S ; 2,0 μ , 4,0 μ , 3,0 μ				
		F	21 23	Rac. (SK)	N inactive	11 20 12,7	
				Rac. (SK)	e _{EZ} e _E e _Z F	18 21 23	
				Kra. (Ch)	e _{NEZ} e _{NEZ} e _{NEZ}	11 20 22,5 38 46	
				27.VI	$\varphi=50^{\circ}14'$; $\lambda=19^{\circ}04'$; $H=13^h22^m53,5^s$; $M=3,4$ (Raci- bórz); Byt. (GIG): 13 22 59,2		
				30.VI	$\varphi=50^{\circ}18'$; $\lambda=19^{\circ}06'$; $H=14^h14^m38,2^s$; $M=3,0$ (Bytom, Zabrze); Zab. (GIG): 14 14 41,6; Byt. (GIG): 14 14 41,7		
				Cho. (SK)	$\Delta=8$ km iP _{NEZ} 13 22 54,9 D		
					i _Z 55,2		
					Lm 23 00		
					NEZ: 1,0 ^S ; 4,0 μ , 4,5 μ , 9,7 μ		
					F 24 03		
				Kra. (Ch)	$\Delta=65$ km		
					F 15 36		

- 130 -

Dates	Station	Phases	G.M.T. h m s	Dates	Station	Phases	G.M.T. h m s
30.VI (suite)	Kra. (Ch)	$\Delta=65$ km ePg _{NB} ePg _Z i _N iSg _{NE} i _{NZ} Im	14 14 49,5 50,0 50,4 57,8 59,3 15 32 NEZ: 1,0 ^S ; 0,11 μ , 0,09 μ , 0,09 μ	30.VI (SK)	Rac. e _E e _E e _I _Z e _E , e _I _Z Im	14 15 07 12 15 21 51 EZ: 1,6 ^S ; 0,7 μ , 0,6 μ F	14 15 07 12 15 21 51 EZ: 1,6 ^S ; 0,7 μ , 0,6 μ F
Rac.	(SK)	$\Delta=68$ km ePg _{EZ} e _Z	14 14 50 15 06	Ndz. (SK)	$\Delta=135$ km ePg _{NEZ} eSg _{NEZ} e _{NEZ}	14 15 01 18,5 36	14 15 01 18,5 36

J U I L L E T

1961

1961	1.VII	Cho. (SK)	Byt. (GIG): 08 02 33,7 e _{NEZ} Im NEZ: 0,8 ^S ; 1,5 μ , 1,9 μ , 1,0 μ F	1.VII	Rac. (SK)	Traces EZ	14 36-38
			08 02 35,3 42 03 00		4.VII	$\varphi=50^{\circ}21'$; $\lambda=18^{\circ}52'$ H=03 ^h 10 ^m 08 ^s ; M=2,3 (Bytom), 2,6 (Zabrze); Byt. (GIG): 03 10 09,1, Zab.: 03 10 10,5	
		Kra. (Ch)	ePg _{NZ} e _{NZ} Traces (SK)		Cho. (SK)	$\Delta=11$ km iP _{NEZ} i _Z iS _Z Im	03 10 10,3 C 11,1 12,2 17 Z: 0,9 ^S ; 3,5 μ F
1	1.VII	Cho. (SK)	H=14 ^h 35 ^m 39 ^s ; Byt. (GIG): 14 35 48,3 e _P _{NEZ} e _S _{NEZ} e _I _Z Im NEZ: 1,1 ^S ; 1,5 μ , 1,5 μ , 1,6 μ F		Rac. (SK)	$\Delta=57$ km, N inactive e _Z e _{EZ} e _{BZ} e _Z F	03 10 20,4 27 41 56 13
		Kra. (Ch)	$\Delta=56$ km ePg _{NEZ} e _{NEZ} e _{NEZ}		Kra. (Ch)	$\Delta=83$ km eiPg _{NEZ} e _N e _Z e _I _N iSg _{EZ} i _{NZ}	03 10 23,6 26,3 28,2 33,4 34,6 35,8

- 131 -

Dates	Station	Phases	G.M.T. h m s	Dates	Station	Phases	G.M.T. h m s	
4.VII (suite)	Kra. (Ch)	eiz e _N Lm	03 10 38,0 39,3 11 05 NEZ: 1,1 ^S ; 1,3 μ , 0,7 μ , 0,4 μ	6.VII	Kra. (Ch)	e _{NEZ} Rac. (SK)	04 41 21 04 41 19 20 e _N e _{NZ} F	
5.VII		H=05 ^h 46 ^m 21 ^s ; Byt. (GIG): 05 46 29,4		11.VII	Zab. (GIG):	17 26 35,9		
	Cho. (SK)	$\Delta=24$ km ePg _Z e _N iS _Z i _{NZ} i _Z Lm	05 46 25,9 26,7 29,5 31,0 33,1 35 Z: 1,0 ^S ; 2,5 μ		Cho. (SK)	ePg _{NEZ} i _Z Im	17 26 39,9 41,3 46 NEZ: 1,2 ^S ; 2,0 μ , 1,0 μ , 1,4 μ	
		Lm	37		Rac. (SK)	e _Z e _{NE} e _E e _Z F	27 02 17 27 01 03 11 14 30	
		F	47 18					
	Kra. (Ch)	e _{NEZ} e _{NEZ} e _{NEZ}	05 46 33,5 42,5 53		Kra. (Ch)	e _{NEZ} e _{NZ} e _{NZ}	17 27 01,5 18 25,5	
	Rac. (SK)	Traces Z	05 47-50		6.VII	Kra. (Ch)	e _{EZ} e _{NEZ} e _{NEZ}	02 24 23 30 37
					12.VII		H=04 ^h 23 ^m 56,0 ^s ; Byt. (GIG): 04 23 58,4	
						Cho. (SK)	$\Delta=3$ km ePg _{EZ} e _S _N i _Z Lm	04 23 56,8 57,3 58,8 24 00 NEZ: 1,0 ^S ; 4,0 μ , 3,0 μ , 1,0 μ
							F	27
						Rac. (SK)	$\Delta=60$ km ePg _{NEZ} e _{NEZ} F	04 24 14 25 28
						Kra. (Ch)	$\Delta=75$ km ePg _{NEZ}	04 24 09,5

- 132 -

Dates	Station	Phases	G.M.T. h m s	Dates	Station	Phases	G.M.T. h m s
12.VII	Kra.			16.VII	F	N: 0,8 ^s ; 1,8 μ	
(suite)	(Ch)	eSg _{NEZ}	04 24 19,5				12 35 50
		e _{NEZ}	22,5	Kra.	Traces		
		e _{NEZ}	27,5	(Ch)	e _{NEZ}	12 35 38	
14.VII		H=03 ^h 51 ^m 01 ^s ; Byt. (GIG):				e _{NEZ}	46
		03 51 08,3				e _{NEZ}	57,5
	Cho.	Δ=9 km, E inactive		17.VII		H=00 ^h 13 ^m 43,5 ^s ; Byt. (GIG):	
(SK)	e _{IP} _{NZ}	03 51 03,1				00 13 44,5	
	i _S _Z	04,8		Cho.	Δ=10 km, E inactive		
	Lm	07		(SK)	i _P _{NZ}	00 13 45,9 0	
		NZ: 0,9 ^s ; 2,5 μ , 3,0 μ			i _S _Z	47,7	
	F	35			Lm	51	
	Kra.	Δ=67 km				Z: 1,1 ^s ; 1,9 μ	
(Ch)	e _{Pg} _{NEZ}	03 51 14				55	
	e _{Sg} _{NEZ}	23					
	Rac.					N: 0,9 ^s ; 2,0 μ	
(SK)	e _Z	03 51 39					
	e _Z	50		Cho.	Δ=80 km		
	F	53		(Ch)	e _{Pg} _{NEZ}	00 14 00	
15.VII		H=00 ^h 59 ^m 14 ^s			i _N , e _{EZ}	14	
	Cho.	Δ=12 km, E inactive			e _{NEZ}	19	
(SK)	i _P _Z	00 59 16,4			e _{NBZ}	38	
	e _N	17,4		20.VII		H=20 ^h 26 ^m 03 ^s	
	e _{NZ}	19,6		Cho.	Δ=5 km		
	Lm	26		(SK)	i _P _{NEZ}	20 26 04,5 0	
		NZ: 1,1 ^s ; 0,6 μ , 1,0 μ			i _S _N	05,6	
	F	40			i _{EZ}	06,1	
	Kra.	Δ=60 km			i _Z	06,9	
(Ch)	e _{Pg} _{NEZ}	00 59 25			Lm	09	
	e _{Sg} _{NEZ}	33					
	e _{NEZ}	45				NEBZ: 0,9 ^s ; 4,0 μ , 5,5 μ ,	
	e _{NBZ}	58				2,2 μ	
16.VII		H=12 ^h 35 ^m 20 ^s					
	Cho.	Δ=10 km, E inactive					
(SK)	i _P _{NZ}	12 35 22,3 0					
	i _S _N	24,1		Rac.			
	i _Z	24,4		(SK)	e _{NEZ}	20 26 47	
	Lm	29			F	29	
		Z: 0,9 ^s ; 1,4 μ		22.VII		H=00 ^h 30 ^m 42,5 ^s	
	I	33					

- 133 -

Dates	Station	Phases	G.M.T. h m s	Dates	Station	Phases	G.M.T. h m s
22.VII	Cho. (suite) (SK)	Δ=14 km eP _N , iP _Z eiS _E i _Z Lm	00 30 45,7 C 48,0 48,8 53	22.VII	Kra. (Ch)	eSg _{NEZ} e _{NEZ} e _Z Rac. (SK)	21 25 30,3 38 21 25 43 52 26 07 28
		BZ: 1,1 ^s ; 2,0 μ , 1,0 μ					
		Lm	56				
		N: 1,0 ^s ; 1,4 μ		23.VII		H=07 ^h 06 ^m 26,5 ^s	
		F	31 18				
				Cho. (SK)	Δ=17 km eP _Z e _{NE} iS _E i _Z Lm	07 06 30,3 30,7 33,0 33,7 37	
						NEZ: 1,2 ^s ; 0,8 μ , 1,0 μ , 0,8 μ	
						F	07 00
				Cho. (SK)	Δ=12 km iP _{NEZ} i _E iS _Z Lm	02 08 28,9 C 30,4 30,9 36	
						NEZ: 0,9 ^s ; 2,0 μ , 1,7 μ , 2,0 μ	
						F	09 13
				Cho. (Ch)	Δ=83 km eP _{NE} , iP _Z eSg _{NEZ} e _{NEZ} e _{NEZ}	02 08 42 53 57 09 13	
				Rac. (SK)	Traces Z	02 08 42 07 06-09	
				Cho. (SK)	Δ=10 km eP _{NE} , iP _Z eSg _{NE} e _{NE} e _{NE}	00 17 57,4 C 59,1 18 04 08	
						N: 0,9 ^s ; 2,1 μ	
						F	24
				Cho. (Ch)	Δ=60 km eSg _{NE} e _{NE} e _{NE}	00 18 13 22,5 38	
				22.VII		H=21 ^h 25 ^m 10,5 ^s	
				Cho. (SK)	Δ=8 km eP _N , eP _{EZ} eIS _E i _N i _Z Lm	21 25 12,7 14,2 14,9 15,6 18	
						NEZ: 1,0 ^s ; 1,2 μ , 1,3 μ , 0,7 μ	
						F	43
				Kra.	Δ=64 km		

- 134 -

Dates	Station	Phases	G.M.T. h m s	Dates	Station	Phases	G.M.T. h m s	
24.VII (suite)	Cho. (SK)	N: 0,8 ^s ; 2,0 μ	14 14 25	27.VII (SK)	Rac.	e _Z e _{NZ} e _{NZ} e _E e _Z F	10 40 14,2 22,5 29 39 49 43	
	Rac. (SK)	e _Z e _Z F	14 14 11 22 16					
26.VII		H=19 ^h 09 ^m 03,5 ^s		28.VII		φ=50°17'; λ=19°14' H=21 ^h 48 ^m 01 ^s ; M=3,6 (Bytom); 3,5 (Zabrze); Zab. (GIG): 21 48 07,5		
	Cho. (SK)	Δ=10 km eP _N , iP _{EZ} eS _Z Lm	19 09 05,8 C 07,6 12		Cho. (SK)	Δ=18 km eP _{EZ} i _E i _Z i _N iS _Z i _Z Lm	21 48 04,4 05,3 05,9 06,2 07,1 08,7 16	
		EZ: 1,0 ^s ; 1,5 μ , 1,0 μ F	30			NEZ: 1,1 ^s ; 8,0 μ , 7,8 μ , 6,5 μ F	50 10	
	Kra. (Ch)	Δ=62 km eSg _{NE} e _{NE} e _{NE}	19 09 22,5 31 54		Kra. (Ch)	Δ=56 km, Z inactive iP _{NE} iSg _{NE} i _N Lm	21 48 12,1 19,4 23,3 35	
	Rac. (SK)	e _Z e _Z F	19 09 40 41 12			NE: 1,2 ^s ; 4,2 μ , 3,0 μ Rac. (SK)		
27.VII		H=10 ^h 39 ^m 56 ^s			Rac. (SK)	Δ=78 km eP _{NEZ} e _N e _{NE} eSg _{NZ} e _Z e _{EZ} i _S i _Z Lm	21 48 15,0 17,2 21,0 25,5 30,3 34,5 37,0 40,0 44,0 51,0 55,1 49 16	
						NEZ: 1,0 ^s ; 3,5 μ , 4,0 μ 3,5 μ F	41 05	
	Kra. (Ch)	Δ=64 km, Z inactive eP _{NE} e _N iSg _{NE} i _N Lm	10 40 05,5 12,2 14,1 17,6 30			N: 1,2 ^s ; 1,6 μ EZ: 1,8 ^s ; 0,5 μ , 0,8 μ		
	Rac. (SK)	e _Z	10 40 09,8					

- 135 -

Dates	Station	Phases	G.M.T. h m s	Dates	Station	Phases	G.M.T. h m s
28.VII (suite)	Rac. (SK)	e _Z e _{NZ} e _{NZ} e _E e _Z F	10 40 14,2 22,5 29 39 49 43	29.VII (SK)	Kra.	Δ=69 km, Z inactive e _{1Sg_N} , e _{1Sg_E} e _{NE} e _{NE}	21 49 19 N: 1,5 ^s ; 0,4 μ 44 47
	Rac.			28.VII		H=21 ^h 59 ^m 03,5 ^s ; Byt. (GIG): 21 59 16,3	
	(SK)				Cho. (SK)	Δ=11 km e _{iP_N} , e _{P_{EZ}} e _{iS_N} Lm	21 59 06,1 08,0 12
						NEZ: 1,0 ^s ; 1,0 μ , 1,6 μ , 1,2 μ	
					Kra. (Ch)	Z inactive e _{NE} e _{NE}	30
						21 59 32,5 41	
				29.VII		H=16 ^h 23 ^m 11 ^s	
					Cho. (SK)	Δ=3 km e _{iP_{EZ}} e _{iS_N} Lm	16 23 12,1 C 12,7 16
						EZ: 0,9 ^s ; 3,5 μ , 2,5 μ Lm	
						N: 0,8 ^s ; 3,0 μ F	18
						34	
1961				1961		A O U T	1961
3.VIII		H=08 ^h 35 ^m 30,5 ^s		3.VIII	Rac. (SK)	e _Z F	08 36 01 38
	Cho. (SK)	Δ=10 km e _{iP_{NE}}	08 35 33,1				
			33,7	3.VIII		H=10 ^h 42 ^m 50 ^s	
			34,9		Cho. (SK)	Δ=13 km e _{P_Z} e _E e _N e _{S_Z} e _{NZ} i _E i _N Lm	10 42 52,9 D 53,7 54,7 55,0 56,6 57,2 57,8 43 03 22
			35,7			NEZ: 1,0 ^s ; 2,0 μ , 4,0 μ , 2,5 μ	
			39			36 00	
	Rac. (SK)	e _Z e _E e _N	08 35 45,1 51,6 57,1				

Dates	Station	Phases	G.M.T. h m s	Dates	Station	Phases	G.M.T. h m s
3.VIII	Kra. (suite) (Ch)	e _N e _N e _N	10 43(06) 16 21	7.VIII	Zab. Cho.	Zab.: eP 02 55 14,5 eS 16,9 Δ=8 km, E inactive eP _{NZ} 02 55 12,9 D iS _{NZ} 14,4 Lm 18 NZ: 0,9 ^S ; 2,5μ, 2,0μ F 56 08	
	Rac. (SK)	e _E e _N e _{NZ} F	10 43 15 15 20 45		Rac. (SK)	Δ=63 km eP _{GNZ} 02 55 22,5 e _{NZ} 28,8 e _{NEZ} 34,8 e _{NE} 48,8 e _Z 53,8 e _N 56,8 Lm 56 22 NEZ: 1,5 ^S ; 1,3μ, 0,2μ, 0,2μ	
5.VIII		H=19 ^h 58 ^m 37 ^s ; Zab. (GIG): 19 58 37,9			Kra. (Ch)	Δ=76 km, E et Z inactive e _N 02 55 32,1 e _{SgN} 35,5 e _N 39,6 Lm 49 N: 1,3 ^S ; 0,6μ	
	Cho. (SK)	Δ=14 km, E inactive eP _Z e _N e _{SZ} i _N Lm NZ: 1,0 ^S ; 1,4μ, 1,1μ F	19 58 39,9 D 41,2 42,2 42,8 49 59 14		Ndz. (SK)	Δ=145 km e _Z 02 55 37	
	Rac. (SK)	eP _G _{NEZ} e _B e _E e _N e _B e _Z Lm NZ: 1,8 ^S ; 0,4μ, 0,3μ F	19 58(46) 55,7 59,7 59 03,3 04,3 05,3 49 20 03	7.VIII		H=23 ^h 50 ^m 49,5 ^s ; Byt. (GIG): 23 50 50,4	
	Kra. (Ch)	Δ=86 km, E et Z inactive e _N e _N e _{SgN} Lm N: 1,3 ^S ; 1,1μ	19 58 53,4 58,5 59 03,6 .38		Cho. (SK)	Δ=3 km, E inactive iP _{NZ} 23 50 50,5 C iS _{NZ} 51,2 Lm 54 NZ: 1,0 ^S ; 6,0μ, 5,0μ F 51 36	
	Ndz. (SK)	Δ=148 km eP _G _{NEZ} e _{NEZ} φ=50°22,0'; λ=18°58,5'; H=02 ^h 55 ^m 11,0 ^s ; M=2,7 (Zabrze);	19 59 03,5 28		Rac. (SK)	e _Z 23 51 02,2 e _{EZ} 09,7 e _Z 18,7 e _N 19,2	
7.VIII							

Dates	Station	Phases	G.M.T. h m s	Dates	Station	Phases	G.M.T. h m s
7.VIII	Rac. (suite) (SK)	Zab.: e _{EZ} e _Z e _{NE} Lm	23 51 21,2 25,2 31,7 52 20 NEZ: 1,6 ^S ; 0,3μ, 0,2μ, 0,2μ	11.VIII		φ=50°20'; λ=18°52'; H=19 ^h 52 ^m 15,5 ^s ; M=2,8 (Zabrze); Zab. (GIG): 19 52 18,4	
		F	54		Cho. (SK)	Δ=10 km eP _N , eP _Z iS _Z Lm	19 52 17,8 C 19,5 23 NEZ: 1,0 ^S ; 7,5μ, 12,0μ, 7,5μ
	Kra. (Ch)	Δ=70 km, E et Z inactive e _N e _{1SgN} i _N e _N Lm	23 51 02,8 10,9 13,7 15,3 19,1 45 N: 1,1 ^S ; 1,2μ		Rac. (SK)	Δ=55 km eP _Z e _{NEZ} e _{EZ} e _{NZ} e _Z e _{NE} e _{NZ} Lm	19 52 25,3 27,8 38,3 41,8 44,4 46,8 49,4 51,8 53 33 Z: 1,2 ^S ; 0,1μ Lm 40 NE: 1,5 ^E ; 0,1μ, 0,1μ F 59
				11.VIII		φ=50°16'; λ=18°54'; H=19 ^h 36 ^m 38,5 ^s ; M=2,7 (Zabrze); Zab. (GIG): 19 36 41,5	
	Cho. (SK)	Δ=6 km eP _{NEZ} iS _Z Lm	19 36 40,3 C 41,6 44 NEZ: 1,0 ^S ; 5,0μ, 6,0μ, 3,5μ		Kra. (Ch)	Δ=81 km, E et Z inactives e _N e _N e _{1SgN} i _N e _N Lm	19 52 30,7 34,8 40,4 44,0 46,3 53 19 N: 1,2 ^S ; 0,9μ
		F	37 07		Rac. (SK)	Δ=56 km. Traces e _Z e _{NZ} e _E F	19 36 51 37 09 13 39
					Kra. (Ch)	Δ=77 km, E et Z inactives e(Sg) _N e _{1N} e _N	19 37 03,2 06,6 10,7 N: 1,2 ^S ; 0,9μ
	Ndz. (SK)	Δ=145 km eP _{EZ} e _{EZ} e _{EZ}	19 52 42 53 00 07		Ndz. (SK)	Δ=145 km, N inactive eP _{EZ} e _{EZ} e _{EZ}	19 52 42 53 00 07
				13.VIII		φ=50°23'; λ=18°50'; H=05 ^h 42 ^m 02,0 ^s ; M=2,8 (Zabrze);	

Dates	Station	Phases	G.M.T. h m s	Dates	Station	Phases	G.M.T. h m s	
13.VIII (suite)	Zab.	eP	05 42 04,4	13.VIII	Rac.	$\Delta=52$ km		
		eS	06,1	(SK)	ePg _Z	23 38 29,7		
	Cho.	$\Delta=15$ km			e _E	33,7		
(SK)	iP _{NEZ}	05 42 04,8 C			e _{NE}	37,7		
	e _{iZ}	05,8			e _E	41,0		
	iS _{NZ}	07,2			e _Z	47,5		
	Lm	12			e _E	50,0		
	NEZ: 1,0 ^S ; 4,0 μ , 6,0 μ , 3,8 μ				e _N	53,2		
	P	55			Lm	39 28		
	Rac.	$\Delta=56$ km			NEZ: 1,6 ^S ; 0,2 μ , 0,3 μ , 0,1 μ			
(SK)	e _Z	05 42 14,4			F	42		
	e _E	24,4			Kra.	$\Delta=80$ km, E et Z inactives		
	e _E	32,0		(Ch)	ePg _N	23 38 35,6		
	e _Z	34,6			e _N	41,0		
	e _N	37,7			e _{iSgN}	45,8		
	e _Z	46,0			i _N	47,0		
	P	45			e _N	52,3		
	Kra.	$\Delta=86$ km, E et Z inactives			Lm	39 13		
(Ch)	ePg _N	05 42 17,7			N: 1,3 ^S ; 1,6 μ			
	e _N	20,5			Ndz.	$\Delta=136$ km		
	e _N	25,1		(SK)	ePg _{NEZ}	23 38 45		
	e _{iSgN}	28,6			e _{NEZ}	39 10		
	i _N	31,5			17.VIII	$\varphi=50^{\circ}17'$; $\lambda=19^{\circ}07'$; $H=08^{\text{h}}42^{\text{m}}53,6^{\text{s}}$; M=2,7 (Zabrze); Zab. (GIG):		
	e _N	34,8			08 42 57,5			
	Lm	54			Cho.	$\Delta=9$ km		
	N: 1,4 ^S ; 0,08 μ			(SK)	iP _{NEZ}	08 42 56,2		
	Ndz.	$\Delta=148$ km			iS _{NEZ}	58,1		
(SK)	ePg _{EZ}	05 42 27,7			Lm	43 01		
	e _{NEZ}	49			NEZ: 1,0 ^S ; 3,0 μ , 7,0 μ , 3,5 μ			
	e _{NEZ}	43 06			F	53		
13.VIII	$\varphi=50^{\circ}17'$; $\lambda=18^{\circ}52'$; $H=23^{\text{h}}38^{\text{m}}21^{\text{s}}$; M=2,8 (Bytom)				Kra.	$\Delta=63$ km, E et Z inactives		
	Byt.	eP	23 38 21,9		(Ch)	eSg _N	08 43 13	
	eS	23,2			e _N	27		
	Cho.	$\Delta=9$ km			e _N	31		
(SK)	ePg _{EZ}	23 38 22,5			Rac.	$\Delta=69$ km		
	i _{NE}	25,3		(SK)	eSg _{NEZ}	08 43 15		
	Lm	32						
	NEZ: 1,1 ^S ; 2,5 μ , 3,6 μ , 2,0 μ							
	P	39 33						

Dates	Station	Phases	G.M.T. h m s	Dates	Station	Phases	G.M.T. h m s
17.VIII (suite)	Rac. (SK)	e _N e _Z e _Z e _{NE} e _E F	08 43 21 25 29 31,5 42 47	19.VIII (SK)	Δ=78 km ePg _Z e _Z e _{EZ} e _Z e _{NZ} F	11 19 51 20 03 09 15 25,5 24	
19.VIII	Cho. (SK)	H=10 ^h 22 ^m 58,5 ^s Δ=13 km eP _Z eP _{NE} eS _Z Lm EZ: 1,0 ^S ; 2,0 ^μ , 1,0 ^μ F	10 22 01,5 01,7 03,6 08 33	23.VIII Cho. (SK)	H=00 ^h 18 ^m 55,5 ^s ; Byt. (GIG): 00 18 57,2 Δ=11 km iP _Z i _{NE} i _S _{NE} i _Z i _Z Lm NEZ: 0,9 ^S ; 1,5 ^μ , 2,0 ^μ F	00 18 57,9 58,2 59,8 19 00,1 01,9 05 30	
	Rac. (SK)	10 22 18 32 42 25		Kra. (Ch)	Δ=83 km ePg _{NEZ} e _{NEZ} e _N eSg _{NEZ} e _{NEZ}	00 19 11,2 15,2 20,7 22,2 38,2	
19.VIII	Cho. (SK)	Ψ=50°17'; λ=19°14'; H=11 ^h 19 ^m 36,5 ^s ; M=3,2 (Bytom); Byt. (GIG): 11 19 45,3 Δ=18 km eP _{NEZ} e _N ei _Z i _S _E i _{NZ} i _E Lm NEZ: 1,1 ^S ; 3,0 ^μ , 4,0 ^μ , 4,0 ^μ F	11 19 40,5 C 41,5 42,3 43,4 44,3 47,8 51 20 54	24.VIII Cho. (SK)	H=19 ^h 30 ^m 20 ^s Δ=13 km eP _{NEZ} ei _N i _S _{NE} , eS _Z i _Z e _E Lm NEZ: 1,0 ^S ; 1,0 ^μ , 1,5 ^μ , 1,2 ^μ F	19 30 23,0 24,0 25,2 26,6 27,0 31 54	
	Kra. (Ch)	Δ=56 km, E et Z inactives ePg _N i _N e _N iSg _N Lm N: 1,1 ^S ; 0,12 ^μ	11 19 47,3 48,2 51,4 55,0 20 19	Kra. (Ch)	Δ=63 km eSg _{NEZ} e _{NEZ}	19 30 40 55	
				26.VIII	H=16 ^h 13 ^m 44 ^s ; Byt. (GIG): 16 13 52,4		

- 140 -

Dates	Station	Phases	G.M.T. h m s	Dates	Station	Phases	G.M.T. h m s	
26.VIII (suite)	Cho. (SK)	$\Delta=23$ km eP_{NEZ} iS_{NEZ} iZ l_m NEZ: $1,1^S$; $2,0\mu$, $2,5\mu$, $2,0\mu$ F	16 13 48,7 52,1 53,2 58 14 31	27.VIII (SK)	Cho. (SK)	18_Z l_m NEZ: $1,0^S$; $2,5\mu$, $6,0\mu$, $3,4\mu$ F	05 07 16,4 17 57	
Kra. (Ch)	$\Delta=58$ km ePg_{NEZ} eSg_{NEZ} e_{NEZ}	16 13 55,5 14 03,5 14,5		Rac. (SK)	$\Delta=59$ km, E inactive ePg_{NZ} e_N F	05 07 25 33 10		
27.VIII	$\varphi=50^016'$; $\lambda=18^056'$; $H=03^h20^m06^s$; M=2,5 (Zabrze); Zab. (GIG): 03 20 08,6			Kra. (Ch)	$\Delta=75$ km ePg_{EZ} e_N eSg_N e_{EZ} i_Z i_{NE}	05 07 28,5 29,9 38,0 38,8 40,4 41,3		
Cho. (SK)	$\Delta=5$ km, N inactive iP_{EZ} iS_Z l_m EZ: $1,0^S$; $8,0\mu$, $4,2\mu$ F	03 20 07,3 D 08,1 09 49	28.VIII	Zab. (GIG): 02 25 14,6	Cho. (SK)	ePg_{EZ} e_N e_Z e_N e_{iE} i_E l_m EZ: $1,0^S$; $2,0\mu$, $1,5\mu$ l_m N: $0,8^S$; $1,5\mu$ F	08 25 15,3 16,9 18,3 19,3 20,1 21,3 25 27 57	
Kra. (Ch)	$\Delta=75$ km ePg_Z e_{iB} e_{NZ} e_{EZ} i_Z i_{NE} e_Z	03 20 19,4 19,9 24,4 30,4 31,8 32,6 35,9	31.VIII	Byt. (GIG): 00 15 09,2 Zab. (GIG): 00 15 10,0	Cho. (SK)	ePg_{NEZ} e_{NEZ} e_{NEZ}	08 25 23 32 38	
27.VIII	$\varphi=50^019'$; $\lambda=18^057'$; $H=05^h07^m14,5^s$; M=2,5 (Zabrze); Zab. (GIG): 05 07 15,9				Cho. (SK)	eP_{NEZ} l_m	00 15 07,4 12	
Cho. (SK)	$\Delta=4$ km iP_{NEZ}	05 07 15,7 D						

- 141 -

Dates	Station	Phases	G.M.T. h m s	Dates	Station	Phases	G.M.T. h m s			
31.VIII (suite)			NEZ: $1,0^S$; $5,5\mu$, $5,5\mu$, 4,0 μ	31.VIII	Zab. (GIG): 14 04 26,7 Dab. (GIG): 14 04 34,8					
		P	00 15 45	Cho. (SK)	eP_Z e_{NE} l_m	14 04 30,7 31,2 39				
		Kra. (Ch)	e_{NEZ} e_{NEZ} e_{NEZ} e_{NEZ}	Rac. (SK)	e_Z e_E e_N e_E F	1,5 μ 05 06				
			00 15 22 32 44 49			Kra. (Ch)	e_{NEZ} e_{NEZ} e_{NEZ}			
			00 15 31 35 38 16 01 18				14 04 43 54 05 13			
1961			S E P T E M B R E	1961						
1.IX		$H=23^h13^m48,5^S$		1.IX	l_m Z: $1,0^S$; $2,5\mu$	23 25 47 26 05				
Cho. (SK)	$\Delta=14$ km ePg_Z e_N e_{EZ} e_Z l_m	23 13 51,7 D 52,2 54,0 56,7 14 00		Kra. (Ch)	e_{NEZ} e_{NEZ}	23 25 56 26 05				
		NEZ: $1,0^S$, $0,7\mu$, $2,0\mu$, 0,8 μ		Rac. (SK)	e_Z e_Z e_Z e_Z F	23 26 00 08 13 37 29				
		F	20							
		Rac. (SK)	e_Z e_Z e_N e_Z F	23 14 03 10 21 23 17	4.IX	$H=01^h44^m19,5^S$; Byt. (GIG): 01 44 20,1; Dab. (GIG): 01 44 23,1				
		Kra. (Ch)	e_{NEZ} e_{NEZ}	23 14 15 30	Cho. (SK)	$\Delta=5$ km eP_Z eP_{NE} iS_Z l_m	01 44 20,9 C 21,0 21,9 24 Z: $0,8^S$; $4,5\mu$			
		1.IX	$H=23^h25^m42^S$; Byt. (GIG): 23 25 44,5	Cho. (SK)	eP_{NE} , $1P_Z$ eIS_Z i_Z	23 25 42,7 C 43,2 44,8	Kra. (Ch)	e_{NEZ}	01 44 34	45 18

- 142 -

Dates	Station	Phases	G.M.T. h m s	Dates	Station	Phases	G.M.T. h m s
4.IX (suite)	Kra. (Ch)	e _{NEZ}	01 44 43	5.IX		$\varphi=50^{\circ}21'$; $\lambda=18^{\circ}51'$; $H=19^{\text{h}}39^{\text{m}}00,0^{\text{s}}$; M=3,3 (Racibórz); Zab.: 19 38 59,8; Dąb. (GIG): 19 39 05,7	
		e _{NEZ}	49				
Rac. (SK)	Traces Z		01 45-46		Cho. (SK)	$\Delta=12$ km iP _{NEZ} 19 39 02,6 eis _Z 04,5 i _Z 08,0 Lm 11 Z: 1,2 ^s ; 4,5 μ F 40 40	
4.IX		H=02 ^h 22 ^m 05,5 ^s ; Dąb. (GIG): 02 22 08,5 Byt. (GIG): 02 22 13,6			Rac. (SK)	$\Delta=55$ km ePg _{EZ} 19 39 09,7 D e _N 13,3 eis _{GZ} 16,7 e _{NE} 17,0 e _{NZ} 19,5 e _E 20,5 e _Z 21,3 ei _{NEZ} 24,8 ei _{NZ} 29,4 e _E 34,5 Lm 40 14 NEZ: 1,6 ^s ; 1,8 ^s ; 1,3 μ , 0,5 μ , 0,9 μ F 43	
		iP _Z 08,9 iP _{NE} 09,5 e _Z 11,1 i _Z 12,0 Lm 16			Kra. (Ch)	$\Delta=83$ km ePg _N , iPg _{EZ} 19 39 14,4 e _I _Z 19,2 e _N 19,8 eis _{GNZ} 25,0 i _E 25,6 Lm 58 NEZ: 1,2 ^s ; 0,21 μ , 0,18 μ , 0,18 μ	
		ePg _{NEZ} 02 22 16 e _{NEZ} 35 ei _{NZ} 44 e _{NE} 49			Ndz. (SK)	$\Delta=145$ km ePg _{NE} , eiPg _Z 19 39 25,6 D e _I _Z 28,8 eis _{NEZ} 44,0 e _Z 49,5 e _N 40 02,0 e _N 05,2	
		e _Z 22,6 e _Z 29,5 e _{NE} 32,6 e _{EZ} 34,4 e _E 41,0 e _{NZ} 43,0 e _Z 54,3 Lm 23 18 NEZ: 1,6 ^s ; 0,3 μ , 0,3 μ , 0,4 μ F 25					
		Ndz. (SK)	$\Delta=125$ km ePg _Z 02 22 28 e _Z 47 e _Z 56 e _Z 23 04,5				

- 143 -

Dates	Station	Phases	G.M.T. h m s	Dates	Station	Phases	G.M.T. h m s
5.IX (suite)	Ndz.	e _Z	19 40 17,5	9.IX	Kra. (Ch)		
		Dąb. (GIG): 15 19 55,9			e _N		13 18 49,6
7.IX	Cho. (SK)	e _{NEZ}	15 19 (58)		e _N		53,8
		F	20 18		e _Z		54,6
	Kra. (Ch)	e _{NZ}	15 20 04,5	Rac. (SK)	Traces		
		e _{NZ}	12,5		e _Z		
7.IX		H=20 ^h 07 ^m 12,0 ^s ; Dąb. (GIG): 20 07 19,1			e _Z		50
					F		21
	Cho. (SK)	$\Delta=13$ km iP _{EZ}	20 07 14,9 D	7.IX	Ndz. (SK)	$\Delta=130$ km ePg _Z	13 18 47
		iP _N	15,2			e _Z	19 05,5
		i _N	16,4				
		iS _{EZ}	17,0				
		Lm	21				
					Cho. (SK)	$\Delta=17$ km ePg _{NZ}	07 47 39,2
						ei _{SNEZ}	41,9
						ei _E	45,8
						i _Z	46,6
						F	48 22
					Kra. (Ch)	e _{NZ}	20 07 28,5
						e _{NZ}	38,5
						e _{NZ}	49,5
9.IX		H=13 ^h 18 ^m 23,7 ^s ; Byt. (GIG): 13 18 25,8; Dąb. (GIG): 13 18 25,8			Rac. (SK)	$\Delta=54$ km ePg _Z	07 47 45,5
						e _{NE}	48,7
						e _Z	55,5
						e _N	58,7
						e _E	48 10,2
						e _{NZ}	14,2
						e _N	23,2
						Lm	50
							Z: 1,3 ^s ; 0,3 μ
						F	51
					Ndz. (SK)	$\Delta=143$ km ePg _Z	07 48 01
						e _Z	21
						e _Z	35
					Kra. (Ch)	$\Delta=56$ km ePg _Z	13 18 34,4
						e _N	35,3
						iS _{GN}	42,0
						i _Z	43,1
						i _{NZ}	46,0
						i _Z	48,6
11.IX					Cho. (SK)	$\Delta=10$ km ePg _N , eiPg _Z	16 54 12,8 D

- 164 -

Dates	Station	Phases	G.M.T. h m s	Dates	Station	Phases	G.M.T. h m s
11.IX (suite)	Cho. (SK)	eIP _E iS _{EZ} Lm NEZ: 1,1 ^S ; 2,5 μ , 5,0 μ , 2,5 μ F	16 54 13,1 14,6 16 50	14.IX (SK)	Cho. (SK)	e _N , iP _{EZ} iS _{NEZ} Lm EZ: 1,0 ^S ; 3,0 μ , 2,0 μ Lm N: 0,8 ^S ; 3,5 μ F	03 16 41,6 D 43,4 48 53 17 15
	Rac. (SK)	e _Z e _E e _{EZ} e _N F	16 54 24 25 37 38 57		Kra. (Ch)	$\Delta=83$ km ePg _{NZ} eSg _{NZ} e _{NZ}	03 16 54 17 05 21
	Kra. (Ch)	e _{NZ} e _N e _{NZ} e _{NZ}	16 54 26 35 37 45	14.IX		$\varphi=50^{\circ}17'$; $\lambda=18^{\circ}51'$ $H=21^{\text{h}}08^{\text{m}}51,3^{\text{s}}$; M=2,5 (Bytom); Byt. (GIG): 21 08 55,5	
12.IX	Cho. (SK)	$\Delta=20$ km eP _{NE} , eIP _Z e _Z eIS _{NZ} , iS _E Lm NEZ: 1,0 ^S ; 2,0 μ , 3,0 μ , 2,0 μ F	03 31 09,2 C 10,9 12,4 18 32 00		Cho. (SK)	$\Delta=10$ km eP _H , eIP _{EZ} eS _Z i _B , e _Z Lm	21 08 53,2 C 54,8 55,8 09 01
						NEZ: 1,1 ^S ; 1,0 μ , 2,0 μ ; 1,2 μ F	27
	Rac. (SK)	ePg _Z e _Z e _Z Lm	03 31 18,4 24,7 39,0 34		Rac. (SK)	$\Delta=51$ km ePg _Z e _Z e _Z Lm	21 08 59,9 09 11,5 18,5 59
	Kra. (Ch)	e _{NZ} e _{NZ} e _{NZ}	03 31 17 24 32		Kra. (Ch)	$\Delta=81$ km, E inactive ePg _Z e _H e _Z eSg _N e _{NZ} e _N e _Z Lm	21 09 05,7 07,7 09,9 16,0 17,2 25,0 39,0 47
	Rac. (SK)	$\Delta=75$ km ePg _Z e _Z e _Z F	03 31 18,4 24,7 39,0 34	14.IX		H=03 ^h 16 ^m 39 ^s ; Byt. (GIG): 03 16 40,0	NZ: 1,5 ^S ; 0,08 μ , 0,08 μ
	Cho.	$\Delta=10$ km					

- 145 -

Dates	Station	Phases	G.M.T. h m s	Dates	Station	Phases	G.M.T. h m s
15.IX		$\varphi=50^{\circ}17'$; $\lambda=18^{\circ}47'$; $H=11^h49^m43,0^s$; $M=2,3$ (Bytom); 2,0 (Zabrze); Zab.: 11 49 46,5 , Byt.: 11 49 46,8 , Dab. (GIG): 11 49 49,8		16.IX	Cho. (SK)	Lm NEZ: 1,0 ^S ; 1,0 μ , 1,0 μ , 1,1 μ	01 02 15
	Cho.	$\Delta=14$ km				F	44
(SK)	eP _Z	11 49 46,5			Kra. (Ch)	e _{NZ}	01 02 11
	eS _{NE}	48,5				e _{NZ}	18
	e _N	53,5				e _{NEZ}	25
	Lm	56		20.IX		Byt. (GIG): 15 51 45,6, Dab. (GIG): 15 51 51,2	
		NEZ: 1,2 ^S ; 1,2 μ , 2,5 μ , 1,5 μ		Cho. (SK)	eP _{NEZ}	15 51(46)	
	Tm	50 04			iS _Z	49,2	
		N: 1,0 ^S ; 1,5 μ			i _N	49,7	
	F	30			i _E	50,1	
Rac.	$\Delta=47$ km				Lm	55	
(SK)	e _{BZ}	11 50 06,0			NEZ: 1,0 ^S ; 10,0 μ , 7,5 μ , 4,0 μ		
	e _Z	15,5			F	53 06	
	Lm	51		Rac. (SK)	ePg _Z	15 51 54,5	
		Z: 1,6 ^S ; 0,2 μ			e _Z	59,6	
	F	53			e _Z	52 06,4	
Kra.	$\Delta=85$ km, E inactive				e _N	07,4	
(Ch)	e _Z	11 50 04,4			e _{NZ}	13,4	
	e _N	05,3			e _N	17,4	
	eSg _Z	10,2			e _Z	24,9	
	ei _{NZ}	11,1			Lm	53 00	
	ei _Z	12,3			N: 2,0 ^S ; 0,3 μ		
	e _Z	16,0			Lm	02	
	Lm	44			Z: 1,7 ^S ; 0,4 μ		
		NZ: 1,3 ^S ; 0,08 μ , 0,06 μ			F	55	
Ndz.	$\Delta=145$ km			Kra. (Ch)	ePg _{NEZ}	15 51(59)	
(SK)	e _Z	11 50 20			e _{NZ}	52 03,2	
	eSg _Z	28,5			eiSg _{NZ}	10,3	
	e _Z	51 10,5			ei _N	19,0	
16.IX		$H=01^h02^m02^s$;			Lm	41	
		Dab. (GIG): 01 02 02,5, Byt. (GIG): 01 02 08,8			NZ: 1,2 ^S ; 0,16 μ , 0,15 μ		
	Cho.	$\Delta=14$ km		22.IX	$\varphi=50^{\circ}22'$; $\lambda=18^{\circ}50'$; $H=14^h50^m08,5^s$; $M=2,1$ (Bytom);		
(SK)	eP _{NEZ}	01 02 05,0					
	eS _{EZ}	07,2					
	ei _N	08,3					

- 146 -

Dates	Station	Phases	G.M.T. h m s	Dates	Station	Phases	G.M.T. h m s
22.IX (suite)		2,4 (Zabrze); Byt. (GIG):		22.IX	Kra. (Ch)		
		14 50 11,4			e _{NEZ}	18 03 13,1	
Cho. (SK)	Δ=13 km				e _{NE}	20,3	
	e _{P_{NZ}}	14 50 11,7 D			e _{iZ}	21,7	
	e _{P_E}	11,9			e _{iN} , e _Z	24,4	
	e _Z	13,1			e _N	26,9	
	i _{S_N} , e _{iS_Z}	14,2			e _{EZ}	28,8	
	i _E	15,5			l _m	51	
	e _{iZ}	17,5			NZ: 1,1 ^s ; 0,07μ, 0,07μ		
	l _m	20		Rac. (SK)	e _Z	18 03 18,5	
	NEZ: 0,9 ^s ; 1,6μ, 2,0μ,				e _E	21,0	
		1,1μ			e _N	26,3	
	F	51			e _N	33,4	
Rac. (SK)	Δ=55 km				e _Z	35,6	
	e _N	14 50 29,3			e _{EZ}	38,3	
	e _E	32,9			F	06	
	e _Z	35,3			H=20 ^h 41 ^m 00 ^s ; Byt. (GIG):		
	e _Z	41,6		23.IX		20 41 01,6; Dab. (GIG):	
	e _{NE}	42,5				20 41 04,2	
	F	52		Cho. (SK)	Δ=4 km		
Kra. (Ch)	Δ=85 km				i _{P_{NEZ}}	20 41 01,4 D	
	e _{Pg_{NEZ}}	14 50 24,7			i _{S_{EZ}}	02,4	
	e _N	34,8			l _m	05	
	e _{Sg_Z}	36,2			NZ: 1,0 ^s ; 1,2μ, 5,5μ		
	e _Z	37,9			l _m	06	
Ndz. (SK)	Δ=146 km				E: 0,8 ^s ; 7,5μ		
	e _{Pg_Z}	14 50 35			F	52	
	e _Z	51 01		Rac. (SK)	Traces		
	H=18 ^h 03 ^m 00 ^s ; Dab. (GIG):				Z	20 41-43	
22.IX		18 03 03,4; Byt. (GIG):					
		18 03 12,8		23.IX		H=23 ^h 22 ^m 52 ^s	
Cho. (SK)	Δ=17 km			Cho. (SK)	Δ=6 km		
	i _{P_{EZ}}	18 03 03,7 D			i _{P_{NEZ}}	23 22 53,7 D	
	i _N	04,0			i _N	54,6	
	e _Z	04,5			i _{S_{EZ}}	54,9	
	i _{S_E}	06,4			l _m	57	
	i _Z	06,8			EZ: 1,1 ^s ; 9,0μ, 4,0μ,		
	l _m	11			l _m	58	
	EZ: 1,0 ^s ; 4,0μ, 2,8μ				N: 0,8 ^s ; 8,0μ		
	F	15			F	23 37	
	N: 0,8 ^s ; 4,0μ						
		55					

- 147 -

Dates	Station	Phases	G.M.T. h m s	Dates	Station	Phases	G.M.T. h m s
23.IX (suite)	Rac. (SK)	e _{Pg_Z}	23 23(02)	25.IX	Kra. (Ch)	e _{NEZ}	13 58 56
		e _Z	11,8		Rac. (SK)	Traces	
		e _Z	26,4			e _{NEZ}	13 59-14 01
		F	26				
				28.IX		H=21 ^h 20 ^m 18,5 ^s ; Zab. (GIG):	
						21 20 19,0; Dab. (GIG):	
						21 20 26,7	
				Cho. (W)	e _{P_Z}	13 58 31,4	
					e _Z	34,7	
					l _m	42	
					Z: 1,1 ^s ; 0,4μ		
					F	59 07	
				Kra. (Ch)	e _{Pg_{NEZ}}	13 58 38	
					e _{NEZ}	45	
1961							O C T O B R E
							1961
1.X		H=00 ^h 02 ^m 17 ^s		7.X	Kra. (Ch)	Δ=55 km	
					Δ=3 km		
					i _{P_{NEZ}}	00 02 17,8	
					e _{iE}	18,3	
					i _{S_N}	18,5	
					l _m	20	
					NEZ: 1,0 ^s ; 5,0μ, 6,0μ,		
						1,5μ	
					F	03 02	
				Rac. (SK)	Traces		
					Z	00 02-05	
				7.X		H=17 ^h 04 ^m 44 ^s ; Dab. (GIG):	
						17 04 45,6	
				Cho. (SK)	Δ=20 km		
					e _{P_{EZ}}	17 04 48,0	
					e _E	49,1	
					e _Z	50,1	
					e _{S_N}	51,0	
					e _Z	53,0	
					l _m	57	
					NEZ: 1,0 ^s ; 4,7μ, 4,7μ,		
						1,4μ	
					F	21 00 18	
				Kra. (Ch)	e _{NEZ}	20 59 54	
					e _{NEZ}	21 00 03,5	
				10.X		H=17 ^h 48 ^m 06 ^s ; Byt. (GIG):	
						17 48 08,8; Dab. (GIG):	
						17 48 12,5	

- 148 -

Dates	Station	Phases	G.M.T. h m s	Dates	Station	Phases	G.M.T. h m s
10.X (suite)	Cho. (SK)	$\Delta=11$ km iP _{NEZ} iS _{EZ} Lm NEZ: 0,9 ^s ; 1,5 μ , 4,0 μ , 2,0 μ	17 48 08,5 C	13.X (SK)	Rac. (Ch)	e _Z e _E e _{EZ} F	02 17 15 18 38 19
12.X	Rac. (SK)	Traces Z	17 48-50	18.X (SK)	Cho. (SK)	H=00 ^h 49 ^m 48,5 ^s ; Dab. (GIG): 00 49 50,8; Byt. (GIG): 00 49 59,4	00 49 52,1 D 54,9 57,4 59,4 50 02 NEZ: 1,0 ^s ; 2,0 μ , 3,5 μ , 3,0 μ
					Kra. (Ch)	$\Delta=18$ km eP _N , eP _{EZ} iS _{NEZ} i _E e _{iZ} Lm	00 49 52,1 D 54,9 57,4 59,4 50 02 NEZ: 1,0 ^s ; 2,0 μ , 3,5 μ , 3,0 μ
					Rac. (SK)	Traces NEZ	00 49(57) 50 06 20
				18.X (SK)	Cho. (SK)	$\varphi=50^{\circ}14'$; $\lambda=19^{\circ}04'$; H=23 ^h 39 ^m 01 ^s ; M=2,5 (Bytom); Byt. (GIG): 23 39 02,0, Dab. (GIG): 23 39 06,1	00 49-52 44
					Kra. (Ch)	$\Delta=11$ km iP _{NEZ} iS _{NEZ} Lm	23 39 03,3 D 05,5 09 NEZ: 0,9 ^s ; 3,0 μ , 4,0 μ , 2,0 μ
					Rac. (SK)	Traces e _{NEZ}	23 39 12,1 17,6 20,2 33,8 36,6 41
					Kra. (Ch)	$\Delta=54$ km eP _{NEZ} eSg _{NEZ} e _{NEZ} e _{NEZ}	02 16 43,6 D 45,1 48 NEZ: 1,0 ^s ; 3,5 μ , 5,5 μ , 3,4 μ
					Rac. (SK)	$\Delta=54$ km e _Z eSg _N e _{EZ} e _N e _Z F	02 16 53,5 17 02 06 13 02 17 10,5

- 149 -

Dates	Station	Phases	G.M.T. h m s	Dates	Station	Phases	G.M.T. h m s				
18.X (suite)	Kra. (Ch)	$\Delta=83$ km ePg _{NEZ} e _Z eSg _{NEZ} ei _Z e _N e _Z Lm	23 39 16,2 21,5 26,9 28,1 32,3 34,7 40 00 N: 1,2 ^s ; 0,05 μ	21.X (SK)	Rac. (Ch)	$\Delta=66$ km e _Z e _{EZ} eSg _E e _{NZ} e _E e _N e _Z e _{NB} Lm	22 28 56,2 29 00,4 03,4 06,0 08,0 09,4 11,3 14,6 45 NZ: 1,2 ^s ; 0,3 μ , 0,4 μ				
					Cho. (SK)	H=13 ^h 18 ^m 56,3 ^s $\Delta=3$ km iP _{NEZ} iS _Z Lm	13 18 57,4 C 58,2 19 00 NEZ: 0,8 ^s ; 7,5 μ , 6,0 μ , 7,0 μ	Ndz. (SK)	$\Delta=127$ km ePg _Z e _{NZ}	22 29 05 23	
					Rac. (SK)	Traces Z	13 19-21 41	22.X (SK)	H=14 ^h 14 ^m 38,7 ^s ; Dab. (GIG): 14 14 40,4		
					Kra. (Ch)	$\Delta=18$ km eP _E , eP _Z e _N iS _Z i _{NE} i _Z Lm	14 14 42,5 D 43,5 45,3 46,5 49,5 53 NEZ: 1,0 ^s ; 1,2 μ , 2,5 μ , 2,0 μ	Cho. (SK)	$\Delta=8$ km iP _{NEZ} iS _{NE} i _{NZ} Lm	22 28 44,8 D 46,3 46,7 51	
					Rac. (SK)	Traces Z	29 51	Kra. (Ch)	$\Delta=57$ km ePg _{NEZ} e _{NEZ} e _{NEZ}	15 41 14 14 49 15 09 23	
					Kra. (Ch)	$\Delta=65$ km ePg _{NEZ} eSg _{NZ} e _E i _N ei _Z e _Z Lm	22 28 54,4 29 02,8 04,0 06,8 08,2 17,0 39 NEZ: 1,1 ^s ; 0,08 μ , 0,04 μ , 0,07 μ	Rac. (SK)	Traces Z	14 15-17	
								26.X (SK)	H=06 ^h 56 ^m 47 ^s ; Zab. (GIG): 06 56 48,0; Dab. (GIG): 06 56 52,2		
									Cho. (SK)	$\Delta=8$ km eP _Z e _{SE} i _{NZ} Lm	06 56 49,2 D 50,7 51,9 57

- 150 -

Dates	Station	Phases	G.M.T. h m s	Dates	Station	Phases	G.M.T. h m s
26.X (suite)	Cho. (SK)	NEZ: 1,2 ^s ; 2,5μ, 4,5μ, 2,5μ F	06 57 58	27.X	Cho. (SK)	i _Z Lm	20 02 31,8 37
Rac. (SK)	Δ=55 km, E inactive eSg _N e _N e _Z e _{NEZ} e _Z F	06 57 04 15 17 26 33 59			NEZ: 1,2 ^s ; 1,5μ, 2,5μ, 1,5μ F	03 23	
Kra. (Ch)	ePg _{NEZ} e _{NEZ} e _{NEZ}	06 57(00) 12 30		Rac. (SK)	Δ=55 km ePg _Z eSg _{NEZ} e _E e _{NEZ} F	20 02 37,3 45,0 49 59 05	
27.X	φ=50°22'; λ=18°50'; H=20°02 ^m 27,0 ^s ; M=2,6 (Bytom); 2,4 (Zabrze); Byt.: 20 02 28,1, Zab.: 20 02 28,9, Dab. (GIG): 20 02 32,3			Kra. (Ch)	Δ=85 km ePg _{NEZ} e _E eSg _{NEZ} e _Z Lm	20 02 42,5 47,4 53,5 58,0 03 25	
Cho. (SK)	Δ=13 km eP _N , iP _{EZ} iS _{NE}	20 02 29,2 D 30,9		Ndz. (SK)	Δ=145 km ePg _{NZ} e _N e _Z e _N	20 02 52,6 03 13,2 14,6 21,7	

1961

NOVEMBER

1961

1.XI	H=03 ^h 11 ^m 28,3 ^s	1.XI	Kra. (Ch)	e _{NZ} e _{NEZ}	03 11 49 55
Cho. (SK)	Δ=16 km eP _Z e _N , e _{iZ} iS _Z i _E e _Z Lm	03 11 31,5 33,5 34,0 34,9 37,5 41			
	NEZ: 1,2 ^s ; 1,0μ, 1,2μ, 1,1μ F	57			
Kra. (Ch)	Δ=55 km ePg _{NEZ} eSg _{NEZ}	03 11 38 45			

- 151 -

Dates	Station	Phases	G.M.T. h m s	Dates	Station	Phases	G.M.T. h m s
1.XI (suite)	Kra. (Ch)	i _Z e _Z e _{NEZ} e _{EZ}	20 02 31,8 37 36 43	3.XI	Rac. (SK)	Traces Z	17 53-56
Rac. (SK)	Traces e _Z e _Z F	14 54 54 55 12 57	4.XI		H=10 ^h 45 ^m 18 ^s ; Zab. (GIG): 10 45 21,5, Byt. (GIG): 10 45 22,2, Dab. (GIG): 10 45 27,0		
Kra. (Ch)	Δ=12 km iP _{NEZ} iS _{NEZ} Lm	10 45 20,8 C 22,8 25			NEZ: 1,0 ^s ; 4,0μ, 5,5μ, 3,8μ		
	F	41					
Cho. (SK)	Δ=6 km iP _{NEZ} iS _{EZ} Lm	00 29 16,3 D 17,4 19	Rac. (SK)	Traces Z	10 45-48		
	NEZ: 1,1 ^s ; 8,5μ, 9,0μ, 6,3μ		Kra. (Ch)	e _{NZ} e _Z e _{NZ}	10 45 30 35 43		
	F	56					
			6.XI		φ=50°22'; λ=18°50'; H=03 ^h 52 ^m 59,5 ^s ; M=2,4 (Bytom); 2,6 (Zabrze); Byt. (GIG): 03 53 00,5, Zab. (GIG): 03 53 00,5, Dab. (GIG): 03 53 04,4		
				Cho. (SK)	Δ=13 km eP _{NE} , iP _Z	03 53 01,5 C 07,5	
					i _Z Lm	09	
						NEZ: 1,3 ^s ; 1,1μ, 4,3μ, 2,0μ	
					F	53	
				Rac. (SK)	Δ=55 km ePg _{NEZ} eSg _Z e _{NE} e _Z e _{NE} F	03 53 10,3 17,8 20 31 32 57	

Dates	Station	Phases	G.M.T. h m s	Dates	Station	Phases	G.M.T. h m s
6.XI (suite)	Kra. (Ch)	$\Delta=85$ km ePg_{NEZ}	03 53 14,6 16,2 17,2 19,4 21,7 25,7 28,7 30,3 33,4 59 NEZ: 1,2 ^s ; 0,07 μ , 0,05 μ , 0,06 μ	8.XI	Rac. (SK)	eSg_{EZ} e_N e_{EZ} e_N e_Z F	00 54 36,5 42 44 51 55 58
7.XI		$H=08^h 55^m 03,7^s$; Byt. (GIG): 08 55 05,3; Dąb. (GIG): 08 55 09,5		11.XI		$H=16^h 32^m 04^s$; Dąb. (GIG): 16 32 05,4	
	Cho. (SK)	$\Delta=10$ km iP_{NEZ} iS_{NEZ} Lm NEZ: 1,1 ^s ; 3,3 μ , 2,0 μ , 3,0 μ F	08 55 06,2 C 08,0 12 33		Cho. (SK)	$\Delta=16$ km ePg_{EZ} e_Z e_N iS_E , eS_Z e_N i_N Lm	16 32 07,6 08,4 08,9 10,1 10,4 11,7 18
	Rac. (SK)	Traces NZ	08 55-58			NEZ: 0,9 ^s ; 2,0 μ , 1,3 μ , 1,0 μ F	38
8.XI		$H=00^h 54^m 17,5^s$; M=2,5 (Zabrze); Dąb. (GIG): 00 54 17,9, Byt. (GIG): 00 54 18,5, Zab. (GIG): 00 54 18,7		12.XI	Kra. (Ch)	$\Delta=60$ km ePg_{NEZ} eSg_{NEZ} e_{NEZ}	16 32 15 23 29
	Cho. (SK)	$\Delta=10$ km iP_{NEZ} iS_{NE} i_Z Lm NEZ: 0,9 ^s ; 3,0 μ , 3,5 μ , 2,0 μ Lm N: 0,8 ^s ; 3,3 μ F	00 54 19,8 D 21,6 22,3 27 33 54		Rac. (SK)	$\varphi=50^{\circ}16'$; $\lambda=18^{\circ}59'$; $H=08^h 04^m 46,5^s$; M=2,5 (Racibórz); Dąb. (GIG): 08 04 51,2	08 04 47,8 52 06 13
	Rac. (SK)	$\Delta=62$ km			Cho. (SK)	$\Delta=3$ km, N inactive iP_{EZ} Lm EZ: 1,0 ^s ; 27,0 μ , 38,5 μ F	08 04 58,2 59,7 05 03,7 06,7 11,7 15,2 17,2

Dates	Station	Phases	G.M.T. h m s	Dates	Station	Phases	G.M.T. h m s
12.XI (suite)	Rac. (SK)	e _Z e _Z l _m Z: 1,4 ^S ; 0,2μ F	08 05 19,7 22,7 55 08	12.XI	Rac. (SK)	e _Z e _E e _N e _{EZ} l _m EZ: 1,3 ^S ; 0,4μ, 0,4μ l _m N: 2,0 ^S ; 0,8μ F	18 51 49,0 50,8 52,3 53,8 52 28 43 55
Kra. (Ch)	Δ=73 km ePg _{NEZ} e _{NE} e _Z iSg _{NEZ} i _Z i _Z i _E l _m NEZ: 1,3 ^S ; 0,13μ, 0,13μ, 0,11μ	08 04(59) 05 04,3 06,7 09,8 11,9 22,6 23,6 37		Kra. (Ch)	Δ=71 km ePg _{NEZ} iSg _N ei _Z i _Z e _Z ei _Z l _m E: 1,4 ^S ; 0,14μ l _m N: 1,2 ^S ; 0,09μ	18 51 37,8 46,8 47,4 51,5 54,1 55,9 52 18 23	
Ndz. (SK)	Δ=130 km ePg _Z e _Z e _Z	08 05 10 30 36		13.XI	H=13 ^h 30 ^m 48 ^s ; Dąb. (GIG): 13 30 51,1		
12.XI	φ=50°14'; λ=18°58'; H=18 ^h 51 ^m 24,5 ^s ; M=3,0 (Bytom); 3,2 (Zabrze); 2,6 (Racibórz); Byt. (GIG): 18 51 25,2; Zab.: 18 51 26,5; Dąb. (GIG): 18 51 28,5			Cho. (SK)	Δ=3 km iP _{NEZ} iS _{NEZ} l _m NEZ: 1,0 ^S ; 7,5μ, 4,0μ, 4,0μ	13 30 49,4 C 50,3 52 31 27	
Cho. (SK)	Δ=6 km iP _{NBZ} iS _{EZ} i _N l _m NEZ: 0,8 ^S ; 9,5μ, 13,5μ, 5,5μ F	18 51 25,2 C 26,2 26,4 28 52 35		Kra. (Ch)	Δ=70 km eSg _{NEZ} e _{NEZ} e _{NEZ} Traces (SK)	13 31 09,5 19,5 28,5 13 31 21 31 33	
Rac. (SK)	Δ=57 km ePg _{EZ} e _{NE} eSg _N e _Z	18 51 35,8 40,8 43,0 44,3		14.XI	H=05 ^h 46 ^m 59,5 ^s ; Zab. (GIG): 05 47 00,5; Byt. (GIG): 05 47 01,9		

Dates	Station	Phases	G.M.T. h m s	Dates	Station	Phases	G.M.T. h m s
14.XI (suite)	Cho. (SK)	$\Delta=15$ km eP_{EZ} e_{NE} eis_{EZ} i_N i_E i_N, ei_Z Im NEZ: $1,2^S; 1,0\mu, 1,8\mu,$ $1,4\mu$	05 47 02,8 D 04,2 05,2 06,5 07,0 08,4 11 NEZ: $1,2^S; 1,0\mu, 1,8\mu,$ $1,4\mu$	16.XI	Cho. (SK)	Lm NEZ: $1,0^S; 3,5\mu, 4,0\mu,$ $3,0\mu$ F	12 54 10 30 Traces (SK) e_Z F
	Rac. (SK)	Traces e_Z F	05 47 32,6 50	16.XI	Cho. (SK)	$Rac.$ iP_{NEZ} i_Z Im NEZ: $0,9^S; 3,5\mu, 5,0\mu,$ $3,7\mu$ F	12 54 31,4 56 $H=15^h 36^m 36^s;$ 15 36 38,1 C 41,0 45 38 30
15.XI		$H=17^h 52^m 40^s;$ Dab. (GIG): 17 52 42,2			Kra. (Ch)	$\Delta=60$ km ePg_{NEZ} eSg_{NEZ} e_{NEZ}	15 36 47 55 37 23
	Cho. (SK)	$\Delta=19$ km eP_{NZ} e_{NE} e_Z iS_{NE} i_Z Im NEZ: $0,9^S; 3,5\mu, 2,0\mu,$ $1,9\mu$	17 52 44,0 D 44,5 46,4 46,9 48,5 55 F		Rac. (SK)	$\Delta=70$ km e_Z e_B eSg_E e_{NZ} e_{EZ} e_N e_Z Im	15 36 49,5 52,5 57,4 37 02,4 08,5 12,5 22,4 51
	Kra. (Ch)	$\Delta=55$ km ePg_{NEZ} e_{NEZ} e_{NEZ} e_{NEZ}	17 52 50 53 53 15 20			NEZ: $1,2^S; 0,2\mu, 0,3\mu,$ $0,3\mu$	
16.XI		$H=12^h 54^m 03,5^s;$ M=2,3 (Zabrze); Byt.: 12 54 06,8, Zab.: 12 54 07,8, Dab. (GIG): 12 54 12,3		17.XI	Cho. (SK)	$H=04^h 59^m 20^s;$ M=2,3 (Racibórz); eP_{NE}, iP_Z iS_E i_Z i_Z Im	04 59 21,8 23,4 24,1 27,9 30
	Cho. (SK)	$\Delta=6$ km eip_{NZ}, iP_E iS_{NZ}	12 54 05,3 D 06,6				

Dates	Station	Phases	G.M.T. h m s	Dates	Station	Phases	G.M.T. h m s
17.XI (suite)	Cho. (SK)	NEZ: 1,2 ^s ; 1,7 μ , 3,5 μ , 2,0 μ F	05 00 18	17.XI	Cho. (SK)	i _Z Lm NEZ: 1,0 ^s ; 1,5 μ , 1,5 μ , 1,4 μ F	18 35 08,5 11 30
Rac.	$\Delta=57$ km			Rac.	$\Delta=53$ km		
(SK)	eP _{GZ}	04 59 31,2		(SK)	e _{EZ}	18 35 09,9	
	eS _{GZ}	38,9			e _{NE}	17,9	
	e _N	45,4			e _N	26,7	
	e _Z	47,4			e _Z	29,4	
	e _E	50,4			e _N	33,4	
	e _N	59,4			e _Z	40,9	
	e _N	05 00 04,4			Lm	36 12	
	e _Z	08,4			Z: 1,5 ^s ; 0,3 μ		
	Lm	34			F	38	
	NEZ: 1,3 ^s ; 0,4 μ , 0,2 μ , 0,4 μ			Kra.	$\Delta=86$ km		
	F	03		(Ch)	eP _{GNEZ}	18 35 14,9	
17.XI	H=17 ^h 29 ^m 00 ^s ; Byt. (GIG):				e _N	16,7	
	17 29 01,4; Dab. (GIG):				e _Z	21,4	
	17 29 05,9				e _N	24,8	
Cho.	$\Delta=13$ km				eis _{GNZ}	25,9	
(SK)	eP _N , iP _Z	17 29 03,1 D			i _Z	27,1	
	eS _Z	05,2			i _N , e _E	28,4	
	i _E , e _{iZ}	06,3			e _Z	34,9	
	e _Z	08,9			Lm	59	
	Lm	11			NEZ: 1,1 ^s ; 0,05 μ , 0,03 μ , 0,05 μ		
	NEZ: 1,0 ^s ; 0,7 μ , 1,5 μ , 1,0 μ						
	F	36		18.XI	H=16 ^h 42 ^m 25,5 ^s ; Dab. (GIG):		
Rac.	Traces				16 42 27,1; Byt. (GIG):		
(SK)	e _Z	17 29 34			16 42 35,1		
	F	32		Cho.	$\Delta=16$ km		
17.XI	$\varphi=50^{\circ}22'$; $\lambda=18^{\circ}48'$; H=18 ^h 34 ^m 59 ^s ; M=2,2 (Raci- bórz); Byt.: 18 35 00,0 Zab.: 18 35 00,4, Dab. (GIG): 18 35 04,6			iP _{NZ}	16 42 28,4 D		
					i _E	28,9	
					eS _{NZ}	30,9	
					i _{EZ}	31,6	
					i _N	32,3	
					Lm	38	
Cho.	$\Delta=15$ km				NEZ: 1,0 ^s ; 3,6 μ , 4,5 μ , 3,1 μ		
(SK)	eP _{NE} , iP _Z	18 35 01,7			F	43 32	
	iS _N	03,9		Kra.	$\Delta=57$ km		
	i _{EZ}	04,3		(Ch)	eP _{GNEZ}	16 42 36,4	
	i _{..}	05,8					

- 156 -

Dates	Station	Phases	G.M.T. h m s	Dates	Station	Phases	G.M.T. h m s
18.XI (suite)	Kra. (Ch)	eiSg _N , eSg _Z ei _E ei _N , e _Z Im	16 42 44,1 44,6 51,4 58	22.XI	Cho. (SK)	F Rac. Δ=55 km eSg _N e _N e _{NEZ} e _B e _Z F	10 55 27 10 55 11 18 27 34 36 57
		NEZ: 1,1 ^s ; 0,08μ, 0,07μ, 0,07μ					
	Rao. (SK)	e _Z e _{EZ} e _Z e _{EZ} e _N Im	16 42 40,7 41,2 53,2 58,2 43 00,7 40	22.XI	Zab. (GIG): 21 55 41,5, Byt. (GIG): 21 55 43,1, Dab. (GIG): 21 55 46,6		
		EZ: 1,5 ^s ; 0,2μ, 0,2μ F	47		Cho. (SK)	eiP _{EZ} eS _{NZ} e _N Im	21 55(42) 45,5 46,7 52
18.XI		Dab. (GIG): 21 49 58,4					
	Cho. (SK)	ei _P _Z e _N ei _E e _{NZ} i _E e _Z Im	21 49 59,7 50 00,9 01,2 03,0 03,7 06,7 09				
		NEZ: 1,0 ^s ; 0,8μ, 1,4μ, 1,4μ			Rac. (SK)	Traces e _Z F	21 56 07 58
		F	34	23.XI	H=12 ^h 14 ^m 15 ^s Zab. (GIG): 12 14 15,4, Byt. (GIG): 12 14 18,8, Dab. (GIG): 12 14 19,7		
	Rac. (SK)	Traces e _Z e _E e _Z e _E F	21 50 17 22 38 42 53		Cho. (SK)	Δ=4 km iP _{NEZ} iS _{NEZ} Im	12 14 16,3 0 17,3 18
		NEZ: 0,9 ^s ; 3,6μ, 5,5μ, 1,5μ					
22.XI		H=10 ^h 54 ^m 54 ^s					
	Cho. (SK)	Δ=12 km eiP _N , iP _{EZ} iS _N e _Z i _E Im	10 54 56,5 D 58,5 59,2 59,5 55 05		Rac. (SK)	e _Z e _{NE} e _Z e _Z e _E F	12 14 27,1 28,0 42,0 46,4 48,4 17
		NEZ: 1,0 ^s ; 1,5μ, 2,1μ, 1,0μ					

- 157 -

Dates	Station	Phases	G.M.T. h m s	Dates	Station	Phases	G.M.T. h m s
25.XI		H=17 ^h 20 ^m 56,5 ^s		28.XI	Rac. (SK)	Traces e _Z P	18 06 16 08
	Cho. (SK)	Δ=17 km eP _Z e _{NE} i _N iS _N , eS _Z i _E ei _Z Im	17 20 00,2 00,7 01,7 03,0 03,3 07,7 11	29.XI		H=23 ^h 45 ^m 36 ^s	
		NEZ: 1,1 ^s ; 2,5μ, 3,6μ, 2,0μ			Cho. (SK)	Δ=15 km, Z inactive eP _E i _{NE} iS _N e _E Im	23 45 39,0 40,1 41,3 43,9 48
		F	38			NE: 1,0 ^s ; 1,8μ, 1,1μ	
	Kra. (Ch)	Δ=65 km ePg _{NEZ} e _Z iSg _{NE} e _Z e _E ei _N Im	17 20 08,2 16,2 16,9 22,1 23,6 29,6 44	30.XI		H=04 ^h 11 ^m 36,5 ^s , Zab. (GIG): 04 11 38,2, Byt. (GIG): 04 11 39,4, Dab. (GIG): 04 11 41,7	
		NEZ: 1,1 ^s ; 0,07μ, 0,06μ, 0,07μ			Rac. (SK)	Δ=7 km e _N e _Z e _E e _{NZ} F	17 20 21,3 26,2 36 38 24
		Rac. (SK)		28.XI		H=18 ^h 05 ^m 41 ^s , Byt. (GIG): 18 05 43,4, Dab. (GIG): 18 05 48,0	
		Traces e _Z F			Cho. (SK)	Δ=13 km eiP _{NZ} e _E eiS _N e _Z Im	18 05 44,1 D 45,4 46,3 47,1 54
		NEZ: 1,2 ^s ; 1,1μ, 2,0μ, 0,8μ				NEZ: 1,2 ^s ; 1,1μ, 2,0μ, 0,8μ	
		F	06 14		Kra. (Ch)	Δ=78 km eiPg _{NEZ} e _{NEZ} e _{NEZ}	04 11 51 12 00,5 07,5

Dates	Station	Phases	G.M.T. h m s	Dates	Station	Phases	G.M.T. h m s
1961				D E C E M B R E			
							1961
1.XII		H=00 ^h 39 ^m 14,5 ^s ; Byt. (GIG): 00 39 16,0		1.XII	Kra. (Ch)	i _Z i _Z e _Z Im	15 13 51,9 54,0 56,0 14 18
Cho.	Δ=4 km						NEZ: 1,1 ^s ; 0,10<μ, 0,10<μ, 0,08<μ
(SK)	iP _{NE} , eP _Z	00 39 15,4		1.XII		Byt. (GIG): 21 15 06,9	
	i _E	16,0		Cho.			
	iS _{NZ}	16,4		(SK)	eP _{NEZ}	21 14 57,8	
	Im	19			e _{NEZ}	15 01,8	
	NE: 0,7 ^s ; 14,0<μ, 8,0<μ				i _E	05,1	
	F	48			Im	10	
Kra.	Δ=74 km						NEZ: 1,0 ^s ; 1,2<μ, 2,0<μ, 1,2<μ
(Ch)	ePg _{NZ} , eiPg _E	00 39 28,5		Rac.	Traces		
	eSg _{NEZ}	38		(SK)	Z	00 39-41	
	e _{NEZ}	44					
Rac.	Traces						
(SK)	Z	00 39-41					
1.XII	φ=50°11'; λ=19°04'; H=15 ^h 13 ^m 33,0 ^s ; M=2,3 (Bytom); Byt. (GIG): 15 13 42,1, Dqb. (GIG): 15 13 44,0			Rac.	Traces		
Cho.	Δ=13 km			(SK)	e _Z	21 15 50	
(SK)	iP _{NEZ}	15 13 36,1 C			F	18	
	iS _N	38,1					
	i _{NZ}	39,6					
	i _Z	43,1					
	Im	46					
	NEZ: 1,0 ^s ; 4,0<μ, 6,0<μ, 3,0<μ						
	F	14 20					
Rac.	Δ=62 km						
(SK)	e _Z	15 13 48,9					
	eSg _Z	51,7					
	e _{NEZ}	14 06					
	e _Z	11					
	e _N	21					
	F	17					
Kra.	Δ=63 km						
(Ch)	eiPg _N , iPg _{EZ}	15 13 43,5		Rac.	Traces		
	ei _N	49,8		(SK)	e _Z	11 51 25	
	iSg _N	51,5			e _{NE}	39	

Dates	Station	Phases	G.M.T. h m s	Dates	Station	Phases	G.M.T. h m s
4.XII (suite)	Ndz. (SK)	Traces e_Z	11 51 32	7.XII	Rac.	Lm NE: 1,6 ^s ; 1,0 μ , 0,7 μ F	23 33 59 38
6.XII		H=00 ^h 48 ^m 08, ^s 5 ⁸			Kra. (Ch)	$\Delta=71$ km iPg _{NEZ} i_N i_Z i_{EZ} i_N i_Z i_E	22 32 56,1 58,6 59,7 33 10,0 11,6 13,4 17,0 37
	Cho. (SK)	$\Delta=7$ km iP _{NEZ} iS _{NEZ} Lm NEZ: 1,1 ^s ; 6,0 μ , 4,5 μ , 4,5 μ	00 48 10,3 11,7 15 F				
	Rac. (SK)	$\Delta=58$ km e_Z e_{Sg_E} e_{EZ} F	00 48 22 26 34 51		Ndz. (SK)	$\Delta=130$ km ePg _{NEZ}	NEZ: 1,1 ^s ; 0,23 μ , 0,29 μ , 0,13 μ 22 33 06
	Kra. (Ch)	e_{NEZ} e_{NEZ} e_{NEZ}	00 48 23,5 33 42	8.XII			$\varphi=50^{\circ}14'$; $\lambda=19^{\circ}00'$; H=04 ^h 25 ^m 04, ^s 2 ⁸ ; M=2,5 (Bytom); Byt. (GIG): 04 25 08,9
7.XII		$\varphi=50^{\circ}14'$; $\lambda=19^{\circ}00'$; H=22 ^h 32 ^m 43 ^s ; M=2,8 (Bytom); Byt. (GIG): 22 32 46,9			Cho. (SK)	$\Delta=5$ km iP _{NEZ} i_Z iS _{NEZ} Lm Z: 1,1 ^s ; 18,8 μ Lm NE: 1,1 ^s ; 15,0 μ , 14,0 μ F	04 25 05,8 C 06,2 07,0 09 12 26 30
	Cho. (SK)	$\Delta=5$ km iP _{NEZ} Lm NEZ: 1,1 ^s ; 40,0 μ , 38,0 μ , 44,0 μ	22 32 44,1 C 47 F		Rac. (SK)	$\Delta=60$ km, N inactive ePg _Z e_Z e_Z e_E e_Z e_N e_E e_Z Lm EZ: 1,8 ^s ; 0,6 μ , 0,5 μ F	04 25 13,4 15,4 17,5 18,0 25,4 34,4 43,0 26 08 29
	Rac. (SK)	$\Delta=60$ km ePg _{NEZ} $e_{Sg_{NZ}}$ e_E e_E e_Z e_N e_E e_Z Lm NEZ: 1,2 ^s ; 0,8 μ , 0,4 μ , 1,3 μ	22 32 54,0 33 01,7 02,5 09,3 12,8 15 16 19 37		Kra.	$\Delta=71$ km	

- 160 -

Dates	Station	Phases	G.M.T. h m s	Dates	Station	Phases	G.M.T. h m s
8.XII (suite)	Kra. (Ch)	ePg _{NZ} , iPg _E	04 25 17,3	9.XII		H=15 ^h 37 ^m 19,5 ^s ;	
		e _N	19,4			Dab. (GIG): 15 37 25,7	
		i _E	22,7		Cho. (SK)	Δ=5 km	
		i _{NEZ}	26,2			iP _{NEZ}	15 37 20,9 D
		iSg _E	27,0			iS _{NZ}	21,9
		i _E	31,6			l _m	23
		i _{NZ}	34,6			NEZ: 1,0 ^s ; 7,2<μ>, 7,0<μ>	
		e _E	35,6			5,5<μ>	
		l _m	58		Rac. (SK)	F	38 01
			NE: 1,2 ^s ; 0,11<μ>, 0,15<μ>			Traces, N inactive	
	Ndz. (SK)	Δ=130 km				e _Z	15 37 49
		ePg _Z	04 25 28,0			F	39
		e _Z	31,7	10.XII		q=50°22'; λ=18°50' ;	
		e _Z	50,0			H=10 ^h 50 ^m 01,5 ^s ; M=2,5 (Bytom);	
		e _Z	26 13,2			Byt. (GIG): 10 50 02,5;	
						Dab. (GIG): 10 50 07,6	
8.XII		Byt. (GIG): 18 50 01,7,			Cho. (SK)	Δ=13 km	
		Dab. (GIG): 18 50 04,5				iP _{NEZ}	10 50 04,2 D
						i _{EZ}	05,4
	Cho. (SK)	ePg _{NEZ}	18 50(01)			iS _N	06,2
		iS _{NE}	04,0			i _Z	06,8
		l _m	09			i _{NE}	07,6
			EZ: 1,1 ^s ; 1,5<μ>, 1,0<μ>			l _m	12
		F	33			NEZ: 1,1 ^s ; 3,7<μ>, 4,1<μ>,	
						2,5<μ>	
	Rac. (SK)	N inactive				F	51 13
		e _{EZ}	18 50 26		Rac. (SK)	Δ=55 km, N inactive	
		e _Z	33			e _Z	10 50 12
		e _{EZ}	37			e _E	25
		F	53			e _Z	28
8.XII		H=22 ^h 47 ^m 48,5 ^s ;				F	53
		Dab. (GIG): 22 47 55,0			Kra. (SK)	Δ=85 km	
						iPg _{NEZ}	10 50 17
	Cho. (SK)	Δ=8 km				i _Z	18,5
		iP _{NZ} , e _E	22 47 50,6 D			i _N	27
		iS _{NEZ}	52,1			iSg _Z	28
		l _m	54			i _{NZ}	29,5
			NEZ: 1,1 ^s ; 4,5<μ>, 3,0<μ>,			i _Z	31,5
			3,1<μ>			e _Z	35,5
		F	48 12			l _m	51 00
	Rac. (SK)	Traces				NEZ: 1,2 ^s ; 0,06<μ>, 0,05<μ>,	
		Z	22 48-50			0,06<μ>	

- 161 -

Dates	Station	Phases	G.M.T. h m s	Dates	Station	Phases	G.M.T. h m s
10.XII		H=21 ^h 31 ^m 27,5 ^s ;		13.XII	Rac. (SK)	Traces	
		Dab. (GIG): 21 31 29,6,			Z		00 07-10
		Byt. (GIG): 21 31 35,4		13.XII		q=50°16'; λ=18°45' ;	
	Cho. (SK)	Δ=20 km				H=12 ^h 13 ^m 03 ^s ; M=3,0 (Bytom);	
		ePg _{EZ}	21 31 31,4			Byt. (GIG): 12 13 06,4;	
		e _N	32,7			Dab. (GIG): 12 13 08,4	
		eS _{NEZ}	34,1		Cho. (SK)	Δ=16 km	
		ei _{NEZ}	38,9			iP _{NEZ}	12 13 05,3
		l _m	41			l _m	13
		NEZ: 1,1 ^s ; 1,1<μ>, 1,6<μ>,				Z: 1,2 ^s ; 3,0<μ>	
		1,2<μ>				l _m	16
		F	32 14			N: 1,0 ^s ; 3,7<μ>	
	Kra. (Ch)	Δ=53 km				l _m	19
		ePg _{NEZ}	21 31 38			E: 1,0 ^s ; 6,0<μ>	
		eSg _{NEZ}	45			F	15 17
		eEZ	50		Rac. (SK)	Δ=46 km	
		e _{NEZ}	55			ePg _Z	12 13 11,4
	Rac. (SK)	Traces				e _E	11,9
		Z	21 32-34			e _N	13,9
12.XII		H=16 ^h 27 ^m 37 ^s ; Dab. (GIG):				e _B	15,0
		16 27 39,2				e _{NZ}	16,3
	Cho. (SK)	Δ=20 km				ei _N	20,0
		ePg _{EZ}	16 27 41,1			e _Z	21,9
		e _N	42,1			ei _E	23,7
		eiS _{NE} , eS _Z	44,1			i _N	24,9
		i _B	47,3			e _{NE} , i _Z	30,7
		e _Z	48,1			l _m	14 00
		l _m	51			EZ: 1,4 ^s ; 0,4<μ>, 0,7<μ>	
		NEZ: 1,0 ^s , 0,8<μ>, 1,4<μ>,				l _m	11
		1,5<μ>				N: 1,7 ^s ; 1,2<μ>	
		F	28 05			F	18
	Kra. (Ch)	Δ=54 km			Kra. (Ch)	Δ=87 km	
		ePg _{NEZ}	16 27 48			iPg _{NEZ}	12 13 18,2
		eSg _{NEZ}	54			e _N	20,2
		e _{NEZ}	28 02			e _Z	21,8
13.XII	Cho. (SK)					e _Z	23,9
		ePg _{NEZ}	00 07(06)			i _N	28,4
		l _m	10			iSg _N , eiSg _Z	29,1
		NEZ: 0,8 ^s ; 4,0<μ>, 2,3<μ>,				i _Z	32,1
		2,4<μ>				ei _Z	35,2
		F	46			e _Z	40,9

Dates	Station	Phases	G.M.T. h m s	Dates	Station	Phases	G.M.T. h m s
13.XII (suite)	Kra. (Ch)	Lm	12 14 01	16.XII	Kra. (Ch)	e _{NEZ}	21 46 53,4
		NEZ: 1,4 ^S ; 0,13 μ , 0,21 μ , 0,31 μ				e _{EZ}	55,2
	Ndz.	$\Delta=145$ km				e _{iN}	56,4
	(SK)	ePg _Z	12 13 27			i _N , e _E	47 08,0
		e _Z	47			e _{NE}	10,4
						Lm	31
		H=16 ^h 04 ^m 12 ^s ; Dab. (GIG):				NE: 1,4 ^S ; 0,09 μ , 0,07 μ	
13.XII		16 04 16,5		17.XII	Dab. (GIG):	11 20 08,2	
	Cho. (SK)	$\Delta=12$ km			Cho.	iP _{NEZ}	11 20 06,3 D
		iP _{NEZ}	16 04 14,6 D		i _N	06,8	
		iS _{NEZ}	16,6		Lm	11	
		Lm	20		NEZ: 1,0 ^S ; 3,0 μ , 3,7 μ , 3,0 μ		
		NEZ: 1,0 ^S ; 3,4 μ , 4,3 μ , 3,2 μ			F	43	
		F	05 01		Rac.	Traces	
	Kra. (Ch)	e _{NEZ}	16 04 25	18.XII	H=05 ^h 57 ^m 04,5 ^s ; Dab. (GIG):		
		e _{NEZ}	33		05 57 08,7		
		e _Z	38		Cho.	$\Delta=3$ km	
	Rac. (SK)	Traces			iP _{NEZ}	05 57 05,8 D	
		NEZ	16 04-07		iS _Z	06,6	
16.XII		H=21 ^h 46 ^m 38 ^s ; Byt. (GIG):			i _{NE}	06,8	
		21 46 38,7; Dab. (GIG):			Lm	08	
		21 46 43,3			NEZ: 0,8 ^S ; 7,0 μ , 7,0 μ , 3,0 μ		
	Cho. (SK)	$\Delta=14$ km			F	34	
		iP _{NEZ}	21 46 40,8 D		Rac.	$\Delta=60$ km	
		i _E	42,8		e _{iPg_{NEZ}}	12 48 18	
		iS _{NZ}	43,1		e _{Sg_{NEZ}}	26	
		Lm	48		e _Z	30,5	
		NEZ: 1,0 ^S ; 2,6 μ , 3,2 μ , 2,0 μ			e _{NEZ}	40,5	
		F	47 38		Rac.	$\Delta=64$ km	
	Rac. (SK)	$\Delta=47$ km			e _{(Pg)_{NZ}}	12 48 19	
		ePg _Z	21 46 46		e _Z	24	
		e _N	54		e _Z	29	
		e _E	56		F	51	
		e _N	47 04		23.XII	H=16 ^h 27 ^m 11 ^s ;	
		e _{EZ}	06		Byt. (GIG): 16 27 11,3,		
		e _Z	12		Dab. (GIG): 16 27 16,9		
		F	51		Cho.	$\Delta=7$ km	

Dates	Station	Phases	G.M.T. h m s	Dates	Station	Phases	G.M.T. h m s
19.XII (suite)	Cho. (SK)	iS _{NEZ}	12 10 31,3	23.XII	Kra. (Ch)	$\Delta=75$ km	
		Lm	35		ePg _{NEZ}	16 27 24,5	
		NEZ: 0,8 ^S ; 3,5 μ , 3,1 μ , 2,5 μ			eSg _{NEZ}	34,5	
		F	38		e _{NEZ}	41,5	
	Rac. (SK)	e _Z	12 11 04		e _{NEZ}	56,6	
		e _Z	11	24.XII	Dab. (GIG):	18 20 07,8	
		e _Z	18		Cho. (SK)	eP _{NEZ}	18 20 07,5 D
		F	13		ei _N	08,2	
		Rac.			i _{EZ}	10,0	
					Lm	12	
					N: 1,0 ^S ; 1,5 μ		
					EZ: 0,9 ^S ; 2,0 μ , 1,5 μ		
					F	59	
					Rac.	e _Z	18 20 25
						e _Z	40
						e _Z	52
						F	23
					27.XII	H=12 ^h 24 ^m 27 ^s ;	
					Byt. (GIG): 12 24 29,2,		
					Dab. (GIG): 12 24 29,5		
					Cho. (SK)	$\Delta=6$ km	
					iP _{NEZ}	12 24 28,6 C	
					iS _{NEZ}	29,9	
					Lm	33	
					NEZ: 1,0 ^S ; 2,5 μ , 3,1 μ , 2,6 μ		
					F	52	
					Rac.	Traces	
					(SK)	Z	12 24-26
					27.XII	$\varphi=50^{\circ}18'$; $\lambda=18^{\circ}52'$	

Dates	Station	Phases	G.M.T. h m s	Dates	Station	Phases	G.M.T. h m s
27.XII (suite)		H=18 ^h 47 ^m 27 ^s ; M=2,7 (Racibórz)		29.XII	Cho. (SK)	NEZ: 1,0 ^s ; 1,0 μ , 1,5 μ , 1,1 μ	
					F		04 13 45
Cho. (SK)	$\Delta=9$ km iP _{NEZ} iS _{NZ} i _{NEZ} i _Z Lm	18 47 28,4 D 29,9 31,7 34,1 36 NEZ: 1, ^s ; 3,0 μ , 4,6 μ , 2,5 μ		Kra. (Ch)	e _Z i _N , e _Z	04 13 31 38,5	
Rac. (SK)	$\Delta=53$ km ePg _{NEZ} eSg _{NEZ} e _E e _{NZ} e _E e _{NZ} e _E e _E Lm	18 47 37,1 44,0 47 52 54 58,5 48 00 06 39 NEZ: 1,5 ^s ; 0,4 μ , 0,3 μ , 0,4 μ		29.XII	$\varphi=50^{\circ}20'$; $\lambda=18^{\circ}55'$; H=22 ^h 07 ^m 08,5 ^s ; M=2,5 (Bytom); Byt.: 22 07 09,7, Dab. (GIG): 22 07 14,1		
				Cho. (SK)	$\Delta=9$ km eP _N , iP _{EZ} i _N Lm	22 07 10,0 C 13,0 18	
					NEZ: 1,2 ^s ; 2,5 μ , 4,5 μ , 2,5 μ		
				Rac. (SK)	$\Delta=58$ km ePg _{NEZ} e _{NEZ} e _Z e _{EZ} e _N e _Z Lm	22 07 18,8 34,6 40,0 47,6 49 53 08 20	
					NEZ: 1,8 ^s ; 0,6 μ , 0,3 μ , 0,4 μ		
				Kra. (Ch)	$\Delta=78$ km ePg _{NEZ} e _Z e _{NE} e _Z eSg _{NZ} e _E ei _Z i _N ei _Z e _Z i _N Lm	22 07 23,1 25,0 25,6 29,4 33,0 34,6 37,4 37,8 40,7 44,7 45,4 08 09	
29.XII		H=04 ^h 13 ^m 17,5 ^s ; Dab. (GIG): 04 13 22,7					
Cho. (SK)	$\Delta=14$ km eP _E , iP _Z e _N iS _{NE} , eS _Z Lm	04 13 20,6 D 21,1 23,0 28					

Dates	Station	Phases	G.M.T. h m s	Dates	Station	Phases	G.M.T. h m s
29.XII (suite)		NEZ: 1,3 ^s ; 0,13 μ , 0,09 μ , 0,13 μ		31.XII	Cho. (SK)	$\Delta=14$ km iP _{NZ} , eP _E ei _E eiS _{NZ} i _E Lm	01 09 47,7 D 49,1 50,0 51,0 56
					H=23 ^h 58 ^m 22,5 ^s ; Dab. (GIG): 23 58 27,7		
Cho. (Sk)	$\Delta=14$ km iP _{NEZ} iS _{NZ} i _E i _{NEZ} Lm	23 58 25,5 D 27,8 31,8 36			NEZ: 0,9 ^s ; 1,5 μ , 2,4 μ , 1,4 μ		
					F	59 06	- 10 24
Rac. (SK)	$\Delta=53$ km ePg _Z e _{NE} e _{NEZ} F	23 58 36,3 45,3 55 00 01		Kra. (Ch)	e _Z e _{EZ} e _Z e _{NEZ} e _{NEZ} e _{NEZ}	23 58 38,5 48,5 54,5	
				31.XII	$\varphi=50^{\circ}22'$; $\lambda=18^{\circ}50'$; H=01 ^h 09 ^m 44,5 ^s ; Dab. (GIG): 01 09 51,3		
				Kra. (Ch)	ePg _{NEZ} e _{NEZ} e _{NEZ}	23 58 00,5 10,5 15,5	

Maria Sobolewska

OBSERWACJE NACHYLEŃ POWIERZCHNI ZIEMI NA GÓRNYM ŚLĄSKU
WEDŁUG ZAPISÓW SEJSMOGRAFÓW MECHANICZNYCH

Przy opracowywaniu problemu występowania nachyleń powierzchni ziemi na Górnym Śląsku uwzględniono rejestracje sejsmografów mechanicznych stacji w Bytomiu i Zabrzu z lat 1950-1960, w Dąbrowie Górniczej z lat 1954-1961 oraz w Chorzowie z lat 1959-1961. Na podstawie sejsmogramów stwierdzono, że niekiedy jednocześnie ze wstrząsem następuje przesunięcie linii rejestracyjnej z początkowego położenia (zerowego). Sejsmografy w Dąbrowie Górniczej i w Chorzowie zanotowały najmniejszą ilość takich przypadków, dlatego przeanalizowano przed wszystkim taśmy rejestracyjne stacji w Bytomiu i w Zabrzu. Obie stacje zarejestrowały po 75 przesunięć linii zerowej; jednak w Bytomiu ze względu na brak taśm rejestracyjnych (jednej ze składowych sejsmografu) 10% przesunięć trzeba było wyeliminować przy obliczeniach wypadkowego wektora nachyleń, a w przypadku Zabrze wyeliminowano aż 25% przesunięć.

Powstało pytanie, co jest powodem przesunięć linii zerowych, notowanych na sejsmogramach. Można przypuszczać, że przesunięcia te związane są z nachyleniem podstawy przyrządu przy ruchach skorupy ziemskiej, wywołanych wstrząsami. Nie można jednak wykluczać i innych przyczyn, jak efekty związane z układem mechanicznym sejsmografów, zmiany sprężystości zawieszenia wahadła, lokalne odkształcenia podłoża itp. Jednak jest mało prawdopodobne, żeby efekty związane z konstrukcją sejsmografów mogły wytłumaczyć obserwowane nachylenia.

Jeżeli przyjąć pierwszą hipotezę, że ruchy skorupy ziemskiej powodują przesunięcia linii zerowych, należałoby obliczyć kąt nachylenia podstawy sejsmografu, a więc powierzchni ziemi. Nachylenie podłoża obliczono metodą wyznaczania kąta nachylenia wahadła poziomego, którego osią obrotu odchylona jest od normalnej o mały kąt. Tego typu wahadło do pomiaru nachyleń powierzchni ziemskiej (tzw. nachylometr) zostało zastosowane po raz pierwszy przez Bonczkowskiego [1]. Z równania ruchu wahadła, po uwzględnieniu działania siły ciężkości na wahadło, otrzymuje się wyrażenie określające kąt θ odchylenia wahadła od położenia jego równowagi,

$$\theta = \frac{g}{l_0 n^2} \cdot \alpha,$$

w którym g oznacza przyspieszenie ziemskie, l_0 - długość wahadła, n - częstotliwość drgań własnych sejsmografu, α - nachylenie podstawy przyrządu. Z sejsmogramów odczytuje się przesunięcie (y) pisaka z położenia pierwotnego. Przesunięcie to określa wzór

$$y = x_c \cdot v_0,$$

w którym środek drgań $x_c = \theta \cdot l_0$, a wielkość V_0 stanowi powiększenie przyrządu. Po podstawieniu odpowiednich zależności otrzymuje się wyrażenie:

$$y = \frac{g V_0}{m^2} \cdot \alpha, \text{ a następnie } \alpha = \frac{n^2}{g V_0} \cdot y.$$

W Zabrzu na przykład podczas wstrząsu (z dnia 16 VII 1954) o magnitudzie $M = 3,1$ zarejestrowano odchylenie $y = 2,75$ mm (przy stałych sejsmografu $T_0 = 7,37$ sek, $V_0 = 107$). Odchyleniu temu (rys. 1) odpowiada nachylenie powierzchni $\alpha = 37,4 \cdot 10^{-2}$ sek.

Po zestawieniu wszystkich wstrząsów, które spowodowały nachylenia gruntu rejestrowane jednocześnie na dwóch stacjach, okazało się, że stanowią one około 15% liczby wstrząsów, zebranego do opracowania materiału. Przesunięć linii zerowej (a więc nachyleń powierzchni) na poszczególnych stacjach rejestrowano znacznie więcej, w Bytomiu w 42% wszystkich odnotowanych wstrząsów, a w Zabrzu w 39%.

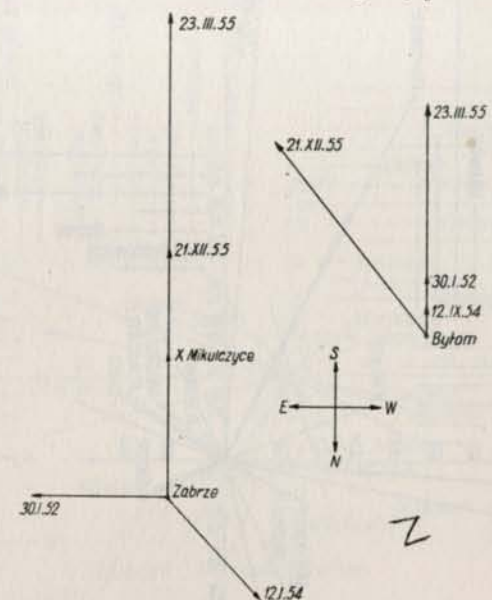
Nachylenie zarejestrowane jednocześnie przez trzy stacje zaobserwowano w zebranym materiale tylko w jednym przypadku.

Na podstawie porównywania wektorów nachyleń, notowanych jednocześnie przy najmniej przez dwie stacje, nie można mówić o zależności między wektorem nachylenia a położeniem wstrząsu. Wielkość nachyleń i ich rozkład wydają się przypadkowe. Tylko taki wniosek można wysnuć z zebranych obserwacji. Wektory nachyleń powierzchni ziemi przy wstrząsach, których epicentrum wypadały na terenie tej samej miejscowości, na ogół nie powtarzają się (rys. 2, wstrząsy z rejonu Mikulczyc).

Kierunki nachyleń, zarejestrowane w latach 1950-1961 przez stacje sejsmiczne w Zabrzu i Bytomiu, wykazują rozrztut dość przypadkowy. Nie ustalono kierunku z wyraźnym maksimum, czy minimum wektora nachyleń (rys. 3 i 4). Należy podkreślić, że znacząca ilość nachyleń zarejestrowana została wyłącznie przez jedną składową sejsmografa. W celu dokładniejszego zobrazowania tego faktu, jednokierunkowe nachylenia wypadkowe zostały nakreślone w kolejności ich występowania, poza osiąmi określającymi dany kierunek.

Rys. 1. Przesunięcie linii zerowej, zarejestrowane na składowej N-S sejsmografa mechanicznego w Zabrzu, przy wstrząsie z dnia 16 VII 1954 roku

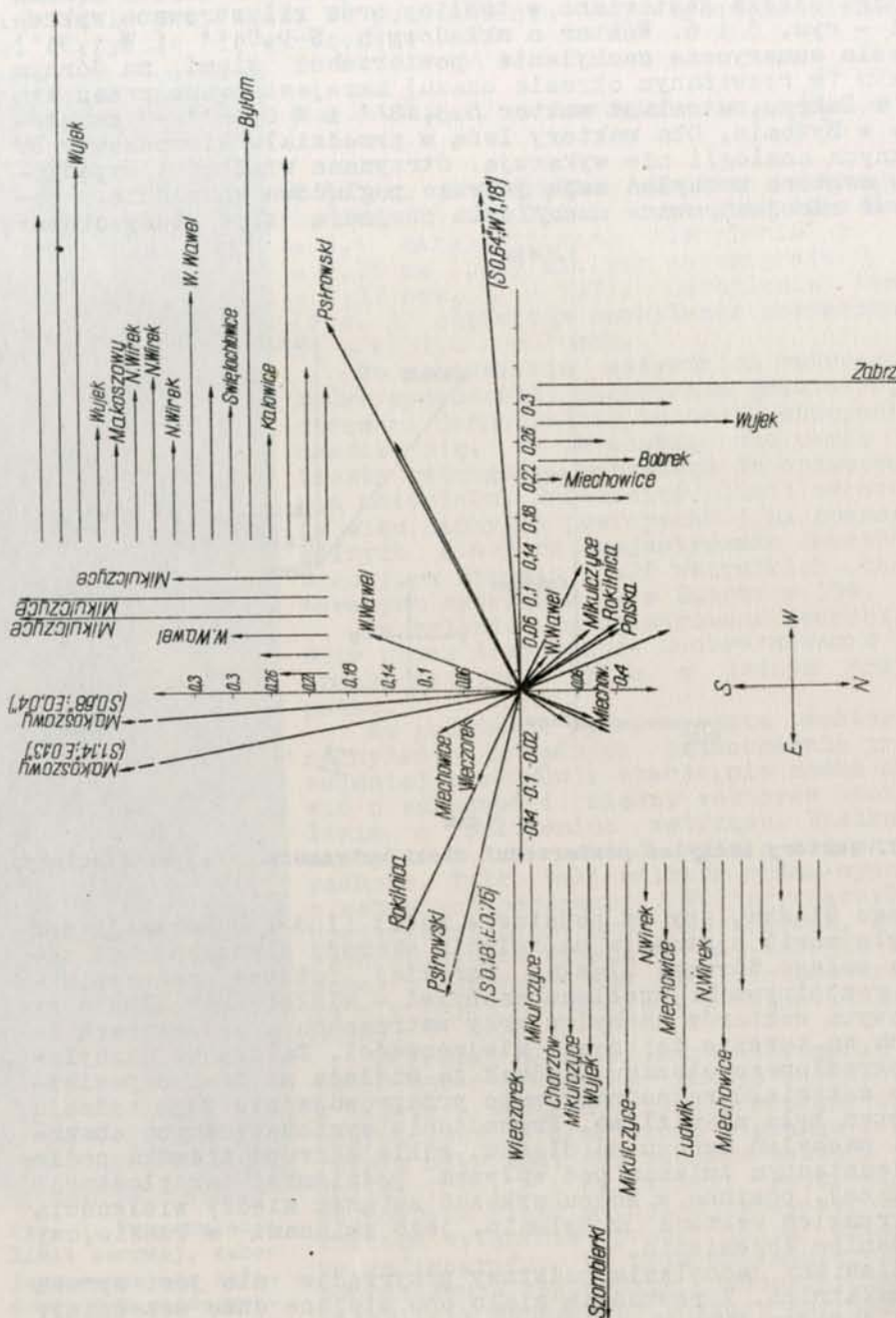
Wielkości wektorów wypadkowych rocznych nachyleń terenu Górnego Śląska zestawiono w tablicy oraz zilustrowano wykresami - rys. 5 i 6. Wektor o składowych S 2,04°, i W 1,91°, określa sumaryczne nachylenie powierzchni ziemi na Górnym Śląsku (w rozważanym okresie czasu) zarejestrowane przez stację w Zabrzu, natomiast wektor S 3,48°, i W 0,18° - zanotowane w Bytomiu. Oba wektory leżą w przedziale kierunkowym SW i innych analogii nie wykazują. Otrzymane wielkości wypadkowego wektora nachyleń mają jedynie poglądowe znaczenie, ponieważ zarejestrowane nachylenia obejmują zbyt duży obszar



Rys. 2. Wektory nachyleń powierzchni ziemi wstrząsów z rejonu Mikulczyc

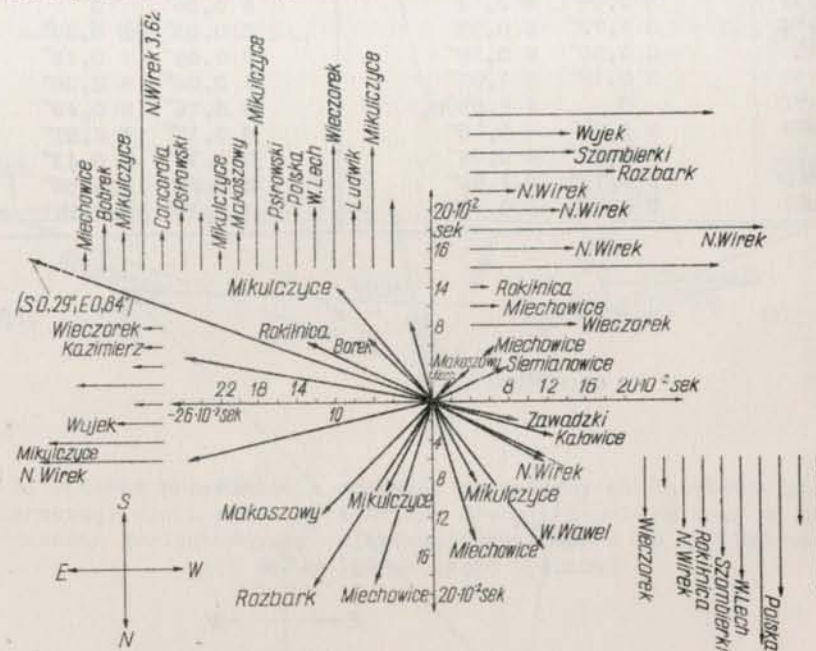
Górnego Śląska, aby na podstawie małej ilości obserwacji można było mówić o stopniu nachylenia skorupy ziemskiej na terenie całego Górnego Śląska. Bardziej istotne znaczenie - przy rozpatrywaniu problemu nachyleń - miałoby określenie wypadkowych wektorów nachyleń przy wstrząsach o epicentrach leżących na terenie tej samej miejscowości. Dałoby to nachylenie określonego obszaru. Jednak ze względu na brak odpowiedniego materiału rejestracyjnego przeprowadzenie tego rodzaju obliczeń było niemożliwe. Prowadzenie systematycznych obserwacji nachyleń terenu na Śląsku, gdzie skorupa ziemska podlega nieustannym zmianom pod wpływem podziemnej eksploatacji górniczej, powinno w końcu wykazać związek między wielkością i kierunkiem wektora nachylenia, jego zmianami w czasie, czy natężeniem trzęsienia.

Zjawisko nachylenia podstawy przyrządów nie jest sprawą lat ostatnich. Z pewnością miało ono miejsce dużo wcześniej, czego dowodem jest chociażby trzęsienie z dnia 15 stycznia 1930 roku, zarejestrowane przez stację w Bytomiu. J. a n- cze w s k i [2], omawiając trzęsienia ziemi na Górnym Ślą-



RYS. 3. Rozrzut kierunkowy wektorów nachylonych powierzchni ziemi według zapasów wody.

sku, pisze na temat tego wstrząsu: *Oto na niespełna godzinę przed wstrząsem podstawa sejsmografów zaczęła się zwolnić przekłytać ruchem ciągim i jednostajnym w płaszczyźnie południka. Prędkość kątowa wynosiła około 1/10 sek łuku na minutę czasu. Całkowite nachylenie osiągnęło 4,5-5°, w momencie, gdy pierwszy impuls drgań sejsmicznych dotarł do stacji.* Jak widać, występuje tutaj to samo zjawisko, z tą różnicą, że miało ono miejsce przed wstrząsem, a w rozpatrywanych przypadkach podczas wstrząsu ziemi.



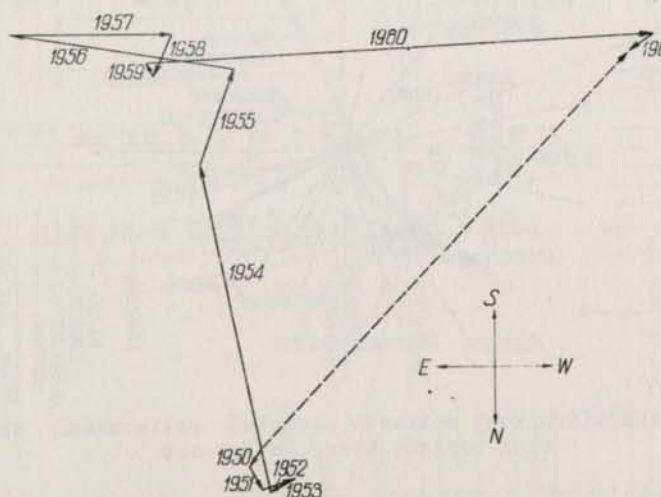
Rys. 4. Rozrzut kierunkowy wektorów nachyleni powierzchni ziemi według zapisów stacji w Bytomiu

Niezależnie od powyższych sugestii, odnośnie obserwacji nachyleń na podstawie zmian linii zerowych sejsmografów mechanicznych, należy wspomnieć o pracy L. A h o r n e r a, *Geologisch-tektonische Beziehungen* [3]. W pracy tej autor zajął się bliżej ciekawym zapisem wstrząsu z dnia 25 VI 1960 na obszarze belgijsko-holenderskim, na stacji w Uccle. Długo-okresowe sejsmografy Golicyna ($T_0 = 24,5$ sek) zarejestrowały wstrząs w sposób przedstawiony na rys. 7. Autor przypuszcza, że długookresowe wychylenie spowodowane jest trwałą deformacją skorupy (przesunięcie i nachylenie). Podobne zapisy notowano również w Stuttgarcie dla bardzo bliskich wstrząsów, występujących w południowo-zachodnim rejonie Niemiec.

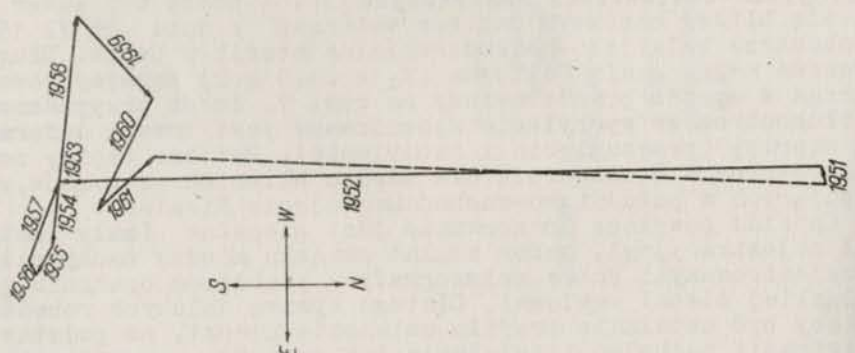
Chociaż powyższe opracowanie jest niepełne (mały materiał rejestracyjny), można szukać związku między nachyleniami rejestrowanymi przez sejsmografy a problemem opadania górnośląskiej niecki węglowej. Dlatego sprawą dalszych rozważań mogłoby być ustalenie profilu osiadania niecki, na podstawie rejestracji nachyleń i założenia ich związku z wstrząsami. Można na przykład, ustalając pewien model wstrząsu (tektoniczny, opisany przez pojedyńczy zrzt - patrz rys. 8 - lub wstrząs związany z tapnieniem, opisany przez zrzt typu "rowu" - patrz rys. 9) określić ich wpływ na odkształcenia po-

T a b l i c a I

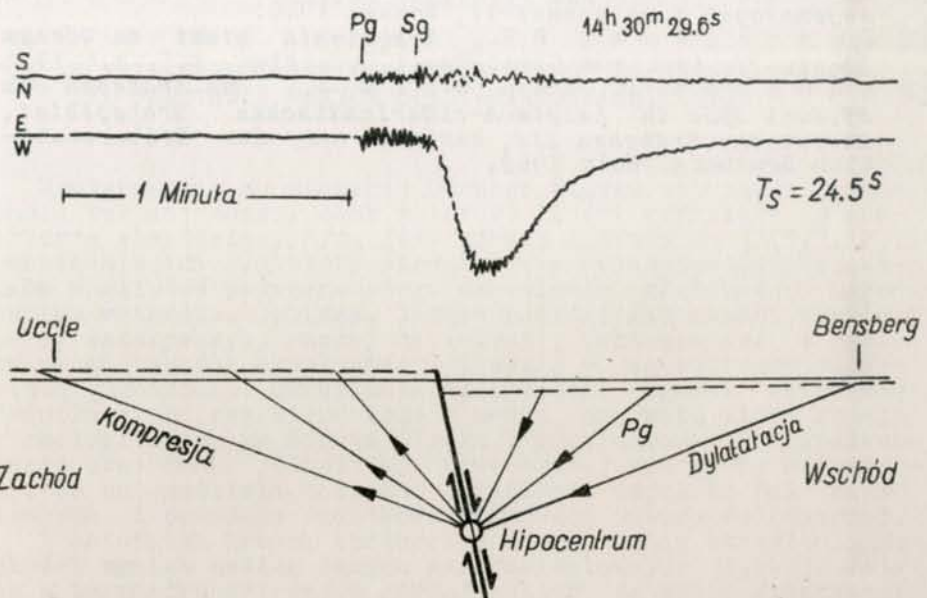
Rok	Wektory wypadkowe dla stacji w Zabrzu	Wektory wypadkowe dla stacji w Bytomiu
1950	N 0,12" E 0,07"	S 0,02" W 0,09"
1951	N 0,12" W 0,06"	S 3,90" E 0,04"
1952	S 0,05" W 0,16"	S 0,06" 0
1953	N 0,05" E 0,12"	S 0,03" E 0,33"
1954	S 1,72" E 0,35"	S 0,09" E 0,16"
1955	S 0,50" W 0,18"	S 0,04" W 0,08"
1956	S 0,18" E 1,07"	N 0,16" W 0,40"
1957	0 W 0,85"	N 0,11" W 0,87"
1958	N 0,22" E 0,10"	N 0,38" E 0,43"
1959	S 0,80" E 0,04"	S 0,29" E 0,58"
1960	S 0,13" W 2,64"	N 0,30" W 0,28"
1961	N 0,09" E 0,13"	



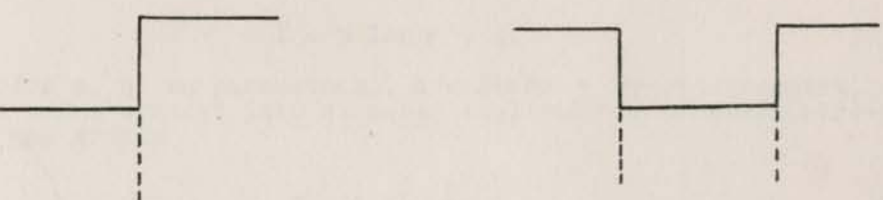
Rys. 5. Wektory rocznych nachyleń powierzchni na Górnym Śląsku, zarejestrowanych przez stację w Zabrzu w latach 1950-1961



Rys. 6. Wektory rocznych nachyleń powierzchni na Górnym Śląsku, zarejestrowanych przez stację w Bytomiu w latach 1951-1961

Uccle $\Delta = 102 \text{ km}$ Azymut=65° Golicyn N-S E-W

Rys. 7. Schemat przesunięcia ogniska, wyznaczony na podstawie kierunku pierwszego ruchu ziemi na stacjach Uccle i Bensberg oraz na podstawie rozważyń geologicznych; rejestracja wstrząsu z 25 VI 1960 na stacji Uccle (góra część rysunku)



Rys. 8. Model uskoku typu zrzutowego

Rys. 9. Model tąpienia

wierzchni ziemi, a dalej na jej nachylenia. Obliczenia tego rodzaju można przeprowadzić w oparciu o dyslokacyjną teorię trzęsień. Prawdopodobnie zsumowanie poszczególnych efektów w ujęciu statystycznym dałoby metodę określenia osiadania niecki jako sumy efektów odkształceń występujących w czasie wstrząsu.

LITERATURA

- [1] Sawaren ski E.F., Kirnos D.P., *Elementy sejsmologii i sejsmometrii*, Moskwa 1949.
- [2] Janczewski E.W., *Trzęsienia ziemi na Górnym Śląsku II*, Archiwum Górnictwa i Hutnictwa, t. I, z. 4, 1956.
- [3] Ahorner L., Van Gils J., *Das Erdbeben vom 25. Juni 1960 im belgisch-niederländischen Grenzgebiet, Rhenische Erdbeben III*, Berichte aus der Erdbebenstation Bensberg, Köln 1963.

M. Sobolewska

Zakład Geofizyki PAN

OKREŚLENIE GŁĘBOKOŚCI OGNIKÓW WSTRZASÓW NA GÓRNYM ŚLĄSKU NA PODSTAWIE DANYCH QUASI-MAKROSEJSMICZNYCH

Występowanie na obszarze Górnego Śląska wstrząsów pochodenia tektonicznego, obok znacznej ilości wstrząsów o charakterze eksploatacyjnym, jest sprawą dyskusyjną [3, 5, 7, 12]. Pochodzenie ich zostało niewątpliwie wyjaśnione, gdyby istniała możliwość jednoznacznego określenia głębokości hipocentrum wstrząsu. Ogniska, leżące poniżej głębokości eksploatacji, wskazywałyby raczej na wstrząsy tektoniczne, a ogniska na głębokości eksploatacji i wyżej – na wstrząsy pochodenia górnicy. Określenie głębokości ognisk wstrząsów górnośląskich jest utrudnione z uwagi na małą ilość stacji sejsmologicznych na Górnym Śląsku i przypadkowe ich rozmieszczenie oraz brak jednolitej nowoczesnej aparatury sejsmicznej, co uniemożliwia dokładne określenie impulsów fal sejsmicznych i powoduje dodatkowe trudności natury metodycznej.

W ostatnich latach opracowano szereg metod określania głębokości ogników według danych makrosejsmicznych [1, 6, 9]. Jednak w przypadku wstrząsów górnośląskich zebranie obserwacji makrosejsmicznych jest sprawą trudną, ponieważ magnitudy trzęsień mają na ogół wartości $M < 3,5$ [2]. Dlatego też w niniejszym opracowaniu wyznaczono głębokości hipocentrów na podstawie danych stacyjnych, w oparciu o metody makrosejsmiczne.

W tej metodzie jako punkt wyjściowy przyjęto związek między wielkością intensywności wstrząsu I, a wielkością przyspieszeń na powierzchni ziemi. Związek ten szczegółowo rozprzony przez Peterschmidtta [8] ma postać

$$I = p \log \gamma + q. \quad (1)$$

Wartości p, q są parametrami, a wartość γ przyspieszeniem, które można wyrazić jako stosunek amplitudy do kwadratu okresu drgań gruntu

$$\gamma = 4 \pi^2 \cdot \frac{A}{T^2},$$

A – amplituda w mikronach, T – okres w sekundach.

Intensywność wstrząsu w epicentrum określa następujące równanie:

$$I_0 = p \log \gamma_0 + q, \quad (2)$$

w którym $\gamma_0 = 4 \pi^2 \cdot \frac{A_0}{T_0^2}$, A_0 , T_0 oznaczają odpowiednio amplitudę i okres drgań fali sejsmicznej w epicentrum. Powyższe zależności stosowano do drgań poziomych.

Na podstawie wzorów (1) i (2) wyznaczono różnicę między intensywnością trzęsień I_0 a wartością określonej izosejsty I, a mianowicie

$$\frac{I_0 - I}{p} = \log \frac{A_0}{T_0^2} - \log \frac{A}{T^2}. \quad (3)$$

W celu określenia $\log \frac{A_0}{T_0^2}$ wykorzystano logarytmiczną zależność odwrotnej proporcionalności przyspieszenia w stosunku do odległości epicentralnej s, a mianowicie

$$\log \frac{A_i}{T_i^2} / \frac{A_{i+1}}{T_{i+1}^2} = k \log \frac{s_{i+1}}{s_i}. \quad (4)$$

Wskaźnik i oznacza stację położoną bliżej epicentrum, $i+1$ – stację dalszą od epicentrum.

Ostatnią zależność można również zapisać w następującej formie:

$$\log \frac{A_0}{T_0^2} / \frac{A}{T^2} = k \log \frac{s}{s_0}, \quad (5)$$

$$\text{skąd otrzymuje się } \log \frac{A_0}{T_0^2} = k \log \frac{s}{s_0} + \log \frac{A}{T^2}.$$

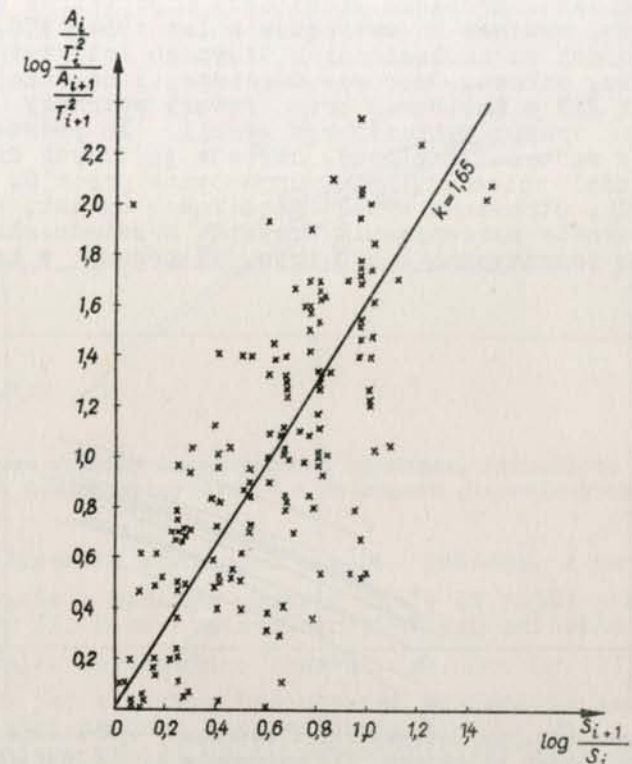
Po podstawieniu zależności (5) do wzoru (3) można uzyskać następujące wyrażenie

$$\frac{I_0 - I}{p} = k \log s \quad \text{przy } s_0 \approx 1 \text{ km.} \quad (6)$$

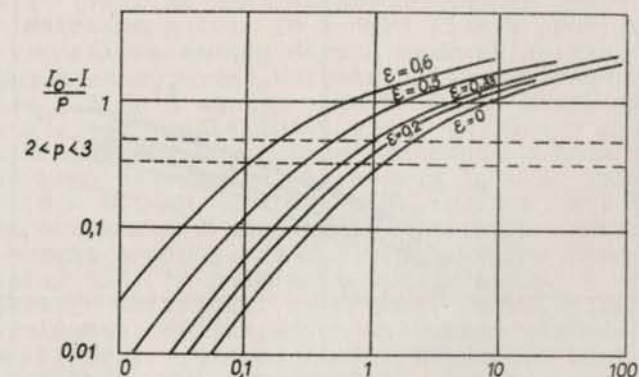
Współczynnik k charakteryzuje zmniejszanie się przyspieszeń poziomych drgań gruntu, ze wzrostem odległości epicentralnej. Jest on wielkością charakterystyczną danego wstrząsu. Na rys. 1 przedstawiono 146 punktów, określonych według wzoru (4), przy pomocy których wyznaczono średnią wartość współczynnika $k = 1,65$. Gdyby przyjęto średnią jego wartość, to na podstawie wzoru (6) otrzymanoby "średnią" głębokość ogniska ($h = 2,1$ km).

Określenie na podstawie danych stacyjnych wartości współczynnika k danego wstrząsu, pozwala obliczyć różnicę $\frac{I_0 - I}{p}$ zgodnie z zależnością (6) i następnie wykreślić krzywe rozkładu izosejst, w podwójnie logarytmicznym układzie współrzędnych ($\log \frac{I_0 - I}{p}$, $\log s$). Wykreślone krzywe porównuje się z krzywymi teoretycznymi (rys. 2), znajdując taki przedział wartości odległości epicentralnych s, w którym obie krzywe mają jednakowy przebieg [6]. Zakres wartości $2 < p < 3$, dyskutowany w pracy [8] stanowi dodatkową wskazówkę przy obliczeniach.

czaniu głębokości, bowiem pozioma oś $\frac{I_0 - I}{p}$ krzywej rzeczywistej powinna leżeć w granicach linii przerywanych (rys. 2), określających zakres wielkości współczynnika p. Z wartości poziomego przesunięcia krzywej teoretycznej w stosunku do do-



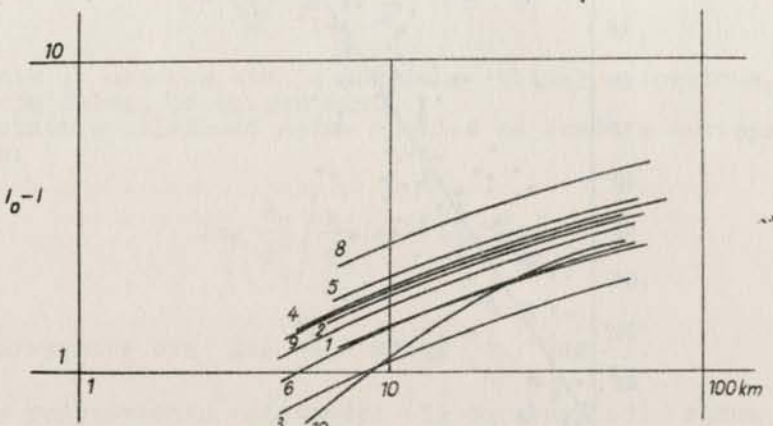
Rys. 1. Zmniejszanie się przyspieszeń poziomych drgań gruntu w zależności od odległości epicentralnych, w przypadku 30 wstrząsów górnośląskich



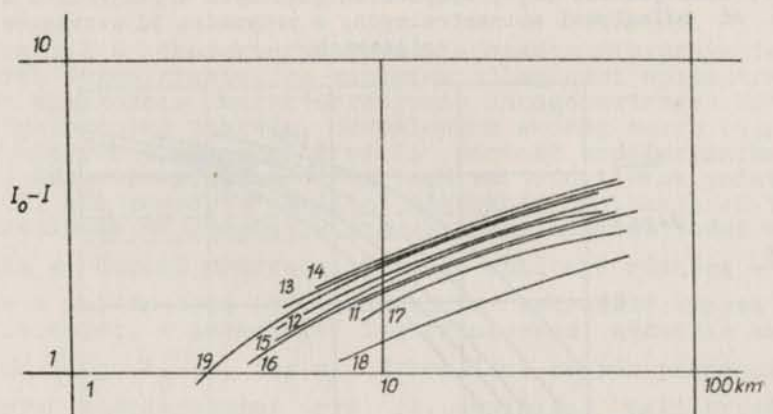
Rys. 2. Krzywe teoretyczne rozkładu różnicy izosejst

świadczeniej, przy zachowaniu powyższych warunków, odczytuje się wartość głębokości ogniska h . W celu ujednolicenia wartości odczytów głębokości h , wszystkie wyniki przeanalizowano przy założeniu punktowych rozmiarów ogniska, tj. dla krzywej $\epsilon = 0$ oraz w większości przypadków dla wartości $p = 2$.

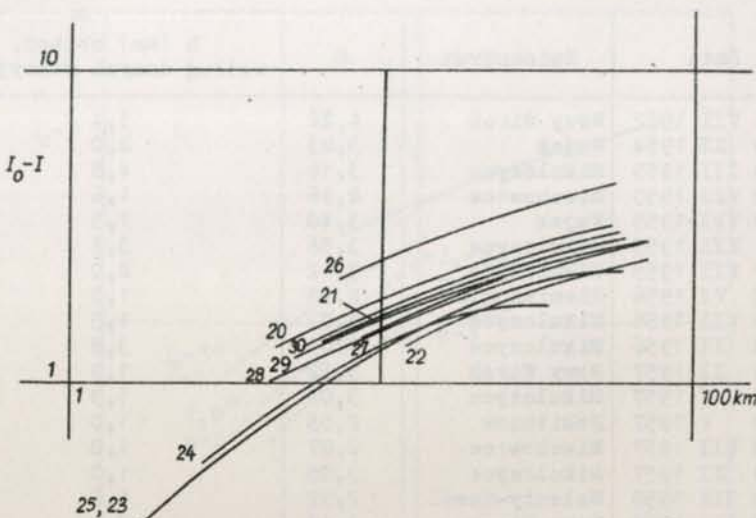
Do opracowania problemu głębokości hipocentrów wstrząsów górnośląskich, wybrano 26 wstrząsów z lat 1954–1959, zapisanych na stacjach sejsmologicznych Głównego Instytutu Górnictwa w Bytomiu, Zabrusie, Dąbrowie Górniczej i na stacji Zakładu Geofizyki PAN w Raciborzu oraz cztery wstrząsy zapisane jedynie przez trzy z wymienionych stacji. Za podstawę obliczeń służyły wartości amplitud, okresów poziomych drgań gruntu i odległości epicentralnych, opracowane przez S. Giobowicz [2]. Otrzymane wyniki głębokości ognisk, wyznaczonych na podstawie porównywania krzywych doświadczalnych (rys. 3) z krzywą teoretyczną $\epsilon = 0$ (rys. 2) podano w tablicy I.



Rys. 3a. Krzywe różnicy intensywności wstrząsu, wykreślone na podstawie danych stacyjnych dla wstrząsów górnośląskich



Rys. 3b. Krzywe różnicy intensywności wstrząsu, wykreślone na podstawie danych stacyjnych dla wstrząsów górnośląskich



Rys. 3c. Krzywe różnicy intensywności wstrząsu, wykreślone na podstawie danych stacyjnych dla wstrząsów górnośląskich

Przykład obliczenia wielkości $\frac{I_0 - I_n}{p}$ jednego z najsilniejszych wstrząsów w badanym okresie (z 19 IX 1958) przedstawiono w tablicy II. Z otrzymanych przy danych odległościach s_n , wartości $\frac{I_0 - I_n}{p}$ wykreślono krzywą (rys. 3c, nr 22), a metodą porównywania jej z krzywą teoretyczną wyznaczono szukaną wartość głębokości ogniska tego wstrząsu $h = 3,8 \text{ km}$.

Interesujące wyniki daje porównanie wartości głębokości ognisk wstrząsów z dnia 29 I 1959 r. i 19 IV 1959 r. Wartości te, obliczone na podstawie danych ze stacji sejsmicznych porównano z głębokościami obliczonymi według danych makrosejsmicznych, opracowanych i zebranych przez Z. Wierczuchowską [10]. Na rys. 4a przedstawiono krzywe rozkładu izosejtu wstrząsu z dnia 29 I 1959 (linia przerwana oznacza krzywą wykreślzoną według danych makrosejsmicznych, ciągła – według danych stacyjnych). Natężenie tego wstrząsu w epicentrum wynosiło 5,5 do 6 stopni skali M.C., w odległości $s = 4 \text{ km}$ $I = 4^\circ$, zaś w odległości $s = 7 \text{ km}$ $I = 3^\circ$. Rys. 4b przedstawia krzywe różnicy natężeń wstrząsu z dnia 19 IV 1959. Intensywność tego wstrząsu w epicentrum $I_0 = 6^\circ$ skali M.C., w odległości $s = 4,5 \text{ km}$ $I = 4^\circ$, w odległości $s = 8 \text{ km}$ $I = 3^\circ$. Wyniki otrzymane z porównania krzywych rzeczywistych (rys. 4) z krzywą teoretyczną rozkładu różnicę izosejtu zebrane w tablicy III. Na podstawie tych wyników – ze względu na brak większego materiału obserwacji makrosejsmicznych – nie można wyciągnąć ogólniejszych wniosków. Wydaje się jednak, że również przywiększej ilości wstrząsów wartości głębokości hipocentrów obliczone według danych makrosejsmicz-

T a b l i c a I

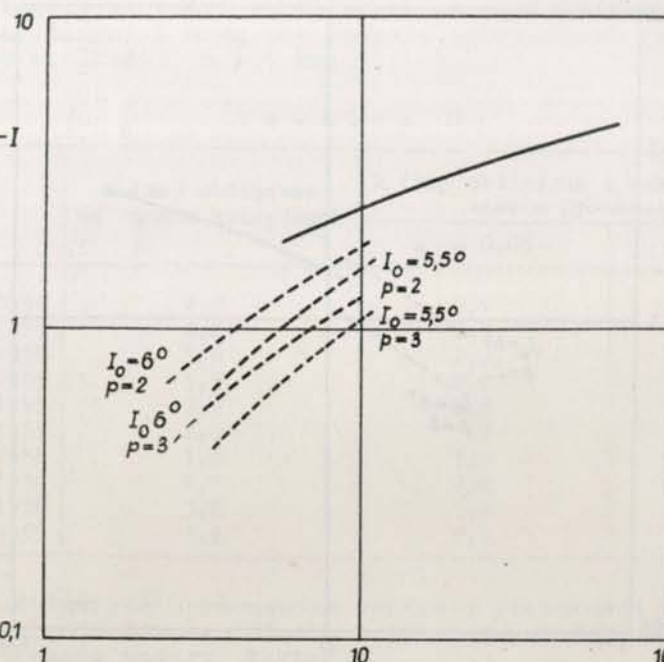
Nr kol.	Data	Epicentrum	M	h (km) oblicz. według danych stacyjnych
1	16 VII 1952	Nowy Wirek	4,22	3,4
2	29 XI 1954	Wujek	3,03	2,0
3	23 III 1955	Mikulczyce	3,16	4,8
4	2 VII 1955	Miechowice	2,96	1,6
5	9 VII 1955	Wujek	3,48	1,5
6	21 XII 1955	Mikulczyce	3,56	3,2
7	22 XII 1955	Mikulczyce	3,12	2,0
8	12 VI 1956	Siemianowice	2,98	1,0
9	8 VII 1956	Mikulczyce	3,03	1,5
10	3 XI 1956	Mikulczyce	3,03	3,8
11	15 II 1957	Nowy Wirek	3,52	1,9
12	8 V 1957	Mikulczyce	3,05	1,3
13	30 V 1957	Rokitnica	2,55	1,0
14	20 VII 1957	Miechowice	2,87	1,0
15	19 XI 1957	Mikulczyce	3,05	1,0
16	3 III 1958	Walenty-Wawel	2,92	1,6
17	8 III 1958	Nowy Wirek	3,42	2,1
18	2 V 1958	Nowy Wirek	3,45	3,3
19	8 VII 1958	Makoszawy	2,95	1,7
20	20 VII 1958	Rokitnica	3,14	1,4
21	27 VIII 1958	Polska	3,43	2,3
22	19 IX 1958	Wujek	3,90	3,7
23	26 IX 1958	Rozbark	2,60	3,4
24	18 X 1958	Ludwik	3,00	3,5
25	8 XII 1958	Szombierki	3,26	3,0
26	29 I 1959	Mikulczyce	3,25	1,0
27	19 IV 1959	Wujek	3,47	2,8
28	9 IX 1959	Mikulczyce	3,67	2,2
29	11 X 1959	Miechowice	3,05	2,3
30	15 XII 1959	Miechowice	3,13	2,4

T a b l i c a II

Stacja sejsm.	S [km]	T [sek]	A [μ]	$\lg \frac{A}{T^2}$	$\frac{S_{i+1}}{S_i}$	$\lg \frac{S_{i+1}}{S_i}$	$\lg \frac{A_i}{T_{i+1}^2 / A_{i+1}}$	k	$\frac{I_0 - I_n}{p}$
Bytom	13	1,2	79,6	1,7424	15:13	0,062	0,1125	1,814	1,420
Zabrze	15	0,8	27,3	1,6299	19:13	0,165	0,1367	0,828	1,499
D.Górn.	19	1,5	90,8	1,6058	19:15	0,103	0,0241	0,234	1,631
Racibórz	60	1,9	19,4	0,7299	60:13	0,664	1,0125	1,525	2,267
					60:15	0,602	0,9000	1,495	
					60:19	0,499	0,8759	1,755	

nich potwierdzałyby rząd wartości $h > 1$ km, otrzymany na podstawie danych ze stacji sejsmicznych.

W celu sprawdzenia wartości h ognisk wstrząsów górnosłaskich, wyznaczonych na podstawie danych stacyjnych, metodą po-



Rys 4

Rys. 4a. Porównanie krzywych $I_0 - I$ wg danych ze stacji sejsmicznych z krzywymi $I_0 - I$ wg danych makrosejsmicznych dla wstrząsu z dnia 29 I 1959 roku

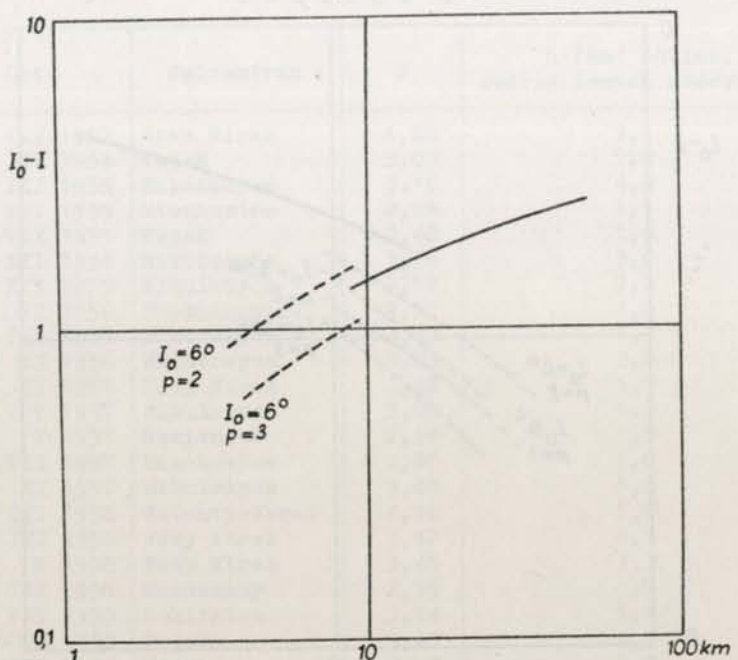
równywania krzywych, przeprowadzono obliczenia według odwrotnego schematu. Wyznaczone poprzednią metodą wartości głębokości ognisk h wykorzystano do określenia I_0 i kolejnych nateżen $I_1 \dots I_n$, według wzorów Spohnheuer [1]

$$M = 0,52 I_0 + 1,56 \log h + 0,7\alpha h, \quad (7)$$

$$M = 0,53 I_n + 1,56 \log r_n + 0,7\alpha r_n,$$

w których $r_n = \sqrt{s_n^2 + h_n^2}$ określa odległość od hipocentrum, α stanowi współczynnik absorpcji (dla terenu Górnego Śląska przyjęto $0,01 < \alpha < 0,06 \frac{1}{\text{km}}$). Określono następnie różnicę $\frac{I_0 - I_n}{p}$ przy $p = 2$ i wykreślono krzywe różnicę intensywno-

* Wartość współczynnika absorpcji wyznaczono przy założeniu, że przyspieszenie rozchodzenia się drgań gruntu jest odwrotnie proporcjonalne do odległości od ogniska i przy uwzględnieniu absorpcji energii wstrząsu na drodze od ogniska do górnej powierzchni ziemi. Otrzymaną wielkość $0,01 < \alpha < 0,06$ oszacowano na podstawie obliczeń z 40 wstrząsów śląskich.



Rys. 4b. Porównanie krzywych $I_0 - I$ wg danych ze stacji sejsmicznych z krzywymi $I_0 - I$ wg danych makrosejsmicznych dla wstrząsu z dnia 19 IV 1959 roku

T a b l i c a III

Data	h(km) wg danych stacyjnych		h(km) wg danych makr. $I_0 = 5,5^\circ$		h(km) wg danych makr. $I_0 = 6^\circ$	
	p = 2	p = 3	p = 2	p = 3	p = 2	p = 3
27 I 1959 r.	1,0	1,7	2,7	7,16	1,95	5,3
19 IV 1959 r.	2,8				2,0	5,8

ści, przy pomocy których wyznaczono wielkości głębokości ognisk wstrząsów. Okazało się, że głębszemu położeniu ogniska odpowiada mniejsza wartość współczynnika α . W tabelicy IV podano zestawienie wartości głębokości, określonych z porównania krzywych na podstawie danych stacyjnych – z wartościami obliczonymi metodą "odwrotnych" obliczeń z zastosowaniem wzorów Sponheuera. Zależność wartości $\frac{I_0 - I_n}{p}$, tym samym i głębokości ogniska od wielkości współczynnika absorpcji, ilustruje rys. 5. Dopiero przyszłe jednoznacznego wyznaczenie współczynnika absorpcji obszaru Górnego Śląska pozwoliłoby, przy zastosowaniu wzorów (7) określić właściwą głębokość ogniska wstrzą-

su*. Wskazane wartości porównawcze (w tabl. IV) są wartościami przybliżonymi i mogą one jedynie potwierdzić występowanie ognisk o wielkości $h > 1$ km.

T a b l i c a IV

Data	h (km) obliczone wg danych stacyjnych	h (km) obliczone z zastosowaniem wzorów Sponheuera	
		$\alpha = 0,05$	$\alpha = 0,01$
29 XI 1954	2,0	2,7	4,2
23 III 1955	4,8	8,0	8,5
2 VII 1955	1,6	2,2	3,7
9 VII 1955	1,5	2,0	3,0
21 XII 1955	3,2	3,6	6,0
22 XII 1955	2,0	3,8	4,4
12 VI 1956	1,0	1,9	2,5
8 VIII 1956	1,7	2,2	3,2
3 XI 1956	3,8	5,0	9,0
15 II 1957	1,9	2,6	4,0

Przedstawione opracowanie wartości głębokości ognisk wstrząsów na terenie Górnego Śląska potwierdza występowanie lokalnej obok wstrząsów tektonicznej pochodzenia górnictwa. To samo stwierdzenie zawierają prace Janczewskiego [4], który – posługując się własną metodą obliczeń – wyznaczył współrzędne i głębokości 22 hipocentrów silniejszych wstrząsów na Górnym Śląsku, odnotowanych w okresie lat 1930–1955. Janczewski otrzymywał głębokości ognisk od 5 do 12 km.

Głębokość ogniska wstrząsu z dnia 22 XII 1955 r., obliczona przez Janczewskiego wynosi 7,46 km. Można ją również wyliczyć na podstawie danych następujących stacji, a mianowicie:

$$\begin{aligned}
 & \text{Bytom} & A = 49,3, \\
 & T = 1,3 \text{ sek}, & s = 9 \text{ km}, \\
 & \text{Zabrze} & A = 38,1, \\
 & T = 0,9 \text{ sek}, & s = 5 \text{ km}, \\
 & \text{Dąbrowa Górnica} & A = 9,0, \\
 & T = 1,3 \text{ sek}, & s = 31 \text{ km}, \\
 & \text{Racibórz} & A = 4,0, \\
 & & T = 1,9 \text{ sek}, \quad s = 52 \text{ km}.
 \end{aligned}$$

Rys. 5. Zależność krzywych $\frac{I_0 - I_n}{p}$ i wartości h od wielkości współczynnika absorpcji

* Jednoznaczne określenie współczynnika absorpcji α obszaru Górnego Śląska będzie możliwe po przeprowadzeniu głębokich sondowań sejsmicznych skorupy ziemskiej na tym obszarze.

Głębokość hipocentrum tego wstrząsu, określona makrosejsmiczną metodą porównywania krzywych różnic intensywności, przy wykorzystaniu danych stacyjnych wynosi $h = 2,5$ km. Na podstawie spostrzeżeń makrosejsmicznych [1] wstrząs ten "odczuto" na powierzchni kopalni Mikulczyce, w której na głębokości około 600 m nastąpiło tapnięcie. Otrzymane wyniki $h = 7,46$ km według Janczewskiego i $h = 2,5$ km metodą porównywania krzywych, wskazują ruchy tektoniczne jako przyczynę wstrząsów. Ruchy te mogły być bodźcem wyzwalającym tapnięcie. Przykład powyższy świadczy, że zaobserwowanie tapnięcia nie może wykluczać tektonicznego charakteru danego wstrząsu.

Wprawdzie przedstawiona metoda daleka jest od jednoznacznego określenia wielkości głębokości hipocentrów, jednak wydaje się, że z uwagi na otrzymane dla silniejszych wstrząsów wartości w granicach $1 \text{ km} < h < 5 \text{ km}$, jest ona pewnym przyczynkiem do podejmowanych, od lat, prób wyjaśnienia problemu głębokości ognisk wstrząsów górnośląskich.

LITERATURA

- [1] L. A horner, J.M. Van Gils, *Das Erdbeben vom 25 Juni 1960 im belgisch - niederländischen Grenzgebiet. Rheinische Erdbeben III*, Köln 1963
- [2] S. Gibowicz, *Wyznaczanie magnitud wstrząsów górnośląskich na stacjach sejsmologicznych w Bytomiu, Zabrzu, Dąbrowie Górnictwa i w Raciborzu*, Biuletyn Śląskiej Stacji Geofizycznej w Raciborzu, nr 8, rok 1955, Łódź-Warszawa 1962
- [3] S. Gibowicz, *Klasyfikacja energetyczna wstrząsów podziemnych na Górnym Śląsku i częstotliwość ich występowania w zależności od wielkości energii*, Archiwum Górnictwa t. VIII, z. 1, 1963.
- [4] E.W. Januszewski, *Trzęsienia ziemi na Górnym Śląsku*, Archiwum Górn. i Hutn. t. III, z. 2, 1955, Archiwum Górn. t. I, z. 4, 1956
- [5] B. Neyman, *Tapanta w kopalniach węgla Górnego Śląska*, Komunikat GIG nr 342, Seria A, Katowice 1964
- [6] Nguyen Khac Mao, Z. Droste, J. Hordejuk, R. Teisseyre, *Analysis of macroseismic phenomena and dynamic processes in the earthquake of June 12 1961 in Vietnam*, Acta Geoph. Polonica, vol. XI, no 1-2, 1963
- [7] W. Parysiewicz, *Zależność między wstrząsami i tapnięciami w zagłębiach i obssarach górniczych*, Przegląd Górnicy, nr 4, Katowice 1964
- [8] E. Peterschmidt, *Sur la variation de l'intensité macroseismique avec la distance épcentrale*, Publ. Bureau Central Séismol. Intern., Série A, Fasc. 18
- [9] W. Spohnheuer, *Methoden zur Herdtiefenbestimmung in der Macroseismik*, Freiburger Forsch. C 88, Berlin 1960
- [10] Z. Wierzchowska, *Najsilniejsze wstrząsy górotworu na Górnym Śląsku*, nr 3, okres 1959, GIG, Katowice 1962.
- [11] Z. Wierzchowska, *Najsilniejsze wstrząsy na Górnym Śląsku: I okres: 1951-1957 r., II okres: I połowie 1958 r.*, GIG, Katowice 1959.
- [12] Z. Wierzchowska, *Przyczyny wstrząsów górotworu na Górnym Śląsku*, Komunikat GIG, nr 268, Katowice 1961

SPIS RZECZY

Wstęp, Введение, Avant-propos	3
<i>Wyniki obserwacji sejsmicznych w 1961 roku, Результаты сейсмических наблюдений, Les résultats des observations seismiques</i>	13
<i>Biuletyn silniejszych wstrząsów podziemnych na Górnym Śląsku w 1961 roku, Бюллетень сильнейших подземных сотрясений в Верхней Силезии в 1961 г., Bulletin des plus forts secousses souterraines en Haute Silesie en 1961</i>	95
M. Sobolewska, <i>Obserwacje nachyleń powierzchni ziemi na Górnym Śląsku według zapisów seismografów mechanicznych, Наблюдения наклонений поверхности земли на Верхней Силезии согласно записям механических сейсмографов, Les observations des inclinaisons de la surface de la terre en Haute Silésie selon des enregistrements des séismographes mécaniques</i>	167
M. Sobolewska, <i>Określenie głębokości ognisk wstrząsów na Górnym Śląsku na podstawie danych quasi-makrosejsmicznych, Определение глубины очагов сотрясений на Верхней Силезии на основании данных квази-макросейсмических, La définition des profondeurs des foyers des secousses en Haute Silésie à la base des données quasi-makroseismiques</i>	175

ZAKŁAD GEOFIZYKI
POLSKIEJ AKADEMII NAUK

MATERIAŁY
I
PRACE

1. Cha-Pa Observatory Aerological Data 12 August 1957 – 31 January 1959. *Introduction. Part I. Calendar. Part II. Radiosounding Data. Part III. Upper Wind Data. Part IV. Statistical Data for the Main Isobaric Surfaces. Part V. Statistical Data for the Isopotential Surfaces. Part VI. Statistical Data for Isotherm 0°C.*
2. Obsługa i wyznaczanie stałych sejsmografów Polskiej Sieci Sejsmologicznej, Zofia Droste, Józef Hordejuk. *Wstęp. Aparatura sejsmologiczna. Elementy seismometrii. Wyznaczanie stałych sejsmografów i galwanometrów. Tablice.*
3. Wyniki rejestracji sejsmologicznych w polskich obserwatoriach 1959. *Wstęp, R. Teisseyre. Obserwatorium Sejsmologiczne w Warszawie. Śląska Stacja Geofizyczna w Raciborzu. Obserwatorium Sejsmologiczne w Krakowie. Wyniki obserwacji sejsmologicznych, Результаты сейсмических наблюдений, Les résultats des observations seismiques 1959. Biuletyn silniejszych wstrząsów podziemnych na Górnym Śląsku ($M > 2,0$), Бюллетень сильнейших подземных сотрясений в Верхней Силезии ($M > 2,0$), Bulletin des plus forts secousses souterraines en Haute Silesie ($M > 2,0$) 1959. Stanisław Gibowicz, O powtarzalności wstrząsów podziemnych na Górnym Śląsku w latach 1955–1959.*
4. Wyniki rejestracji sejsmologicznych w polskich obserwatoriach 1960. *Wstęp, Avant-propos, Введение. Wyniki obserwacji sejsmologicznych, Les résultats des observations séismologiques, Результаты сейсмических наблюдений. Biuletyn silniejszych wstrząsów podziemnych na Górnym Śląsku, Bulletin des plus forts secousses souterraines en Haute Silesie, Бюллетень сильнейших подземных сотрясений в Верхней Силезии. S. Gibowicz, Sejsmiczność Górnego Śląska w latach 1950–1960, La séismosité du Haute Silesie en 1950–1960, Сейсмичность Горной Силезии в 1950–1960. T. Wyrzykowski, Wyznaczenie prędkości współczesnych pionowych ruchów powierzchni skorupy ziemskiej na obszarze Górnogórnośląskiego Zagłębia Węglowego, La détermination de la vitesse des mouvements verticaux récents de la surface de l'écorce terrestre dans la région du Bassin Houillère de la Haute Silesie, Определение скорости современных вертикальных движений поверхности земной коры в районе Углебога Бассейна Верхней Силезии.*
5. Ozon atmosferyczny i opłyty atmosfery Belsk 1963 rok. *Centralne Obserwatorium Geofizyczne w Belsku (J. Słomka). Wyniki obserwacji całkowitej zawartości i rozkładu pionowego ozonu atmosferycznego za okres 23.III.–31.XII.1963 roku. Results of observations of the total amount of atmospheric ozone and its vertical distribution for the period 23.III.–31.XII.1963 (A. Dziewulska-Łosiowa, M. Górska). Wyniki obserwacji ekstynkcji atmosferycznej, usłonecznienia i promieniowania globalnego za 1963 rok. Results of observations of atmospheric turbidity, duration of sunshine and total radiation for 1963 (J. Słomka). A. Dziewulska-Łosiowa, Pomiary całkowitej zawartości ozonu atmosferycznego w Obserwatorium Geofizycznym w Belsku i ich analiza. An analysis of the results of atmospheric ozone observations made at Belsk Observatory.*

Cena zł 45,—

6. Artificial Earth Satellites – Observations and Investigations in Poland. Ludosław Cichowicz, *The Artificial Satellite – Polish Optical Observations and Researches*. Maciej Bielicki, *The Difference Method of the Visual Observations of the Artificial Satellite with the Theodolite Wild T3 adapted*. Maciej Bielicki, *On the Numerical Method of determining the Inner General Mean Error of an Observational Position in Series of the Artificial Satellite*. Hieronim Hurnik, *Photographic Observations at Station No 1154 in Poznań*. Kazimierz Łatka, *Determination of Equatorial Positions of Artificial Satellites by Measurement of Photographic Plates and taking Advantage of Spherical Angle*. Wojciech Pachelski, *The Satellite Computations in the Computation Centre of Polish Academy of Sciences*. J. Bieniewski, St. Domaradzki, *Nomograms and Diagrams for Determination of Ephemerides of Artificial Earth Satellites*. Stanisław Gąska, *Periodic Orbits of Artificial Satellites of Earth Determined by Means of the Lapunow – Duboshin Method*. Jerzy Boryczka, *Determination of the Height of a Circular Satellite from a Single Observation of its Coordinates and their Derivatives with Respect to the time*. Janusz Zieliński, *Contributions of Satellite Method to the Gravimetric and Geometrical Measurements*. Włodzimierz Baran, *Taking Advantage of Synchronical Positional Observations of an Artificial Satellite of the Earth to Determine its Geocentric and Topocentric Distances*. Stanisław Milbert, *The Adjustment and Calculation of the Satellite Triangulation*. Włodzimierz Baran, *The Problem of Satellitic Trilateration. Bibliography*.